

# **TEKST NR 184**

# **1989**

En metode til bestemmelse af den frekvensafhængige  
varmefylde af en underafkølet væske ved glasovergangen.

af: Tage Emil Christensen

## **TEKSTER fra**

**IMFUFA**

**ROSKILDE UNIVERSITETSCENTER**  
INSTITUT FOR STUDIET AF MATEMATIK OG FYSIK SAMT DERES  
FUNKTIONER I UNDERVISNING, FORSKNING OG ANVENDELSER

IMFUFA, Roskilde Universitetscenter, Postbox 260,  
4000 Roskilde.

EN METODE TIL BESTEMMELSE AF DEN FREKVENSAFHÆNGIGE VARME-  
FYLDE AF EN UNDERAFKØLET VÆSKE VED GLASOVERGANGEN.

af: Tage Emil Christensen

IMFUFA tekst nr. 184/89      224 sider      ISSN 0106-6242

---

Abstract:

Der er redegjort teoretisk for, hvorledes en frekvensafhængig varmekapacitet kan opfattes som en generaliseret susceptibilitet inden for rammerne af lineær responsteori. Specielt er der givet en fysisk tolkning af imaginærdelen af varmefylden.

En eksperimentel metode til bestemmelse af den frekvensafhængige varmekapacitet af underafkølede væsker er udviklet og afprøvet på glycerol.

Teksten er et optryk af forfatterens speciale, september 1986.

UNIVERSITETETS FYSISKE LABORATORIUM H.C. ØRSTED INSTITUTET

Universitetsparken 5 DK-2100 København Ø Telefon (01) 35 31 33

NATURVIDENSKABELIG EMBEDSEKSAMEN

4-ugser specialeopgave for

Stud.scient. Tage Christensen

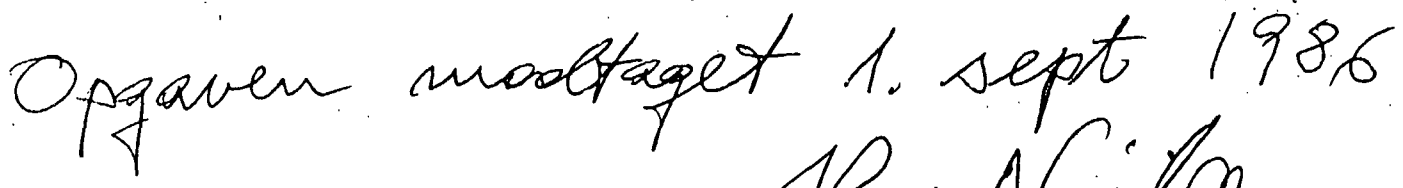
Den specifikke varmefylde af underafkølede væsker, betragtet som en generaliseret susceptibilitet.

Ovenstående ønskes belyst ved egne målinger af den frekvens-  
afhængige varmefylde af glycerol nær glasovergangen.

  
Hans Nielsen

opgaven stillet den 4. august 1986.

opgaven afleveres senest den 1. september 1986.

  
Opgaven modtaget 1. sept 1986

  
Hans Nielsen

Forord.

Baggrunden for valget af specialeemne skal søges tilbage i 1982/83 , hvor Jeppe Dyre og jeg, som 2.delsstuderende ved Københavns Universitet, fattede interesse for amorf stoffers fysik.

Dette område af fysikken er ret uopdyrket land med en rigdom af fænomener. Det er spændende, fordi der stadigt er frit slag for simple modeller. Dette i modsætning til mange "ældre" områder i faststoffysikken, som har en tendens til med tiden at blive så overbebyrdet med tung formalisme, at den fysiske intuition (i hvert fald min) mistes.

Efter at have fulgt et teoretisk fysikstudium ved KU, hvor den eksperimentelle side af fysikken er underbetonet følte jeg et behov for "at røre ved nogle apparater."

Ved KU var der desværre ingen forskning i amorf stoffer, men da Jeppe og jeg vidste, at Niels Boye Olsen ved Roskilde Universitets Center beskæftigede sig med væskedynamik og amorf stoffer, cyklede vi en septemberdag i 83 ud til RUC og diskuterede disse emner med ham.

For mit vedkommende førte det til, at jeg i foråret 84 begyndte mit specialearbejde med varmefyldemålinger på underafkølet glycerol nær glasovergangen.

Der har været ideelle forhold på RUC for at udføre specialet. Jeg vil gerne takke Niels Boye Olsen ( RUC-vejleder ) og Jeppe Dyre for diskussioner, der førte til idéen : at måle  $c_p(\omega)$  . Ib Høst Pedersen og Boye samt værkstedet har en stor andel i, at det eksperimentelle arbejde er lykkedes. Heine Larsen satte mig ind i Comal 80 og har skrevet en del af programmet til dataopsamling. Jeg har haft glæde af Peder Voetmann Christiansens noter

om lineær responseteori og modelbygning. Endelig vil jeg takke Solveig Oisen og Jeanne Mortensen for hjælp, da tiden var knap.

Disponeringen fremgår af indholdsfortegnelsen, men jeg vil råde læseren til at få et overblik ved indledende at læse resuméet kapitel 8.

Specialet forventes at udkomme som IMFUFA-tekst, RUC.

Tage Christensen

Indholdsfortegnelse1. Beskrivelse af glasovergangen

- 1.1 Den underafkølede væske versus krystallen
- 1.2 Underafkølede væskers viskoelastiske egenskaber
- 1.3 Varmefyldens og andre fysiske egenskabers opførsel ved glasovergangen

2. Irreversibel termodynamik og lineær response teori

- 2.1 Definition af de termodynamiske variable i en uligevægtstilstand
- 2.2 Problemet med gradienter. Varmediffusion. Lydudbredelse
- 2.3 Den kombinerede termiske og mekaniske responsesituation. Exergitilførsel. Entropiproduktion. Dissipation
- 2.4 Lineær response teori. Forskydning, strøm og spænding. De 4 responsefunktioner. Indbyrdes relationer. Begrundelse for flere end én
- 2.5 Tidsbilledet. Frekvensbilledet. Fouriertransformation. Laplacetransformation. Kramers-Kronig relationer. Relationer mellem frekvensresponsefunktioner.
- 2.6 Tolkning af imaginærdelen af varmefylden. Dissipation
- 2.7 Analoge modeller. Simple elementer: Kapacitet C, modstand R. Relaxation/retardationtidsspektrum
- 2.8 Symmetri af responsematrixen (Onsager. Curie-Prigonine princippet

3. Overføringsmatrixen for den én-dimensionale varmeleder

4. Kalorimetri

- 4.1 Adiabatiske/ikke-adiabatiske metoder
- 4.2 AC-temperatur kalorimetri. Metoden demonstreret på en éndimensional model. Betingelser for teknikkens anvendelse udtrykt ved karakteristiske tidskonstanter
- 4.3 Generel metode til fratrækning af baggrund
- 4.4 Korrelationsmåling  $\geq 1\text{Hz}$ . Undertrykkelse af støj. Fourieranalyse. Hensyn til subharmonisk AC-metodens anvendelsesområder: Sullivan og Seidel, Handler et al: Ikke relaxerende C. Birge og Nagel, Christensen: Relaxerende C

5. Forsøgsopstillingen

- 5.1 Den termske del. Begrundelser for dimensioneringen. Kryostat, kalorimeter, varmekontakt. Brugbart frekvensområde.
- 5.2 Den elektriske/elektroniske del. Sinusgenerator, termometer, målebro. Computer o.a.
- 5.3 Den programelle del. Fourieranalyse, Simpson integration

6. Forsøgsresultater

- 6.1 Bestemmelse af baggrunden
- 6.2 Glycerinens varmefylde
- 6.3 Lineært/ulineært response?

7. Diskussion af måleresultater

- 7.1 Sammenligning af den absolute varmefylde uden for dispersionsområdet med andre målinger
- 7.2 Den tilsyneladende aktiveringsenergi sammenlignet med den extrapolerede aktiveringsenergi for  $\eta$
- 7.3 Relaxationsdelen af varmefylden sammenlignet med relaxationsdelen for kompressibiliteten ved temperatur/tid transformation over 9 dekader
- 7.4 Opstilling af analogmodel, der fitter til data

7.5 Sammenligning med alternativt eksperiment til  
bestemmelse af  $c(w)$

8. Resumé

## 1. Beskrivelse af glasovergangen

- 1.1 Den underafkølede væske versus krystallen
- 1.2 Underafkølede væskers viskoelastiske egenskaber
- 1.3 Varmefyldens og andre fysiske egenskabers opførsel ved glasovergangen

## 1 Beskrivelse af glasovergangen

### 1.1 Den underafkølede væske versus krystallen

Mange væsker lader sig let underafkøle. Da dette er en forudsætning for glasdannelse, vil jeg først omtale dette fænomen.

Underafkøling betyder, at væsken ved afkøling kan bringes ned under dens smeltepunkt  $T_m$  - hvor den egentlig burde krystallisere - uden nogen synlige diskontinuerte ændringer i entropi (eller entalpi) og volumen.

Eksempelvis er det for glycerol - med smeltepunkt  $18,3^{\circ}\text{C}$  - nærmest en kunst, som kemikeren er stolt af, hvis han kan få det til at krystallisere. Et trick, som han kan benytte sig af, er at afkøle væsken dybt med flydende kvælstof og langsomt føre den op til smeltepunktet. Det vil da ofte kunne lykkes at få væsken til at krystallisere. Dette bygger på, at der er to processer, der betinger krystallisation: krystalkimdannelsesrate og krystalgroning.

Krystalkimdannelsesraten måles i antal kerner, dannet pr. tid. Krystalgroningshastigheden i tilvæksten i krystallens tykkelse vinkelret på overfladen pr. tid.

Tammann [1.1.1] har ifølge K. A. Jensen [1.1.2] udført studier af disse processer og fundet, at de begge har ret skarpe maxima som funktion af temperatur (fig. 1.1.1) [1.1.3]

Eksperimenterne foregår

således: Først underafkøles væsken meget og holdes

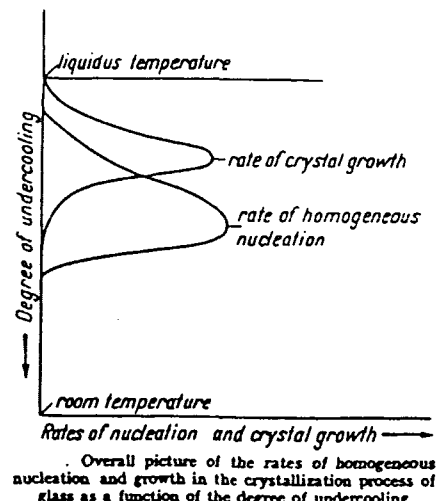


fig. 1.1.1

Overall picture of the rates of homogeneous nucleation and growth in the crystallization process of glass as a function of the degree of undercooling

ved én temperatur  $T_{kim}$  og krystalkim dannes. Disse kan imidlertid ikke ses, før de er groet noget større. Diffusionshastigheden for molekylerne er ved den lave temperatur meget lille; men den vokser kraftigt med temperaturen, så ved at føre stoffet op til en højere temperatur  $T_{gro}$ , kan man få krystallerne til at gro hurtigt til en størrelse, så de simpelthen kan tælles.

Man kan godt isolere de to fænomener; for gentager man forsøget med samme groningstemperatur, men forskellige kimdannelsestemperaturer, observerer man en meget kraftig afhængighed i antallet af krystaller dannet pr. tid som funktion af  $T_{kim}$ . Derimod vil man ved at ændre  $T_{gro}$  stort set ikke se nogen ændring i antallet af kim, men blot den hastighed hvormed de

gror.  
Tammann fandt for glycerin et maximum for kimdannelsesraten ved  $-60^{\circ}\text{C}$  og et maximum for groningshastigheden ved  $-3,5^{\circ}\text{C}$ .

Termodynamisk kan man forstå faseovergangen fra væske til en krystal ud fra opførslen af Gibb's fri energi som funktion af temperaturen ved givet tryk (fig. 1.1.2). Den termodynamisk mest stable tilstand er den med lavest fri energi. Ved smeltepunk-

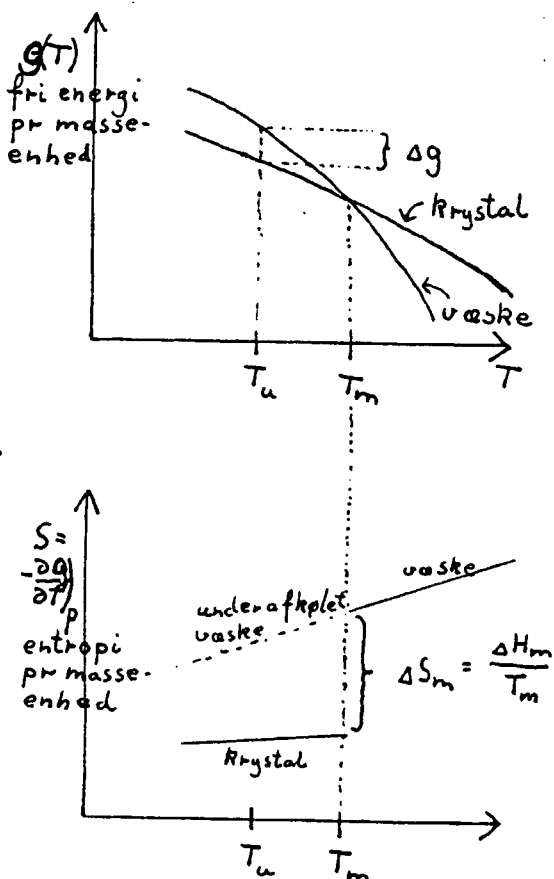


fig. 1.1.2 Skematisk opførsel af fri energi og entropi ved 1. ordens faseovergang.  $\Delta H_m$  er den latente varme.

tet  $T_m$  overgår denne med aftagende temperatur fra at være væske til at blive krystal. Dette gælder for en uendelig stor krystal. For en endelig krystal med volumen  $V$  vil overfladespændingen mellem væske og krystal give et bidrag til den fri energi proportionalt med  $V^{2/3}$  og dermed til den fri energi pr. masse proportionalt med  $V^{-1/3}$ . En lille krystallit vil derfor have et lavere smeltepunkt end den uendelige krystal. Ved en given underafkøling  $T_u$  vil der således være en kritisk radius  $r_c$  givet ved at overfladebidraget er lig forskellen i fri energitæthed  $g_v - g_c$  mellem væske og (uendelig) krystal. En krystal med  $r > r_c$  vil være stabil, mens en krystal med  $r < r_c$  vil være ustabil.

Kimdannelsen kommer nu i stand ved at termiske fluktuationer ved et tilfælde får samlet så mange molekyler i en krystallit, at den bliver større end den kritiske størrelse.

Af figuren ses at

$$\begin{aligned}\Delta g &\equiv g_v(T_u) - g_c(T_u) \approx \left(\frac{\partial g_v}{\partial T}\right)_{T_m} (T_u - T_m) + g_v(T_m) \\ &- \left\{ \left(\frac{\partial g_c}{\partial T}\right)_{T_m} (T_u - T_m) + g_c(T_m) \right\} = -S_v(T_u - T_m) - (-S_c)(T_u - T_m) \\ &= \Delta S_m(T_m - T_u) = \Delta H_m \frac{T_m - T_u}{T_m}\end{aligned}$$

Tænker vi på en kubisk krystallit med kantlængde  $r$ , overfladespænding  $\sigma$  og massefylde  $\varphi$  vil den altså smelte når

$$\varphi r^3 \Delta H_m \frac{T_m - T_u}{T_m} = 6\sigma r^2$$

Opfattes smeltning som løsningen af bindinger mellem molekylerne, kan vi i den kubiske krystal med  $N$  molekyler sige, at smeltningen øger energien pr. binding med  $\frac{6\sigma r^2}{2N}$  (4 nærmeste naboyer). Overfladeenergien pr. binding, som stikker ud i væsken fra overfladen bliver  $\frac{6\sigma r^2}{6N^{2/3}}$  og denne må være af samme størrelsesorden. Altså er

$$\frac{T_m - T_u}{T_m} = \frac{6\sigma r^2}{\rho r^3 \Delta H_m} = P \frac{N^{2/3}}{N} = P N^{-1/3}, \text{ hvor } P \approx 1$$

eller  $N = P^3 \left( \frac{T_m}{T_m - T_u} \right)^3$

altså omvendt proportionalt med den relative underafkøling i 3. potens. Selv for en relativ underafkøling på 1/10 - svarende til f. eks. 30 graders underafkøling af glycerin - vil der være tale om ca. 1000 molekyler. (Formlen gælder naturligvis kun sålænge den fri energi kan extrapoleres lineært ud fra  $T_m$ ).

Turnbull [114] har opstillet en teori for kimdannelsesraten. Denne sættes proportional med sandsynligheden for en termodynamisk fluktuation, som vil give en kerne af kritisk radius og omvendt med tid  $\tau$ , der følger viskositetens (diffusionskonstantens) temperaturafhængighed (se (1.2.9)). Der er altså tale om to konkurrerende effekter. Med aftagende temperatur øges den termodynamiske sandsynlighed for den nødvendige fluktuation men samtidig nedsættes diffusionshastigheden og dermed muligheden for omstrukturering.

Hvad der er sagt her gælder homogen kimdannelse, hvor det er væskens egne molekyler, der indgår i kimmen, i modsætning til heterogen kimdannelse, som skyldes små urenheder, hvorpå krystallen kan gro.

K. A. Jensen [1.1.2] nævner den erfaring, at har man først fået et stof til at krystallisere er det vanskeligt senere at underafkøle dets smelte, samt at stoffer, der danner flere polymorfe modifikationer, bliver ved at danne samme modifikation som første gang selv om man lader det smelte og krystalliserer igen. Det forklarer han ved at antage, at der findes krystalkim i den smeltede fase endnu noget over smeltepunktet. Denne forklaring finder jeg dog ikke plausibel, især fordi meget små krystaller har et lavere smeltepunkt end en uendelig, som vi har set. En

bedre forklaring kunne være, at væsken er blevet tilført små urenheder, der ved podning betinger en bestemt krystalform, eller at der ved den første krystaldannelse netop er fjernet sådanne, der kunne modvirke krystallisation. Krystalgroning er jo netop en metode til renfremstilling af stoffer.

Det væsentlige i denne sags sammenhæng er, at krystaldannelse er vanskelig og underafkøling et meget almindeligt fænomen. Eventuelt kan man ved at køle stoffet meget hurtigt ned under det "farlige" temperaturområde, hvor krystallisationsraten er høj, få en underafkølet væske, som er stabil meget længe.

## 1.2 Underafkølede væskers viskoelastiske egenskaber

Deformérbare stoffers spændings- og deformationsstilstand i ethvert punkt  $\underline{x}$  beskrives i termer af stressstensoren  $\underline{\underline{\sigma}}(\underline{x})$  og strainstensoren  $\underline{\underline{\epsilon}}(\underline{x})$ .

$\underline{\underline{\sigma}}(\underline{x}) = \underline{\underline{\sigma}}(\underline{x}) \underline{n}(\underline{x})$  angiver spændingen  $\sigma$ , der virker på et lille fladeelement med normalvektor  $n$  i punktet  $\underline{x}$  (fig. 1.2.1). Strainstensoren er givet ved forskydningsfeltet  $\underline{u}(\underline{x})$

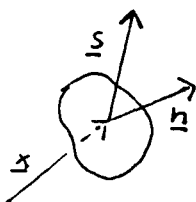


fig 1.2.1

$$\epsilon_{ij} = \frac{1}{2} \left( \frac{\partial u_i}{\partial x_j} + \frac{\partial u_j}{\partial x_i} \right)$$

$\underline{x} + \underline{u}(\underline{x})$  er stedvektor for det materielle punkt, der havde stedvektoren  $\underline{x}$  inden forskydningen (fig. 1.2.2). En "nål"  $\underline{\zeta} = \overrightarrow{PQ} = \underline{x} - \underline{x}_0$  vil efter forskydningen blive  $\underline{\zeta}' = \overrightarrow{P'Q'} = \underline{u}(\underline{x}) + \underline{x} - (\underline{u}(\underline{x}_0) + \underline{x}_0)$

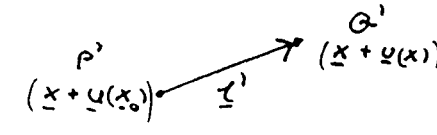


fig 1.2.2

$\underline{\underline{\epsilon}} \underline{\zeta}$  angiver den del af ændringen af  $\underline{\zeta}$ , der ikke kantilskrives translation og rotation, men skyldes en

deformation. Dersom  $\underline{\underline{\epsilon}}$  er konstant i hele legemet er deformationen homogen.

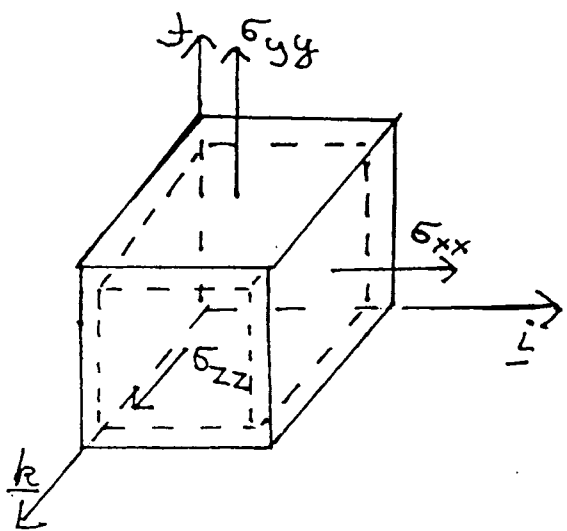
I den lineære elasticitetsteori er

$$(1.2.1) \quad \sigma_{ij} = \sum_{k\ell} G_{ijk\ell} \epsilon_{k\ell}, \quad \underline{\underline{\sigma}} = \underline{\underline{G}} \underline{\underline{\epsilon}}$$

hvor  $G_{ijk\ell}$  er elasticitetstensoren. For et isotrop (amorf) stof udarter  $\underline{\underline{G}}$  til

$$(1.2.2) \quad G_{ijk\ell} = (\kappa - \frac{2}{3}\mu) \delta_{ij} \delta_{k\ell} + \mu (\delta_{ik} \delta_{j\ell} + \delta_{il} \delta_{jk}) \\ = \frac{1}{3} (G_B - G_s) \delta_{ij} \delta_{k\ell} + \frac{1}{2} G_s (\delta_{ik} \delta_{jl} + \delta_{il} \delta_{jk})$$

† Reference [1.2.1-2]



$$\sigma_{ij} = -\delta p \delta_{ij}$$

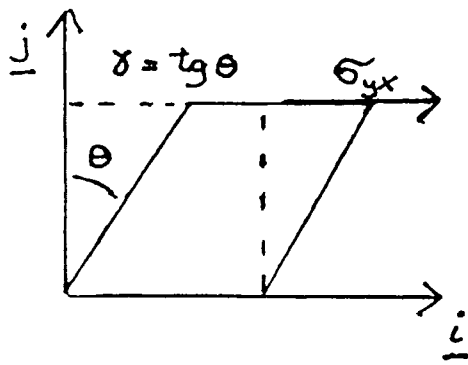
$$u(x) = \epsilon x_i \hat{i} + \epsilon x_j \hat{j} + \epsilon x_k \hat{k}$$

$$\epsilon_{ij} = \epsilon \delta_{ij}, \quad \epsilon = \frac{1}{3} \frac{\delta V}{V}$$

$$G_B = -\frac{\delta p}{\epsilon} = -3 V \frac{dp}{dV} = 3 K$$

Bulkmodulus

fig 1.2.3 uniform Kompression



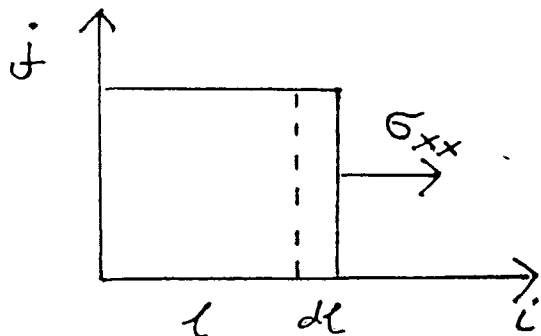
$$u(x) = \gamma x_i \hat{i}, \quad \gamma = \tan \theta$$

$$\epsilon_{xy} = \epsilon_{yx} = \gamma/2, \text{ sonst } \epsilon_{xy} = 0$$

$$G_S = \frac{\sigma_{yx}}{\epsilon_{yx}} = \frac{2 \sigma_{yx}}{\gamma} = 2 \mu$$

Shearmodulus

fig 1.2.4 unilateral shear



$$u(x) = \epsilon x_i \hat{i}, \quad \epsilon = \frac{dl}{l}$$

$$\epsilon_{xx} = 0 \text{ sonst } \epsilon_{xy} = 0$$

$$\sigma_{xx} = \frac{1}{3} (G_B + 2G_S) \epsilon_{xx}$$

$$M = \frac{1}{3} (G_B + 2G_S) = K + \frac{4}{3} \mu$$

Longitudinal modulus

fig 1.2.5 unilateral Kompression

Der er kun to elastiske konstanter Bulkmodulus  $K = \frac{1}{3} G_B$  og Shearmodulus  $\mu = \frac{1}{2} G_S$ . Udskrevet i koordinater bliver sammenhængen mellem  $\sigma$  og  $\varepsilon$

$$(1.2.3) \quad \begin{aligned} \text{diagonal-} \\ \text{elementerne} \quad \sigma_{ii} &= \frac{1}{3} (G_B + 2G_S) \varepsilon_{ii} + \frac{1}{3} (G_B - G_S) (\varepsilon_{jj} + \varepsilon_{kk}) \\ \text{offdiagonal-} \\ \text{elementerne} \quad \sigma_{ij} &= G_S \varepsilon_{ij} \quad (i \neq j) \end{aligned}$$

Sæt  $J_B = \frac{1}{G_B}$  og  $J_S = \frac{1}{G_S}$ . I termer af  $J_B$  og  $J_S$  (og ikke  $\frac{1}{\mu}$ ,  $\frac{1}{K}$ ) får den inverse relation samme udseende. Med compliancetensoren (krybetensoren)  $\mathcal{J}$

$$(1.2.4) \quad J_{ijkl} = \frac{1}{3} (J_B - J_S) \delta_{ij} \delta_{kl} + \frac{1}{2} J_S (\delta_{ik} \delta_{jl} + \delta_{il} \delta_{jk})$$

bliver  $\varepsilon = \mathcal{J} \sigma$  ( $\varepsilon_i = \sum_{k \in} J_{ijk} \sigma_{ki}$ )

$G_B$  ( $J_B$ ) findes ved en uniform kompression (fig. 1.2.3), mens  $G_S$  ( $J_S$ ) findes ved en unilateral sheardeformation (fig. 1.2.4).

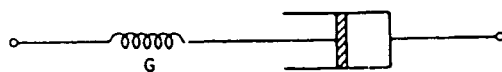
Foruden det perfekte elastiske stof kendes idealisatoren en Newtonsk væske. Her er stressens off-diagonalelementer proportional med strainhastigheden  $\dot{\varepsilon}_{ij}$

$$(1.2.5) \quad \sigma_{ij} = 2 \mathcal{Z} \dot{\varepsilon}_{ij} \quad (i \neq j)$$

Virkelige stoffer har både elastiske og viskøse egenskaber. F.eks. optræder væsker ved høje frekvenser elastiskt med en shearmodulus  $\mu_\infty = 10^9 \text{ Pa}$  (typisk). Maxwell opstillede en grov model til en kombineret beskrivelse med

$$(1.2.6) \quad \dot{\varepsilon}_{ij} = \frac{1}{2\gamma} \sigma_{ij} + \frac{1}{2\mu_\infty} \dot{\sigma}_{ij} \quad (i \neq j)$$

svarende til at væsker opfører sig som en støddæmper i serie med en fjeder (figl. 2.4). (forskydningerne adderes i modellen)



Maxwell element. The spring corresponds to a shear modulus  $G$ , the dashpot corresponds to a viscosity  $\eta$ .

fig 1.2.4

Vi kan indføre en frekvensafhængig modulus  
Med  $\sigma_{ij} = \sigma_\omega e^{-i\omega t}$ ,  $\epsilon_{ij} = \epsilon_\omega e^{-i\omega t}$  bliver

$$(1.2.7) \quad \mu(\omega) = \frac{\sigma_\omega}{2\epsilon_\omega} = \mu_\infty \frac{-i\omega\tau}{1 - i\omega\tau}$$

hvor

$$(1.2.8) \quad \tau = \frac{2}{\mu_\infty}$$

er Maxwellrelaxationstiden. Man ser  
for  $\omega\tau \rightarrow \infty$ ,  $\mu(\omega) \rightarrow \mu_\infty$  elastisk opførsel  
 $\omega\tau \rightarrow 0$ ,  $\mu(\omega) \rightarrow -i\omega\gamma$  viskøs — //

Normalt ses væskernes elastiske egenskaber ikke.  
Det skyldes at Maxwellrelaxationstiden er ganske  
kort. Viskositeten af vand ved 20°C er  $10^{-3}$  Pa·s,  
hvilket giver  $\tau = 10^{-12}$  s, mens glycerin med  
1,5 Pa·s giver  $10^{-9}$  s.

Imidlertid vokser  $\gamma$  voldsomt op med faldende tem-  
peratur for de underafkølede væsker.  $\gamma$  følger ty-  
pisk den såkaldte Vogel-Fulcher lov

$$(1.2.9) \quad \gamma = A \exp\left(\frac{B}{T - T_0}\right) \quad (T > \text{ca. } 1,5 T_0)$$

Inden for polymerkemien skriver man den samme lov  
lidt anderledes op og kalder den WLF-loven  
Ved en så kraftig underafkøling, at  $\gamma = 10^{12}$  Pa·s  
bliver  $\tau = 10^3$  s  $\approx$  et kvarter. For glycerol nås denne  
værdi ved 185 K.  $\tau$  øges her en faktor 10 for hver  
4 K temperatursænkning. Væskeren er da blevet så sejt-

flydende, at dens faststofagtige egenskaber optræder ved hurtige påvirkninger (slag med hammer), mens væskeegenskaben: at stoffet flyder ud, kan iagttaes over nogle dage. En sådan viskoelasisk opførsel kendes fra legetøjet hoppeler eller "Wonderplast". Det kan formes til en bold, der kan hoppe, men lægger man bolden ned i en æske og gemmer den, er bolden flydt ud næste gang man vil lege med leret.<sup>1</sup>

Da temperaturafhængigheden er så voldsom, bliver  $\gamma$  ved yderligere underafkøling hurtig til århunderder, d.v.s. væskeren er at regne for et fast stof.

Denne gradvise overgang fra flydende til fast form er mest alment kendt for den smelteerde blanding af sand( $SiO_2$ ), soda( $Na_2CO_3$ ) og kalk( $CaCO_3$ ) som ved køling bliver til almindeligt glas. Den udbredte anvendelse af glas til vinduer og diverse brugsgenstande hidrører bl.a. fra, at det for glaspusteren er muligt at styre formbarheden nøje v.h.a. temperaturen.

Herfra er navnet glas overtaget til karakterisering af ethvert stof som gennem den underafkølede væskefase gradvist bliver til et fast stof, og selve overgangen fra væske til glas (eller den modsatte vej) kaldes glasovergangen. Dette begreb bliver der ved relativt, idet

<sup>1</sup> Det skal dog her nævnes, at den elastiske modulus ca.  $10^6$  Pa vi ser i hoppeler og andre polymere er væsentlig lavere end den karakteristiske  $10^9$  Pa -  $10^{10}$  Pa kendt for faste stoffer. Det er fordi disse stoffer i virkeligheden har to glasovergange: først til den gummielastiske tilstand, siden ved endnu kortere tider (eller lavere temperatur) til faststofelasticitet.

vi altid må anføre, hvilken eksperimentel tid der er tale om. Udfører vi eksperimenter på en tidsskala mindre end glastemperaturen vil det således være rimeligt, at indføre en glastemperatur  $T_g$  ved, at  $\tau(T_g) = 10^{-12}$  Pa·s, som man ofte ser. Kan vi derimod udføre eksperimenter over  $10^{-6}$  s, f.eks. ultrasoniske lydmålinger eller  $10^{-10}$  s karakteristisk for Rayleigh-Brillouin spredning (som er spredning af lys mod tæthedsfluktuationer) bliver den tilhørende glastemperatur væsentlig højere.

Kaldes den eksperimentelle tidsskala  $t_{exp}$  vil vi ved en given temperatur være i et af de tre områder.

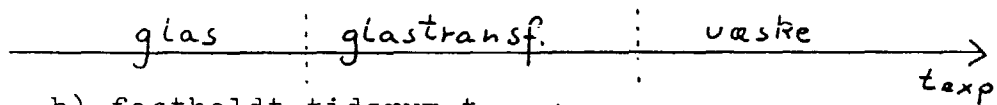
$$t_{exp} \gg \tau(T) \quad \text{væskefasen}$$

$$t_{exp} \approx \tau(T) \quad \text{glastransformationsområdet}$$

$$t_{exp} \ll \tau(T) \quad \text{glasfasen}$$

Afhængigt af om  $t_{exp}$  eller  $T$  ændres kan situationen skildres som i fig 1.2.5 a hhv 1.2.5 b

a) fastholdt temperatur  $T$ :



b) fastholdt tidsrum  $t_{exp}$ :

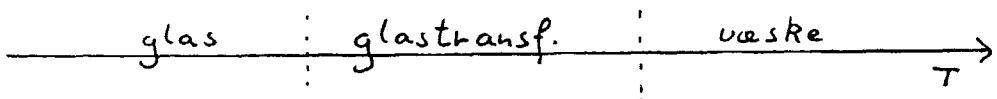


fig 1.2.5

Indenfor en given eksperimentel kontekst vil observationstiden  $t_{exp}$  som regel højest variere nogle få størrelsesordener og p.g.a.  $\tau$ 's voldsomme afhængighed af temperaturen vil glastransformationsområdet være et ret lille temperaturinterval, så en glastemperatur er

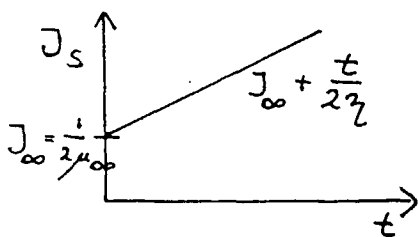
ret veldefineret. Men det er vigtigt, at understrege, at glasovergangen er af dynamisk natur i modsætning til smeltning, som er en proces, der i principippet kan foregå i termodynamisk ligevægt, og hvor der er en vel defineret smeltetemperatur (for givet tryk).

Maxwellmodellen er for simpel. I en generel lineær viskoelastisk teori angives  $\underline{\sigma}(t)$  ved hele forhistorien af  $\underline{\xi}(t)$

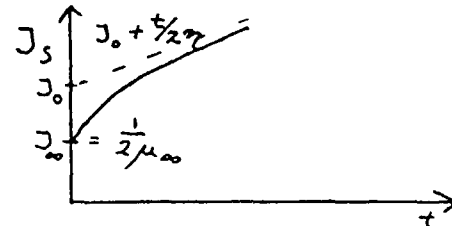
$$(1.2.10) \quad \underline{\sigma}_{ij}(t) = \sum_{k\epsilon} \int_{-\infty}^t G_{ijk\epsilon}(t-t') \dot{\underline{\xi}}_{k\epsilon}(t') dt'$$

$G_{ijk\epsilon}(t)$  er stadig af formen (1.2.2) for et isotropt stof, men konstanterne  $G_g, G_s$  erstattes af funktioner  $G_g(t), G_s(t)$ . På samme måde indføres krybefunktionerne  $J_g(t), J_s(t)$ .

$J_s(t)$  måles principielt ved at give en enheds-shearspænding  $\sigma_{yx} = 1$  til tiden  $t = 0$  (stepfunktion) (fig 1.2.2). Da er  $J_s(t) = \underline{\xi}_{yx}(t)$ . Krybefunktionen for Maxwelllementet ses på fig 1.2.6 a, mens  $J_s(t)$  for en realistisk væske skematisk er angivet på fig 1.2.6 b



Shearkrybefunktionen  $J_s$  fo Maxwellelementet  
fig 1.2.6 a



Shearkrybefunktion  $J_s$  for typisk væske  
fig 1.2.6 b

Dersom langtidsopførslen for den virkelige væske stadig er Newtonsk  $J_s(t) \rightarrow t/2zeta + J_0$  for  $t \rightarrow \infty$  kan vi bideholde Maxwellrelaxationstiden  $\tau = 3/\mu_0$  til en grov definition af glastransformationsområdet

De to modulus funktioner  $K(t)$  ( $= \frac{1}{3} G_s(t)$ ) og  $\mu(t)$  ( $= \frac{1}{2} G_s(t)$ ) er blevet indgående udforsket [ 1.2.4-6] ved ultrasoniske lydmålinger i Mhz-området. I denne litteratur betegnes shearmodulus  $\mu(t)$  med  $G(t)^\dagger$ . Det er modulus funktionerne i frekvensbilledet  $((-\imath\omega) \times \text{Fourier-transformerede af } K(t), G(t))$ , der findes.

På fig.1.2.7 er shearmodulus funktionen  $G(\omega)$  for glycerol vist [ 1.2.7, 1.2.4 s472 ]. Denne er fundet ved at måle lydhastigheden af shearbølger i væskeren (betegnet  $\mathfrak{V}_s$ )

fig 1.2.7

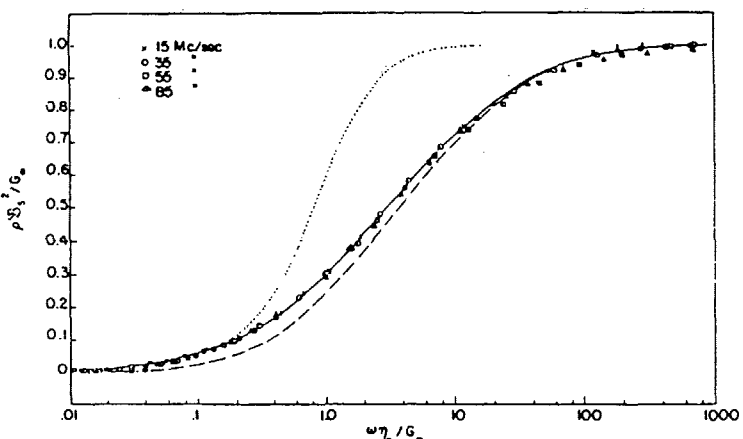


FIG. 108-2. Reduced plot of  $\rho\mathfrak{V}_s^2/G_\infty$  (shear waves) plotted as a function of the temperature for glycerol at various frequencies. The dashed line is calculated from single relaxation theory. The solid line is the calculation of  $\rho\mathfrak{V}_s^2/G_\infty$  using the Gaussian distribution function. The dotted line is a plot of  $G'/G_\infty$  calculated from the same Gaussian distribution function.

Herfra er  $G(\omega)$  beregnet, og den stippled linie angiver  $\text{Re}(G(\omega)/G_\infty)$ . Den punkterede linie er  $\frac{G_m(\omega)}{G_\infty}$  for Maxwell-elementet (1.2.7). Man ser, at dispersionen for  $G(\omega)$  strækker sig over et langt større frekvensområde end Maxwell-modellen kan forklare. (dette var også antydet skematisk på fig.1.2.6 a og b ).

†

$\mu$  er betegnelsen for shearmodulus i [ 1.3.1-2 ]

### Temperatur/tid ækvivalens

Fig.1.2.7 viser også det såkaldte princip om temperatur/tid ækvivalens anvendt. Som man kan se, er der kun målt ved 4 frekvenser fra 15-85 MHz strækende sig under 1 dekade. Imidlertid viser det sig, at man ved at ændre temperaturen får den samme kurve frem blot forskudt langs den logaritmiske frekvensakse.  $G(\omega)$  er altså af formen

$$(1.2.11) \quad G(\omega) = G(\omega \tau(\tau)) \quad (\text{temp/tid ækvivalens})$$

hvor  $\tau(\tau)$  er en funktion af temperaturen. Det viser sig at  $\tau(\tau)$  følger viskositeten  $\zeta$ 's  $\zeta$  temperaturafhængighed (1.2.9). Den kan derfor sættes til Maxwellrelaxationstiden

$$(1.2.12) \quad \tau(\tau) = \tau_M(\tau) = \zeta(\tau) / G_\infty$$

da  $\tau$  defineret som forskydningsfunktionen  $\log \tau(\tau)$  for ( $G$ ,  $\log \omega$ ) ved forskellige temperaturer giver en frihed i  $\tau$  på en arbitrer faktor.

Med den voldsomme afhængighed (1.2.9) af  $\zeta$  og dermed  $\tau$  af temperaturen kan dispersionsområdets mange dekader - selv med et begrænset eksperimentelt frekvens "vindue" til rådighed - scannes ved at ændre temperaturen.

Picciarelli [1.2.7] fandt ved  $-18^\circ\text{C}$  og  $\omega/2\pi = 15 \text{ MHz}$   $G(\omega \tau(\tau)) = \frac{1}{2} G_\infty$ ,  $G_\infty = 3.08 \cdot 10^{10} \text{ dynes/cm}^2$ , hvilket fastlægger kurven absolut.

† Vi vil ikke benytte betegnelsen  $\zeta(t)$  for impedansfunktionen  $Z_s(t) = \int_{-\infty}^t G_s(t') dt'$ , der giver den analoge relation til (1.2.10) mellem shearspænding og shearstrainrate, men forbeholder  $\zeta$  til at være impedansen i grænsen  $\omega \rightarrow 0$  hvor væsker opfører sig Newtonsk  $G \rightarrow -i\omega \zeta$  eller  $Z \rightarrow \zeta$

Ved lydmålinger med longitudinale bølger er den longitudinale modulus  $M$  fundet, og herfra kan bulkmodulus beregnes, idet  $M = K + \frac{4}{3}G$  (fig.1.2.5). På fig.1.2.8 er den normaliserede bulkmodulus

$$(1.2.13) \quad K_N(\omega) = \frac{K(\omega) - K_0}{K_\infty - K_0}$$

vist [ 1.2.7, 1.2.4 s476 ]

$K_\infty = K(\infty)$  er  $K$  i glasfasen

$K_0 = K(0)$  er  $K$  i væskefasen

fig 1.2.8

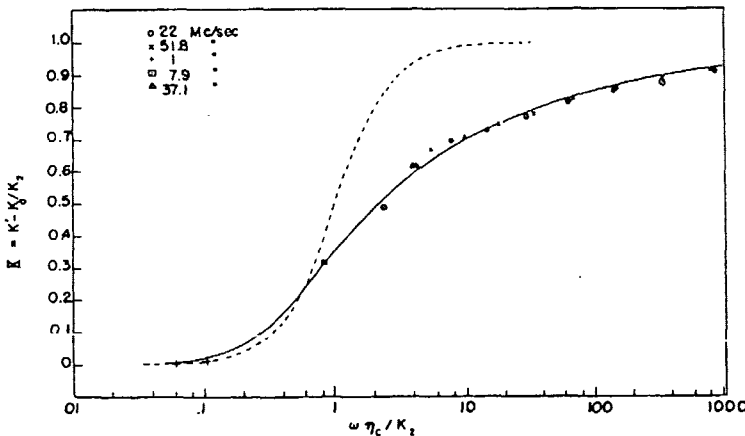


FIG. 109-1. Reduced plot of the real portion of the relaxational part of the compressional modulus. Dashed line is calculated using single relaxation theory.

Man ser, at  $K(\omega)$  er mere asymmetrisk end  $G(\omega)$ , og har en betydeligt længere hale i den højfrekvente ende.

Igen er temperatur/tid ækvivalensen benyttet til at konstruere kurven ud fra delkurver. Det viser sig, at forskydningsfunktionen  $\gamma(T)$  igen følger (1.2.9).

Den stippled linie er en enkeltrelaxationstidsmodel for bulkmodulus. Maxwell-elementet opførte sig jo viskøst i lavfrekvensgrænsen, men ved kompression vil der være en

lavfrekvent modulus  $K_0$ . For at beskrive dette hægtes yderligere en fjeder på Maxwellelementet  $\dagger$  figl.2.9 a

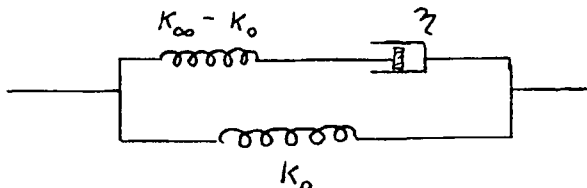


fig 1.2.9 a

som altså har modulus funktionen

$$(1.2.14) \quad K_e(\omega) = K_0 + (K_\infty - K_0) \frac{-i\omega\tau}{1 - i\omega\tau}$$

$$\text{med } \tau = \zeta_0 / (K_\infty - K_0)$$

$\zeta_0$  kaldes bulkviskositeten

Den fuldt optrukne linie angiver en funktion, der er forsøgt at fitte til målingerne. Piccirelli [1.2.7] tænker sig  $K(\omega)$  fremkommer som en superponering af enkelttids-relaksationsfunktioner  $k_e(\omega)$

$$(1.2.15) \quad K(\omega) = K_0 + (K_\infty - K_0) \int_0^\infty \frac{-i\omega\tau}{1 - i\omega\tau} g(\tau) d\tau$$

med Cole-Davidson fordelingen

$$(1.2.16) \quad g(\tau) = \begin{cases} \frac{\sin(\beta\pi)}{\pi\tau} \left( \frac{\tau}{\tau_0 - \tau} \right)^\beta & \tau < \tau_0 \\ 0 & \tau > \tau_0 \end{cases}$$

$\dagger$  I sådanne rheologiske modeller adderer forskydninger ved serieforbindelse og spændinger ved parallelforbindelse. fig.l.2.9 a svarer til den elektriske analogmodel fig. 2.7.1 b, idet parallel og serieforbindelser bytter roller når vi går fra rheologiske til elektriske netværk.

Derved indfanger Piccirelli to karakteristiske træk ved  $\kappa(\omega)$ , nemlig

$$(1.2.17) \quad \left\{ \begin{array}{l} (\kappa(\omega) - \kappa_\infty) \propto (-i\omega\tau_0)^{-\beta} \text{ for } \omega \rightarrow \infty \\ \kappa(\omega) \text{ har et lavfrekvens cutoff } \frac{1}{\tau_0} \end{array} \right.$$

Endvidere fremkommer temperatur/tid ækvivalensen ved, at hele spektret flyttes med

$$(1.2.17 \text{ b}) \quad \tau_0 = \tau_0(\tau)$$

Piccirelli angiver  $\beta = 0,32$ , men man ser på fig.1.2.8, at den optrukne kurve faktisk er lidt for stejl i forhold til målepunkterne. Det er naturligvis for at få hans fit-funktion til at passe i den lavfrekvente ende af spektret, men da der ikke er nogen fysisk grundelse for  $g(\tau)$ , behøver vi ikke at tage hensyn hertil.

Til senere brug har jeg omregnet hans målepunkter til den normaliserede kompressibilitet

$$(1.2.18) \quad \kappa_N(\omega) = \frac{\kappa(\omega) - \kappa_\infty}{\kappa_0 - \kappa_\infty}$$

Da  $\kappa_0 = \frac{1}{K_0}$ ,  $\kappa_\infty = \frac{1}{K_\infty}$  og  $\kappa(\omega) = \frac{1}{K(\omega)}$  bliver

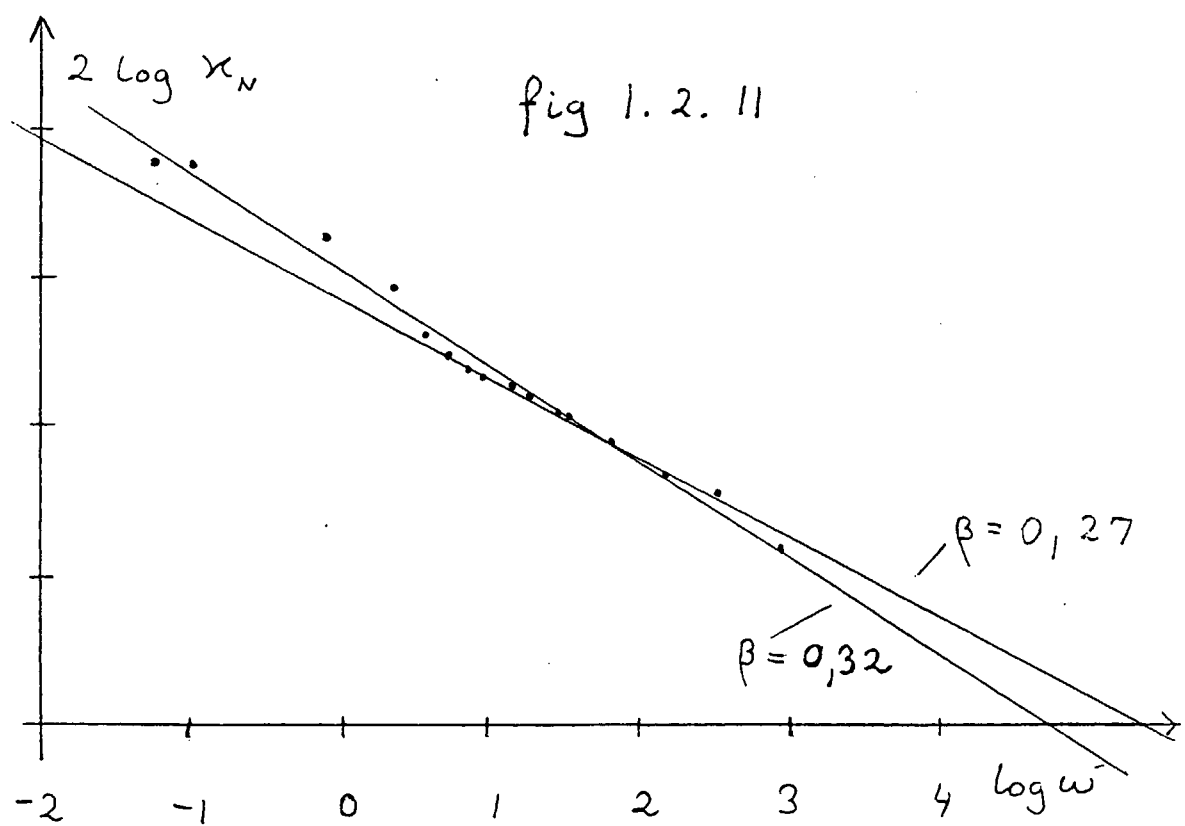
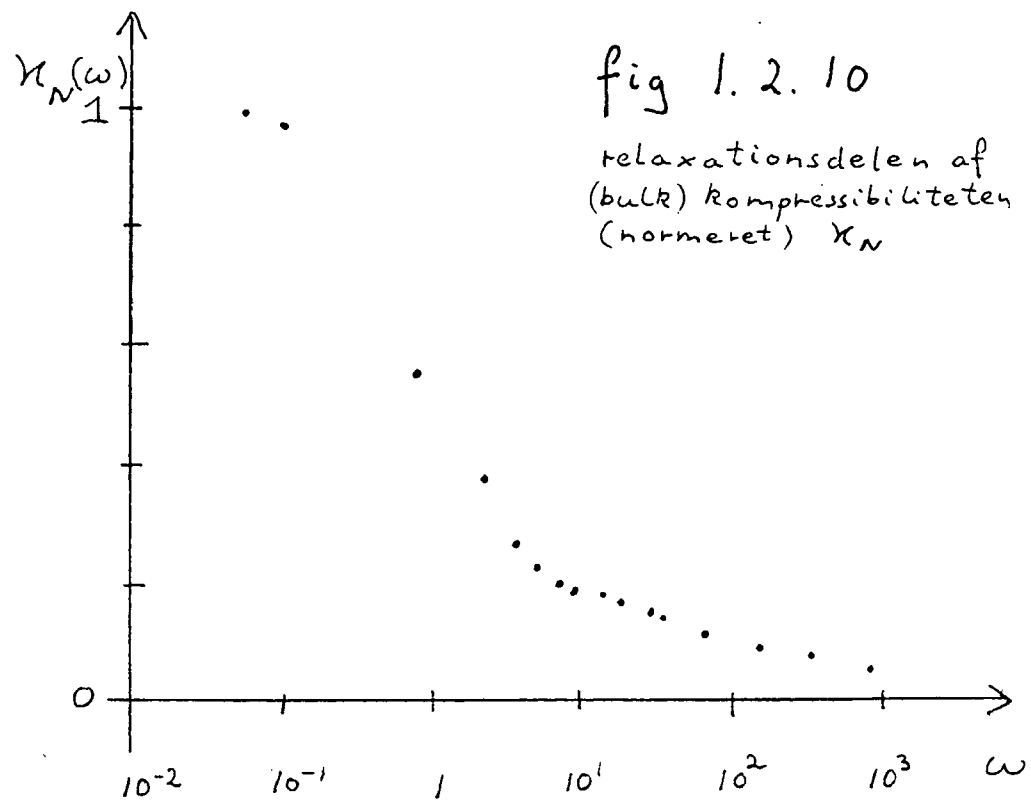
$$(1.2.19) \quad \kappa_N(\omega) = \frac{1 - K_N(\omega)}{1 + \frac{K_\infty - K_0}{K_\infty} \cdot K_N(\omega)}$$

Piccirelli angiver ved  $-18^\circ\text{C}$   $K_0 = 5,12 \cdot 10^{10}$  dynes/cm<sup>2</sup>  
 $K_\infty - K_0 = 3,8 \cdot 10^{10}$  dynes/cm<sup>2</sup> så  $\frac{K_\infty - K_0}{K_\infty} = 0,74$   
 $\kappa_N(\omega)$  ses på fig 1.2.10.

Endvidere angives  $K_N = 0,62$  ved  $\omega/2\pi = 22$  MHz svarende til  $\kappa_N = 0,26$ , hvormed kurverne er fastlagt absolut.

På fig.1.2.11 er afbildet ( $2 \log \kappa$ ,  $\log \omega$ ). Man finder at  $(\kappa(\omega) - \kappa_\infty) \propto (-i\omega)^{-\beta}$  med

$\beta = 0,27$  over de to sidste dekader, som er målt. Indtegnet er også kurven for  $\omega^{-0,32}$ , men den afviger signifikant fra målepunkterne.



### Begrebet Bulkviskositet

Shearviskositeten kunne defineres modeluafhængigt ved grænseværdien

$$(1.2.20) \quad \eta_s = \lim_{\omega \rightarrow 0} \frac{G(\omega)}{-i\omega}$$

Det kan bulkviskositeten  $\eta_B$  ikke. Selv for enkeltrelaxationstid udtrykket (1.2.14) er der to modeller bestående af to fjedre og én støddæmper, der vil give (1.2.14), nemlig foruden modellen fig. 1.2.9 a også modellen fig. 1.2.9 b 1

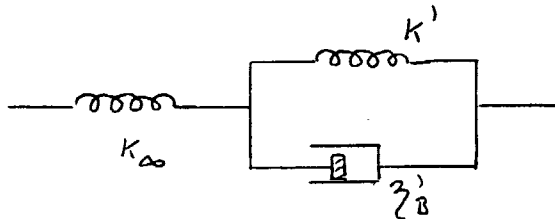


fig.1.2.9 b

$$\text{hvor } \frac{1}{K'} = K_0 - K_\infty \quad \eta_B' = \eta_B \left( \frac{K_\infty}{K_\infty - K_0} \right)^2$$

Man må derfor angive, hvordan man fratrækker de elastiske elementer.

For modellen a bliver

$$(1.2.21) \quad \eta_B = \lim_{\omega \rightarrow 0} \frac{K(\omega) - K_0}{-i\omega}$$

mens for modellen b

$$(1.2.22) \quad \eta_B' = \lim_{\omega \rightarrow 0} \frac{K_0 - K(\omega)}{(K_0 - K_\infty)^2} \cdot \frac{1}{-i\omega}$$

Som det fremgår af fig. 1.2.8 kan en enkeltrelaxationstids-

1 fig.1.2.9 b svarer til den elektriske model fig. 2.7.1 a

model slet ikke beskrive data, men dersom en komponent proportional med  $(-i\omega)$  kan udskilles i  $\kappa(\omega) - \kappa_0$ , eller  $\kappa_0 - \kappa(\omega)$  for  $\omega \rightarrow 0$ , så kunne bulkviskositeten indføres ved (1.2.21) eller (1.2.22). Dette element ville netop give anledning til lavfrekvens cut off'et (1.2.7), som man ser på fig 1.2.8 og 1.2.10.

En kvalitativ mikroskopisk forklaring på, at kompressibiliteten er højere ved lave frekvenser end ved høje, er følgende. Væskens fri energi ændres med tryk og temperatur, og groft taget kan denne opdeles i en vibrationel og konfigurationel del. Ved glastemperaturen mister vi det konfigurationelle bidrag, fordi væskan ikke kan nå at ændre ligevægtsstrukturen i overensstemmelse med p og T inden for det eksperimentelle tidsrum.

Glasovergangen manifesterer sig derfor i en lang række andre fysiske egenskaber (afsnit 1.3.3), heriblandt varmefylden, som er emnet for dette speciale.

1.3 Varmefyldens og andre fysiske egenskabers opførsel ved glasovergangen

På fig. 1.3.1 [1.3.1] ses varmefylden som den er målt for glycerol.

fig. 1.3.1

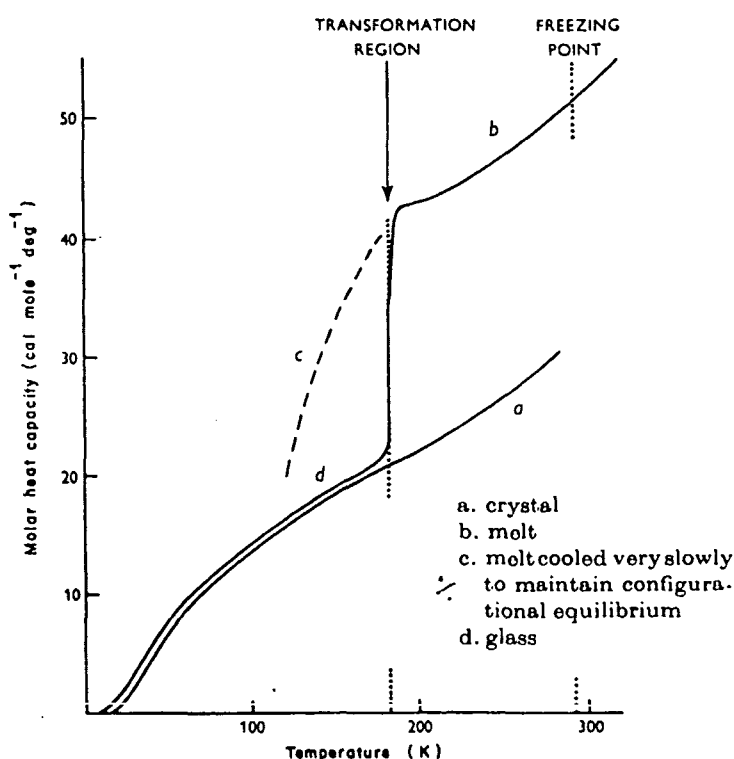


FIG. 16.6. Molar heat capacity of glycerol.

Som man ser, er glasvarmefylden næsten lig krystalvarmefylden, i overensstemmelse med, at det konfigurationelle bidrag er forsvundet under  $T_g$  og at nærordenen er nogenlunde ens for glas og krystal, således at det vibrationelle bidrag til varmefylden er næsten ens for glas og krystal.

Det er Röntgenspredning på glasser og amorf stoffer generelt, som har vist at nærordenen er ens i det amorf stof og krystallen mens fjernordenen er forsvundet. Varmefylden nær  $T_g$  vil afhænge af hvor længe vi mäter. På fig. 1.3.1 skulle kurve c) ifølge kommentaren være målt meget langsommere for at oprethol-

de konfigurationel ligevægt. Det kan vi dog med sikkerhed sige ikke er tilfældet da den tid  $\tau(T)$  (1.2.9), der styrer relaxationsmekanismernes hastighed som nævnt øges en faktor 10 for hver 4K temperatursænkning.

Lad os se nærmere på opførslen af entalpien med ændringen af temperatur nær glasovergangen.

fig. 1.3.2a

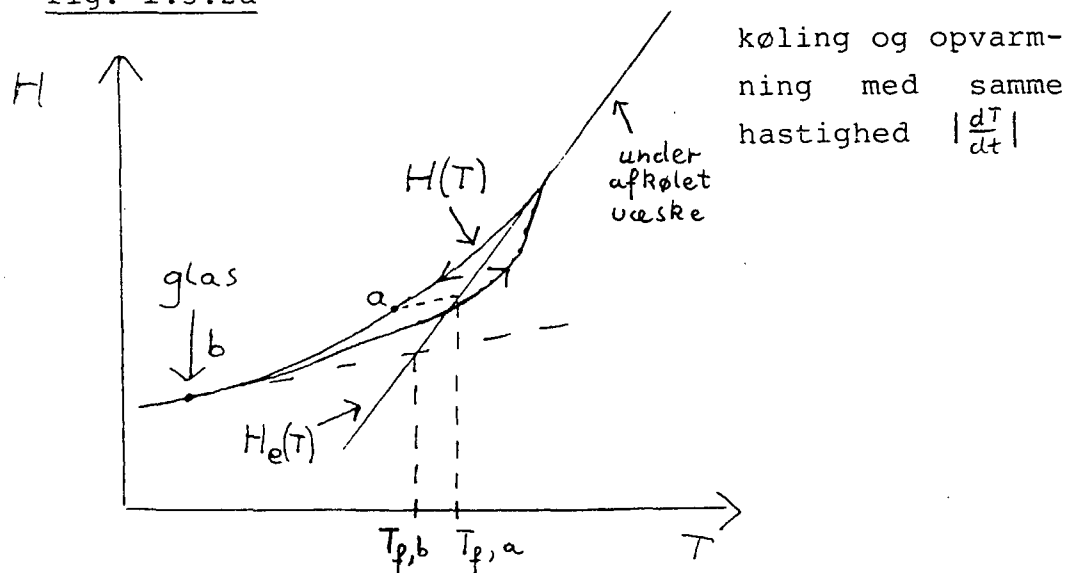


fig. 1.3.2b

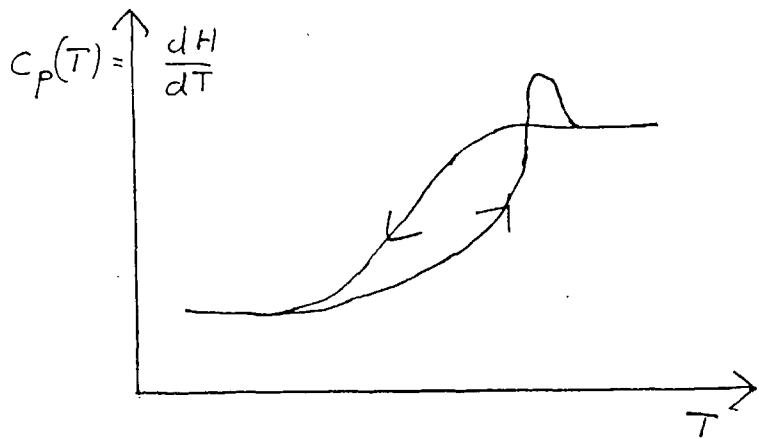


Fig. 1.3.2 a og b viser (skematisk) et typisk forløb af entalpien  $H(T)$  og varmefylden  $c_p(T) = \frac{dH}{dT}$  ved afkøling og opvarmning af den underafkølede væske henover glastransformationsområdet med samme hastighed,  $|\frac{dT}{dt}|$  ( $\frac{dT_\downarrow}{dt} = -\frac{dT_\uparrow}{dt} = \text{konstant}$ ). Ved afkølingen vil den målte entalpi  $H(T)$  ved en vis temperatur afbøje fra ligevægtsentalpien  $H_e(T)$  for den underafkølede væske. At  $H_e(T)$  er ligevægtsentalpien ses dels af, at ved lavere afkølingshastighed følger  $H(T)$  den extrapolerede entalpi  $H_e(T)$  for den underafkølede væske dybere ned i temperatur fig. 1.3.3 a,b

fig. 1.3.3a

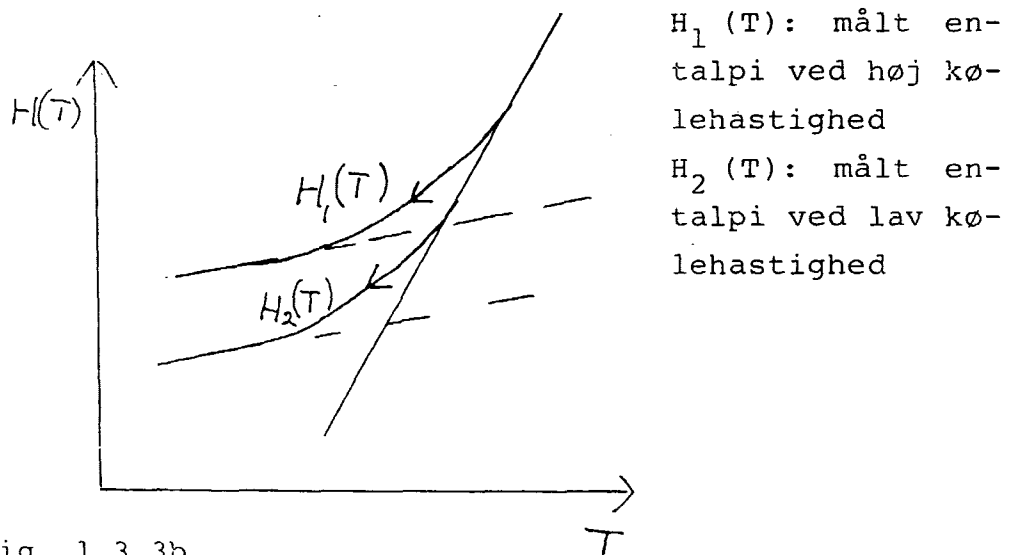
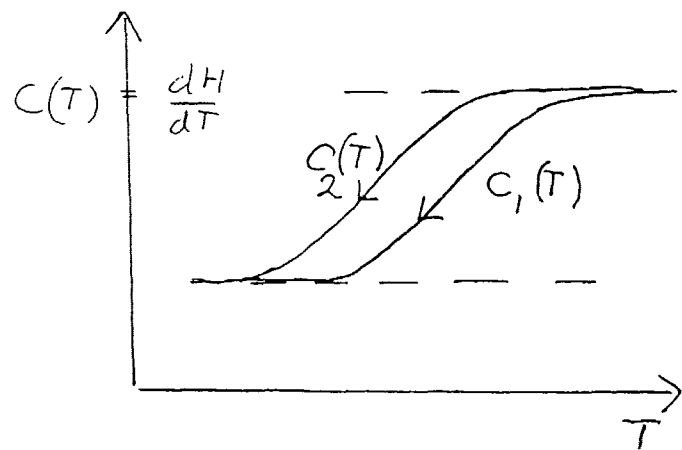


fig. 1.3.3b



dels af såkaldte entalpirelaxationsmålinger, fig. 1.3.4 a,b. Ved disse sænkes temperaturen for den underafkølede væske pludseligt  $\Delta T$  fra  $T_0$  til  $T_1$ , hvorefter stoffet holdes isotermt ved temperaturen  $T_1$  (kurve I). Entalpien  $H(T_1)$  ses da at relaxere mod  $H_e(T_1)$  med tiden  $t$ .

fig. 1.3.4a

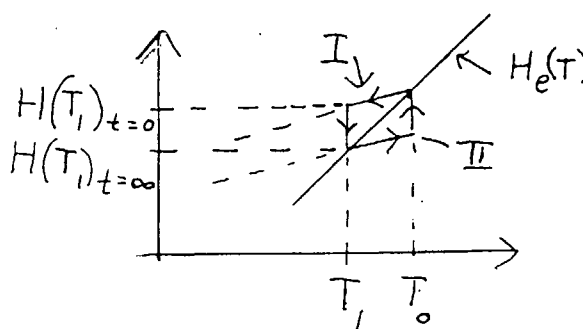
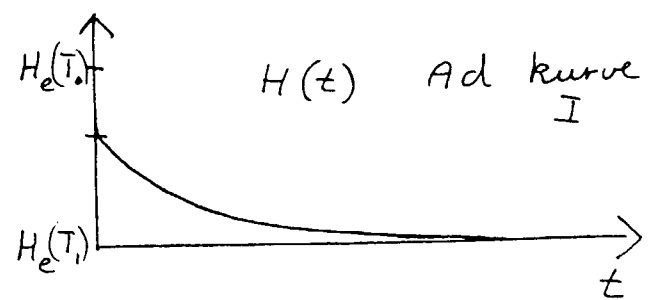


fig. 1.3.4b



Entalpirelaxationen kan også studeres ved at hæve temperaturen  $\Delta T$ . Det er vist som temperaturforløb II på fig. 1.3.4a. Både for den "overentalpiske" og "underentalpiske" uligevægtstilstand ses relaxatio-  
nen at ske mod ligevægtstilstanden med entalpien  $H_e(T)$ . Det er denne relaxation, der giver anledning til hystereseffekten i afkølings- og opvarmningskur-  
ven fig. 1.3.2.

Alle disse forløb af entalpien ved forskellige eksperimenter passer med vort billede af, at under glastransformationsområdet mister vi det konfigura-  
tionelle bidrag til den fri energi og dermed varme-  
fylden, fordi væsken ikke kan nå at indtage lige-  
vægtsstrukturen.  $H(T)$  i glasfasen bliver afhængig af  
forhistorien men glasvarmefylden for de forskellige  
glastilstande bliver med god tilnærmedelse ens og lig  
varmefylden for krystallen fig. 1.3.1. For at karakterisere

terisere glastilstanden har man [1.3.2-1.3.4] indført det empiriske begreb fiktiv temperatur  $T_f$ .  $T_f$  er den temperatur ved hvilken  $H(T)$  ved uendelig hurtig opvarmning (dvs. så hurtig at vibrationsfrihedsgraderne kan følge med; mens de konfigurationelle er fastfrosne) skærer  $H_e(T)$ :

$$(1.3.1) \quad H(T) + \int_T^{T_f} c_{p, \text{glas}} dT = H_e(T_f)$$

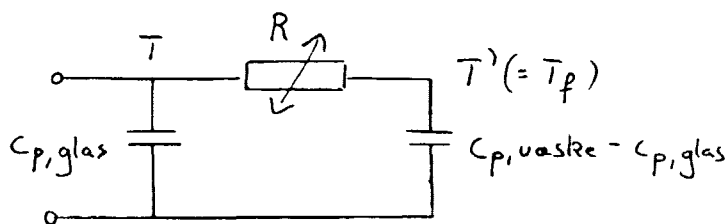
eller blot

$$(1.3.2) \quad H(T) + c_{p, \text{glas}} (T_f - T) = H_e(T_f)$$

da  $c_{p, \text{glas}}$  kan regnes konstant over det forholdsvis nævre glastransformationsområde.

Ved punktet a fig. 1.3.2a findes  $T_g$  grafisk ved at trække en linie parallel med glasentalpikurven og aflæse temperaturen ved skæringen med  $H_e(T)$ . Niels Boye Olsen har opstillet en elektrisk analogmodel, der indfanger entalpiens opførsel i hovedtræk. Varmestrømme svarer til elektriske strømme og temperaturer til spændinger fig. 1.3.5.

fig. 1.3.5



Kondensatoren  $C_{p, \text{glas}}$  er de vibrationelle bidrag til varmefylden mens  $C_{p, \text{væske}} - C_{p, \text{glas}}$  er det konfigurationelle bidrag. I ligevægtstilstanden er de to

temperaturer ens,  $T = T'$ . Den samlede entalpi (ladning) er

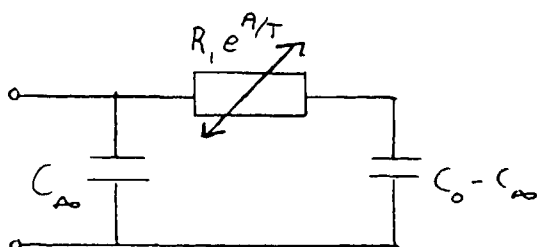
$$(1.3.3) \quad H(\tau) = H_e(\tau') + (\tau - \tau') c_{p, glas}$$

En sammenligning med (1.3.2) viser at  $T'$  netop er den fiktive temperatur  $T_f$ ,  $T' = T_f$ .

$R$  er en modstand, der angiver den hastighed, hvormed energien kan flyde fra de hurtige til de langsomme frihedsgrader. Den er parametrisk styret af temperaturen  $T$  og skal være 0 ved høje temperaturer og  $\infty$  ved lave temperaturer. Vi vil forvente, at  $R \propto \zeta(T)$ , da en omstrukturering af væsken kræver flow af væskepartikler forbi hinanden og hastigheden af denne mikroskopiske proces afspejles også i den makroskopiske størrelse viskositeten. I et lille temperaturinterval omkring glastemperaturen vil (1.2.9) stort set være  $\zeta \propto \exp \frac{A}{T}$  så modellen bliver nu fig.

### 1.3.6

fig. 1.3.6



Vi har nu skiftet betegnelserne på kondensatorerne

$$C_\infty = c_{glas}$$

$$C_0 - C_\infty = c_{væske} - c_{glas}$$

idet  $c_{glas}$  er den yarmefylde, vi mäter ved et hurtigt eksperiment, mens  $c_{væske}$  er den varmefylde, vi mäter

ved et langsomt eksperiment  
 $R_1$  bestemmes omtrentlig af

$$(1.3.4) \quad t_{exp} \approx \tau(\bar{T}_g) = R_1 (\zeta_0 - \zeta_\infty) e^{A/T_g}$$

Det førstnævnte entalpirelaxationsexperiment fig. 1.3.4 er en måling af den generaliserede termiske susceptibilitet (eller i vor sprogbrug 2.4, den termiske krybefunktion) dvs. et generaliseret forskydningsrespons (her entalpi) på et generaliseret spændingsinput (her temperaturen). Da varmefylden jo afhænger af temperaturen omkring glastransformationsområdet, vil entalpirelaxationskurven 1.3.4b afhænge af både udgangstemperaturen  $T_0$  og temperaturamplituden  $\Delta T = T_1 - T_0$ . For små temperaturamplituder vil vi dog forvente at responset  $H(T)$  er lineært i  $\Delta T$ .

Det er denne lineære responsfunktion, som ønskes bestemt i specialet. Vi vil dog måle den termiske krybefunktion i frekvensdomænet i stedet for tidsdomænet, da dette har eksperimentelle fordele. For modellen fig. 1.3.6 svarer det til at linearisere omkring en given temperatur  $T = T_0$ , så  $R_1 e^{A/T}$  kan anses konstant. Dersom modellen fig. 1.2.6 modellerede naturen korrekt ville entalpirelaxationen blot være simpelt eksponentiel. For kompressibiliteten fig. 1.2.8, har vi set at en enkeltrelaxationstidsmodel ikke passer. Vi vil forvente, at den termiske krybefunktion heller ikke kan beskrives ved en enkeltrelaxationstidsmodel. En vurdering af temperaturamplituden, der kan anvendes,  $\sqrt{\frac{A}{T^2}}$  at responset  $H(T)$  er lineært, får vi ved at se på den relative ændring af modellens ulineære element med temperaturen.

$$\frac{dR}{R} = d\ln R = \frac{A}{T^2} dT$$

Da  $A = 2,0 \cdot 10^4 \text{ K}$  ved  $T = 184\text{K}$ , som vi skal se (afsnit 7.2) bliver

$$\frac{dR}{R} = 0,6 \text{ K}^{-1} dT$$

Vi forventer derfor at amplituderne skal holdes en del under 1K.

Vi angiver en række andre egenskaber for glycerol fig. 1.3.7-10 taget fra [1.3.5] og fig. 1.3.11 taget fra [1.3.7].

fig. 1.3.7

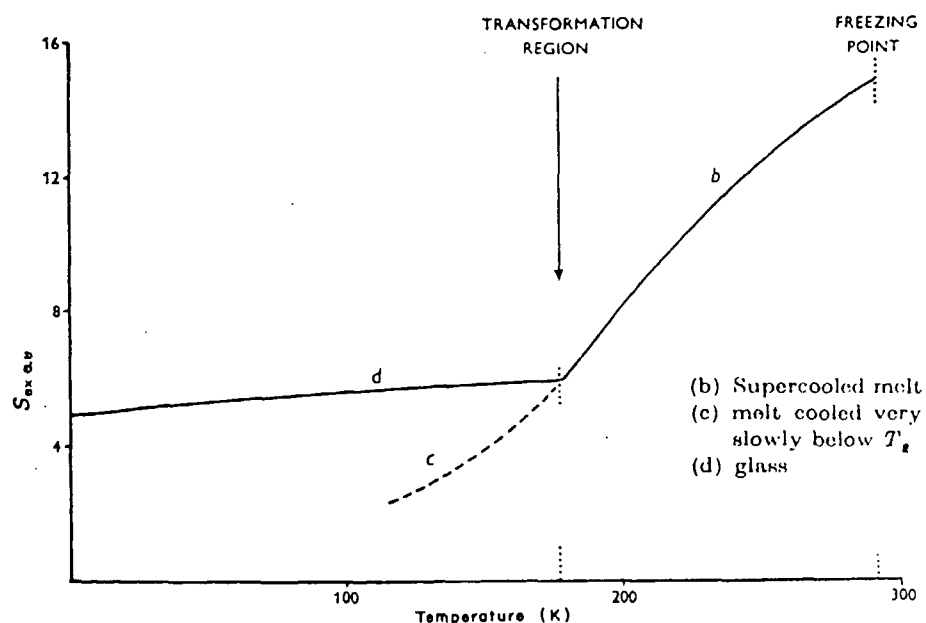


FIG. 16.13. Excess entropy of molten and glassy glycerol with respect to crystals.  
Reproduced with permission from Jones and Simon, *Endeavour*, 8, 177 (1949)

fig. 1.3.8

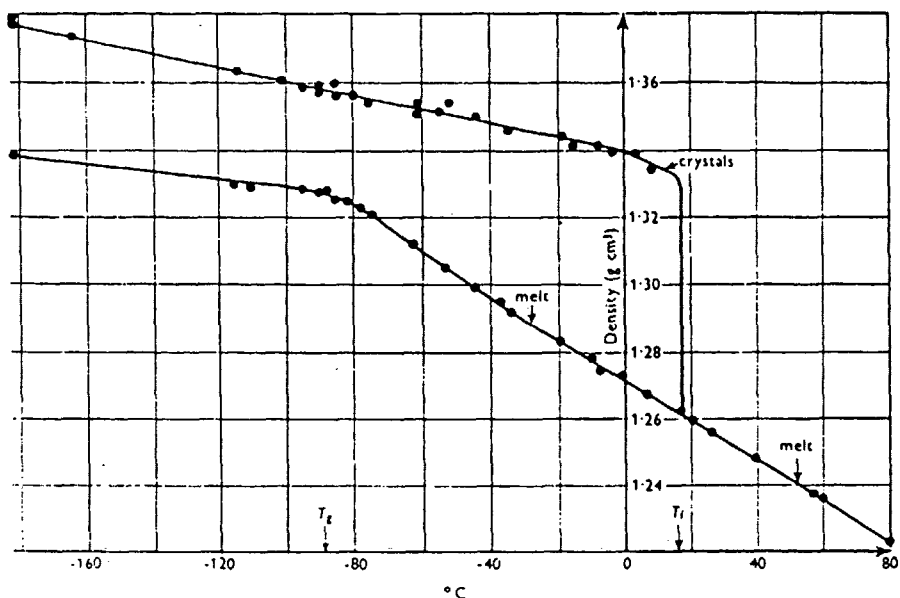
FIG. 16.7. Density of glycerol. Reproduced with permission from Schulz, *Kolloid Zeitschrift* 138, 75 (1954)

fig. 1.3.9

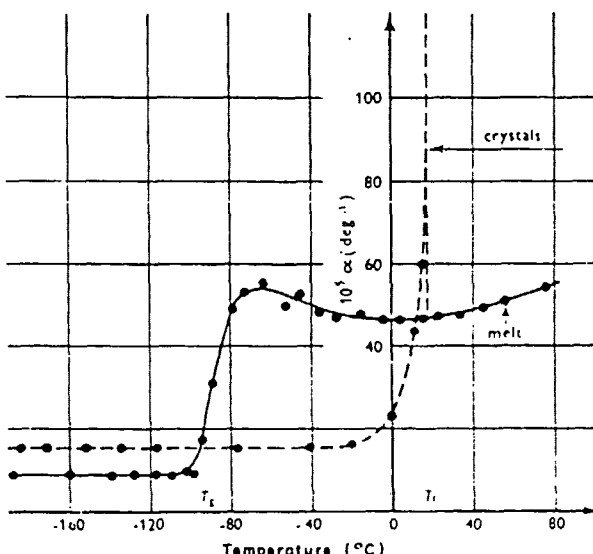
FIG. 16.10. Thermal expansion coefficient of glycerol. Reproduced with permission from Schulz, *Kolloid Zeitschrift* 138, 75 (1954)

fig. 1.3.10

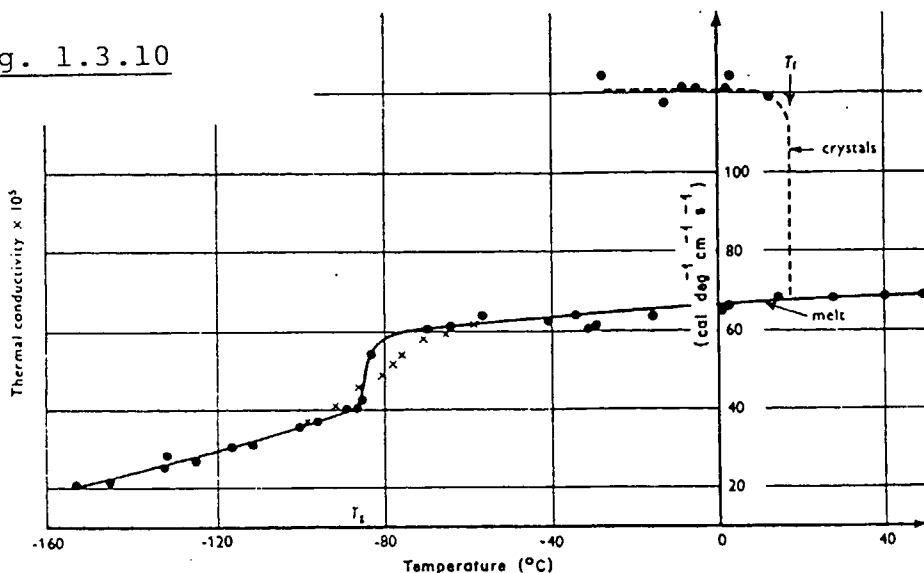
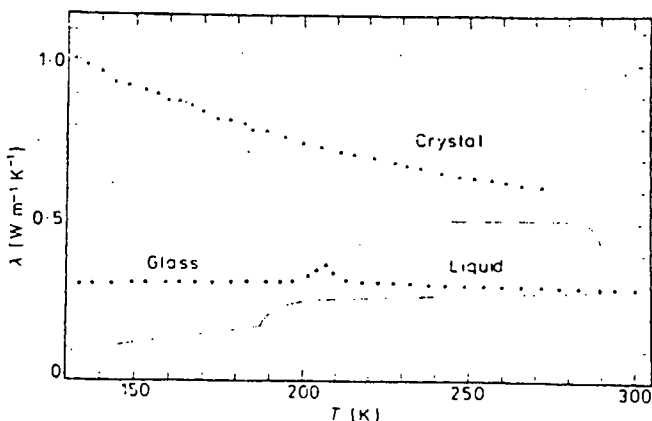


FIG. 16.12. Thermal conductivity of glycerol. Reproduced with permission from Schulz, Kollbid Zeitschrift 138, 75 (1954)

fig. 1.3.11



**Figure 1** Thermal conductivity of amorphous and crystalline glycerol against decreasing temperature at approximately atmospheric pressure. Data taken for increasing temperature were almost identical, except in the glass phase, where a maximum difference of 1% was observed. The broken curves represent results from Schulz (1954)

Der er uenighed i litteraturen om varmeledningsevnen  $\lambda$ 's forløb, idet Schultz [1.3.6] har fundet at den falder ved glasovergangen mens Sandberg et al [1.3.7] har fundet at den er konstant. Sandberg hævder at Schultz måler en værdi  $\lambda_{\text{for lav}}$ , fordi han delvis mister den termiske kontakt med samplet ved  $T_g$ . Sand-

berg mäler  $\lambda$  ved højt tryk 10MPa og mener derfor at  
være ude over problemet.

## 2. Irreversibel termodynamik og lineær response teori

- 2.1 Definition af de termodynamiske variable i en uligevægtstilstand
- 2.2 Problemet med gradienter. Varmediffusion.  
Lydudbredelse
- 2.3 Den kombinerede termiske og mekaniske responsesituations. Exergitilførsel. Entropiproduktion.  
Dissipation.
- 2.4 Lineær response teori. Forskydning, strøm og spænding. De 4 responsefunktioner. Indbyrdes relationer. Begrundelse for flere end én.
- 2.5 Tidsbilledet. Frekvensbilledet. Fouriertransformation. Laplacetransformation. Kramers-Kronig relationer. Relationer mellem frekvensresponsefunktioner.
- 2.6 Tolkning af imaginærdelen af varmefylden.  
Dissipation.
- 2.7 Analoge modeller. Simple elementer: Kapacitet C, modstand R. Relaxation/retardationstidsspektrum.  
Opløsning ej entydig.
- 2.8 Symmetri af responsematrixen (Onsager).  
Curie-Prigogine princippet

2.1Definition af de termodynamiske variable i en uligevægtsstilstand.

I termodynamisk ligevægt vil et system have veldefinerede termodynamiske størrelser såsom energi  $U$ , volumen  $V$ , temperatur  $T$ , tryk  $p$ , entropi  $S$ , entalpi  $H$ , o.s.v. I en uligevægtstilstand er kun  $U$  og  $V$  oplagt veldefinerede.

Vi kan inddele uligevægtsfænomener i to kategorier

1) Uligevægten skyldes termiske gradienter eller trykgradienter.

I sådanne situationer vil systemet lokalt være beskrevet af ligevægtstermodynamik med en lokal temperatur  $T(x)$  og et lokalt tryk  $p(x)$ . I ligevægtstermodynamik er entropien jo bestemt af  $U, V$  og  $N$ ,  $S = S(U, V, N)$ .

Temperaturen og trykket er givet ved  $\frac{1}{T} = \left(\frac{\partial S}{\partial U}\right)_{V, N}$ ,  $\frac{P}{T} = \left(\frac{\partial S}{\partial V}\right)_{U, N}$ . Da  $S$  er additiv for uafhængige dele af systemet bliver entropien pr. masseenhed  $s = S/m = S(U/m, V/m, N/m) = S(U, \frac{1}{m}, \frac{N}{m})$

Derfor kan entropitætheden indføres lokalt i tilfældet med gradienter,  $s(u(x), p(x)) = S(u(x), \frac{1}{p(x)}, \frac{N}{m})$ .

Den lokale temperatur og det lokale tryk bestemmes da af  $\frac{1}{T(x)} = \left(\frac{\partial s(x)}{\partial u(x)}\right)_p$  og  $\frac{p(x)}{T(x)} = \frac{\partial s(x)}{\partial v_p(x)} = - p^2 \left(\frac{\partial s(x)}{\partial p(x)}\right)_{u(x)}$  uden reference til omgivelserne.

2) Uligevægten skyldes indre relaxation eller f.eks. kemiske processer

Sådanne systemers temperatur  $T$  og tryk  $p$  kan vi ikke så let give en intrinsic definition. I stedet kan vi definere  $T$  ved temperaturen af det varmebad, systemet kan tænkes at være i kontakt med og ligeledes  $p$  ved omgivelsernes tryk.

Eksempel: Når glasovergangen vil vibrationsfrihedsgraderne (de "hurtige") ved en ændring af temperaturen meget hurtigt "termaliseres", d.v.s. komme i ligevægt med omgivelserne. Der findes derfor helt lokalt en temperatur, men selv efter at nævneværdige gradienter er forsvundet vil systemet stadig optage (eller afgive) varme, svarende til, at der lokalt indtræder ligevægt mellem de hurtige

og langsomme frihedsgrader.

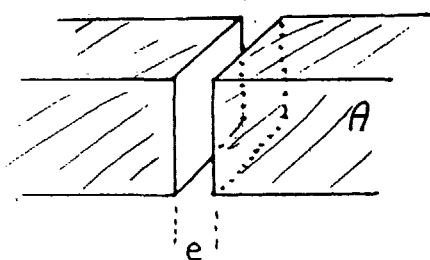
For at lette diskussionen ønsker vi at se bort fra gradienter og må derfor kort udlede betingelsen for dette.

## 2.2 Problemet med gradienter. Varmediffusion.

### Lydudbredelse

Lad en væske med massefylde  $\rho$ , varmefylde  $c_p$  og varmeledningsevne  $\lambda$  være placeret mellem to parallelle plader med afstand  $e$  og tværnitsareal  $A$ . (Fig. 2.2.1)

Fig. 2.2.1



Antag at der påtrykkes en periodisk temperatursvingning med amplitude  $(\Delta T)_{AC}$  med svingningstid  $t_s$ . Det er klart at grænsen for små gradienter  $(\Delta T)_e$  fremkommer, når hele væsken svinger med. Varmestrømmen, der skal transporteres

$$c_p \rho A e (\Delta T)_{AC} / t_s .$$

bliver da omrent

eller

$$c_p \rho (\Delta T)_{AC} / t_s = \lambda \frac{(\Delta T)_e}{e}$$

$$(2.2.1) \quad \frac{(\Delta T)_e}{(\Delta T)_{AC}} \approx \frac{e^2}{t_s D}$$

hvor  $D = \frac{\lambda}{\rho c_p}$  er varmediffusionskonstanten. For en given svingningstid kan man altså ved tilstrækkelig lille valg af  $e$  opnå, at temperaturgradienten er forsvindende. I tilfældet glycerin er  $D = 0,1 \text{ mm}^2/\text{s}$ , så for  $e = 0,3 \text{ mm}$  er betingelsen  $t_s \gg 1 \text{ s}$ .

Noget tilsvarende kan siges om trykgradienter. Da lydudbredelse imidlertid foregår langt hurtigere end varmediffusion vil sådanne udjævnes først.

2.3 Den kombinerede termiske og mekaniske response situation. Exergitilførsel. Entropi produktion. Dissipation.

Antag at vi tilfører systemet en varmestrøm  $\dot{Q}(t)$  og pålægger et tryk  $p(t)$  (input's) samtidigt med, at vi mäter temperatur  $T(t)$  og volumenstrøm  $\dot{v}(t)$  (output's). Lad  $T_0, p_0$  være en referencetemperatur, hhv et referencetryk og sæt  $\delta T(t) = T(t) - T_0$ ,  $\delta p(t) = p(t) - p_0$  (fig 2.3.1).

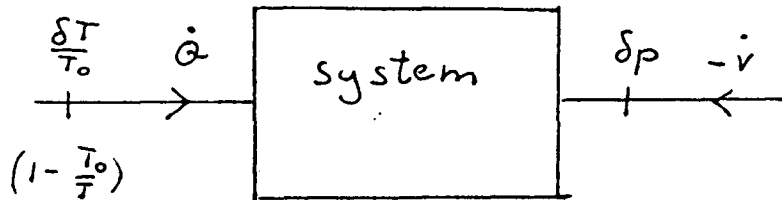


fig. 2.3.1

De forskellige vekselvirkninger mellem system og omgivelser kalder vi energibånd [2.3.2]

2. hovedsætning kan godt benyttes til at give entropistrømmen ind i systemet, selv om der foregår irreversible processer i systemet, da omgivelserne principielt kan afgive entropien reversibelt

$$(2.3.1) \quad J_s(t) = \frac{\dot{Q}(t)}{T(t)}$$

Temperaturvariationen kunne komme i stand således: Inddel tiden i ækvidistante punkter  $t_j, \Delta t = t_{j+1} - t_j$  og tænk på en lang række temperaturbade  $B_j$  med de konstante temperaturer  $T_j = T(t_j)$  og med lille temperaturforskæl mellem  $B_j$  og  $B_{j+1}$ . Systemet bringes nu succesivt i kontakt med badene således, at det i tiden  $t_j \leq t < t_{j+1}$  er i kontakt med  $B_j$  og modtager varmemængden  $\dot{Q}(t_j) \Delta t$

(2.3.1) kan omskrives til

$$(2.3.2) \quad T_0 J_S = \dot{Q} - (1 - \frac{T_0}{T}) \dot{Q}$$

Vi tænker os også en konstruktion med en række trykbade  $\beta_j$  med tryk  $p_j$ , der udveksler voluminet  $\dot{V}(t_j)$  at i tiden  $t_j < t < t_{j+1}$ , således at processerne i badene er reversible.

1. hovedsætning siger

$$(2.3.3) \quad \delta Q = dU - \delta W = dU + p dV, \text{ dvs.}$$

$$(2.3.4) \quad \dot{Q} = \dot{U} + p \dot{V} = \dot{U} + p_0 \dot{V} + \delta p \dot{V}$$

Kombineres 1. og 2. hovedsætning fås

$$(2.3.5) \quad T_0 J_S = \dot{U} + p_0 \dot{V} + \delta p \dot{V} - (1 - \frac{T_0}{T}) \dot{Q}, \text{ eller}$$

$$(2.3.6) \quad (1 - \frac{T_0}{T}) \dot{Q} - \delta p \dot{V} = \dot{U} + p_0 \dot{V} - T_0 J_S \\ = \frac{d}{dt} (U + p_0 V - T_0 S_t) \\ = \frac{d}{dt} A$$

hvor  $S_t = \int J_S dt$  er tilført entropi og altså ikke nødvendigvis systemets entropi.  $S_t$  er kun bestemt på nær en additiv konstant.

$$(2.3.7) \quad A \equiv U + p_0 V - T_0 S_t$$

ligner Gibb's fri energi,  $G = U + pV - TS$ ; men er ikke det samme; thi i  $G$  er  $p, T, S$  systemets egne værdier af disse størrelser.  $A$  kaldes af visse termodynamikere exergien (availability) [2.3.3]

i forhold til et  $T_0, p_0$  reservoir.

$(1 - \frac{T_0}{T}, \dot{Q})$  hhv  $(\delta p, -\dot{V})$  er par af konjugerede variable m.h.t. exergitilførslen.

For små temperaturvariationer  $\frac{\delta T}{T_0} \ll 1$  kan vi tilnærmet skrive

$$(2.3.8) \quad \frac{\delta T}{T_0} \dot{Q} + \delta p(-\dot{V}) = \frac{d}{dt} A$$

Ved en kredsproces over tiden  $t_p$ , hvor altså  $U(o) = U(t_p)$  og  $V(o) = V(t_p)$  vil

$$(2.3.9) \oint dA = \oint d(U + P_o V - T_o S_t) = - T_o \oint J_s dt$$

Altså minus  $T_o$  gange den totale entropitilførsel. Da denne i almindelighed vil være forskellig fra 0 er  $A$  ikke nogen tilstandsfunktion. Entropien er jo ikke bevaret ved irreversible processer, men antager vi, at ulige-vægtstilstandene stadig kan tilskrives en entropi, må ændringen af entropien have to bidrag, en tilført og en født

$$(2.3.10) \frac{dS}{dt} = J_s + \sigma$$

hvor  $\sigma$  så er en entropiproduktion. Kender vi nøjere til de processer, der foregår, kan  $\sigma$  ofte beregnes. Eller det kan være, at situationen er stationær, så  $\frac{dS}{dt} = 0$ . Da må  $\sigma = -J_s$ . I tilfældet med en periodisk påvirkning vil vi forvente, at entropien også vil svinge periodisk efter en vis indsvingningstid, så  $S(t + t_p) = S(t)$ . Da bliver

$$\begin{aligned} (2.3.11) A(t + t_p) - A(t) &= \oint dA = -T_o \oint J_s dt \\ &= -T_o \oint \left( \frac{dS}{dt} - \sigma \right) dt \\ &= T_o \oint \sigma dt = T_o \sum \end{aligned}$$

Altså er  $\oint dA$  efter indsvingning lig  $T_o$  gange den integrale entropiproduktion,  $\sum$  i en periode. Tilvæksten i systemets energi kan også tolkes som et tab af arbejdsevne i omgivelserne. Betegnes værdierne for omgivelserne med index  $y$  er

$$\dot{u}_y = -\dot{u}, \dot{v}_y = -\dot{v}, \dot{S}_{t,y} = -\dot{S}_t, \dot{\Theta}_y = -\dot{\Theta}$$

Af (2.3.6) følger det da, at der for omgivelserne også gælder

$$(2.3.12) \left(1 - \frac{T_0}{T}\right) \dot{Q}_j - \delta_p \dot{V}_j = \frac{d}{dt} A_j = - \frac{d}{dt} A$$

Vi ved fra diskussionen af Carnotprocessen, at  $W = \left(1 - \frac{T_0}{T}\right) Q$  er det maximale arbejde, der kan udvindes, ved at tage varmemængden  $Q$  ved temperaturen  $T$  og levere varmemængden  $\theta - W$  ved  $T_0$ . I tidsrummet  $t_j$  til  $t$ , hvor  $t_j < t < t_{j+1}$ , har vi altså øget badet  $\mathcal{B}_j$ 's arbejdsevne med  $\left(1 - \frac{T_0}{T}\right) \dot{Q}_j$  m.h.t. et reservoir med temperaturen  $T_0$ .

Ligeledes er  $-(p - p_0) \dot{V}_j$  tilvæksten i arbejdsevnen af trykreservoir  $\mathcal{B}_j$  m.h.t. et reservoir med trykket  $p_0$ . Exergien  $A_j$  for omgivelserne er altså ganske simpelt omgivelsernes arbejdsevne og tilvæksten i systemets energi er tabet af omgivelsernes arbejdsevne. For omgivelserne er energien  $A_j$  en tilstandsfunktion (så længe der kun foregår reversible processer i omgivelserne, hvad vores konstruktion tog sigte på).

Tabet af arbejdsevne kaldes dissipation  $D$ , så vi har

$$(2.3.13) D = T_0 \sum$$

Denne er kun synonym med en varmeproduktion, når temperaturen  $T$  holdes konstant.

Vi kan nu have forskellige begrænsede responsesituationer. Holdes  $V$  konstant er  $\delta Q = dU$ , d.v.s. den indre energi er potential for varmen. Holdes  $p$  konstant lig  $p_0$  bliver  $\delta Q = dU + p_0 dV = dH_0$ , hvor  $H_0 = U + p_0 V$ .

(Ex-)entalpien  $H_0$  er en tilstandsfunktion og i denne situation desuden potential for varmen. Læg mærke til, at det ikke er sikkert at den sædvanlige entalpi  $H = U + pV$  er defineret, da visse frihedsgrader måske ikke er i ligevægt med  $p_0$  og dermed  $p$  ikke bestemt (intrinsic).

2.4 Lineær responseteori. Forskydning, strøm og spænding. De 4 responsefunktioner. Indbyrdes relationer. Begrundelse for flere end én r.f.

I responseteorien interesserer man sig for, hvad der kan siges generelt om sammenhængen mellem input  $\varphi(t)$  og output  $\gamma(t)$  for et system.

De variable, der kan komme på tale vil være en forskydning  $\varphi$  (såsom elektrisk ladning), som genkendes på at den er ekstensiv<sup>1</sup> og tidsintegralet af strømmen  $f \cdot f$  vil skifte fortegn under tidsvending. Den tredje variabel  $e$  kaldes spændingen og vil være intensiv. Den skifter ikke fortegn ved tidsvending. Den sidste variabel, impulsen,  $p$ , er tidsintegralet af spændingen, men den får vi ikke brug for her.

Produktet  $e \cdot f$  af spænding og strøm skal angive en art overført energimængde pr. tid.

Eksempelvis vil  $\frac{\delta T}{T_0}$  (eller  $1 - \frac{T_0}{T}$ ) ,  $\delta p$  være spændinger mens  $\dot{\varphi}, \dot{V}$  er strømme og summen af produkterne af disse energibåndsvariable giver den tilførte energi pr. tid, som vi har set.

I den lineære responseteori antager vi, at for tilstrækkeligt små påvirkninger vil der være en lineær sammenhæng mellem input,  $\varphi$  og output,  $\gamma$ ; men der kan godt være en "after effect", ændringen  $d\varphi(t')$  i  $\varphi$  til tiden  $t'$  giver således et bidrag til ændringen  $d\gamma(t)$  af  $\gamma$  til tiden  $t$ , (hvis der er flere porte til systemet, holdes input i de andre konstant) :

<sup>1</sup> Evt. forklædt som en relativ forskydning

$$(2.4.1) \quad d\gamma(t) = R(t, t') d\varphi(t') = R(t - t') d\varphi(t')$$

hvor vi yderligere har antaget at denne ændring kun afhænger af tidsforskellen (tidshomogenitet). Da response må komme efter stimuli må  $R$  være 0 for  $t < t'$  altså

$$(2.4.2) \quad R(t) = 0, \quad t < 0 \quad (\text{Kausalitet})$$

Opsummering af alle bidragene fra  $t' = -\infty$  til  $t' = t$  giver

$$(2.4.3) \quad \gamma(t) = \int_{-\infty}^t R(t - t') d\varphi(t') = \int_{-\infty}^t R(t - t') \dot{\varphi}(t') dt'$$

$$= \int_0^\infty R(t'') \dot{\varphi}(t - t'') dt'', \quad (\gamma = R \circ \varphi)$$

Afhængigt af typen af input/output variable giver vi responcefunktionen  $R$  forskellige navne, som det fremgår af nedenstående skema. Dimensionen af  $R$  er  $\text{dim}(\text{output})/\text{dim}(\text{input})$ .

En af responcefunktionerne er nok til at karakterisere systemet, idet de 4 hænger matematisk sammen<sup>1</sup>. Når man alligevel ikke blot nøjes med en af dem, er det fordi, det eksperimentelt kan være praktiskt at kunne bestemme, hvilke variable (input), der styres og hvilke (output), der måles. I en teori vil det også være forskelligt hvilken r.f., det er mest naturlig at betragte.

<sup>1</sup> Dersom impulsen  $P = \int_{-\infty}^t e dt$  også er relevant må skemaet udvides med yderligere to responcefunktioner: letheden,  $F$  givet ved  $f = F \circ p$  og trægheden,  $M$  givet ved  $p = M \circ f$

output $\gamma$	forskydning $q (= \int f)$	strøm $f$	spænding $e$
forskydning $q (= \int f)$			stivhed $G$ modulus
strøm $f$			modstand $Z$ impedans
spænding $e$	krybefunktion $J$ creep compliance	bevægelighed $\gamma$ admittans mobilitet	

Den matematiske struktur af sammenhængen mellem responsefunktionerne overskues lettest ved at indføre to matematiske kompositioner.

Ved foldningen  $A * B(t)$  af  $A(t)$  med  $B(t)$  forstås

$$(2.4.4) (A * B)(t) \equiv \int_{-\infty}^{\infty} A(t-t') B(t') dt'$$

Vi må ikke være for restriktive i afgrænsningen af den funktionsklasse, vi beskæftiger os med. Vi kan således ikke kræve  $R(t) \rightarrow 0$  for  $t \rightarrow \infty$ . F.eks. vil et konstant shear stress på en Newtonsk væske give en forskydning  $\zeta(t) = t/\gamma \rightarrow \infty$  for  $t \rightarrow \infty$ . En nødvendig betingelse, vi må stille, er at funktionerne går kraftigere mod 0 for  $t \rightarrow -\infty$  end de går mod  $\infty$  for  $t \rightarrow \infty$ . Altså to vilkårlige funktioner fra klassen opfylder  $A(-t) B(t) \rightarrow 0$  for  $t \rightarrow \infty$ . Dette sikrer at integranden  $\rightarrow 0$  i begge grænser i (2.4.4). Da vi også ønsker at kunne integrere inden for klassen, må vi hellere stille den tilstrækkelige betingelse:

"Der findes et  $\varepsilon > 0$  så  $A(t) \rightarrow 0$  som  $e^{\varepsilon t}$  (eller hurtigere) for  $t \rightarrow -\infty$  samt for vilkårligt lille  $\varepsilon' > 0$  vil  $A(t) e^{-\varepsilon' t} \rightarrow 0$  for  $t \rightarrow \infty$ ."

For foldningen  $*$  eftervises let den associative og kommutative lov samt distributive lov m.h.t. + .

Responsefunktionerne  $R$  er p.g.a. kausaliteten (2.4.2) indeholdt i funktionsklassen. Derimod kan stimuli  $\varphi$  gerne være  $\neq 0$  for  $t < 0$ , men vor førte diskussion kræver, at systemet var uforstyrret i den uendeligt fjerne fortid ( $\varphi \sim e^{\varepsilon t}$  for  $t \rightarrow -\infty$ ). Endvidere betyder (2.4.2) at grænserne i (2.4.3) kan føres til  $-\infty$ , så (2.4.3) kan skrives

$$(2.4.5) \quad \delta = R * \dot{\varphi} = \dot{\varphi} * R$$

Desuden indfører jeg kompositionen "gange"  $\circ$  som "foldning med den tidsaflede"

$$(2.4.6) \quad A \circ B = A * \dot{B}$$

så (2.4.3) bliver

$$(2.4.7) \quad \gamma = R \circ \varphi$$

response er lig responsfunktionen "gange" stimuli. Den distributive lov for  $*$  m.h.t.  $\dagger$  fører direkte til den distributive lov for  $\circ$  m.h.t.  $\dagger$ . Af (2.4.4) følger

$$(2.4.8) \quad (A * B) = A * B = A * B$$

og denne relation betyder, at også den associative og kommutative lov kan overføres til  $\circ$ . Enheden  $E$  for  $\circ$  er Heavisidefunktionen

$$(2.4.9) \quad E(t) = \begin{cases} 0 & \text{for } t < 0 \\ 1 & \text{for } t > 0 \end{cases}$$

mens enheden for  $*$  er dens aflede, deltafunktionen  $\delta(t)$ . Dette ser vi ud fra betingelsen

$$(2.4.10) \quad A \circ E = A \Leftrightarrow A * E = A \Leftrightarrow$$

$$A(t) = \int_{-\infty}^{\infty} E(t-t') A(t') dt' = \int_{-\infty}^{\infty} \delta(t-t') A(t') dt'$$

Heavisidefunktionen er dimensionsløs, mens deltafunktionen har den reciproke dimension af sit argument ( $\delta(t) dt$  skal være dimensionsløs).

Matematisk set er funktionsklassen med  $*$  hhv.  $\circ$  kommutative algebraer med ét-elementer. Det betyder bare at erstattes sædvanlig punktvis multiplikation blandt funktioner med  $*$  hhv.  $\circ$ , samt ét-elementet  $-1$  for alle  $t$  - med Heavisidefunktionen hhv. deltafunktionen, så vil den algebraiske opførsel være uændret. Måske er de også Banachalgebraer, men der er problemer med normen idet vi ikke kunne kræve  $R \rightarrow 0$  for  $t \rightarrow \infty$ , endlige  $\int_{-\infty}^{\infty} |R| < \infty$ .

Med  $\int \varphi$  betegnes  $\int_{-\infty}^t \varphi(t') dt'$ . Man overbeviser sig om

$$(2.4.11) \quad \int (A \circ B) = (\int A) \circ B = A \circ (\int B)$$

Sammenhænge mellem responsefunktionerne findes nu let.

Ifølge skemaet er  $f = Y \circ e$  og  $g = J \circ e$  og dermed

$$g = \int f = \int (Y \circ e) = (\int Y) \circ e \quad , \text{ altså } J = \int Y$$

eller

$$(2.4.12) \quad J(t) = \int_{-\infty}^t Y(t') dt' = \int_0^t Y(t') dt'$$

$$\begin{aligned} \text{Ligeledes er } e &= Z \circ f \quad \text{og} \quad e = G \circ g = G \circ \int f \\ &= (\int G) \circ f \quad \text{altså} \quad Z = \int G \end{aligned}$$

$$(2.4.13) \quad Z(t) = \int_0^t G(t') dt'$$

$$\text{Endelig er } e = Z \circ f = Z \circ Y \circ e \quad \text{d.v.s.} \quad Z \circ Y = E$$

$$(2.4.14) \quad \int_0^t Z(t-t') \dot{Y}(t') dt' = E(t)$$

Invertering kræver således løsning af en Volterra integraalligning.

2.5 Tidsbilledet, Frekvensbilledet. Fouriertransformation. Laplacetransformation. Kramers - Kronig relationer

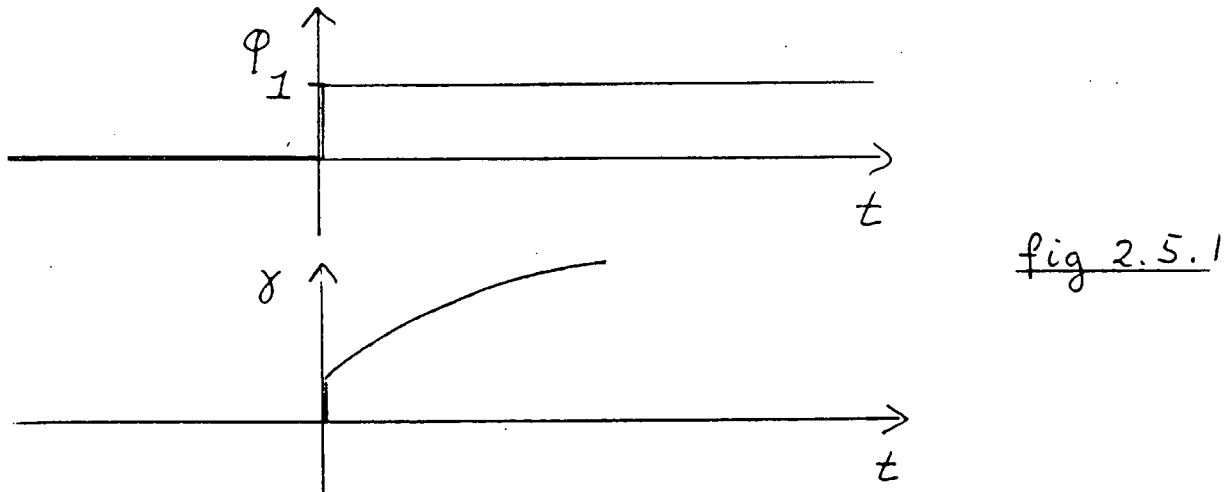
Lad stimuli være en Heaviside funktion (stepfunktion), til tiden  $t = 0$  : (fig. 2.5.1)

$$(2.5.1) \quad \varphi(t) = \varphi_0 E(t), \quad \dot{\varphi}(t) = \varphi_0 \delta(t)$$

Da er

$$(2.5.2) \quad \gamma(t) = \int_0^\infty R(t') \varphi_0 \delta(t-t') dt' = \varphi_0 R(t)$$

Responsfunktionen  $R(t)$  er simpelthen svaret  $\gamma(t)$  på et enhedsstep i stimuli til tiden  $t = 0$  og kan simpelt måles ved den slags forsøg.



Formel (2.4.3) udtrykker at output er givet ved at folde den tidsaflede af input med responsfunktionen. Da foldning overgår til produkt, differentiation til multiplikation med  $(-i\omega)$  og integration til division med  $(-i\omega)$  ved Fouriertransformation vil diskussionen ofte være lettere i frekvensbilledet. Betragt derfor et periodisk input  $\text{Re}\{\varphi(t)\} = \text{Re}\{\varphi_0 e^{-i\omega t}\}$

Da ligningerne er lineære kan vi gerne regne med det komplexe input og tage realdel til sidst. Vi får

$$\begin{aligned}\gamma(t) &= \int_0^\infty R(t') (-i\omega) \varphi_\omega e^{-i\omega(t-t')} dt' \\ &= (-i\omega) \varphi_\omega e^{-i\omega t} \int_0^\infty R(t') e^{i\omega t'} dt'\end{aligned}$$

Skriver vi  $\gamma(t) = \gamma_\omega e^{-i\omega t}$ , ser vi

$$(2.5.3) \quad \gamma_\omega = \hat{R}(\omega) \varphi_\omega, \text{ hvor}$$

$$(2.5.4) \quad \hat{R}(\omega) = (-i\omega) \mathcal{F}\{R(t), \omega\}$$

$\mathcal{F}\{R(t), \omega\}$  er den Fouriertransformerede af  $R(t)$

$$(2.5.5) \quad \mathcal{F}\{R(t), \omega\} \equiv \int_{-\infty}^\infty R(t) e^{i\omega t} dt$$

Her kunne nedre grænse føres til  $t = -\infty$ , som normalt i en Fouriertransformation p.g.a. (2.4.2)

$\hat{R}(\omega)$  vil vi kalde frekvensresponsefunktionen hørende til tidsresponsefunktionen  $R(t)$ . Læg mærke til, at der uddover Fouriertransformation skal ganges med  $(-i\omega)$ . Dette gøres for at den transformerede tidsfunktion bliver den funktion, som man naturligt ville måle og definere ved (2.5.3) i et forsøg.  $\hat{R}(\omega)$  har således samme dimension som  $R(t)$  og grænseopførslene

$\hat{R}(\omega)$  for  $\omega \rightarrow 0$  eller  $\infty$  vil svare til henholdsvis  $R(t)$  for  $t \rightarrow \infty$  eller  $t \rightarrow 0$

$$(2.5.6) \quad R(t) = \mathcal{F}^{-1}\left\{\frac{\hat{R}(\omega)}{-i\omega}, t\right\} = \frac{1}{2\pi} \int_{-\infty}^{\infty} \frac{\hat{R}(\omega)}{-i\omega} e^{-i\omega t} d\omega.$$

Skrives  $\hat{R}(\omega) = |\hat{R}(\omega)| e^{i\Theta_\omega}$  bliver  $\gamma(t) = |\hat{R}(\omega)| \varphi_\omega e^{-i(\omega t - \Theta_\omega)}$  så  $\Theta_\omega$  angiver hvor mange radianer  $\gamma(t)$  er fasedrejet bagud i forhold til  $\varphi(t)$ , mens  $|\hat{R}(\omega)|$  angiver amplitudeforholdet  $|\gamma_\omega| / |\varphi_\omega|$

Endvidere gælder for reelle  $\omega$  ( $R(t)$  er reel)

$$(2.5.7) \quad \hat{R}(-\omega) = \hat{R}^*(\omega)$$

Kausaliteten (2.4.2) betyder, at Fouriertransformationen kan analytisk udvides til at gælde for komplexe frekvenser  $\omega = \omega' + i\omega''$  i øvre halvplan  $\omega'' > 0$ , thi faktoren  $e^{-\omega''t}$  betyder at integranden går mod 0 for  $t > 0$  mens denne faktor ikke skaber problemer for  $t < 0$  fordi  $R(t) = 0$  her.  $\hat{R}(\omega)$  har således ingen poler i øvre halvplan; mens dens udvidelse til nedre halvplan (som ikke kan angives ved (2.5.4,5)) vil have det.

Det vil også være praktiskt at indføre Laplacefrekvensen  $s = -i\omega = \omega'' - i\omega'$  samt definere  $s$ -frekvensresponsefunktionen  $\tilde{R}(s)$

$$(2.5.8) \quad \tilde{R}(s) \equiv \hat{R}(\omega) = s \int_0^\infty R(t) e^{-st} dt, \text{ altså}$$

$$(2.5.9) \quad \tilde{R}(s) = s \mathcal{L}\{R(t), s\}$$

$s$  gange den Laplacetransformede af  $R(t)$ .

Den slagkraftige matematiske teori for komplexe funktioner betyder at man kan udlede en række relationer responsefunktionen må opfylde. To vigtige er de såkaldte Kramers-Kronig relationer [2.5.1, s 384], [2.5.2, s 256]

der udtrykker imaginærdelen ved realdelen og vice versa. Disse bygger på analyticiteten i øvre halvplan, der igen var betinget af kausaliteten og lyder, at dersom  $\hat{R}(\omega) \rightarrow R_\infty$  for  $\omega \rightarrow \infty$ , samt hvis der er en simpel pol i  $\sigma$   $\hat{R}(\omega) \rightarrow \frac{A}{\omega - i\omega_0}$  for  $\omega \rightarrow 0$  så vil

$$(2.5.10) \quad \text{Im } \hat{R}(\omega) = -\frac{1}{\pi} P \int_{-\infty}^{\infty} \frac{\text{Re } \hat{R}(\xi) - R_\infty}{\xi - \omega} d\xi + \frac{A}{\omega}$$

$$(2.5.11) \quad \text{Re } \hat{R}(\omega) = \frac{1}{\pi} P \int_{-\infty}^{\infty} \frac{\text{Im } \hat{R}(\xi)}{\xi - \omega} d\xi$$

P'et står for principalværdien af integralet, dvs., at vi nær integrandenens singularitet i  $\omega$  (og 0) skal beregne integralet som  $\lim_{\delta \rightarrow 0} \left\{ \int_{-\infty}^{\omega-\delta} + \int_{\omega+\delta}^{\infty} \right\}$  det første tilfælde og  $\lim_{\delta \rightarrow 0} \left\{ \int_{-\infty}^{\delta} + \int_{\delta}^{\omega-\delta} + \int_{\omega-\delta}^{\infty} \right\}$  i det andet

I frekvensbilledet bliver sammenhængene mellem response-funktionerne meget simple

$$(2.5.12) \quad \tilde{J} = \frac{1}{\tilde{G}}, \quad \tilde{Y} = \frac{1}{\tilde{Z}}, \quad \tilde{J} = \frac{1}{S} \tilde{Y}, \quad \tilde{G} = S \tilde{Z}$$

† Tænk på DC-ledningsevne i elektrisk tilfælde

## 2.6 Tolkning af imaginærdelen af varmefylden. Dissipation.

Sædvanligvis er imaginærdelen af den generaliserede susceptibilitet,  $\alpha$  (= krybefunktionen  $J$ ) proportional med middeldissipationen over en periode. Ved dissipationen tænkes normalt på den varme, der dannes. Således skriver Landau og Lifshitz [2.5.1, s. 386] :

"The change in state of the body as a result of the "force"  $f$ , is accompanied by absorption (dissipation) of energy, the source of this energy is the external interaction, and after absorption in the body it is converted into heat. This dissipation also can be expressed in terms of the quantity  $\alpha$ ."

Det er i og for sig rigtigt, men blot ikke generelt. Grunden er, at man normalt ikke tænker på termiske perturbationer, men kun på perturbationer, der kan behandles ved at tilføje ledet  $\hat{V} = -\hat{q}e(t)$  ( $\hat{q}$  er den kvantemekaniske operator hørende til  $q$ ) til systemets Hamilton funktion.<sup>1</sup> Der er imidlertid intet i den termodynamiske behandling, vi har givet, der kræver en sådan antagelse. Som vi har set, skal dissipation udvides til at betyde tab af arbejdsevne, mens energifunktionen ikke skal være den indre energi men exergien.

Lad os beregne dissipationen for systemet i fig. 2.3.1 i to tilfælde.

A. Holdes temperaturen konstant vil den responsefunktion, vi mäter i  $(\delta_p, -\dot{v})$ -porten være den isoterme kompressibilitet  $v_0 \kappa_T(\omega)$ . (2.3.6) og (2.3.11) giver os nu (efter indsvingning)

$$(2.6.1) \quad T_0 \Sigma = \oint \delta_p \cdot (-\dot{v})$$

Da vi nu beregner et produkt skal vi til at regne med de virkelige reelle størrelser

---

<sup>1</sup> Kubo 2.6.1 har dog diskuteret termiske perturbationer.

$$(2.6.2) \quad \delta p(t) = \operatorname{Re}(\delta p_\omega e^{-i\omega t}) = \frac{1}{2}(\delta p_\omega e^{-i\omega t} + \delta p_\omega^* e^{+i\omega t})$$

giver responset

$$(2.6.3) \quad -\delta v = \frac{1}{2}(V_0 \chi_T(\omega) \delta p_\omega e^{-i\omega t} + V_0 \chi_T^*(-\omega) \delta p_\omega e^{+i\omega t})$$

↓

$$(2.6.4) \quad -\dot{v} = \frac{1}{2} V_0 \delta p_\omega (\chi_T(\omega)(-\imath\omega) e^{-i\omega t} + \chi_T^*(-\omega) \imath\omega e^{+i\omega t})$$

Da  $\oint e^{\pm i2\omega t} dt = 0$  og  $\oint 1 dt = \frac{2\pi}{\omega}$  fås blot

$$(2.6.5) \quad T_0 \Sigma = -i 2\pi |\delta p_\omega|^2 V_0 \frac{1}{4} (\chi_T(\omega) - \chi_T^*(-\omega))$$

↓

$$(2.6.6) \quad T_0 \Sigma / t_s = \frac{1}{2} |\delta p_\omega|^2 V_0 \operatorname{Im}(\chi_T(\omega)), \text{ hvor } t_s = \frac{2\pi}{\omega}$$

Da temperaturen i dette tilfælde er konstant er entropien  $\Sigma$  blot ført bort med varmen  $\Theta = T_0 \Sigma$  og det sædvanlige resultat fremkommer [2.5.1 ligning 125.11]

$$\Theta/t_s = \frac{1}{2} \omega |\delta p_\omega|^2 V_0 \operatorname{Im}(\chi_T(\omega))$$

B. I tilfældet hvor  $p$  holdes konstant bliver response-funktionen i  $(\frac{\delta T}{T_0}, \Theta)$ -porten  $T_0 c_p(\omega)$  og nu giver en tilsvarende udregning

$$(2.7) \quad T_0 \Sigma = \pi |\frac{\delta T}{T_0}|^2 T_0 \operatorname{Im}(c_p(\omega))$$

og nu kan vi kun tale om entropiproduktionen, thi der er naturligvis ikke tale om nogen varmeproduktion over en periode, da den samlede varmetilførsel til systemet over en periode er 0. Formuleringen med entropiproduktionen er derfor mere generel. Entropien er tilført det ydre system. Efter en periode er dets arbejdsevne aftaget med  $T_0 \Sigma$ .

1 Dette resultat er også fundet af Jeppe Dyre [2.6.3] og N.O. Birge, S.R. Nagel [2.6.4]

En af de få, der teoretisk har diskuteret frekvens-afhængig varmefylde er E.J.Donth [2.6.2, s. 122].

I lyset af ovenstående kan vi nu tilbagevise hans påstand:

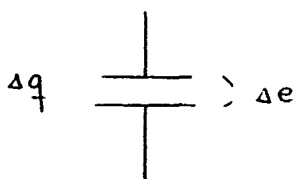
"Gewöhnlich wird der imaginäre Teil von Suszeptibilitäten mit einer Dissipation..., in Verbindung gebracht. Das trifft aber auf die Entropienachgiebigkeit nicht zu: --- hat primär nichts mit einem Energieumsatz zu tun. Eine Dissipation wird nur dann beobachtet, wenn die Störung mit einer Energieform höherer Qualität als Wärme verbunden ist, z.B. Volumenarbeit. Das ist für eine Temperaturstörung nicht der Fall, die damit verbundene Energieform ist bereits die Wärme selbst".

2.7 Analoge modeller. Simple elementer. Kapacitet C. Modstand R. Relaxationstidsspektrum. Retardationstidspektrum. Ikke entydighed af opløsning.

Den lineære responsteori er formuleret som en abstrakt ramme, der kan anvendes på alle mulige systemer, når først de to konjugerede variable, strøm og spænding og deres produkt, energioverførslen pr. tid er blevet identificeret. Elektriske netværk er ét eksempel på et sådant system. Det betyder imidlertid, at man kan lave en elektrisk analog model af det aktuelle system. Denne analogi vil vi gøre kraftigt brug af, idet vi vil tegne elektriske ækvivalentdiagrammer til beskrivelse af systemets opførsel. Hvis man er fortrolig med elektriske kredsløb vil en sådan oversættelse ofte gøre, at man hurtigere og klarere kan opstille og forkaste modeller for systemet samt afgøre, hvordan systemet vil opføre sig i forskellige responsesituationer. Den visualisering af ligningerne som ækvivalentdiagrammet giver, finder jeg er nyttig for tanken.

En række ideale elementer til netværksopbygningen kan defineres. Vi introducerer to:

#### Kapacitet C



En kapacitet er et element, der har en krybefunktion, der er konstant i tiden,  $J(t) = C$  ( $\hat{J}(\omega) = C$ ). For dette element er der altså proportionalitet mellem ladning og spænding  $\Delta q = C \Delta e$ .

Ved overgang fra 1 til 2 oplagrer elementet energien (exergien)  $\frac{1}{2} C (e_2^2 - e_1^2) = \frac{1}{2} C (q_2^2 - q_1^2)$ , uden dissipation.

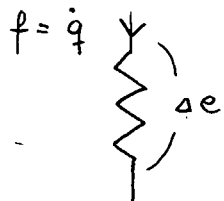
I det termiske tilfælde er da  $\Delta \Theta = C \Delta (1 - \frac{T_0}{T}) \approx C \frac{\Delta T}{T_0}$ ,

Bemærk at P.V.Christiansen [2.3.2] har udviklet et mere generelt tegnsprog, energibåndsformalismen, der kan behandle mere komplexe systemer end elektriske netværk kan.

hvor  $C' = \frac{C}{T_0}$  er det

vi normalt forstår ved varmefyldede. Den tilførte energi bliver  $\frac{1}{2} C ((1 - \frac{T_0}{T_2})^2 - (1 - \frac{T_0}{T_1})^2) \approx C \frac{T_2 - T_1}{T_0} = C' \Delta T$  d.v.s. simpelthen den oplagrede varmemængde.

### Modstand R.



En modstand er et element, der har en impedansfunktion, der er konstant i tiden  $Z(t) = R$ .  $Z = R$ . For dette element er der altså proportionalitet mellem strøm og spænding  $Δe = R f$ .

Elementet kan ikke lagre energien, men dissiperer den. Dissipationen pr. tid er  $\frac{(Δe)^2}{R} = f R^2$ . I det termiske tilfælde er da  $R \dot{\varnothing} = (1 - \frac{T_0}{T_2}) - (1 - \frac{T_0}{T_1}) \approx \frac{\Delta T}{T_0}$  eller  $\Delta T = R' \dot{\varnothing}$  hvor  $R' = R T_0$  er det vi normalt forstår ved varmemodstand. For en varmemodstand er entropiproduktionen pr. tid  $\Sigma = (\text{entropi ud} - \text{entropi ind}) \text{ pr. tid} = \frac{\dot{\varnothing}_2}{T_2} - \frac{\dot{\varnothing}_1}{T_1} = \frac{1}{T_0} ((1 - \frac{T_0}{T_2}) - (1 - \frac{T_0}{T_1})) \dot{\varnothing} = \frac{1}{T_0} Δe f$  eller dissipationen pr. tid  $\frac{d}{dt} D = T_0 \frac{d}{dt} \Sigma = T_0 \Sigma = (Δe) f = \frac{(Δe)^2}{R} = f^2 R$  hvilket er Joules lov i generaliseret form.

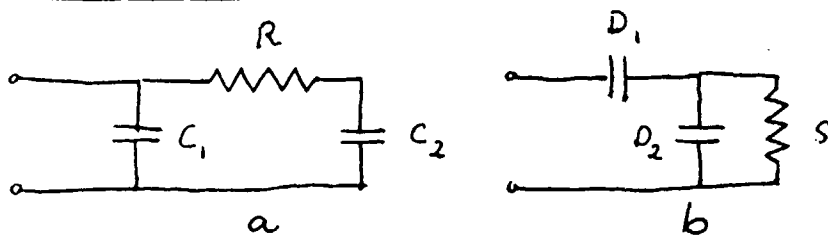
Kapaciteten vil levere energien tilbage ved en tidsvenning, medens modstanden vil dissipere det samme før og efter tidsvenningen.

Analogien ses opsummeret i skemaet side 2.7.3.

Vi kan nu opbygge systemet v.h.a. disse og evt. andre elementer. Et tilsvarende tegnsystem, der ofte benyttes til beskrivelse af stoffers viskoelastiske egenskaber, er rheologien, hvor byggestenene er fjedre og (frikitions) stempler. Det skal nævnes, at en sådan oplosning ikke er entydig. F.eks. kan man overbevise sig om, at de to modeller i fig. 2.7.1 har samme responsefunktion  $\Gamma$

$\Gamma$  For oversættelse til rheologisk model se fodnote side 1.2.11 og 1.2.14.

	generelt	elektriskt	termiskt tilnærmelse: $\frac{\delta T}{T_0} \ll 1$
spænding	$e$	$V$	$\frac{\delta T}{T_0} = \frac{T - T_0}{T_0}$
forskydning	$q$	$Q$	$\dot{Q}$
strøm	$f = \dot{q}$	$I$	$\dot{Q}$
tilført energi (= arbejdsevne) pr. tid	$\frac{d}{dt} A = e \cdot f$	$\frac{d}{dt} E = V \cdot I$	$\frac{d}{dt} A = \dot{Q} \frac{\delta T}{T_0}$
kapacitet	$C = \frac{\Delta q}{\Delta e}$	$C = \frac{\Delta Q}{\Delta V}$	$C' = \frac{C}{T_0} = \frac{Q_2 - Q_1}{T_2 - T_1}$
oplagret energi	$A = \frac{1}{2} C' (e_2^2 - e_1^2)$	$E = \frac{1}{2} C (V_2^2 - V_1^2)$	$A = Q_2 - Q_1 = C(T_2 - T_1)$
modstand	$R = \frac{\Delta e}{f}$	$R = \frac{\Delta V}{I}$	$R' = R T_0 = \frac{T_2 - T_1}{\dot{Q}}$
dissipation (= tabt arbejdsevne pr. tid)	$\frac{d}{dt} D = R f^2 = \frac{(\Delta e)^2}{f}$	$P = R I^2 = \frac{(e V)^2}{R}$	$\frac{d}{dt} D = \frac{R'}{T_0} \dot{Q}^2 = \frac{1}{A' T_0} (T_2 - T_1)^2$ tabt arbejdsevne, ikke varmeproduktion

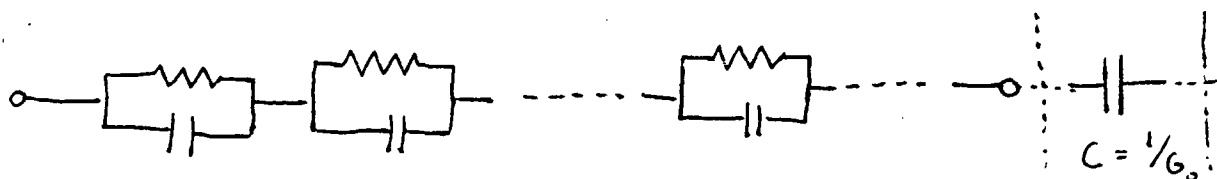
Fig. 2.7.1

$$S = R \left( \frac{C_2}{C_1 + C_2} \right)^2$$

$$D_1 = C_1 + C_2$$

$$D_2 = \frac{C_1}{C_2} (C_1 + C_2)$$

Ofte opløses stivhedsfunktionen  $G$  på en serieforbindelse af forskellige RC-led (fig. 2.7.2) og fordelingen af RC-led kaldes relaxationstidsspektret,  $H(\tau)$  [1.2.6]

Fig. 2.7.2

Man sætter  $G(t) = G_0 + (G_\infty - G_0) G_n(t)$ , hvor

$G_\infty$  er den instantane modulus.  $G_0$  er langtidsgrænsen, og den normaliserede relaxationsdel af  $G$  bliver

$G_n(t) = \int_0^\infty H(\tau) e^{-t/\tau} d\tau$ . Det er vist i App 2.1, at relaxationsspektret er givet ved  $\pi^{\frac{1}{2}} \tau$  gange imaginærdelen af frekvensresponsefunktionen på den negative imaginære frekvensakse

$$H(\tau) = \pi^{\frac{1}{2}} \lim_{\delta \rightarrow 0^+} \text{Im } \hat{G}_n(\omega = -i\frac{1}{\tau} - \delta)$$

Ligeledes opløses krybefunktionen på en parallelforbindelse af RC-led (fig. 2.7.3), og fordelingen af RC-led kaldes retardationstidsspektret  $L(\tau)$ .

Skal man modellere eksempelvis shearviskositet, er man dog nødt til først at fratrække det instantane creep og langtidsviskositeten. På fig. 2.7.4 er skitseret et typisk forløb af shearkrybefunktionen

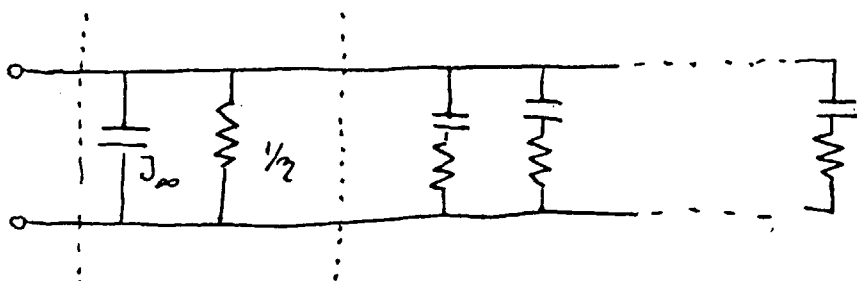
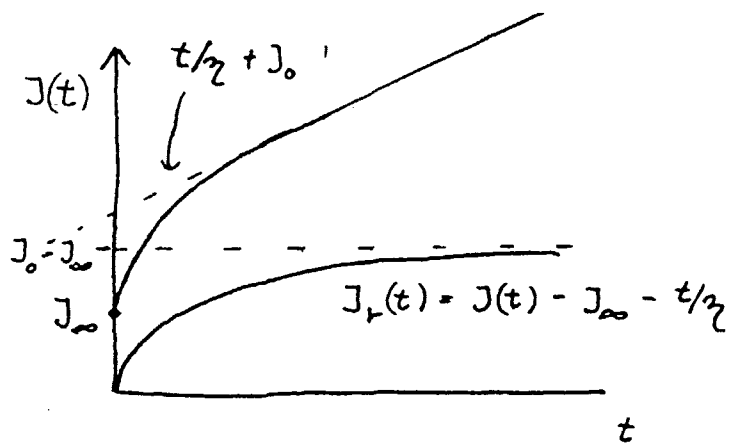
Fig. 2.7.3

Fig. 2.7.4.



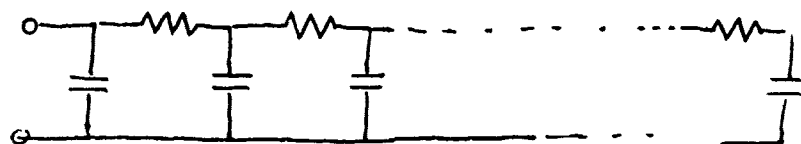
Da bliver  $J(t) = J_{\infty} + \frac{t}{\zeta} + (J_0 - J_{\infty}) J_N(t)$  med  
 $J_N(t) = \int_0^{\infty} \zeta(\tau) (1 - e^{-t/\zeta}) d\tau$ . Da  $\int_0^{\infty} \zeta(\tau) d\tau = 1$   
er  $1 - J_N(t) = \int_0^{\infty} \zeta(\tau) e^{-t/\zeta}$ .

Dermed kan  $\zeta(\tau)$  bestemmes som  $H(\tau)$  før.

Læg mærke til at man i begge tilfælde modellerer systemet med uafhængige enkelttids-relaxationsprocesser. I det første tilfælde har alle delsystemerne samme strøminput. I det andet har alle samme spændingsinput.

Selv om en sådan opløsning formelt altid kan foretages evt. efter fratrækning af visse elementer, er det langt fra sikkert, at disse modeller har noget som helst at gøre med, hvad der virkelig foregår. Dersom relaxationsprocesserne er betingede processer, som f.eks. en diffusionskæde (fig. 2.7.5) er det, vil en for indgående diskussion og sammenligning af relaxationstidsspektere for forskellige egenskaber og stoffer snarere føre på vildspor end afdække mekanismerne.

Fig. 2.7.5

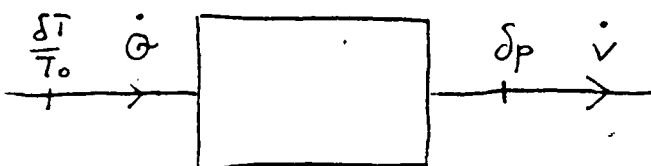


Kvantitative sammenligninger af middelrelaxationstider beregnet ud fra sådanne fordelinger er det derfor svært at fåste lid til [ 1.2.5 ]

2.8 Symmetri af responsematricen (Onsager).  
Curie- Prigogine princippet.

Betrægt igen den kombinerede responsesituation

Fig. 2.8.1



Den lineære sammenhæng mellem input og output er

$$(2.8.1) \quad \begin{pmatrix} \frac{\delta T}{T_0} \\ Q \\ v \end{pmatrix} = \begin{pmatrix} H_{11} & H_{12} \\ H_{21} & H_{22} \end{pmatrix} \begin{pmatrix} \delta P \\ \dot{Q} \end{pmatrix}$$

$H_{11}$  er impedansfunktionen hørende til varmefylden ved konstant tryk, mens  $H_{22}$  er minus admittansfunktionen hørende til den adiabatiske kompressibilitet. Det kan vises, at Onsager relationen

$$(2.8.2) \quad H_{12} = H_{21}$$

gælder, ved at opbygge systemet af energibåndselementer [2.8.1] eller mere traditionelt [2.3.1]

Man kunne have taget andre deformationer af stoffet i betragtning end blot kompression, nemlig shear (formændring). Imidlertid er det kun kompression, der kan beskrives skalært mens sheardeformation kræver tensorer. Ifølge Curie- Prigogine princippet<sup>1</sup> forventes fænomener af forskellig tensoriel karakter ikke at blande i lineær irreversibel termodynamik. Derfor har jeg valgt kun at se på kompression og varmeresponse.

<sup>1</sup> [2.8.2]

### 3. Overføringsmatricen for den én-dimensionale varmelede

Vi vil ofte i det følgende få brug for at kende løsningen til varmediffusionsligningen

$$(3.1) \quad \frac{\partial T}{\partial t} = D \frac{\partial^2 T}{\partial x^2}$$

med forskellige randbettingelser og i forskellige grænsetilfælde. I dette kapitel skal vi løse problemet generelt v.h.a. den såkaldte overføringsmatrix. Metoden muliggør også en behandling af varmetransportproblemet, når både varmefylde og varmeledningsevne er frekvensafhængige, hvor diffusionen ikke gives ved den simple (3.1).

Vi ser på én-dimensional varmetransport gennem en varmelede af længden  $\ell$  [dimension: m], specifik varmeledningsevne  $\lambda$  [ $\frac{J}{m \cdot K \cdot s}$ ], specifik varmefylde  $c_p$  [ $\frac{J}{K \cdot kg}$ ], massefylde  $\rho$  [ $\frac{kg}{m^3}$ ] og dermed varmediffusivitet  $D = \frac{\lambda}{\rho c_p} \left[ \frac{m^2}{s} \right]$

Kun én tidslig Fourierkomponent betragtes. ( $e^{-i\omega t}$ )

Ved randen  $x=0$  er temperaturen  $T(0,t) = T_0 e^{-i\omega t}$  og varmestrømmen  $J(0,t) = J_0 e^{-i\omega t}$  mens tilsvarende ved  $x=\ell$ ,  $T(\ell,t) = T_\ell e^{-i\omega t}$  og  $J(\ell,t) = J_\ell e^{-i\omega t}$ .  $T_0$ ,

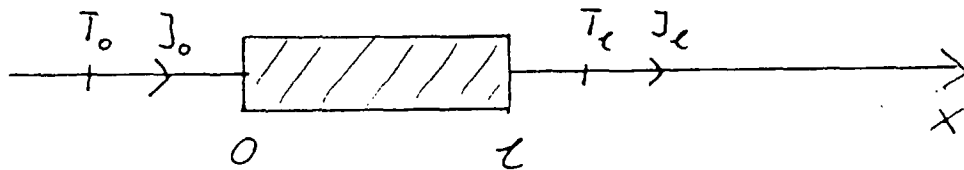
$J_0$ ,  $T_\ell$ ,  $J_\ell$  tillades komplexe for ikke at fastlægge faseforholdene på forhånd.

Randbettingelserne gives ved at specificere to af de fire  $T_0$ ,  $J_0$ ,  $T_\ell$ ,  $J_\ell$  eller to linearkombinationer deraf.

Der er ingen begyndelsesbettingelse, men til gengæld krav om stationaritet ( $\Im$ : indsvingningsfænomener ophört)

Situationen kan skildres som på fig.3.1 .

fig. 3.1



Pilen angiver i hvilken retning strømmen skal regnes positiv.

Varmediffusionsligningens forældre er

$$(3.2) \text{ Fourier's lov} \quad j_\alpha = -\lambda \frac{\partial T}{\partial x}$$

$$(3.3) \text{ Kontinuitetsligningen} \quad (\frac{\partial \rho_\alpha}{\partial t}) c_p \frac{\partial T}{\partial t} = - \frac{\partial j_\alpha}{\partial x}$$

idet (3.1) fås ved indsættelse af (3.2) i (3.3).  $\rho_\alpha$  er varmemængdetætheden og  $j_\alpha$  er varmestrømtætheden. Bemærk at  $T$  efter valg kan betyde temperaturen selv eller dens afvigelse fra en konstant referencetemperatur  $T_f$ . Vi vælger det sidste. (3.2) og (3.3) omskrives

$$(3.4) \quad \begin{cases} -\frac{1}{\lambda} dx j_\alpha = d_x T \\ -c_p \rho dx \frac{\partial T}{\partial t} = d_x j_\alpha \end{cases}$$

Nu udskilles tidsvariationen. Sæt  $T := \bar{T} e^{-i\omega t}$  og  $j_\alpha := \bar{j}_\alpha e^{-i\omega t}$

$$(3.5) \quad \begin{cases} -Z dx \bar{j}_\alpha = d_x \bar{T} \\ -Y d_x \bar{T} = d_x \bar{j}_\alpha \end{cases}$$

---


$$\frac{d_x \bar{T}}{dx} = \bar{T}(x + dx) - \bar{T}(x) \quad \text{for fastholdt } t$$

hvor

$$Z = \frac{1}{\lambda A} \text{ er varmemodstanden pr. længdeenhed } \left[ \frac{K}{m} \right]$$

$$Y = -i\omega C_p A = -i\omega C \text{ er } (-i\omega) \text{ gange varmekapaciteten } C \text{ pr. længdeenhed } \left[ \frac{C}{m} \right]$$

$$J = j_0 A \text{ er varmestrømmen } [J_s] \text{ gennem tværsnitsarealet } A [m^2]$$

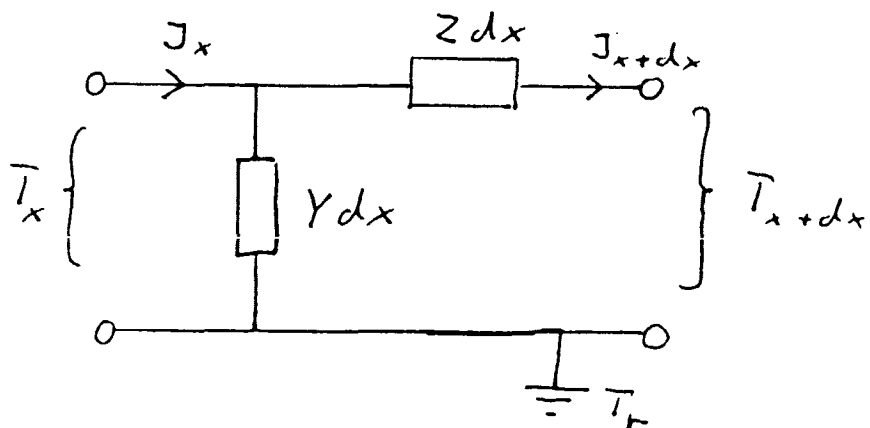
Endvidere er den fælles faktor  $e^{-i\omega t}$  forkortet bort.

Vi har altså

$$(3.5a) \begin{pmatrix} \bar{T}_{x+dx} \\ J_{x+dx} \end{pmatrix} = \begin{pmatrix} 1 & -2dx \\ -Ydx & 1 \end{pmatrix} \begin{pmatrix} \bar{T}_x \\ J_x \end{pmatrix}$$

Dette ligningssystem beskriver også det analoge elektriske netværk på fig. 3.2 i grænsen, hvor  $|Y|/|Z|(dx)^2 \ll 1$

fig. 3.2



Det lagrende element har admittansfunktionen  $Y = (-i\omega)C$  og det transporterende har impedansfunktionen  $Z$  (NB:  $Z \neq \frac{1}{Y}$ ).  $\bar{T}_r$  er potentialet på jord.

Påstanden følger af, at et lineært netværk vil have en lineær relation mellem input og output, og koefficienterne i denne relation bestemmes ved at sætte

1)  $\bar{T}_x = 0$ . Der løber da ingen strøm gennem  $Y_{dx}$ ,  
så  $J_x = J_{x+dx}$  og  $T_{x+dx} = -Z_{dx} J_x$

2)  $J_x = 0$ . Der løber da samme strøm gennem  $Y_{dx}$  og  $Z_{dx}$   
så  $J_{x+dx} = -Y_{dx} \bar{T}_x$  og  $\bar{T}_{x+dx} = \frac{Z_{dx} + Y_{dx}}{Y_{dx}} \bar{T}_x =$   
 $(1 + Z_{dx}) \bar{T}_x \approx \bar{T}_x$

Vi kan definere en karakteristisk tid (varmediffusionstiden) hørende til længden  $\ell$ .

$$(3.6) \quad \tau_p(\ell) \equiv \frac{\ell^2}{D} = \ell^2 R C = R_{tot}(\ell) C_{tot}(\ell)$$

Betingelsen  $|Y| |Z| (dx)^2 \ll 1$  for at netværket modelerer ligningerne er da

$$(3.7) \quad \omega \ll \frac{1}{\tau_p(dx)} = \left( \frac{\ell}{dx} \right)^2 \frac{1}{\tau_p(\ell)}$$

Fremover vil vi benytte sprogbrugen, at vi er ude af diffusionsområdet, dersom  $\omega \tau_p \ll 1$ .

Vi vil nu tillade, at både varmekapaciteten  $C$  og varmeledningsevnen  $Z$  er frekvensafhængige (og dermed komplexe).

Iteration af (3.5a) fra  $x=0$  til  $\ell$  viser os, at stofegenskaberne  $Z$  og  $Y$  bestemmer en lineær relation

$$(3.8) \quad \begin{pmatrix} \bar{T}_\ell \\ J_\ell \end{pmatrix} = \begin{pmatrix} A_{11} & A_{12} \\ A_{21} & A_{22} \end{pmatrix} \begin{pmatrix} \bar{T}_0 \\ J_0 \end{pmatrix} = \underline{A} \begin{pmatrix} \bar{T}_0 \\ J_0 \end{pmatrix}$$

$\underline{A}(\ell)$  kaldes overføringsmatricen, og det er denne, vi ønsker at finde.

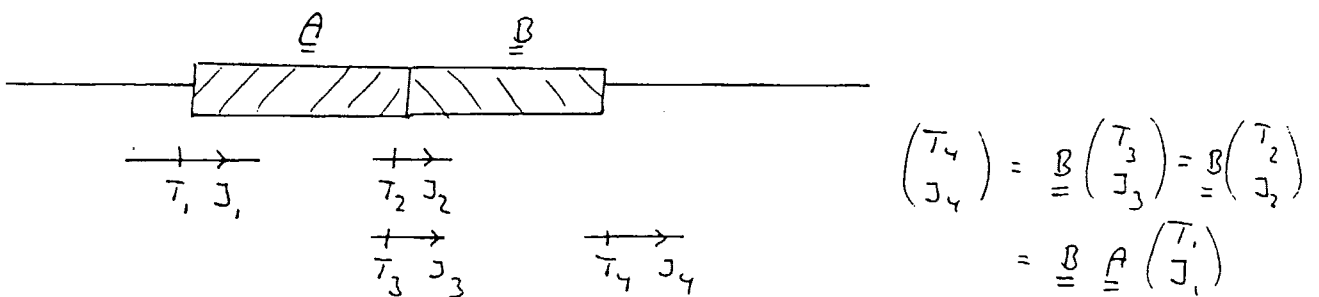
Der er to formål med at introducere overføringsmatricen.

1) For det første ønsker vi en responsfunktion (matrix), som ikke er knyttet til en bestemt responsesituーション. Den skal altså være uafhængig af randbetingel-

serne og alene afspejle stofegenskaberne. Uanset hvilke randbetingelser, vi kan finde på ud af  $T_0$ ,  $J_0$ ,  $T_c$ ,  $J_c$  eller linearkombinationer deraf vil (3.8) give os de to sidste relationer til en fuldstændig bestemmelse af temperatur- og strømvariationen.

2) For det andet vil den fysiske sammensætning af to varmeledere matematisk svare til at gange overføringsmatricerne sammen, idet de variable, der er output for det første system, bliver input i det næste. Se fig.3.3

fig3.3



Dersom de to varmeledere er lavet af det samme materiale, må der gælde

$$(3.9) \quad \underline{\underline{A}} (\tau_1 + \tau_2) = \underline{\underline{A}} (\tau_1) \underline{\underline{A}} (\tau_2)$$

Overføringsmatricen er udelukkende givet ved sin funktionalligning (3.9) samt differentielle form (3.5a)

$$(3.5a) \quad \underline{\underline{A}} (d\tau) = \begin{pmatrix} 1 & -2d\tau \\ -\gamma d\tau & 1 \end{pmatrix} = \underline{\underline{E}} + \underline{\underline{D}} d\tau$$

hvor  $\underline{\underline{E}} = \begin{pmatrix} 1 & 0 \\ 0 & 1 \end{pmatrix}$ ,  $\underline{\underline{D}} = \begin{pmatrix} 0 & -2 \\ -\gamma & 0 \end{pmatrix}$

Thi differentieres  $\underline{A}$  fås

$$(3.10) \quad \frac{\partial \underline{A}}{\partial t} = \frac{\underline{A}(t+d\tau) - \underline{A}(t)}{d\tau} = \frac{\underline{A}(t) \underline{A}(d\tau) - \underline{A}(t)}{d\tau}$$

$$= \underline{A}(t) \frac{\underline{A}(d\tau) - \underline{E}}{d\tau} = \underline{A}(t) \underline{D}$$

Vi har da et sædvanligt differentialligningssystem i en variabel

$$(3.10a) \quad \begin{aligned} \frac{\partial A_{11}}{\partial t} &= -Y A_{12} \\ \frac{\partial A_{12}}{\partial t} &= -Z A_{11} \\ \frac{\partial A_{21}}{\partial t} &= -Y A_{22} \\ \frac{\partial A_{22}}{\partial t} &= -Z A_{21} \end{aligned}$$

som har en entydig løsning, idet vi kender initialbettingelsen  $\underline{A}(0) = \begin{pmatrix} 1 & 0 \\ 0 & 1 \end{pmatrix}$  altså  $A_{11}(0) = 1, A_{12}(0) = 0, A_{21}(0) = 0, A_{22}(0) = 1$ .

Differentieres ligningerne én gang ses for alle  $i, j$

$$(3.11) \quad \frac{\partial^2 A_{ij}}{\partial t^2} = YZ A_{ij} = -(\sqrt{-YZ})^2 A_{ij} \quad \dagger$$

hvilket har den generelle løsning

$$(3.12) \quad A_{ij}(t) = C_{ij} \cos(\sqrt{-YZ}t) + S_{ij} \sin(\sqrt{-YZ}t) \quad \dagger$$

$\dagger$  Jeg har valgt denne form med de komplexe cosinus og sinus i stedet for direkte eksponentialfunktionen  $e^{\pm \sqrt{-YZ}t}$ , for at lette diskussionen af initialbettingelsen.

Iøvrigt, dersom  $R, C$  er reelle bliver (3.11) blot den sædvanlige diffusionsligning, idet  $YZ = -i\omega CR = -i\omega D$ .

Da  $A_{12}(0)=0$ ,  $A_{21}(0)=0$  må  $C_{12}=0$ ,  $C_{21}=0$  og da  $A_{11}(0)=1$ ,  $A_{22}(0)=1$  må  $C_{11}=1$ ,  $C_{22}=1$  men da bliver

$$A_{11}(\tau) = -\frac{1}{Z} \frac{\partial A_{12}}{\partial \tau} = -\frac{1}{Z} \sqrt{-YZ} S_{12} \cos(\sqrt{-YZ} \tau)$$

$$A_{22}(\tau) = -\frac{1}{Y} \frac{\partial A_{21}}{\partial \tau} = -\frac{1}{Y} \sqrt{-YZ} S_{21} \cos(\sqrt{-YZ} \tau)$$

Heraf aflæses  $S_{12}=0$ ,  $S_{21}=0$  og

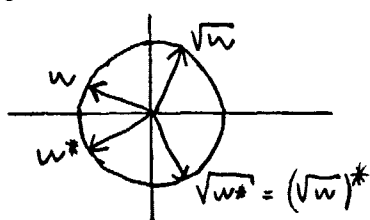
$$1 = C_{11} = -\frac{1}{Z} \sqrt{-YZ}, \quad 1 = C_{22} = -\frac{1}{Y} \sqrt{-YZ} S_{21}$$

Dermed er alle de arbitrale konstanter bestemt og

$$(3.13) \quad \underline{A}(\tau) = \begin{pmatrix} \cos(\sqrt{-YZ} \tau) & -\frac{Z}{\sqrt{-YZ}} \sin(\sqrt{-YZ} \tau) \\ -\frac{Y}{\sqrt{-YZ}} \sin(\sqrt{-YZ} \tau) & \cos(\sqrt{-YZ} \tau) \end{pmatrix}$$

Bemærk, at tvetydigheden af  $\sqrt{-YZ}$  intet betyder, da alle  $A_{ij}$  er lige funktioner af  $\sqrt{-YZ}$ .

Der er dog et andet tekniskt problem. Det fysiske signal skal være reelt, hvilket førte til ligning (2.5.7)  $\tilde{R}(s^*) = \tilde{R}^*(s)$ , idet vi nu udtrykker det ved Laplacefrekvensen  $s = i\omega$ .  $Y = Cs$  og  $Z$  opfylder dette ligesom funktionerne sinus og cosinus gør det. Men for at  $\underline{A}$ , der jo uddover at være funktion af  $\tau$  også er funktion af  $s$ , kan gøre det, skal vi vælge



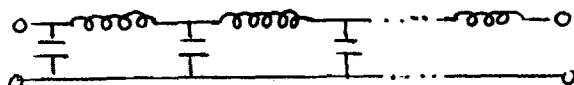
$$\sqrt{w} \text{ så } \sqrt{w^*} = (\sqrt{w})^*$$

Er  $w = |w| e^{i\alpha}$  og vælges

$$\sqrt{w} = \sqrt{|w|} e^{i\alpha/2} \text{ for } 0 \leq \alpha < \pi$$

tvinges vi til at lade  $\sqrt{w} = \pm \sqrt{|w|} e^{i\alpha/2}$  for  $\pi \leq \alpha < 2\pi$

Bemærk hvor generel (3.13) er. Sættes således  $Y = (-i\omega)^c$  og  $Z = (-i\omega)^k$  fås overføringsmatricen for en endelig transmissionslinie



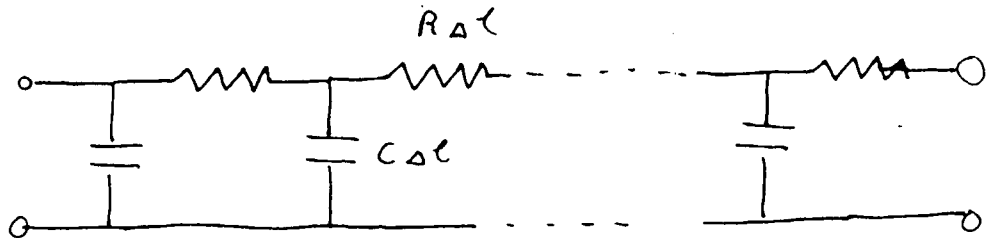
I tilfældet med sædvanlig varmediffusion med frekvensuafhængig kapacitet  $C'$  og varmeledningsevne  $\gamma_R$  (d.v.s.  $R$  og  $C'$  reelle) bliver

$$(3.14) \quad A(\zeta) = \begin{pmatrix} \cos(\sqrt{i\omega RC} \zeta) & -\frac{R}{\sqrt{i\omega RC}} \sin(\sqrt{i\omega RC} \zeta) \\ \frac{i\omega C}{\sqrt{i\omega RC}} \sin(\sqrt{i\omega RC} \zeta) & \cos(\sqrt{i\omega RC} \zeta) \end{pmatrix}$$

$$= \begin{pmatrix} \cos \sqrt{i\omega \tau_0(\zeta)} & -\frac{R \zeta}{\sqrt{i\omega \tau_0(\zeta)}} \sin(\sqrt{i\omega \tau_0(\zeta)}) \\ \frac{i\omega C \zeta}{\sqrt{i\omega \tau_0(\zeta)}} \sin \sqrt{i\omega \tau_0(\zeta)} & \cos(\sqrt{i\omega \tau_0(\zeta)}) \end{pmatrix}$$

svarende til netværket i fig. 3.4.

fig. 3.4



Vi kan definere en karakteristisk diffusionslængde  $\zeta_0(\omega)$  hørende til frekvensen  $\omega$

$$(3.15) \quad \zeta_0(\omega) \equiv \frac{1}{\sqrt{\omega RC}} = \sqrt{\frac{D}{\omega}}$$

$$\text{Sæt endvidere } \alpha \equiv \sqrt{i} = \frac{1}{\sqrt{2}}(1+i) = e^{i\pi/4}$$

Lad os se på admittansen, som den ses på endefloden  $l$  i en række tilfælde :

A) isoterm afslutning,  $T_2 = 0$  (fig 3.5)

Da er

$$(3.16) \quad Y_a = \frac{J_1}{T_1} = - \frac{A''}{A_{12}} \quad \begin{array}{c} J_1 \\ \rightarrow \\ T_1 \\ \downarrow \\ \text{Dif.} \\ \text{kæde} \\ \downarrow \\ T_2 = 0 \end{array}$$

$$= \frac{\alpha}{R \zeta_0(\omega)} \frac{1}{\tan(\alpha \cdot \zeta / \zeta_0)}$$

$$= i \omega C \zeta_0(\omega) \alpha^* \frac{1}{\tan(\alpha \cdot \zeta / \zeta_0)} = \omega C \zeta_0(\omega) \alpha^* \sqrt{1 - \frac{1}{\sin^2(\alpha \cdot \zeta / \zeta_0)}}$$

A I)  $\zeta / \zeta_0 \ll 1$ , diffusionslængden lang i forhold til dimensionen  $\zeta$  fører til

$$(3.16 \text{ I}) \quad Y_a (\zeta / \zeta_0 \rightarrow 0) = \frac{1}{R \zeta} = \lambda \frac{A}{\zeta} = \frac{1}{R_{\text{tot}}}$$

Diffusionskæden ses som en modstand.

A II)  $\zeta / \zeta_0 \gg 1$ , diffusionslængden kort i forhold til dimensionen

$$(3.16 \text{ II}) \quad Y_a (\zeta / \zeta_0 \rightarrow \infty) = \omega C \zeta_0(\omega) \alpha^* = \sqrt{\omega \frac{C}{R} (-i)}$$

$$= A \sqrt{-i \omega c_p \rho \lambda}$$

Dette følger af (3.16), idet en udvikling af den komplexe sinus vil vise

$$(3.17 \text{ I}) \quad \frac{1}{|\sin^2(\alpha \cdot \zeta / \zeta_0)|} \rightarrow 0 \quad \text{som } e^{-V_2 \zeta / \zeta_0} \text{ for } \zeta / \zeta_0 \rightarrow \infty$$

B) adiabatisk afslutning,  $J_2 = 0$  (fig. 3.6)

Da er

$$(3.18) \quad Y_b = \frac{J_1}{T_1} = - \frac{A_{21}}{A_{22}} \quad \begin{array}{c} J_1 \\ \rightarrow \\ T_1 \\ \downarrow \\ \text{Dif.} \\ \text{kæde} \\ \downarrow \\ T_2 \\ \downarrow \\ J_2 = 0 \end{array}$$

$$= -i \omega C \zeta_0 \alpha^* \tan(\alpha \cdot \zeta / \zeta_0)$$

$$= \omega C \zeta_0 \alpha^* \sqrt{1 - \frac{1}{\cos^2(\alpha \cdot \zeta / \zeta_0)}}$$

B I)  $\epsilon/\epsilon_0 \gg 1$

$$(3.18 \text{ I}) Y_b(\epsilon/\epsilon_0 \rightarrow 0) = -i\omega C' = -i\omega c_p \rho \lambda = -i\omega C'_{\text{tot}}$$

Diffusionskæden ses som en kapacitet

B II)  $\epsilon/\epsilon_0 \ll 1$

$$(3.18 \text{ II}) Y_b(\epsilon/\epsilon_0 \rightarrow \infty) = \omega C' \tau_d(\omega) \alpha^* = A \sqrt{-i\omega c_p \rho \lambda}$$

fremkommer, idet også

$$(3.17) \frac{1}{|\cos^2(\alpha \tau_d)|} \rightarrow 0 \text{ som } e^{-\sqrt{2} \tau_d} \text{ for } \epsilon/\epsilon_0 \rightarrow \infty$$

Grænseværdien af admittansen for en uendelig diffusionskæde falder altså sammen i A II og B II, hvad den naturligvis også skal, da admittansen nu ikke afhænger af randbetingelsen i det uendeligt fjerne.

Bemærk at

$$(3.19) |Y(\epsilon/\epsilon_0 \rightarrow \infty)| = \omega C' \tau_d(\omega) = \frac{1}{R} \tau_d(\omega)$$

Man "ser" altså varmekapaciteten ud i en afstand  $\tau_d(\omega)$  (eller alternativt varmemodstanden). Fase-drejningen er blot  $-\frac{\pi}{4}$ , ikke  $-\frac{\pi}{2}$  (eller 0).

Regningerne forløber på samme måde, dersom  $c_p(\omega)$ ,  $\lambda(\omega)$  er frekvensafhængige. Således bliver admittansen pr. arealenhed

$$(3.20) Y(\omega) = \sqrt{(-i\omega) \rho c_p(\omega) \lambda(\omega)}$$

Den eneste forskel er at  $\tau_d$  nu bliver komplex, men de termiske bølger må stadigt være kraftigt dæmpede, således at  $\frac{\alpha}{\tau_d}$  har en imaginær del og dermed (3.17 I) og II holder.

Formel (3.20) er den N.O.Birge og S.Nagel [2.6.4] baserer deres eksperiment på.

#### 4. Kalorimetri

##### 4.1 Adiabatiske / ikke-adiabatiske metoder

##### 4.2 AC-temperatur kalorimetri

- Metoden demonstreret på en éndimensional model.
- Betingelser for teknikkens anvendelse udtrykt ved karakteristiske tidskonstanter.

##### 4.3 Generel metode til fratrækning af baggrund.

##### 4.4 Korrelationsmåling $\leq 1 \text{ Hz}$

Undertrykkelse af støj.

Fourieranalyse. Hensyn til subharmonisk AC-metodens anvendelsesområder:

Sullivan og Seidel [4.1.4.], Handler et al [4.1.5.]:

Ikke relaxerende C

Birge og Nagel [4.4.1.], Christensen [4.4.2.]:

Relaxerende C

### 4.1 Kalorimetri

#### Adiabatiske / ikke-adiabatiske metoder

For en diskussion af moderne kalorimetri (9: Måling af varmefylde) kan henvises til nyere oversigtsartikler [4.1.1., 4.1.2], og for termometri (måling af temperatur) til [4.1.3].

Varmefylde måles i et kalorimeter. Kalorimeterets omgivelser skal kunne termostateres. Dette kan f.eks. opnås, som i vort tilfælde, ved at placere det i en kryostat fig. 5.1.1 eller i en kogende væske f. eks. flydende helium kvælstof eller en blanding af (ikke-brandbare!) væsker med et passende kogepunkt.

Man opdeler kalorimetri i to kategorier:

- a) Adiabatisk kalorimetri, (Nernst kalorimeter)
- b) Ikke-adiabatisk kalorimetri

Ad.a) Et eksempel på et adiabatisk kalorimeter beregnet til nedsænkning i en væske er vist i fig. 4.1.1. [4.1.1, fig. 8]. Ordet adiabatisk er måske en smule misvisende, for naturligvis må man tilføre en varmemængde  $\Delta Q$  (som regel fra en elektrisk varmevikling), således at man kan beregne varmefylden  $C = \frac{\Delta Q}{\Delta T}$  ud fra den temperaturstigning  $\Delta T$ , der følger. Med adiabatisk menes imidlertid, at man søger at nedbringe alle andre ukontrollerede varmebidrag (positive eller negative), så de kan negligeres.

En måling af temperaturen kan se ud som på fig. 4.1.2 [4.1.1, fig. 9]. Der vil uundgåeligt være en baggrundsdrift, som man så søger at trække fra, som skitseret på fig. 4.1.2. Det er ikke nemt at isolere systemet termiskt, hvilket fremgår klart af de anstrengelser, konstruktøren af kalorimeteret fig. 4.1.1 har gjort sig.

Tilledningerne til termometer og varmevikling gøres lange og tynde, hele kammeret evakueres for at hindre varmedeling ved diffusion og konvektion i den omgivende atmosfære, og endeligt elimineres strålingsbidraget ved at opsætte en skærm, hvis temperatur kan styres og holdes på samme temperatur som samplet.

Fig. 4.1.1

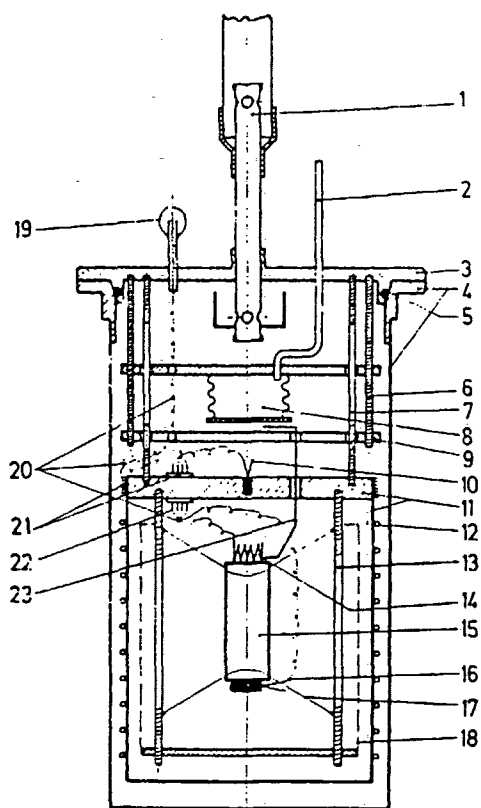


Fig. 8. Schematic view of an adiabatic calorimeter<sup>52</sup> for the temperature range 1.2–350 K, equipped with a mechanical-thermal switch and two regulated radiation shields. 1, Vacuum pumping tube with radiation shield; 2, pressurizing tube for bellow of mechanical-heat switch; 3, vacuum cell of calorimeter, top; 4, vacuum can; 5, indium seal; 6, support for heat switch; 7, support of radiation shields (stainless-steel rods); 8, bellows of mechanical-heat switch; 9, counterplate for bellows switch; 10, thermometer to control temperature of shield; 11, outer radiation shield; 12, heater of outer radiation shield; 13, support for sample holder; 14, sample heater; 15, sample; 16, sample thermometer; 17, cotton threads; 18, inner radiation shield; 19, electrical feed-through; 20, electrical wiring; 21, thermal anchoring of lead-wire; 22, electrical connectors; 23, gold wire as thermal contact between bellows and sample.

Fig. 4.1.2

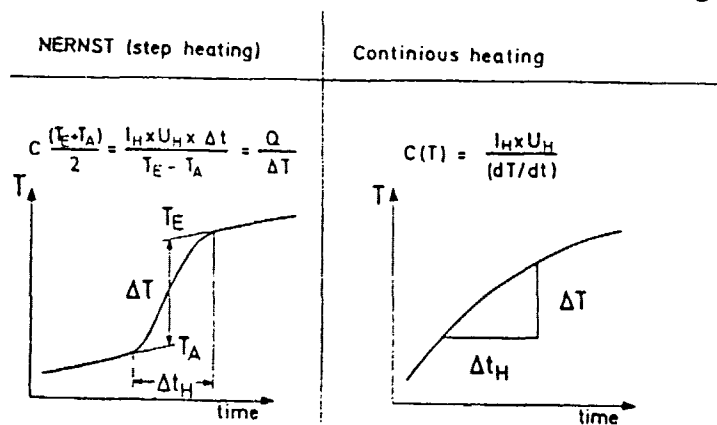


Fig. 9. Principles of adiabatic calorimetry.  $I_H$ , Heating current;  $U_H$ , voltage across heater resistance;  $T_E$ , final temperature (after heating);  $T_A$ , initial temperature (before heating);  $\Delta t_H$ , heating time;  $\Delta T$ , temperature increment.

Systemet er p.g.a. de tynde tråde, det er ophængt i, ikke særligt mekaniskt stabilt, og den ringe varmeledning til omgivelserne betyder også at samplet er meget længe om at blive ført til en lav temperatur (relaxationstiden = varmekapacitet  $X$  varmemodstand, måske 1 døgn) hvorfor konstuktøren har indført en mekanisk varmekontakt. Dette problem kan evt. også løses ved at pumpe en gas ind i systemet, men her kan man få problemer med adsorption af gassen til sample overfladen.

Ad.b) Ved ikke-adiabatisk kalorimetri søger man ikke at eliminere andre bidrag til varmetilførselen end det, der direkte kontrolleres, men derimod at kende systemet så godt, at disse kan beregnes. Herved kan man lave et enklere og mere stabilt kalorimeter end fig. 4.1.1 (se vort kalorimeter fig. 5.1.2. senere). Den termiske modstand mellem sample og kryostat behøver nu ikke at være stor, så systemet kan hurtigere bringes til den ønskede temperatur uden mekanisk kontakt eller exchange gas.

Sammenlignende kan vi sige, at metode a) eksperimentelt er vanskelig, mens den beregningsmæssigt er simpel, hvorimod det forholder sig lige omvendt for metode b). Jeg vil mene, at skal man afveje fordele og ulemper er b) bedst, da de beregningsmæssige problemer ved b) med nutidens computere lettere løses end de eksperimentelle ved a).

Endvidere åbner den ikke-adiabatiske kalorimetri mulighed for, at man kan benytte en metode, der går under navnet (stationær tilstand-) AC-temperatur kalorimetri [4.1.4, 4.1.5].

## 4.2 AC-temperatur kalorimetri

AC-temperatur teknikken går ud på at opvarme systemet med en periodisk varmestrøm og måle temperaturresponset. Da varmestrøm og temperatur varierer med samme frekvens, kan man v.h.a. en korrelationsteknik få ganske små temperaturoscillationer til at træde frem af en støjende baggrund. Dette punkt vender vi tilbage til (afsnit 4.4).

Ved AC-teknikken kan vi ikke bruge adiabatisk kalorimetri, thi skabes varmestrømmen ved at sende en periodisk varierende elektrisk strøm  $I_{el}(t) = I_{el,0} \cos(\frac{\omega}{2}t)$  med cyklistisk frekvens  $\frac{\omega}{2}$  gennem en varmekpling med elektrisk modstand  $R_{el}$  vil varmestrømmen (effekten)  $I_{th}$  blive ( $t_h$  står for termisk)

$$(4.2.1) \quad I_{th}(t) = R_{el} I_{el}^2(t) = R_{el} I_{el,0}^2 \cos^2\left(\frac{\omega}{2}t\right)$$

$$= \frac{1}{2} R_{el} I_{el,0}^2 (1 + \cos(\omega t))$$

$$= I_{th,0} + I_{th,0} \cos(\omega t)$$

hvor  $I_{th,0} = \frac{1}{2} R_{el} I_{el,0}^2$ . Den termiske strøm er altså en periodisk strøm med amplitude  $I_{th,0}$  og med den dobbelte(!) frekvens af den elektriske overlejret en DC-varmestrøm  $I_{th,0}$  (fig. 4.2.1)

DC-varmestrømmen må skaffes bort for at temperaturen ikke skal stige og stige, men det opnås netop v.h.a. den termiske ledning til kryostaten, som vi har i den ikke-adiabatiske kalorimetri.

På fig. 4.2.2 ses Sullivan og Seidels termiske diagram [4.1.4, fig. 2] af deres opstilling. Det er en éndimensonal idealisation, som vi indledende kan diskutere AC-teknikken for. På fig. 4.2.3 har jeg gentaget billedet, men med de betegnelser vi vil benytte og med flere vigtige karakteristika for det varmeledende medium fra sample til kryostat.

Fig. 4.2.1

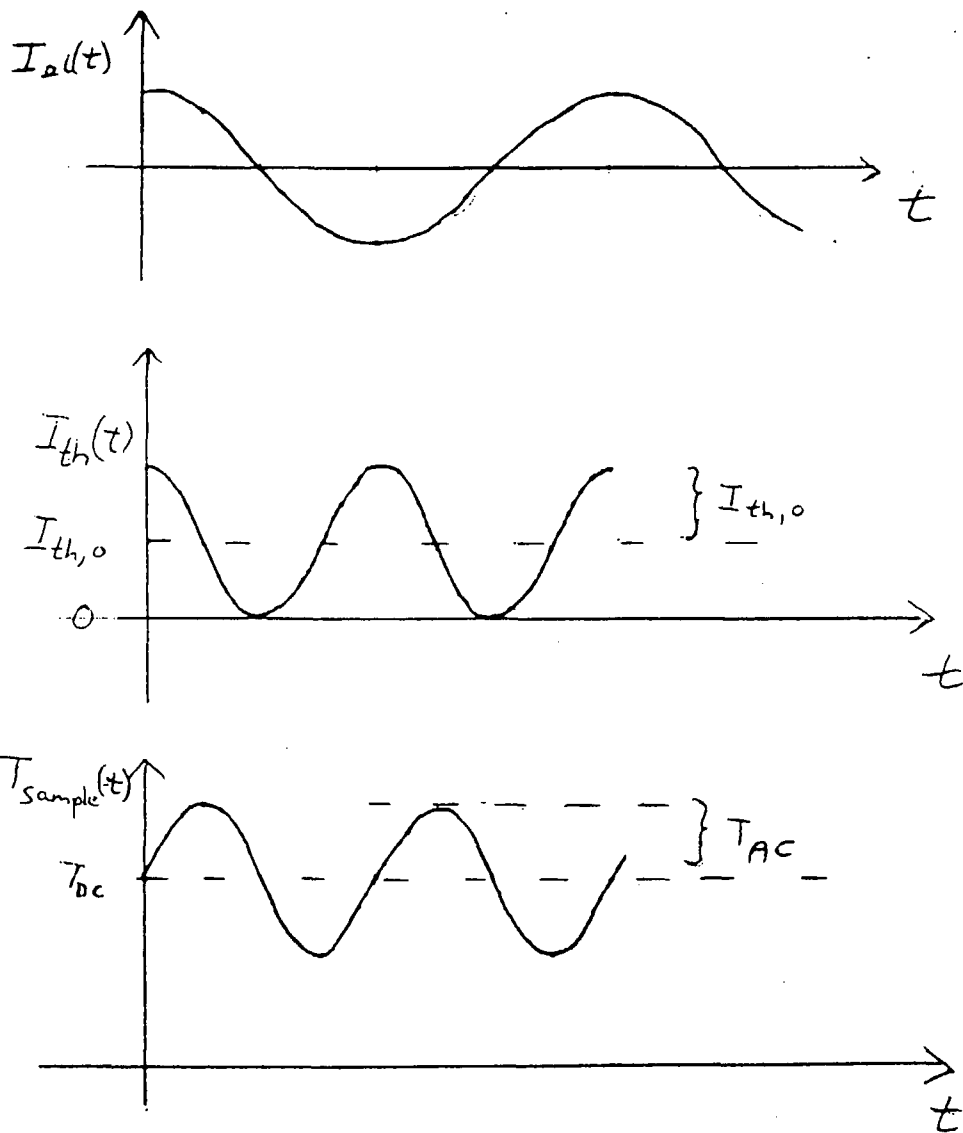


Fig. 4.2.2

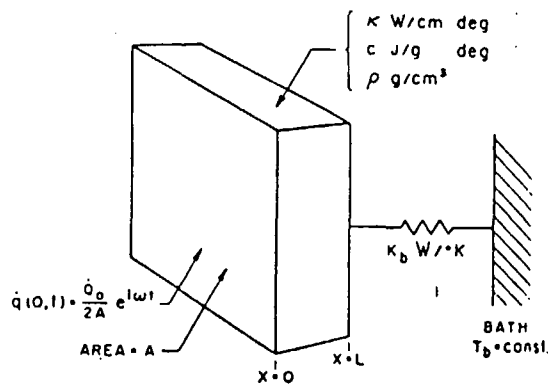
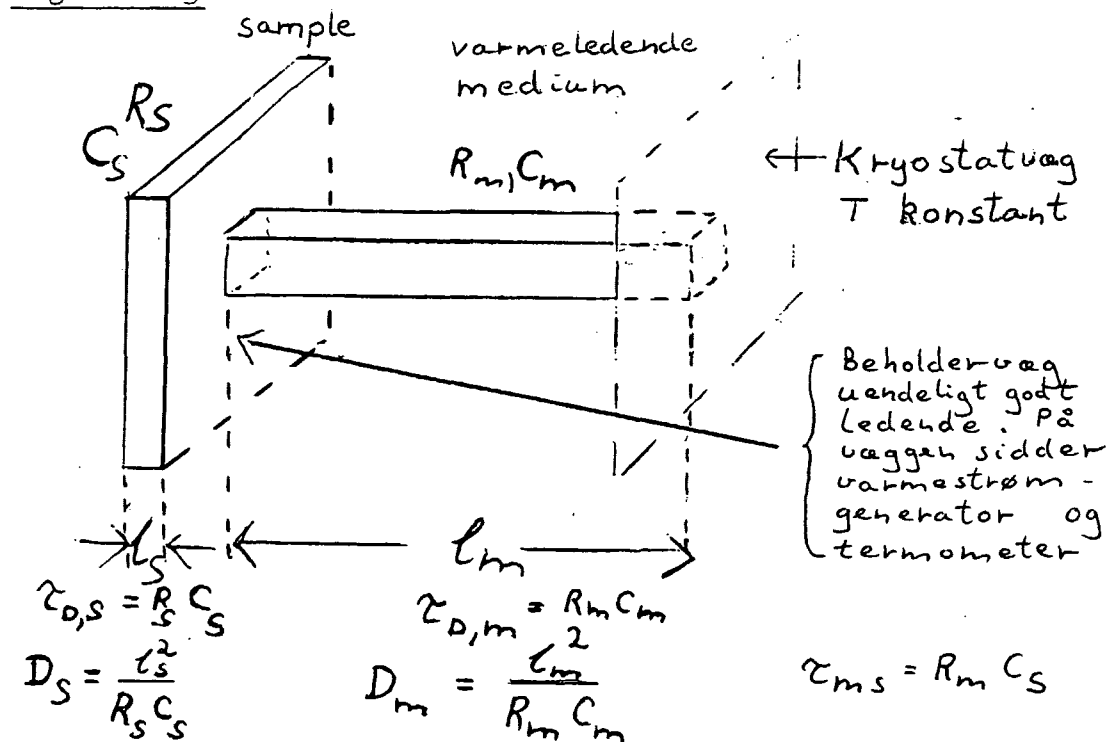


FIG. 2. Slab-shaped sample of thickness  $L$  thermally connected through the conductance  $K_b$  to a bath at  $x=L$  and having a sinusoidal heat input per unit area  $\dot{q}(0,t)$  at  $x=0$ .

Den éndimensionale situation kan behandles ved overføringsmatrixmetoden, som blev introduceret i kap. 3.

Fig. 4.2.3



Hidtil har AC-teknikken kun været anvendt til måling af ligevægtsvarmefyldte C (ikke-relaxerende) d.v.s. C er reel, uafhængig af frekvensen. Lad os holde os til dette tilfælde i første omgang.

Kald samlet varmekapacitet og samlet varmemodstand af sample  $C_s$  [ $J/K$ ] hhv.  $R_s [K/W]$ . Tilsvarende betegnelse  $C_m$ ,  $R_m$  for det ydre varmeledende medium. Sæt  $\tau_{D,s} = R_s C_s$ ,  $\tau_{D,m} = R_m C_m$  og  $\tau_{ms} = R_m C_s$ .  $\tau_{D,s}$ ,  $\tau_{D,m}$  kan også udtrykkes ved længderne  $l_s$ ,  $l_m$  og diffusionskonstanterne  $D_s$ ,  $D_m$  for sample hhv. medium:  $\tau_{D,s} = \frac{l_s^2}{D_s}$ ,  $\tau_{D,m} = \frac{l_m^2}{D_m}$ .  $\tau_{D,s}$  og  $\tau_{D,m}$  er altså de karakteristiske diffusionstider for sample og medium, mens  $\tau_{ms}$  er relaxationsiden for varmeafgivelse fra sample gennem medium. Der er en række betingelser, vi må stille for at teknikken kan bruges.

- 1)  $\omega \tau_{D,s} \ll 1$ . Essentiel betingelse. Denne betingelse sikrer at vi er ude af diffusionsområdet for samplet (se ulighed 3.7)

og dermed kan overføringsmatricen beskrives ved fig.

4.2.4 a.  $R_s$  vil være meget mindre end de ydre impedan-  
ser som følge af betingelse 3) (se nedenfor) og derfor  
sikrer betingelse 1), at vi kan opfatte samplet som en  
ren kapacitet (fig. 4.2.4 b).

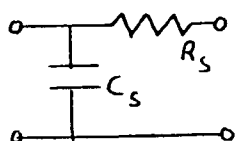


Fig. 4.2.4 a

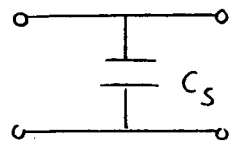


Fig. 4.2.4 b

Betingelsen 1) stiller Sullivan og Seidel også.

2)  $\omega \tau_{d,m} \ll 1$ . Denne betingelse er ikke essentiel, som vi skal se i afsnit 4.3, men letter diskussionen i første omgang. Vi er nu også ude af diffusionsområdet for det ydre varmeledende medium med en overføringsmatrix fig. 4.2.5 a. Da varmelederenens kapacitet i denne approximation kan tænkes siddende på kryostatsiden, hvor temperaturen holdes konstant, kan den ikke "ses", og varmelederen optræder blot som en modstand fig. 4.2.5 b

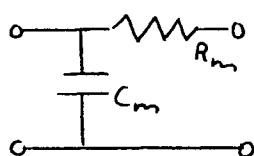


Fig. 4.2.5 a

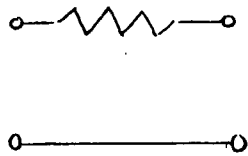


Fig. 4.2.5 b

Sært nok nævner Sullivan og Seidel ikke 2), selvom de klart benytter den, idet de i deres ligninger repræsenterer det ydre medium ved en ren modstand (fig. 4.2.2).

Den termiske model fig. 4.2.3 repræsenteres altså af den elektriske analogi fig. 4.2.6 a (mediets terminaler på kryostatsiden er kortsluttede idet  $T_{kry.}$  er den temperatur, vi regner afvigelserne fra ( $T_{kry.} = T_{jord}$ )), der p.g.a. nævnte forhold overgår i fig. 4.2.6 b.

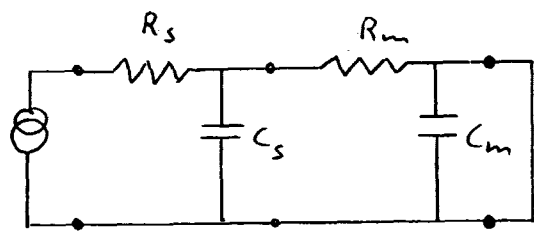


Fig. 4.2.6 a

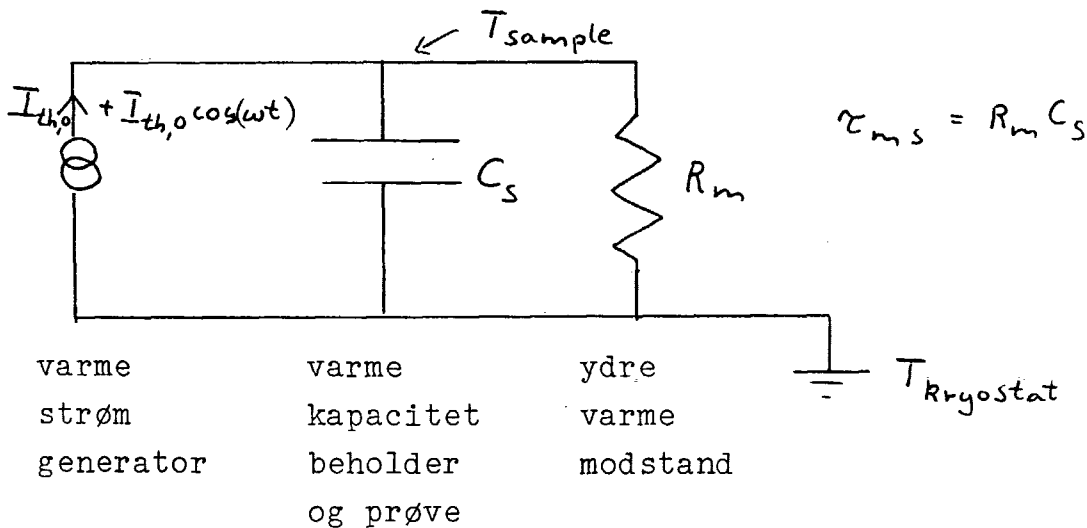


Fig. 4.2.6 b

DC-strømmen  $I_{th,o}$  bestemmer middelværdien  $T_{dc}$  af  $T_{sample}$

$$(4.2.2) \quad T_{dc} = T_{kry} + R_m I_{th,o}$$

$T_{sample}$  vil svinge om denne med en amplitude  $T_{ac,o}$  givet ved

$$(4.2.3) \quad T_{ac,o} = \frac{1}{|Y|} I_{th,o} = \frac{1}{|-i\omega C_s + \frac{1}{R_m}|} I_{th,o}$$

$$= \frac{1}{\sqrt{1 + (\omega \tau_{ms})^2}} R_m I_{th,o}$$

Den sidste betingelse, vi vil stille, er

3)  $\omega \tau_{ms} \gtrsim 1$ . Denne betingelse sikrer at kapaciteten med admittans  $-i\omega C_s$  udgør mindst halvdelen af den totale admittans  $Y = -i\omega C_s + \frac{1}{R_m}$ , således at vi udnytter metodens potentielle for en nøjagtig bestemmelse af  $C_s$ . Dersom  $\omega \tau_{ms} \ll 1$  ville vi kun "se" modstanden  $R_m$ .

1) og 3) tilsammen giver  $\tau_{ms} \gg \tau_s \Rightarrow R_s \ll R_m$  som påstået under 1). Sullivan og Seidel [4.1.4] samt Gmelin [4.1.1] opstiller det strengere men unødvendige krav  $\omega \tau_{ms} \gg 1$ . Dette gør de formentlig for at kunne approximere (4.2.3) med

$$(4.2.4) \quad T_{AC,0} \approx \frac{1}{\omega \tau_{ms}} R_m I_{th,0} = \frac{1}{\omega C} I_{th,0}$$

således at  $R_m$  glider ud af problemet. Vi kan sige, at de AC-mæssigt udfører adiabatisk kalorimetri. Imidlertid har vi oplysninger nok til, at det ikke er nødvendigt. Varmestrømmen  $I_{th,0}$  er kendt, og temperaturen  $T_{sample}$  måles. De to ligninger (4.2.2) og (4.2.3) er nok til at bestemme  $R_m$  og  $C_s$ , hvis  $\omega$  ikke varieres. Dersom  $\omega$  kan varieres er (4.2.3) nok, idet den kan skrives på formen

$$(4.2.5) \quad \left( \frac{I_{th,0}}{T_{AC,0}} \right)^2 = \left( \frac{1}{R_m} \right)^2 + \omega^2 C_s^2$$

således at  $C_s$  kunne bestemmes ud fra hældningen af et plot af  $(I_{th,0}/T_{AC,0})^2$  mod  $\omega^2$

### Tre bemærkninger

1.

Måske undres læseren over, at den termiske model fig. 4.2.3, der er en serieforbindelse af samplet og varmelederen blev en parallelforbindelse i den elektriske model fig. 4.2.6 b. Det fulgte direkte ud af analysen af overføringsmatricerne, at sådan er det.

Imidlertid kunne man også have taget lidt løsere på det og sagt: Selvfølgelig repræsenteres samplet af en kapacitet  $C_s$  og varmelederen af en modstand  $R_m$ , men hvordan skal de forbides? Da skal man ved oversættelsen ikke lade sig lede af den rumlige topologi, men derimod følge reglerne:

A) Ved en elektrisk parallelforbindelse har alle elementerne samme spænding (temperatur).

B) Ved en elektrisk serieforbindelse har alle elementerne samme strøm (varmestrøm).

Det, der karakteriserer fig. 4.2.3, er netop, at kapaciteten og mediet har samme temperaturforskæl over deres terminaler (NB! kapacitetens terminal til jord modsvarer ikke af noget fysisk objekt) og derfor skal A) vælges.

2.

Læg mærke til at for fastholdt  $C_s$  skaler  $\tau_{0,m}$  og  $\tau_{ms}$  forskelligt med geometrien af varmelederen. Vi har

$$R_m \propto \frac{\ell_m}{A_m}, C_m \propto \ell_m A_m, \text{ hvor } A_m \text{ er tværsnitsarealet og dermed}$$

$$\tau_{0,m} \propto \ell_m^2, \quad \tau_{ms} \propto \frac{\ell_m}{A_m}$$

Kravet 3) om en passende stor tidskonstant  $\tau_{ms}$ , kan altså opnås ved at gøre varmelederen tynd ( $A_m$  lille), men der er grænser for hvor tynd, da samplet som regel hænger i denne leder, og systemet må ikke blive for skrøbeligt. Så kan vi gøre  $\ell_m$  længere, men herved er det, at vi netop p.g.a.  $\tau_{0,m} \propto \ell_m^2$  kan komme i konflikt med krav 2).

Hvis man som Sullivan og Seidel opstiller den strenge form af krav 3)  $\omega \tau_{ms} \gg 1$ , får man naturligvis endnu sværere ved at opfylde krav 2). Som sagt skal vi i 4.3 se, at krav 2) kan lempes.

3.

AC-teknikken bruges til bestemmelse af varmefyldte i temperaturområder, hvor denne er stærkt temperaturafhængig.

Ved at lade varmestrømmen  $I_{th,o}$  være tilstrækkelig lille kan  $T_{Ac,o}$  holdes så lille, at kapaciteten kan anses konstant  $C(T_{Ac}) = C(T_{dc} + T_{Ac})$ . Imidlertid følger der uundgåeligt en DC-strøm  $I_{th,o}$ , der er lige så stor som AC-strømamplituden, med. Dersom varmestrømkilden er placeret, så denne DC-strøm skal passere samplet, vil det skabe en temperaturgradient i samplet

$$\Delta T_{DC,s} = R_s I_{th,0} = \frac{R_s}{R_m} \sqrt{1 + (\omega \tau_{ms})^2} T_{AC,0}$$

$$= \sqrt{\left(\frac{R_s}{R_m}\right)^2 + (\omega \tau_{ds})^2} T_{AC,0} \ll T_{AC,0}$$

ifølge 1) og 3). Denne gradient behøver vi altså ikke spekulere på, så længe  $T_{AC,0}$  holdes inden for det område, hvor kapaciteten kan anses konstant lig  $C(T_{DC})$

I dette afsnit har vi ikke givet taleksempler, thi det ville føre til en dobbeltdiskussion, da vi alligevel senere skal gennemgå vort kalorimeter detaljeret. Læseren må derfor afvente en konkretisering af indholdet af dette afsnit.

### 4.3 Generel metode til fratrækning af baggrunden

Det varmeoverførende medium fra varmekapaciteten og beholder kan være meget sammensat og muligvis befinder vi os i et frekvensområde, hvor varmediffusionseffekter i mediet spiller en rolle, og tilmed er diffusionen måske ikke endimensional.

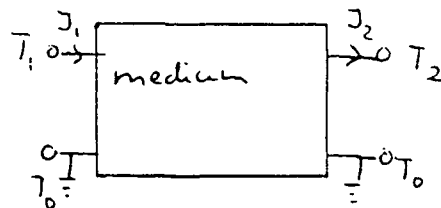
Alligevel kan vi behandle problemet med fratrækning af baggrunden generelt, dersom vi har en situation, hvor dette medium overalt har fat i kryostaten ved samme temperatur  $T_2 e^{-i\omega t}$  (en ækvipotentialflade). Lad den totale varmestrøm fra mediet ind i kryostaten være  $J_2 e^{-i\omega t}$  på denne flade. Endvidere skal mediet have fat i samplet og dets beholder ved samme temperatur  $T_1 e^{-i\omega t}$ . Lad strømmen der totalt går ind i mediet på denne flade være  $J_1 e^{-i\omega t}$ . Da alle ligninger er lineære (Fouriers lov, kontinuitetsligningen, strålingsloven for små temperaturafvigelser omkring  $\bar{T}_0$ ) vil der bestå en lineær relation.<sup>†</sup>

$$(4.3.1) \quad \begin{pmatrix} T_2 - \bar{T}_0 \\ J_2 \end{pmatrix} = \begin{pmatrix} A_{11} & A_{12} \\ A_{21} & A_{22} \end{pmatrix} \begin{pmatrix} T_1 - \bar{T}_0 \\ J_1 \end{pmatrix}$$

Mediet kan altså betragtes som en elektrisk firepol.  $A(\omega)$  er en frekvensafhængig matrix. (Dersom vi ville se på situationen i tidsbilledet består  $A$  af integral-kerner (invers fouriertransformerede af  $A(\omega)$ ) og de enkelte multiplikationer bliver til foldning med den tids-afledede som beskrevet i kap. 2.5)

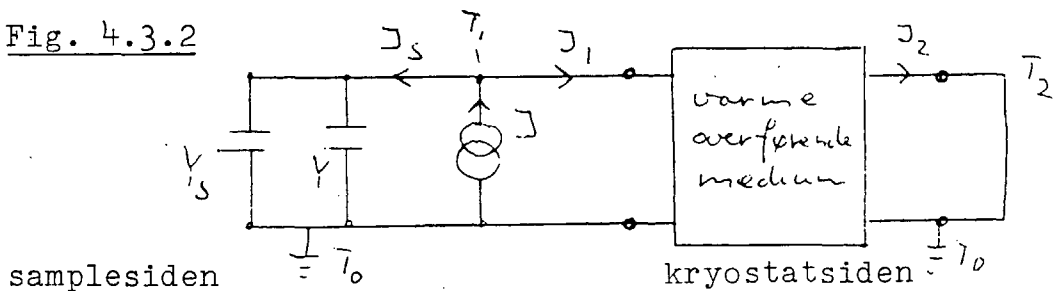
<sup>†</sup> Løs alle ligningerne med randbetingelserne  $T_1 e^{-i\omega t}$ ,  $T_2 e^{-i\omega t}$  på de to flader. Herudaf kommer strømtæthederne på de to flader. Disse integreres op til  $J_1 e^{-i\omega t}$  og  $J_2 e^{-i\omega t}$ . Der må være en lineær sammenhæng  $\begin{pmatrix} J_1 \\ J_2 \end{pmatrix} = B \begin{pmatrix} T_1 \\ T_2 \end{pmatrix}$ . Denne omskrives til (4.2.1)

Fig. 4.3.1



Argumentet for (4.3.1) minder om den måde, man i elektrostatikken indfører kapacitetskoefficienter [4.3.1]. Vi understreger endnu engang at dette gælder selv om det mellemliggende område kræver tredimensionalbeskrivelse (For et homogent medium i én dimension fandt vi eksplisit overføringsmatricen i kap. 3)

Fig. 4.3.2



$$Y_0 = -i\omega C_0, \text{ hvor } C_0 \text{ er beholderens kapacitet.}$$

$Y_s = -i\omega C_s$ , hvor  $C_s$  er samplesets varmekapacitet, der nu udmærket kan være frekvensafhængig.

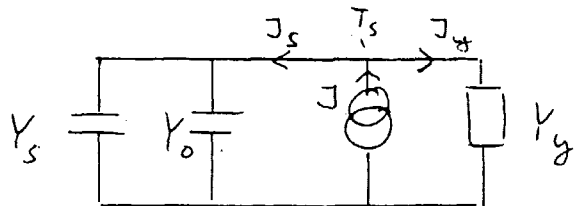
På kryostatsiden holdes temperaturen konstant  $T_2 - T_0 = 0$ , mens der på samplesiden tillige sidder en varmestrømkilde (fig. 4.3.2). (4.3.1) giver nu

$$(4.3.2) \quad 0 = A_{11}(T_1 - T_0) + A_{12} J_1, \quad \text{eller}$$

$$(4.3.3) \quad Y_g = \frac{T_1 - T_0}{J_1} = - \frac{A_{12}}{A_{11}}$$

uafhængigt af  $J_1$ . Holder vi hele tiden  $\Delta T_2 = T_2 - T_0 = 0$  optræder firepolen altså blot som en admittans  $Y_g$  (fig. 4.3.3)

Fig 4.3.3



Da bestemmes samplrets admittansfunktion ved først at måle den totale admittans  $Y_t$  med den tomme beholder ( $Y_g = 0$ )

$$(4.3.4) \quad Y_t(\omega) = \frac{1}{T_s} = Y_0(\omega) + Y_g(\omega)$$

hvorefter vi mäter med den fyldte beholder

$$(4.3.5) \quad Y_2(\omega) = \frac{1}{T_s} = Y_s(\omega) + Y_0(\omega) + Y_g(\omega)$$

og finder

$$(4.3.6) \quad Y_s(\omega) = Y_2(\omega) - Y_t(\omega)$$

Endeligt er samplrets varmekapacitet givet ved

$$(4.3.7) \quad C_s(\omega) = \frac{1}{i\omega} Y_s(\omega)$$

Vi behøver derfor i princippet ikke at kende baggrundens natur, men kan blot udmåle dens frekvensafhængighed eksperimentelt og korrigere for den ved simpel subtraktion.

I vort tilfælde vil vi dog sørge for, at mediet kan beskrives ved en simpel modstand d.v.s.  $\gamma_g$  er en reel frekvensuafhængig konstant. Der er nemlig rigeligt arbejde i at kortlægge denne modstand og beholdervarmekapacitetens temperaturafhængighed.

#### 4.4 Korrelationsmåling

Antag at vi påvirker vort system med et periodisk input  
 $\varphi(t) = \varphi_{\omega_0} e^{-i\omega_0 t}$

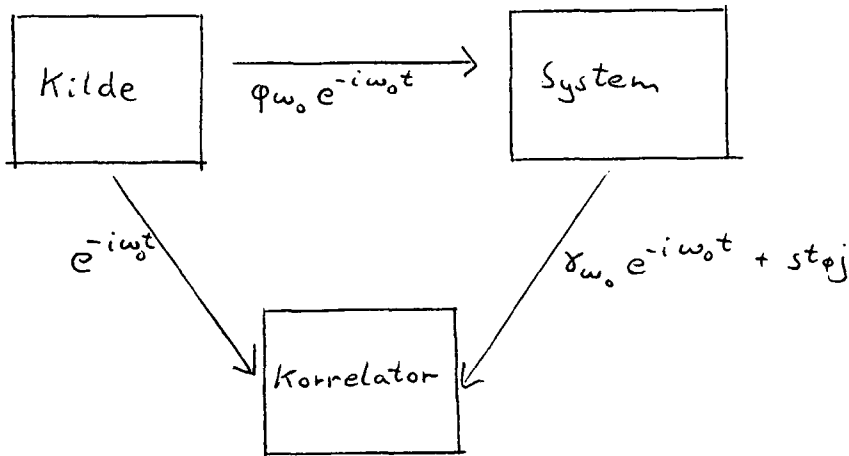
Output'et er hovedsagelig  $\gamma_{\omega_0} e^{-i\omega_0 t}$ . Dersom der er ulinearitet i systemet kan der opstå et diskret spektrum af overtoner  $\sum \gamma_{p\omega_0} e^{-ip\omega_0 t}$ . Endvidere vil der være et kontinuert spektrum af støj  $\int_{-\infty}^{\infty} \Gamma(\omega) e^{-i\omega t} d\omega$ .

I en analog lock-in forstærker ( $\omega_0 > 1 \text{ Hz}$ ) eller v.h.a. en digitalcomputer ( $\omega_0 < 1 \text{ Hz}$ ) koblet til kilden og systemet (fig. 4.4.1) vil vi kunne danne korrelationen

$\langle \varphi(t) | \gamma(t) \rangle_T$  med korrelationstid  $T$

$$(4.4.1) \quad \langle \varphi(t) | \gamma(t) \rangle_T \equiv \frac{1}{T} \int_{t-T}^T \varphi^*(t') \gamma(t') dt'$$

Fig. 4.4.1



Sæt  $\varphi_{\omega_0} = 1$  og lad integrationstiden  $T$  være et helt antal perioder  $T = n \frac{2\pi}{\omega_0}$ . Da bliver

$$(4.4.2) \quad C(\omega, n) \equiv \langle e^{-i\omega_0 t} | e^{i\omega t} \rangle_T$$

$$= \frac{1}{2\pi n} \frac{1}{i} \frac{1}{(\frac{\omega}{\omega_0} - 1)} \left\{ e^{i(\frac{\omega}{\omega_0} - 1)2\pi n} - 1 \right\} e^{i(\omega - \omega_0)t}$$

Man finder

$$(4.4.3) \quad |C(\omega, n)|^2 = 2 \frac{1 - \cos(2\pi n(\frac{\omega}{\omega_0} - 1))}{\{2\pi n(\frac{\omega}{\omega_0} - 1)\}^2}$$

Det globale maximum uafhængigt af  $n$  'er  $|c| = 1$  for  $\omega = \omega_0$ . Endvidere er  $|c| = 0$  for  $\omega = p\omega_0/n$ ,  $p \neq n$ ,  $p$  heltal, hvilket vi jo også ved da alle overharmoniske til frekvensen  $\omega_0/n$  er ortogonale, når de integreres over  $n$  perioder. Vi får altså prikket  $\gamma_{\omega_0}$  ud af det diskrete spektrum. Imidlertid består støjspektret jo af alle mulige frekvenser og de, der ikke er hele multipla af  $\omega_0/n$  vil give bidrag.

$|\Gamma(\omega)|^2 d\omega$  angiver støjenergiindholdet i intervallet  $[\omega, \omega + d\omega]$ . Den støjenergi vi ser efter korrelationen bliver  $|c(\omega)\bar{c}(\omega)|^2 d\omega$ . Dersom  $\bar{c}(\omega) = \Gamma$  er uafhængig af frekvensen (hvid støj) kan vi finde det integrerede bidrag

$$(4.4.5) \int r^2 |c(\omega)|^2 d\omega = r^2 \int_{-\infty}^{\infty} 2 \frac{1 - \cos 2\pi n \left( \frac{\omega}{\omega_0} - 1 \right)}{\{ 2\pi n \left( \frac{\omega}{\omega_0} - 1 \right) \}^2} d\omega \\ = \frac{\omega_0 r^2}{\pi n} \int_{-\infty}^{\infty} \frac{1 - \cos y}{y^2} dy = \frac{\omega_0 r^2}{n}$$

Støjenergien undertrykkes altså med  $\frac{1}{n}$ . Integralet får sit største bidrag omkring  $y=0$ . Da  $y = 2\pi n \left( \frac{\omega}{\omega_0} - 1 \right)$  ser vi at med voksende  $n$  hentes bidraget til støjen tættere og tættere på  $\omega_0$ . Derfor kræver regningen blot at  $\Gamma(\omega)$  er passende konstant lige omkring  $\omega_0$ .

AC-teknikken har hidtil ikke taget sigte på at måle frekvensafhængige varmefylder, men derimod at udnytte korrelationsteknikken til at måle statiske (ligestørrelse) varmefylder i temperaturområder, hvor de er stærkt temperaturafhængige [4.1.4., 4.1.5]

Det kan f.eks. være ved en 2.ordens faseovergang, hvor

$$(4.4.6) C(\tau) - C(\tau_c) \propto \begin{cases} \left( \frac{\tau - \tau_c}{\tau_c} \right)^{\alpha} & \tau > \tau_c \\ \left( \frac{\tau_c - \tau}{\tau_c} \right)^{-\alpha} & \tau < \tau_c \end{cases}$$

De kritiske eksponenter  $\alpha, \alpha'$  er centrale for teorierne for 2. ordens faseovergange.

Lovene gælder først tæt på  $\tau_c$ ,  $\varepsilon = \frac{\tau - \tau_c}{\tau_c} \ll 1$  og det er klart at de temperaturvariationer  $\frac{d\tau}{\tau_c}$ , der benyttes til bestemmelse af  $C(\tau)$  skal være endnu mindre end  $\varepsilon$ .

Derfor er det vigtigt at kunne undertrykke støjen.

Handler et al. [4.1.5] benyttede eksempelvis metoden til at måle varmefylden af  $Ni$  nær sit Curiepunkt (625 K) med temperaturamplituder på  $10^{-5} K$ , således at den relative temperaturvariation var  $\frac{\Delta T}{T_c} = 10^{-5}$ . Deres modulationsfrekvens var  $26 Hz$  og integrationstiden  $3s$  og dermed  $n \approx 100$ .

I vort tilfælde er frekvenserne så lave, at vi ikke har tid til at foretage korrelationen over mange perioder. Vort primære formål er at udmåle  $C_p(\omega)$  for et stof med en relaxerende varmefylde, hvilket er et nyt aspekt af teknikken [4.4.1, 4.4.2]. Vi kunne principielt have målt  $C_p(t)$  i stedet (d.v.s. varmeresponset på et heaviside temperaturinput) idet  $\frac{1}{i\omega} C_p(\omega)$  og  $C_p(t)$  ved Fouriertransformation kan fås af hinanden.

Måling af  $C_p(t)$  har den fordel at man finder hele spektret på én gang. Til gengæld må vi forvente en betydeligt større nøjagtighed ved måling af  $C_p(\omega)$ , idet vi her ser på en frekvens af gangen. Det vil således lettere afsløres om noget er gået galt ved måling af  $C_p(\omega)$  (variansen bliver stor, se senere) eller om vi erude i et ulineært område (overharmoniske dukker op). Endvidere vil der introduceres numeriske fejl ved transformationen  $C_p(t) \leftrightarrow C_p(\omega)$ , idet vi kun har et begrænset tids-/frekvensområde.

I det eksperimentelle afsnit 5.3 vil jeg i detaljer beskrive bestemmelsen af Fourierkomponenterne (se fig. 5.2.1, 5.3.1). Det er naturligvis vigtigt at kilden leverer et perfekt uforvrænget signal. Det kan være svært at få en sædvanlig (analog) sinusgenerator til at give et sådant ved de meget lave frekvenser  $25 - 24 Hz$ . Til gengæld er der nu tid til at generere et sinussignal simpelthen ved at udløse det fra en hukommelseschip (EPROM) i et stort antal små skridt. En sådan sinusgenerator blev konstrueret.

Selv om signalet er perfekt, vil der ofte være et DC-offset  $rV_0$ , hvor  $V_0$  er AC-amplituden. Et sådant

vil give anledning til at den subharmoniske optræder i varmestrømmen, thi (sammenlign 4.2.1)

$$(4.4.7) \quad I_{th}(t) = \frac{1}{R_{el}} (V_0 \cos(\frac{\omega}{2}t) + rV_0)^2 \\ = I_{th,0} (1 + 2r^2 + \cos(\omega t) + 4r \cos(\frac{\omega}{2}t))$$

Da endvidere varmeimpedansen er omvendt proportional med  $\omega$  ( $|T| \approx \frac{1}{\omega C} |I|$ ) vil temperaturamplituden  $T_{AC, \omega/2}$  for den subharmoniske i forhold til hovedkomponenten  $T_{AC, \omega}$  blive

$$\frac{T_{AC, \omega/2}}{T_{AC, \omega}} \approx 8r$$

Selv om  $r$  kan justeres bort vil den ændres med tiden til måske  $10\mu V$ .  $V_0$  er typisk  $400\mu V$  d.v.s.  $r = 2,5\%$  og dermed  $8r = 20\%$ . Dette er altså en alvorlig effekt og for at tage højde for den må vi korrelere over et multiplum af 2 termiske svingninger, således at vi bestemmer Fourierkomponenterne ikke alene for  $\omega$  men også  $\frac{\omega}{2}$ . Endvidere bestemmer vi komponenterne til  $2\omega$  og  $3\omega$  for at holde øje med overharmoniske.

Videre om dette emne i afsnit 5.3.

## 5. Forsøgsopstillingen

### 5.1 Den termiske del

Begrundelser for dimensioneringen.  
Kryostat, calorimeter, varmekontakt.  
Brugbart frekvensområde.

### 5.2 Den elektriske/ elektroniske del.

Sinusgenerator, thermometer, målebro.  
Computer o.a..

### 5.3 Den programmelle del

Fourieranalyse, Simpson integration.

## 5.1 Forsøgsopstillingen

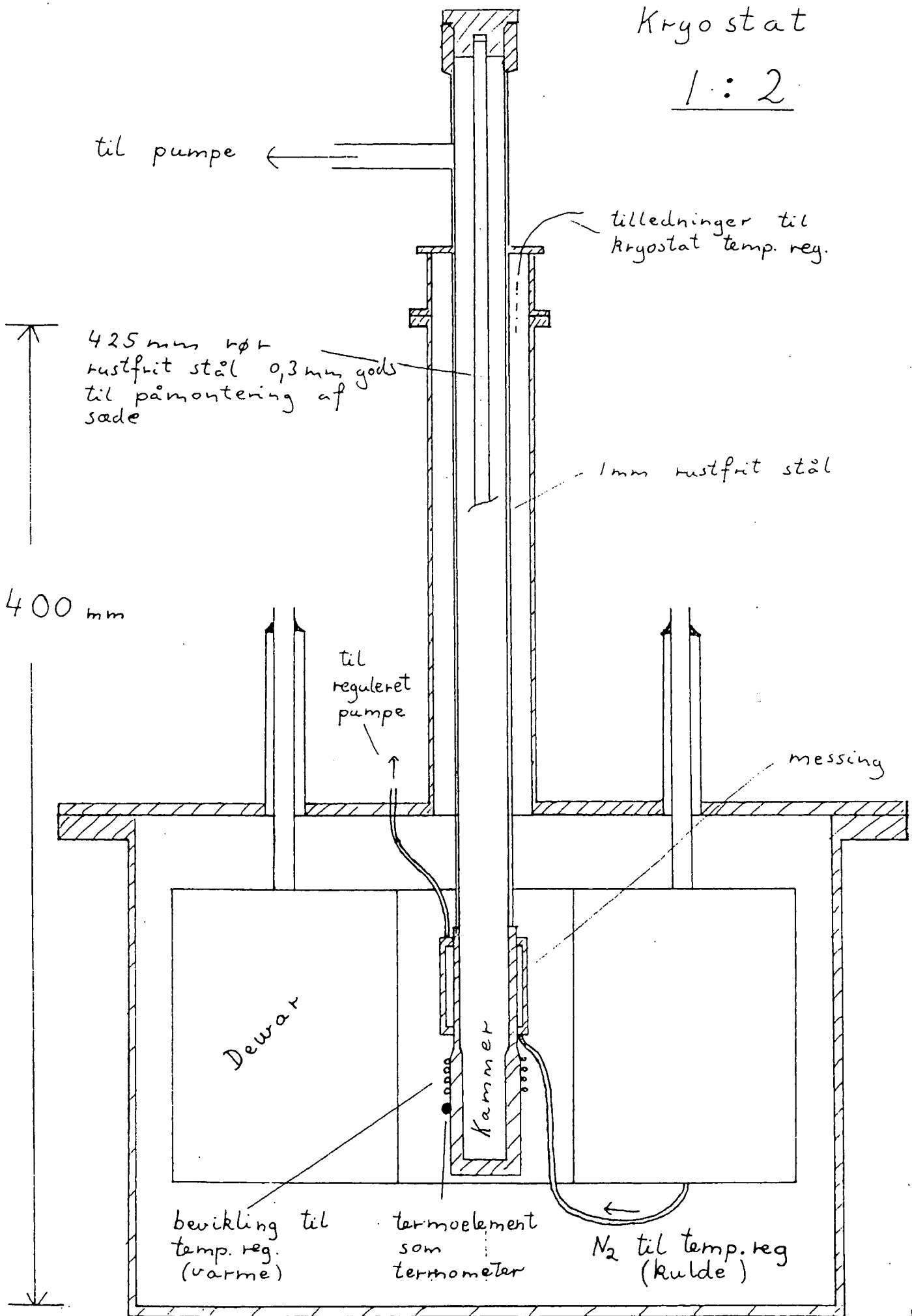
### Den termiske del

#### Kryostaten

På fig. 5.1.1 ses kryostaten i hvil kammer kalorimeteret placeres. 1 mm på tegningen svarer til 2 mm i naturlig størrelse. Kryostaten blev designet af Ib Høst Pedersen, Niels Boye Olsen og undertegnede og udført af det mekaniske værksted på RUC. Der fandtes en mindre kommercial kryostat i forvejen, men den nye blev konstrueret, fordi den kommersielle kryostat ikke kunne temperaturreguleres tilstrækkelig godt. Endvidere havde den første kryostat et Dewarreservoir, der kun kunne holde i fire timer uden  $N_2$  påfyldning, og da forsøgene skulle køres kontinuert i dagevis, havde vi brug for en kryostat, der kunne holde 16 timer (fra fyraften til morgen). Et af problemerne ved bygningen af en kryostat er, at den skal være lufttæt. Efter en højglanspolering (til nedsættelse af strålingstab) var der dukket små huller frem i svejsesømmene, så svejsningen måtte gøres om.

Kryostat

1 : 2



### Temperaturregulering af kryostaten

V.h.a.en lille pumpe holdes et konstant flow af kvælstof forbi kammerets yderside, hvorved dette køles. Temperaturen reguleres automatisk med en elektrisk termostat, der føler temperaturen med et termoelement, og kan varme kammeret op ved at sende en elektrisk strøm gennem varmeviklingen. Den elektroniske regulering er en såkaldt PDI (Proportional, Differential, Integral) regulator som i sin feedbackregulering ikke alene benytter sig af et med temperaturafvigelsen proportionalt signal, men også af det tidsdifferentialerede og tidsintegrerede heraf. Herved opnås en meget stabil regulering. Langtidsstabiliteten var bedre end 25 mK. Dette svarer til en ændring i termospændingen på ca.  $1 \mu V$ , hvilket var det mindste, som kunne aflæses på det tilsluttede digitalvoltmeter. I app. 5.2.3 er givet en tabel over termospændingen for jern-konstantan elementet, som funktion af temperaturen. Bemærk at tabellen angiver termospændingen med  $^{\circ}C$  som referencetemperatur. Dersom  $N_2$ -kogepunktet  $77K = -196,2^{\circ}C$  er reference, skal der adderes  $8,038 mV$ .

### Kryostatens indre kammer

Som vist på fig. 5.1.1 kan det indre kammer tilsluttes en pumpe, hvormed kammeret kan evakueres for derved at udelukke varmeledning ved diffusion og konvektion via atmosfære.

På fig. 5.1.2 ses den nedre del af kryostatens indre kammer. 1 mm på tegningen svarer til  $0,25 mm$  i naturlig størrelse.

Heri er kalorimeteret placeret. Det er monteret i et sæde, der igen sidder for enden af et hult stålør.

I tabel 5.1.2 er angivet en række termiske egenskaber af de materialer, som indgår. Værdierne gælder ved  $20^{\circ}C = 293 K$ , men ned til  $150 K$  ændrer de sig ikke mere, end at vi godt kan bruge dem til overslagsberegninger.

Det er fortrinsvis varmefylderne, der ændrer sig. Den er ved 180 K 14% lavere for aluminium og 7% lavere for kobber. På side 5.1.7 er  $\lambda$  og  $c_p$ 's temperaturafhængighed angivet.

### Det rustfri stålør

Stålørrets dimensioner,  $L = 425$  mm langt,  $d=6$  mm ydre diameter. Det er hult. Godstykkelse  $e = 0,3$  mm. Dermed har det en termisk modstand på

$$R_{stålør} = \frac{L}{\lambda \pi d e} = \underline{\underline{4,3 \cdot 10^3 \text{ k/W}}}$$

Rørets funktion er blot at bære sæde og kalorimeter. Det skal have en høj termisk modstand, dels for at holde forbruget af  $N_2$  nede, dels for at den temperaturgradient på ca. 100 K, der under forsøget er mellem kryostatens nedre kammer og toppen, ligger over stålørret, mens der er en minimal gradient ind igennem sædet (messing). Derfor er røret lavet af stål, som dels har en varmeledningsevne, der er 10 gange mindre end messings, dels fordi det er så stærkt så røret kan have en tynd væg.

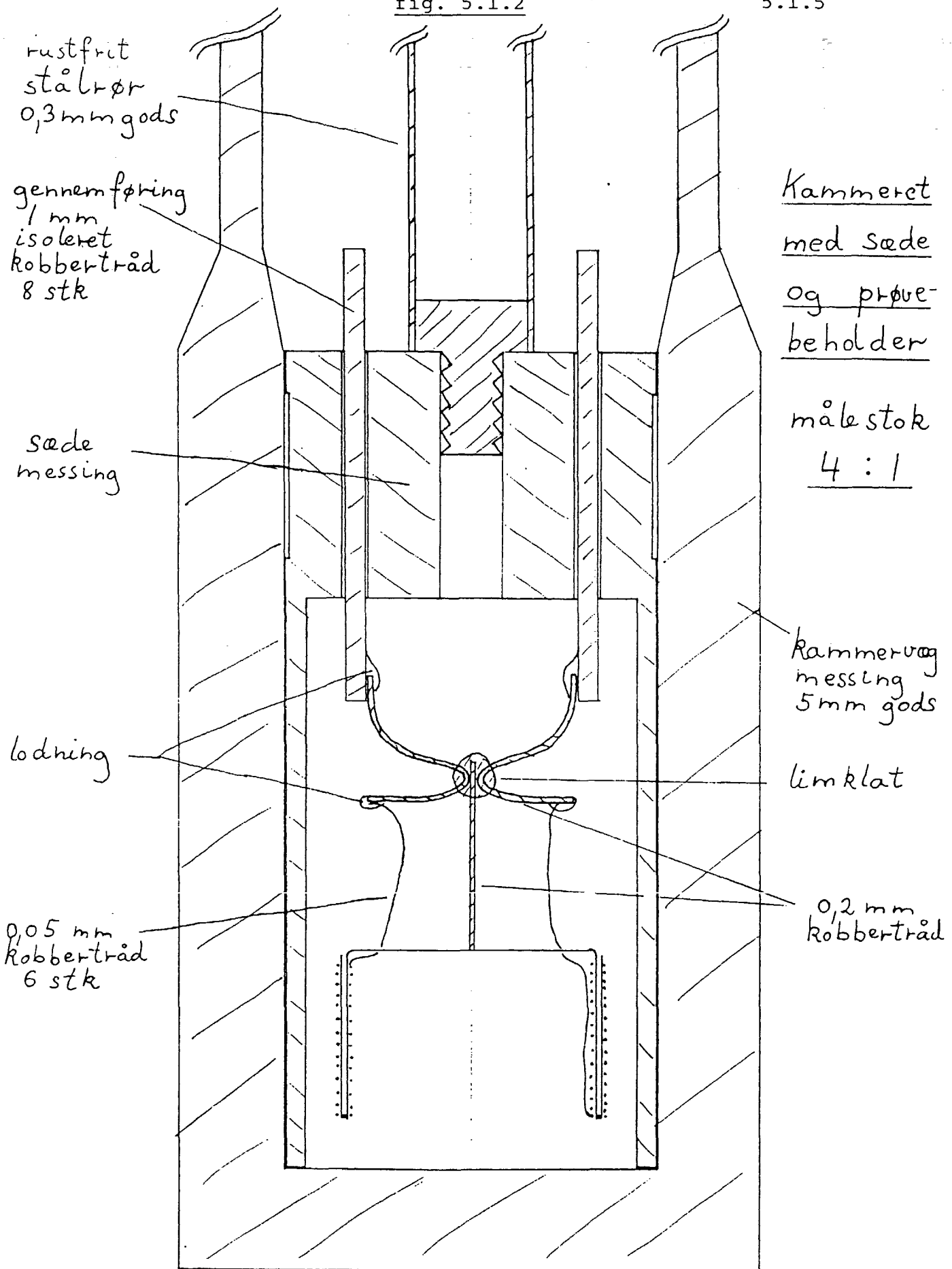
### Sædet

Sædet er udført i messing. Det er øverst en massiv cylinder, højde  $h = 12$  mm, diameter  $d = 18$  mm, nederst er det fortsat i to 1 mm tykke flanger. Disse skal dels give termisk kontakt til kammerets vægge, idet de er svagt fjedrende, dels beskytte kalorimeteret ved ned-sænkning og optagning fra kryostaten. For yderligere at hjælpe på den termiske kontakt smøres lidt vacuumfedt på ydersiden af sædet og dets flanger. Rundt om sædets øvre del er viklet en 0,05 mm kobbertråd. Den ligger nede i en 0,3 mm dyb og 8 mm lang fals. Med denne kobbertråd kan man måle temperaturen af sædet ved en modstands-måling.

fig. 5.1.2

97

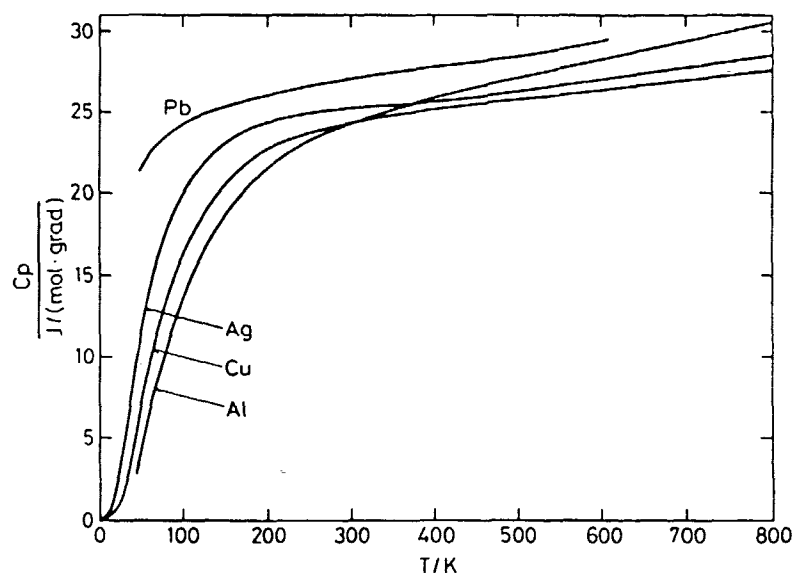
5.1.5



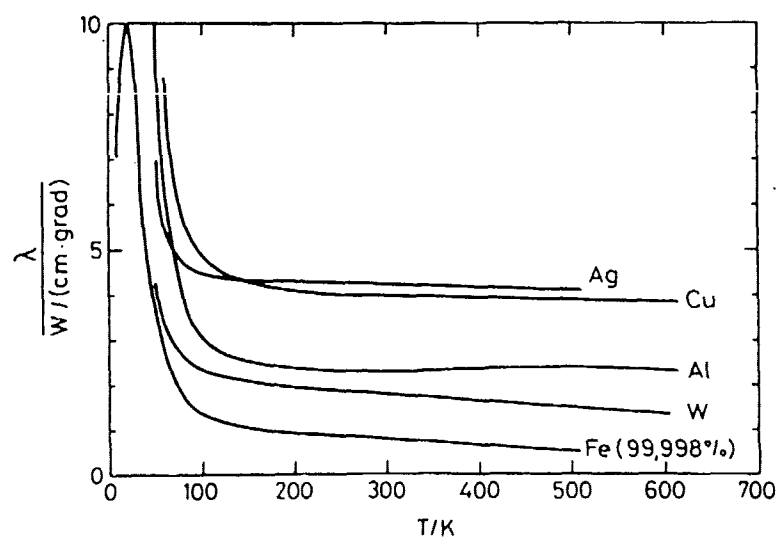
Tabel 5.1.1

stof ogen- skab	massefyldede g $10^3 \text{ kg m}^{-3}$	varmefyldede $c_p$ $10^3 \text{ J K}^{-1} \text{ kg}^{-1}$	varmekon- denserne $\lambda$ $\text{W K}^{-1} \text{ m}^{-1}$	varmedif- fusivitet $D = \frac{\lambda}{\rho c_p}$ $10^{-6} \text{ m}^2 \text{ s}^{-1}$
kobber	8,93	0,385	390	113
aluminium	2,70	0,896	239	99
messing 85 Cu; 15 Zn	8,75	0,38	159	48
rustfrit stål 19 Cr; 10 Ni	8,02	0,51	17,3	4,2
glycerol	1,26	2,43	0,29	0,095
kunststoffer typisk epoxy	1 - 1,5	1 - 1,5	~ 0,2	~ 0,15

## MOLÆR VARMEFYLDE FOR METALLER

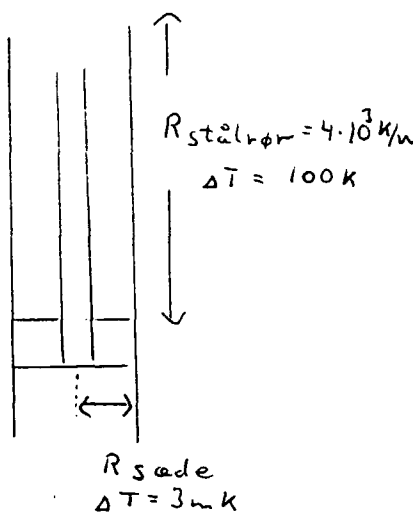


## METALLERS VARMELEDNING VED FORSK. TEMPERATURER



Dette benyttes til dels at sikre at sædet har ordentlig termisk kontakt med kammerets væg, hvis temperatur jo også kendes fra det jern-konstantan termoelement, der indgår i termostatreguleringen, dels til en kalibrering af kobbertrådens modstand mod termoelementet. Ved 292,2 K var modstanden 51,15 Ω (incl. tilledninger) Igennem sædet er ført 8×1 mm tykke kobberledninger til diverse tilledninger. De er elektrisk men ikke termisk isoleret fra sædet (fastgjort med epoxylim (araldit)). Varmemodstanden for en radielt løbende varmestrøm fra den radius, hvor stålørret sidder  $r = 1,5$  mm til yderradius ved kryostat  $r = 9$  mm bliver

$$R_{\text{sæde}} = \int_{r_1}^{r_2} \frac{dr}{\lambda 2\pi r h} = \frac{1}{\lambda 2\pi h} \ln\left(\frac{r_2}{r_1}\right) = 0,15 \text{ K/W}$$

Fig. 5.1.3

Dermed vil temperaturgradi-  
enten radielt på sædet typisk  
være  $\frac{0,15}{4,3 \cdot 10^3} \cdot 100 \text{ K} = 3 \text{ mK}$   
(fig. 5.1.3)

Hertil kommer kontaktmodstan-  
den mellem sædet og kammerets  
væg. Jeg vil skønne, at tempe-  
raturen i sædet fulgte efter  
en temperaturregulering af  
kryostaten med en tidskons-  
tant mindre end 10 s. Heri er  
dog indblandet diffusions-  
effekter.

Da varmekapaciteten af sædet er

$C_{\text{sæde}} = \frac{\pi}{4} d^2 h \rho c_p = 10 \text{ J/K}$  må kontaktmodstanden  
være mindre end 1 K/W. Formodentlig er den betydeligt  
mindre.

#### Tilledningerne fra sæde til top af kryostat

Der er 8 af disse tilledninger. 2 til sædets termometer,

2 til kalorimeterets varmevikling, 2 til kalorimeterets termometer og 2 til dielektrisk relaxation studier. Da disse er af kobber, der leder 20 gange bedre end stål skal de være tynde. De er valgt med diameter  $d = 0,1 \text{ mm}$ , hvilket giver samlet termisk modstand

$$\underline{R_{\text{tilledninger}}^{\text{termisk}}} = \frac{1}{8} \frac{4L}{\lambda \pi d^2} = \frac{0,425}{2\pi 390(10^{-4})^2} = \underline{1,7 \cdot 10^4 \text{ k/W}}$$

hvilket er 4 gange den termiske modstand af røret. Da trådene er så tynde må vi tage hensyn til deres elektriske modstand ved målingerne. Denne bliver ved  $20^\circ\text{C}$

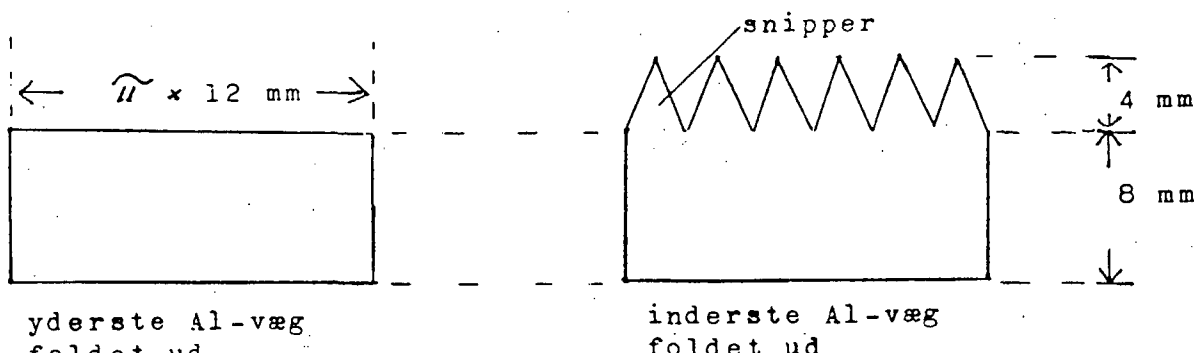
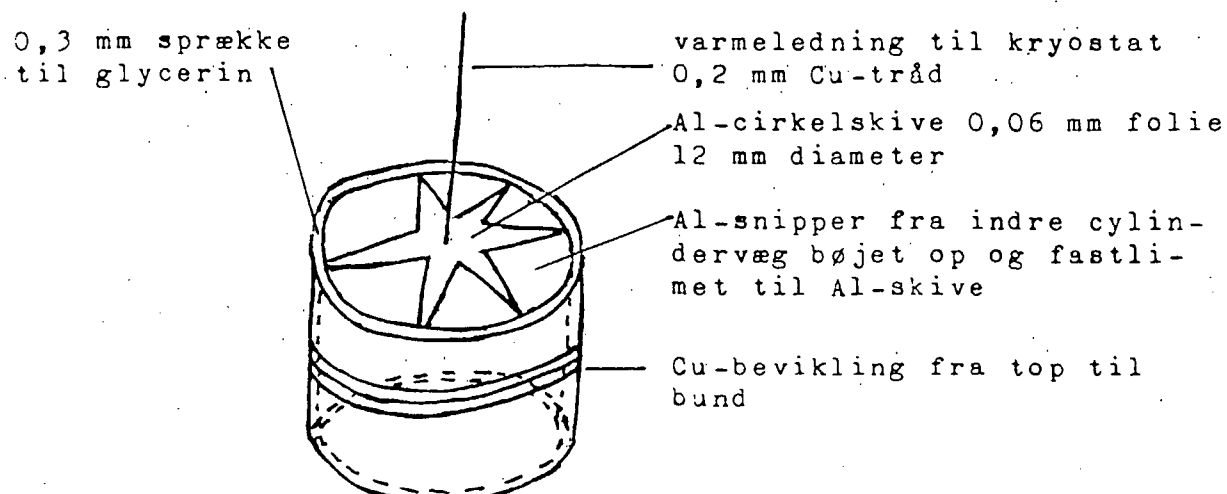
$$\underline{R_{\text{en tillægning}}^{\text{elektrisk}}} = \rho_{\text{sp, ol}} \frac{4L}{\pi d^2} = 17 \cdot 10^{-9} \Omega \cdot \frac{4 \cdot 0,425 \Omega}{\pi (10^{-4} \text{ m})^2} = \underline{0,92 \Omega}$$

### Kalorimeteret

Der er for mange usikre størrelser til at vi nøjagtigt kan beregne os til kalorimeterets fysiske egenskaber, så admittansen hidrørende fra beholderen  $\gamma_o(\omega)$  og den ydre varmeledning  $\gamma_y(\omega)$  (se afsnit 4.3) må udmåles. Alligevel vil vi give overslagsberegninger, dels for at begrunde dimensioneringen af kalorimeteret, dels for at kontrollere om de målte værdier er fornuftige.

Som nævnt ( afsnit 2.2) gælder det om, at have et tyndt lag væske for at kunne måle varmefylden ved høje frekvenser. For at få så stor en mængde glycerin som muligt at måle på, samtidig med at det skal være et tyndt lag, valgtes geometrien til at være en cylinderrand. Diameteren blev 12 mm (kryostatkammerets diameter er 18 mm.) (fig. 5.1.2). Kalorimeteret er forsøgt tegnet i perspektiv i fig. 5.1.3. Beholderens vægge består af to koncentriske cylindre. Den mindste realistiske afstand mellem disse for et kalorimeter, der skulle bygges i hånden var  $\ell = 0,3 \text{ mm}$ . Hermed bliver den karakteristiske diffusionstid i glycerinen (tabel 5.1.1)

Fig. 5.1.3.



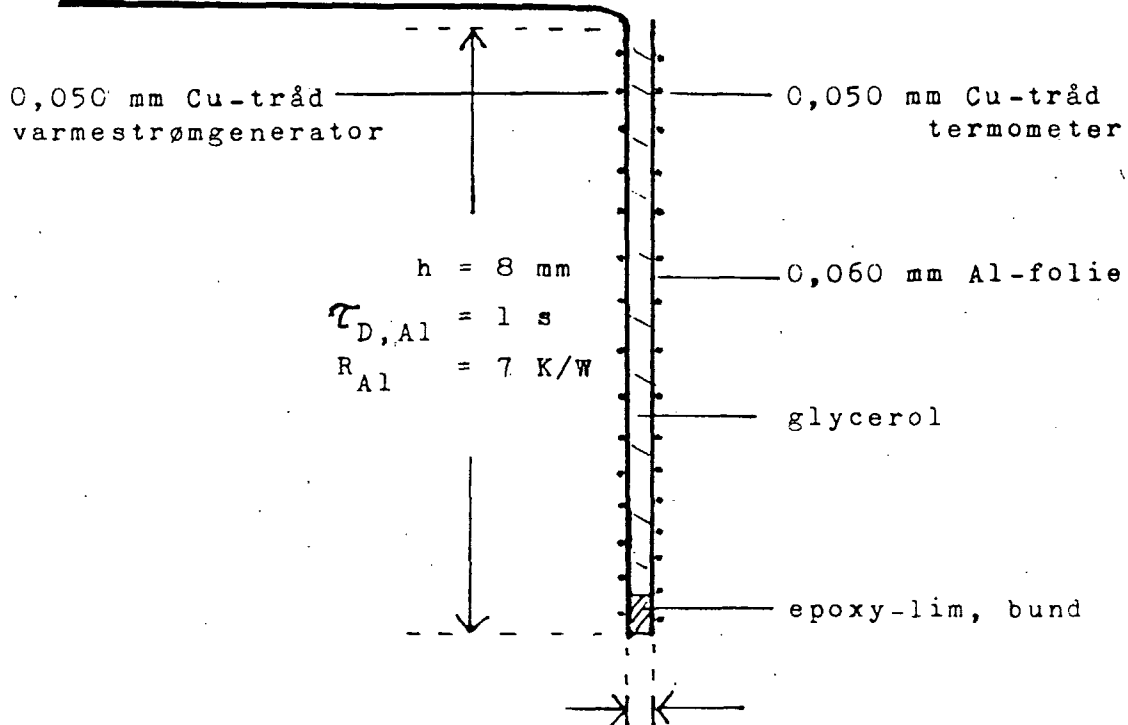
$$\Sigma_{D, \text{glyc}} = \frac{\epsilon^2}{D} = \frac{(0,3 \cdot 10^{-3})^2}{0,095 \cdot 10^{-6}} = 1s$$

Se nu på snittet gennem kalorimeteret fig. 5.1.4.

Kalorimeterets indvendige vægge (altså mod glycerinen) består af  $e = 0,060$  mm tykt aluminium. Uden på disse vægge er viklet og fastlimet en  $0.05$  mm kobbertråd. Beviklingen på den yderste væg skal benyttes til temperaturmåling (modstandsmåling), mens beviklingen på den inderste er varmestrømgenerator. De to aluminiumscylindre hænger sammen i bunden med et lag epoxylim hele cirklen rundt.

Fig. 5.1.4.

Al-cirkelskive  $2 \times 0,060$  mm folie.  
diameter 12 mm



$$l = 0,3 \text{ mm}$$

$$\tau_{D,glyc} = 1 \text{ s}$$

$$R_{glyc} = 3 \text{ K/W}$$

Cylindrerne er elektrisk adskilte og udgør en pladekon-densator, hvorfor man også kan benytte kalorimeteret til måling af dielektrisk relaxation. Deres primære for-mål er dog at lede varmestrømmen på tværs af kobbevikk-lingerne (lodret på fig. 5.1.4). Beholderens højde  $h$  bestemtes af to forhold (udover at væskerumfaget skal være stort): Diffusionstiden  $\tau_{D,Al}$  ikke større end  $\tau_{D,glyc}$ . Varmemodstand  $R_{Al}$  ikke større end  $R_{glyc}$  således at den stationære gradient ikke blev større i lodret retning end i vandret retning. Højden  $h$  er 8mm, hvilket giver

$$\tau_{D,AC} = \frac{h^2}{D_{AC}} = \underline{1 \text{ s}}$$

$$R_{AC} = \frac{1}{2} \frac{h}{\lambda_{AC}^2 d e} = \underline{7 \text{ K/W}}$$

mens

$$R_{glyc} = \frac{L}{\lambda_{glyc} \pi d h} = \underline{3 \text{ K/W}}$$

og tidligere er fundet

$$\tau_{D,glyc} = \underline{1 \text{ s}}$$

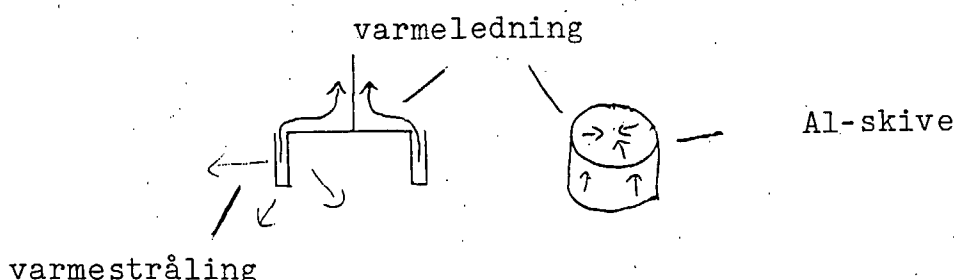
Disse krav er altså opfyldt.

Det er ikke simpelt at bygge et kalorimeter, der er så lille. I App. 5.1.1 findes en nærmere beskrivelse af, hvorledes det blev gjort.

Den øvre Al-skive vil vi medregne til kalorimeteret.

Den har - inclusive pålimede snipper fra inderste cylindervæg - en tykkelse  $e = 0,12 \text{ mm}$ . En del af varmestrømmen fra væskebeholderen skal passere denne skive (fig. 5.1.5)

Fig. 5.1.5



Vi skulle nødigt se diffusionseffekter fra Al-skiven.

Ved en løsning af varmeledningsligningen på denne ville vi rede os ud i Besselfunktioner, men heldigvis får vi kun brug for en approximation, så dette kan undgås. Det er vist i App. 5.1.2 at i grænsen  $\omega \frac{1}{2} (\frac{r_2}{r_1} - \frac{r_1}{r_2}) \ln(\frac{r_1}{r_2}) \ll 1$  vil overføringsfunktionen fra  $r_1$  til  $r_2$  være

$$(5.1.1) \quad A(r_2, r_1) = \begin{pmatrix} 1 & -R' L_h(r_2/r_1) \\ i\omega C' \frac{1}{2}(r_2^2 - r_1^2) & 1 \end{pmatrix}$$

Betegnelserne fremgår af (fig. 5.1.6)

Fig. 5.1.6



$$R' = \frac{1}{\lambda \cdot 2\pi}, \quad C' = c_p \rho e 2\pi \quad R' C' = \frac{c_p \rho}{\lambda} = \frac{1}{D}$$

Her har vi forudsat at randbetingelserne ikke afhænger af azimuthalvinklen (én dimensionalt problem ( $r$ ))

Vi kan derfor definere en karakteristisk tid

$$\tau_{D, skive} = \frac{1}{D} (r_2^2 - r_1^2) L_h(\frac{r_2}{r_1}) = \frac{(6^2 - (0,1)^2) \cdot 10^{-6} L_h(6/0,1)}{99 \cdot 10^{-6}} \text{ s}$$

$$= 1,5 \text{ s}$$

der angiver overgangen fra diffusionsområdet til det simple område beskrevet ved (5.1.1). Denne bliver altså af samme størrelse som de øvrige diffusionstider i glycerinen og aluminiumsvæggene.

Herudover finder vi den termiske modstand og kapacitet af skiven

$$R_{skive} = \frac{1}{239 \cdot 2\pi \cdot 1,2 \cdot 10^{-4}} L_h(\frac{6}{0,1}) = \underline{22 \text{ k/W}}$$

$$C_{skive} = 2,7 \cdot 10^3 \cdot 0,896 \cdot 10^3 \pi \cdot 1,2 \cdot 10^{-4} (6 \cdot 10^{-3})^2 = \underline{33 \text{ mJ/K}}$$

I den grænse  $\omega \tau_{D, skive} \ll 1$ , vi skal måle  $i$ , kan  $C_{skive}$  blot opfattes som en del af kalorimeterets varmefylde, mens  $R_{skive}$  kan opfattes som en del af den ydre modstand:

I App. 5.1.3 er øvrige fysiske egenskaber af kalorimeteret estimeret. Man finder at kalorimeter og dets indhold af glycerin rundt regnet får samme varmekapacitet,

der tilsammen bliver

$$C_{\text{kal}} + C_{\text{glyc}} = 0,6 \text{ J/K}$$

### Den ydre varmeledning (ledning + stråling)

Den ydre varmemodstand  $R_m$  definerer sammen med kalorimeteret og indholdets samlede varmekapacitet  $C_s$  en tid  $\tau_{ms} = R_m C_s$ , som vi i afsnit 4.2 har set skal vælges så betingelsen  $3) \omega \tau_{ms} \gtrsim 1$  er opfyldt. Den laveste frekvens  $\omega_{min}$  vi vil arbejde med sættes af praktiske årsager til 2 mHz svarende til en svingningstid  $T_{max}$  på næsten 1 time. Meget længere kan vi ikke vente på ét målepunkt og man skal huske at hertil skal lægges en indsvingningstid. Varmeledningsevnen  $\Gamma$

$$\Gamma_m = 1/R_m \quad \text{skal derfor være mindre end } 4 \text{ mW/K.}$$

På den anden side skal den ikke være meget mindre, da vi ikke ønsker at vente for længe på stationaritet.

Varmeafgivelsen til kryostaten foregår ved:

- a) Langs den ydre cirkelskive og videre op gennem den centrale 0,2mm Cutrød, som endelig grener sig ud i 6 0,2mm til ledninger til sædet (fig. 5.1.5, 5.1.2)
- b) Gennem de 6 0,05mm tynde tilledninger tilvarmestrøm-generator, termometer og pladekondensator (der udgøres af de to Al-vægge)
- c) Ved stråling
- d) Konvektion og diffusion i den omgivende atmosfære.

#### Ad. d)

Vi ønsker at eliminere dette bidrag, idet det er vanskeligt at holde stabilt og reproducere.

---

Vi vil foretrække at udtrykke os i ledningsevner, da det er disse, der er additive.

Med den højeste frekvens  $\omega_{max} = 25 \text{ mHz}$  bliver den korteste diffusionslængde (3.15), (tabel 5.1.1)

$$\zeta_0(\omega_{max}) = \sqrt{\frac{D}{\omega_{max}}} = \sqrt{\frac{20 \text{ mm}^2/\text{s}}{25 \cdot 10^{-3} \text{ s}^{-1}}} = 3 \text{ cm}$$

Afstanden fra kalorimeterets yderside til kryostatvæggen er  $\ell = 2-3 \text{ mm}$ , altså langt kortere så luften ville optræde som en frekvensuafhængig ledning (3.16 I). Da overfladearealet er  $A = 3 \text{ cm}^2$  bliver admittansen

$$A_{luft} = \lambda \frac{A}{\ell} = 0,026 \text{ W/K}^{-1}\text{m}^{-1} \frac{3 \cdot 10^{-4} \text{ m}^2}{3 \cdot 10^{-3} \text{ m}} = 3 \mu \text{W/K}$$

d.v.s. af samme størrelsesorden, som den vi ønskede ad anden vej.

Ved at pumpe kammeret lufttomt fjerner vi til at begynde med kun det konvektive bidrag. Simpel kinetisk gasteori, der er i rimelig overensstemmelse med virkeligheden giver

$$\lambda = \frac{1}{3} \rho c_p v_m \zeta_m$$

hvor  $v_m$  er molekylernes middelhastighed, mens  $\zeta_m$  er middelvejlængden. Da  $\zeta_m \propto \frac{1}{\rho}$  bliver  $\lambda$  uafhængig af  $\rho$  og dermed trykket ind til dette er så lavt at vi når Knudsenområdet:  $\zeta_m > d$ , hvor  $d$  er en typisk dimension af kryostatkammeret. Det er vist i App. 5.1.4, at dette indtræder ved ca.  $10^{-2} \text{ torr}$ . Ved lavere tryk bliver  $\lambda \propto \frac{1}{\rho}$ .

Det var derfor ikke tilstrækkeligt at benytte en kapselpumpe. Der måtte også en diffusionspumpe til for at bringe trykket ned på  $2 \times 10^{-5} \text{ torr}$ , hvor varmeledningen fra restgassen kan estimeres til  $\frac{1}{2} \mu \text{W/K}$  (App. 5.1.4)

### Ad a)

0.2 mm Cu-tråden er ca. 15 mm lang, hvilket holder diffusionstiden nede på

$$\tau_0 = \frac{\ell^2}{\delta} = \frac{(15 \text{ mm})^2}{113 \text{ mm}^2 \text{s}^{-1}} \approx 2 \text{ s}$$

Den skulle få en varmeledningsevne på

$$\lambda_{\text{Cu-trød}} = \frac{\lambda \pi d^2}{4L} = \frac{390 \pi (2 \cdot 10^{-4})^2}{4 \cdot 15 \cdot 10^{-3}} = 800 \mu \text{W/K}$$

Vi får derfor (afsnit 4.2) betingelse 2) opfyldt samtidig med betingelse 1).

#### Ad b)

Da arealforholdet er  $(0,05/2)^2 = 6\%$  vil hver af de 6 tynde tilledninger give et sådant ekstra bidrag til  $\lambda_m$ .

#### Ad c)

Det er i App. 5.1.5 vist at varmestrømmen hidrørende fra stråling fra kalorimeteret med temperatur  $T_{\text{sample}}$  til kryostaten med temperatur  $T_{\text{kryo}}$  er

$$J_{\text{str}} = \epsilon_{\text{eff}} A_{\text{eff}} \sigma (T_{\text{sample}}^4 - T_{\text{kryo}}^4)$$

hvor  $\sigma$  er Stefan-Bollzmanns konstant og  $\epsilon_{\text{eff}} A_{\text{eff}}$  er en effektiv værdi af emissivitet og areal. En rækkeudvikling ud fra den temperatur  $T_{\text{oc}}$ , hvorom  $T_{\text{sample}}$  svinger giver ( $\Delta T = T_{\text{sample}} - T_{\text{oc}}$ )

$$J_{\text{str}} = \epsilon_{\text{eff}} A_{\text{eff}} \sigma T_{\text{oc}}^4 \left( 1 - \left( \frac{T_{\text{kryo}}}{T_{\text{oc}}} \right)^4 + 4 \left( \frac{\Delta T}{T_{\text{oc}}} \right) + 6 \left( \frac{\Delta T}{T_{\text{oc}}} \right)^2 + \dots \right)$$

De første to led angiver blot en DC-strøm uafhængig af temperaturafvigelsen  $\Delta T$ . Admittansen hidrørende fra strålingen bliver da

$$\lambda_{\text{str}} = \frac{\Delta J_{\text{str}}}{\Delta T} = 4 \epsilon_{\text{eff}} A_{\text{eff}} \sigma T_{\text{oc}}^3 \left( 1 + \frac{3}{2} \frac{\Delta T}{T_{\text{oc}}} \right)$$

$\frac{3}{2} \frac{\Delta T}{T_{oc}}$  angiver ulineariteten. Den vil for  $\Delta T = 1K$  og  $T_{oc} = 180K$  være 1%.

Da admittansen  $A_{led}$  hidrørende fra varmeledning gennem kobbertråden er temperaturafhængig, mens  $A_{str} \propto T_{oc}^3$  vil vi være i stand til at udskille de to ved måling. Det vil vise sig at

$$A_{led} = 370 \mu W/K$$

$$A_{str} = 310 \mu W/K \left( \frac{T_{oc}}{180K} \right)^3$$

så de to bidrag er lige store i glastemperaturområdet for glycerin. Da  $4\sigma (180K)^3 = 132 \mu W K^{-1} cm^{-2}$  bliver  $\epsilon_{eff} A_{eff} = 2 cm^2$ , hvilket er plausibelt, da kalorimeteroverfladen er  $8 cm^2$

Som det ses er det bidrag, der kommer fra ledning gennem Cu-tråden halvt så stort som estimeret. Det kan skyldes, at Cu-tråden p.g.a. dens forarbejdning har en noget lavere varmeledningsevne end tabelværdien, at tråden er noget tyndere, idet laklaget er indregnet i de 0,2 mm, og endelig kan kontaktmodstanden ved dens tillimning til de 6 øverste Cu tråde og til kalorimeterets Al-skive spille en rolle.

#### Det brugbare frekvensområde

Som vi har set er den nedre grænsefrekvens af praktiske grunde (ventetiden) 2 mHz, mens den øvre sættes af diverse diffusionstider af størrelsesordenen 2s.

Tillades  $\omega_{max} \tau_p \approx 5\%$  bliver  $\omega_{max} = 25 mHz$ .

Den nærmere bestemmelse af den øvre grænse vil fremgå af forsøget ved, at vi i temperaturområder hvor  $c_p$  ikke relaxerer ser afvigelser i responset, der ikke stemmer med den simple model (fig. 4.2.6.b).

Vi forventer derfor kun at have et brugbart frekvensområde på 1-1,5 dekade.

Det er blot et spørgsmål om tålmodighed at udvide frekvensområdet nedad, mens udvidelse opad vil kræve et andet kalorimeter.

## 5.2 Den elektriske/elektroniske del

På fig 5.2.1 er vist et blokdiagram af opstillingen. Komponenterne skal her gennemgås.

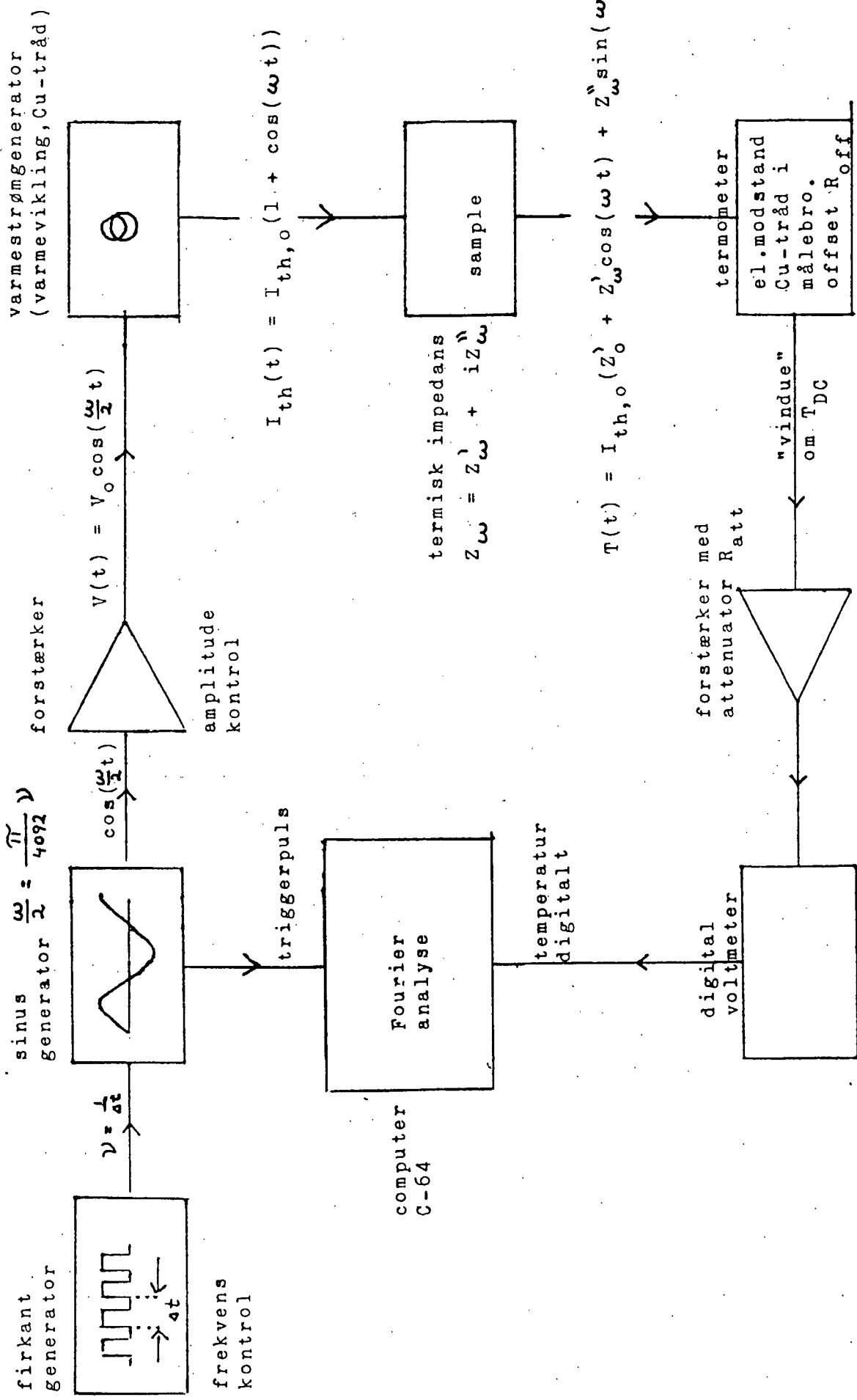
### 1 Firkantgenerator/frekvenskontrol

Med denne sættes en clockfrekvens  $\nu = \frac{1}{47}$  som styrer tælleværket i sinusgeneratoren. Frekvensen  $\omega$  for varmestrømgeneratoren vil blive  $\omega = \frac{\pi}{2046} \nu$  og kontrolleres altså via  $\nu$ .

### 2 Sinus generator

Denne blev designet af Ib Høst Pedersen. Diagrammet findes i App 5.2.1. Den består af et tælleværk, der tæller binært fra 0 til 1023 og ned til 0 igen. Hvert tal  $j$  peger på et register  $j$ , hvori det faste tal  $\cos(\frac{\pi}{1023})$  er lagt på forhånd (der er altså ikke tale om en beregning, det ville tage for lang tid). Dette udlæses og omformes til et analogt signal i en (10 bit) digital-analog konverter. Da der kun tællles for hver 4. puls fra firkantgeneratoren bliver den cykliske frekvens  $\frac{\omega}{2}$  fra sinusgeneratoren :  $\frac{\omega}{2} = \frac{2\pi}{2 \cdot 1023} \nu/4 = \frac{\pi}{4092}$ . Hver gang generatoren giver sin maximalværdi, d.v.s for  $j=0$ , sendes en puls til computeren Commodore 64. Herved kan Fourieranalysen i C-64 synkroniseres med det fysiske varmestrøminput. Denne sinusgenerator er et eksempel på, hvorledes moderne elektronik gør det muligt at konstruere visse fysiske apparater langt billigere end man tidligere kunne. Det vil faktisk være meget svært at lave en sådvanlig analog sinusgenerator, der uforvraenget kan levere et signal ved så lave frekvenser, vi har brug for. Diskretiseringen er så fin, at den svarer til en faseændring på  $\frac{360^\circ}{2046} = 0,2^\circ$ , og det højeste trin bliver relativt til amplituden  $\frac{\omega}{2} \Delta t = \frac{2\pi}{2046} = 3\%$ .

$$1024 = 2^{10} = 10 \text{ bit}$$



### 3 Forstærker/amplitudekontrol

Sinusgeneratoren leverer et signal med fast amplitude og udgangseffekten er ikke særlig stor. Signalet passerer derfor en forstærker. Her reguleres spændingsamplituden  $V_o$ . Som omtalt i afsnit 4.3 vil det være vanskeligt at undgå en vis offset drift (især p.g.a. omgivelsestemperaturens drift), så signalet fra forstærkeren er ( $r \ll 1$ )

$$V_o \cos(\frac{\omega}{2}t) + r V_o$$

$V_o$  aflæses på et tilsluttet mV-meter og værdien tastes manuelt ind i C-64.

### 4 Varmestrømgenerator

Denne er omtalt i 5.1 og placeringen i forhold til sample ses på fig. 5.1.4. Med en elektrisk modstand  $R_{el,v}$  vil den afsatte effekt (4.4.7) være

$$(5.2.1) \quad I_{th}(t) = I_{th,o} (1 - \cos(\omega t) + 4r \cos(\frac{\omega}{2}t))^{\frac{1}{2}}$$

hvor  $I_{th,o} = \frac{1}{2} \frac{1}{R_{el,v}} V_o^2$  ( $2r^2$  er negligeret)

Den elektriske modstand for varmetråden vokser lineært med temperaturen  $R_{el,v} = R_v(\tau)$  (vi dropper index  $el$ , da det nu er klart, at det er elektriske modstande, vi taler om). Man har

$$(5.2.2) \quad R_v(\tau) = R_v(\tau_0) (1 + \alpha_o(\tau - \tau_0))$$

hvor  $\alpha_o = \alpha(\tau_0)$  er temperaturkoefficienten med udgangspunkt i  $\tau_0$ . Da er

$$(5.2.3) \quad \alpha(\tau) \equiv \frac{1}{R_v(\tau)} \frac{d R_v(\tau)}{d \tau} = \frac{R_v(\tau_0)}{R_v(\tau)} \alpha(\tau_0)$$

† Komplikationen fra det sidste led er ikke angivet på det principielle blokdiagram.

For kobber er  $\alpha(20^\circ C) = 4\% K^{-1}$  så

$$\frac{R_v(293K)}{R_v(180K)} = 0,57 \quad \text{hvormed } \alpha(180K) = 7\% K^{-1}$$

Ved temperaturamplituder  $T_{AC,0} < 1K$  vil ulineariteten herfra altså være mindre end 7%. Desværre vil ulineariteten give anledning til en komponent i  $I_{th}(t)$  proportional med  $\cos(\omega t + \varphi)$ , hvor  $\varphi$  (negativ) er fasen af temperatursignalet i forhold til strømsignalet. Man kunne evt. have lavet varmeklingen af en legering som konstantan, der ikke ændrer modstand med temperaturen.

Den subharmoniske komponent,  $\cos(\frac{\omega}{2}t)$ , hvis temperatur amplitude let kan blive 20% (afsnit 4.4) af grundfrekvenskomponenten er derimod ikke noget problem, da de skiller ved Fourieranalysen. For at kunne beregne effekten  $I_{th,0}$  ved forskellige temperaturer  $T_{DC}$  skal vi kende  $R_v(T_{oc})$ . Termometrets (elektriske) modstand kaldes  $R_f$  (f:føler). Forholdet  $\mu = \frac{R_v}{R_f}$  er temperaturoidhængigt og skal blot bestemmes ved én temperatur  $T_0$ , hvorefter effekten bestemmes af  $I_{th,0} = \frac{1}{2} \frac{V_0^2}{\mu R_f(T_{oc})}$ . Der kommer dog en korrektion til dette, fordi vi ikke kan se bort fra tilledningernes modstand. Tilledningerne har ikke temperaturen  $T_{DC}$ . Kaldes føler og varmetrådsmodstand incl.

tilledningsmodstand for hhv.  $R_f'(T)$  og  $R_v'(T)$  og sættes  $\mu' = \frac{R_v'(T_0)}{R_f'(T_0)}$  kan det vises (App 5.2.2) at effekten bliver

$$(5.2.5) \quad I_{th,0} = \frac{1}{2} \frac{V_0^2}{\mu' R_f'(T_{oc})} \cdot p_{corr}(T_{oc})$$

hvor

$$(5.2.6) \quad p_{corr}(T) = 1 - r_v(T_0) \left( \frac{1 + \mu'_0 (\alpha'/2)(T - T_0)}{1 + \alpha'_0 (T - T_0)} \right)$$

Korrektionen  $1 - p_{corr}(T)$  er ikke uvæsentlig. Den varierer fra 6% ved 220K til 8,5% ved 150K

### 5. Sample, kalorimeter og indhold samt ydre varmekontakt.

Dette er omtalt i 5.1 (fig. 5.1.2 - 5.1.5).

Dersom den totale termiske impedans er  $Z(\omega) = \text{Re}\{Z\} + i \text{Im}\{Z\} = |Z| e^{i\varphi_Z}$  vil responset på det reelle varmeinput

$$(5.2.7) \quad I(t) = I_0 \cos(\omega t) = I_0 \text{Re}\{e^{-i\omega t}\}$$

blive

$$\begin{aligned} (5.2.8) \quad T(t) &= I_0 \text{Re}\{Z(\omega) e^{-i\omega t}\} \\ &= I_0 \text{Re}\{(\text{Re}\{Z\} + i \text{Im}\{Z\})(\cos(\omega t) - i \sin(\omega t))\} \\ &= I_0 (\text{Re}\{Z\} \cos(\omega t) + \text{Im}\{Z\} \sin(\omega t)) \end{aligned}$$

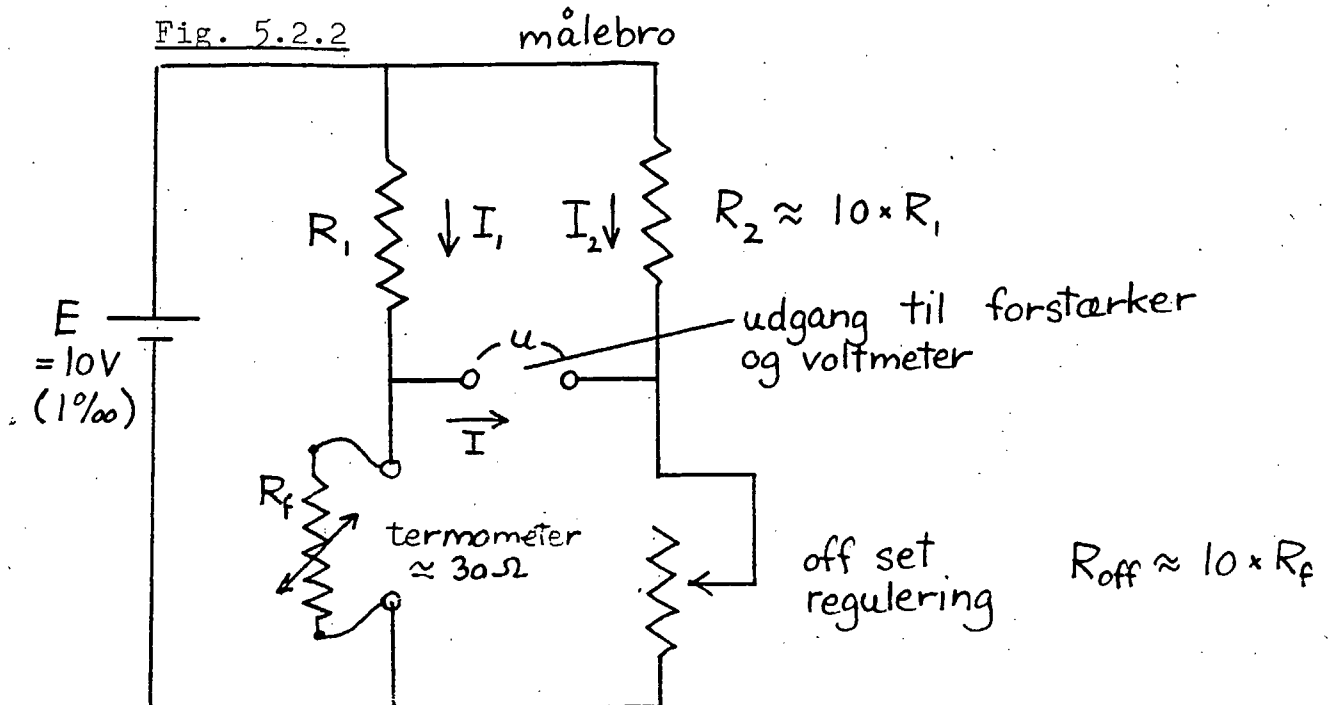
eller

$$\begin{aligned} (5.2.9) \quad T(t) &= I_0 \text{Re}\{|Z| e^{i\varphi_Z} e^{-i\omega t}\} \\ &= I_0 |Z| \cos(\omega t - \varphi_Z) \end{aligned}$$

### 6 Termometer. Målebro.

Termometeret er omtalt i 5.1 (fig. 5.1.2). Det udnytter at Cu-trådens elektriske modstand afhænger (lineært ned til 150 K) af temperaturen. Ved at lade en konstant strøm løbe gennem modstanden får vi omsat temperatur-signalen til et spændingsignal. Termometeret indgår i en målebro fig. 5.2.2.

Fig. 5.2.2



$R_1$  og  $R_2$  er metalfilmmodstande, som har en meget lav temperaturkoefficient. Variationer i stuetemperaturen har derfor ingen betydning. De blev udmålt til  
 $R_1 = 1,00145 \text{ k}\Omega$  ( $0,02\Omega$ ) formodstand til  $R_f$   
 $R_2 = 10,0111 \text{ k}\Omega$  ( $0,1\Omega$ ) formodstand til  $R_{off}$

Offset reguleringen  $R_{off}$  består af en dekademodstand, som kan ændres i trin på  $0,1\Omega$  ( $\pm 5\Omega$ ). Den er ligeledes temperaturuafhængig. Da impedansen i broens højre side er 10 gange impedansen i venstre side kan ændringen på  $0,01\Omega$  i  $R_f$  balanceres med  $R_{off}$ . Den tilsluttede forstærker har så høj indgangsimpedans at strømmen  $I$  til udgangen af målebroen kan negligeres i forhold til de øvrige strømme  $I_1$ ,  $I_2$ .

Udgangsspændingen er derfor

$$(5.2.10) \quad U = E \left( \frac{R_f}{R_1 + R_f} - \frac{R_{off}}{R_2 + R_{off}} \right)$$

$R_f$  hhv.  $R_{off}$  bliver maksimalt  $50\Omega$  hhv.  $500\Omega$ . Da er  $R_f/R_1$ ,  $R_{off}/R_2 < 5\%$ . Vi kan derfor rækkeudvikle (2. ordens ledet  $< 2,5 \cdot 10^{-4}$ )

$$(5.2.11) \quad U = E \left( \frac{R_f}{R_1} \left( 1 - \frac{R_f}{R_1} \right) - \frac{R_{off}}{R_2} \left( 1 - \frac{R_{off}}{R_2} \right) \right)$$

$U$  er en funktion af to variable  $R_f$ ,  $R_{off}$ . Broen er i balance :  $U = 0$ , på en linie  $(R_f, R_{off})$ :

$$(5.2.12) \quad R_f = \frac{R_1}{R_2} R_{off}$$

Omkring et punkt på denne linie er

$$(5.2.13a) \quad \frac{\partial U}{\partial R_f} = E \frac{1}{R_1} \left( 1 - 2 \frac{R_f}{R_1} \right)$$

$$(5.2.13b) \quad \frac{\partial U}{\partial R_{off}} = -E \frac{1}{R_2} \left( 1 - 2 \frac{R_{off}}{R_2} \right) = -\frac{R_1}{R_2} \frac{\partial U}{\partial R_f}$$

Så længe  $\frac{\Delta R_f}{R_1} = \frac{\Delta R_f}{R_f} \frac{R_f}{R_1}$  (hhv  $\frac{\Delta R_{off}}{R_2} = \frac{\Delta R_{off}}{R_{off}} \frac{R_{off}}{R_2}$ )

er små vil en lineær udvikling om ligevægtslinien holde.

$\frac{R_f}{R_1}$ ,  $\frac{R_{off}}{R_2}$  er maximalt 5%, da  $R_f, R_{off}$  maximalt er  $50\Omega$  hhv.  $500\Omega$ . Kræver vi 1% nøjagtighed bliver den ubalance i broen, vi kan tolerere  $\frac{\Delta R_f}{R_f}, \frac{\Delta R_{off}}{R_{off}} < 1\%$ . Ved en given temperatur  $T_{DC}$  svinger  $R_f(\tau)$  omkring  $R_f(T_{DC})$ . Som nævnt vil 1 K's amplitude give  $\frac{\Delta R_f}{R_f} = 7\%$  ved  $T_{DC} = 180$  K. Betingelsen er dermed opfyldt.

Fremgangsmåden er da den, at for en given  $R_f(T_{DC})$  vælges  $R_{off}$  så broen er omkrent i balance ( $R_{off}$  så tæt på den optimale værdi, at  $\frac{\Delta R_{off}}{R_{off}} < 1\%$ ). For denne konstante  $R_{off}$  haves

$$(5.2.14) \quad U(R_f) = \left( \frac{\partial U}{\partial R_f} \right)_{U=0} (R_f - R_f(U=0)) = \\ E \frac{1}{R_1} \left( 1 - 2 \frac{R_{off}}{R_2} \right) (R_f - \frac{R_1}{R_2} R_{off})$$

og omvendt

$$(5.2.15) \quad R_f(U) = \frac{R_1}{R_2} R_{off} + R_1 \left( 1 + 2 \frac{R_{off}}{R_2} \right) \frac{1}{E} U$$

Inden for en given måling (med fast  $T_{DC}$ ) har vi altså en lineær sammenhæng mellem  $U$  og  $R_f$ , men fra måling til måling (hvor  $T_{DC}$  og dermed  $R_{off}$  ændres) ændres koefficienterne

### Målestrømmens varmeproduktion

Målestrømmen i  $R_f$  vil give en DC-varmestrøm  
 $I_{th,f} = R_f T^2 \approx 30\Omega (10^{-2} A)^2 = 3 mW$

Det er dog uden betydning for den ikke-adiabatiske kalorimetri. Den vil i sig selv med en ydre termisk impedans  $R_m = 10^3$  K/W give anledning til en temperaturforskæl mellem kryostat og kalorimeter på 3K. Gradienten i lodret retning i kalorimeteret fig. 5.1.4 bliver 10 mK med  $R_{AC} = 7$  K/W. Det er tolerabelt.

### 7 Forstærker med attenuator

Denne er bygget op om en operationsforstærker. I en tilbagekobling indgår en modstand  $R_{Att}$  (Attenuator) plus en 1 kΩ modstand, således at forstærkningen bliver proportional med  $\frac{R_{Att}}{R_{Att} + 1 k\Omega}$ .  $R_{Att}$ 's værdi tastes manuelt ind i computeren.

### 8 Digital voltmeter

Voltmeteret mäter spændingen fra forstærkeren (mV-området) og leverer det med 12 bit plus 1 bit for fortegn og 1 bit for overløb til computeren. Herved bliver  $U$  proportionalt med et heltal  $\tilde{U}$  i computeren.  $\tilde{U}$  ligger mellem -4095 og 4096. Voltmeteret aflæses af computeren med programstumpen "FUNC dvm". Overløb angives i den logiske variabel "overflow".

Udtrykt ved  $\tilde{U}$  bliver (5.2.15) nu

$$(5.2.16) \quad R_f(\tilde{U}) = \frac{R_1}{R_2} (R_{off} + \gamma(R_{Att}, R_{off}) \tilde{U})$$

hvor

$$(5.2.17) \quad \gamma = \frac{\frac{1}{R_1} \frac{\partial \tilde{U}}{\partial R_f}}{\frac{1}{R_2} \frac{\partial \tilde{U}}{\partial R_f}} = - \frac{\frac{1}{\partial \tilde{U}}}{\frac{\partial R_f}{\partial R_{off}}}$$

Proportionalitetskonstanten  $k$  i

$$(5.2.18) \quad \frac{\partial \tilde{U}}{\partial R_{off}} = k \frac{1}{R_{Att} + 1 k\Omega} \frac{1}{E} \frac{\partial U}{\partial R_{off}} = -k \frac{1}{R_{Att} + 1 k\Omega} \frac{1}{R_2} \left(1 - 2 \frac{R_{off}}{R_2}\right)$$

bestemmes på følgende måde:  $R_f$  holdes konstant (en metalfilmmodstand på 27  $\Omega$  indsættes). En værdi af attenuatoren vælges,  $R_{off}$  varieres  $\Delta R_{off}$  ( $\frac{\Delta R_{off}}{R_{off}} < 1\%$ ) omkring balanceværdien  $R_{off} = \frac{R_2}{R_f} R_f$  og  $\Delta U$  registreres. Herefter beregnes  $k$  af (5.2.18). Jeg fandt

$$k = 1,17 \cdot 10^9 \text{ (k } \Omega \text{) (5\%.)}$$

Nu bliver

$$(5.2.19) \gamma(R_{Att}, R_{off}) = \frac{1}{k} (R_{Att} + 1 k\Omega) R_2 \left( 1 + \frac{R_{off}}{R_2} \right)$$

Den maximale følsomhed ( $R_{Att} = 0$ ) ses af (5.2.16) og (5.2.19) omrent at blive  $\frac{R_f \cdot 1 k\Omega}{k} = \frac{10^3 \Omega \cdot 1 k\Omega}{1,17 \cdot 10^9 k\Omega} = 0,85 m\Omega$  pr. inddeling  $\tilde{U}$  eller  $35 m\Omega$  for fuldt udslag ( $\tilde{\alpha} = 4096$ ) til én side.  $\Delta T = 1 \text{ K}$  giver 7% modstandsændring ved 180 K, hvor  $R_f \approx 30 \Omega$ , altså  $\Delta R_f = 210 m\Omega$ . Fuldt udslag svarer da til 15 mK ved højeste følsomhed. Da den mindst mulige ændring ( $\Delta R_{off}$ )<sub>min</sub> er 0,1  $\Omega$  vil den mindste ændring i  $\Delta R_f$  vi kan kompensere for være 10 m  $\Omega$ . På det følsomste område kan vi derfor ikke altid "trække" signalet ind i "vinduet". Den laveste værdi af  $R_{Att}$  vil derfor i praksis være  $(R_{Att})_{min} = 2 k\Omega$  svarende til  $10,5 m\Omega$  ( $\sim 45 mK$ ) for fuldt udslag fra 0.

### 9 Computer C-64

Dataopsamlingen sker i en computer, Commodore 64 (gangske billig "hjemmecomputer"). Computeren fungerer kun passivt, idet den blot mäter svingningstid og temperaturforløb (synkront med varmestrømmen). Værdierne af 1) amplitude  $V_o$  på spændingssignalet til varmestrømgeneratoren, 2) attenuator  $R_{Att}$  og 3) offset  $R_{off}$  må tastes ind manuelt i C-64.

I en mere avanceret opstilling kunne man lade computeren styre frekvensen og benytte et voltmeter, der automatisk optimerede  $R_{off}$  og  $R_{Att}$  samt videregav oplysningerne til computeren.

Det er dog primært ikke for at være smart, at eksperi-

mentet er forsynet med en dataopsamlingscomputer, men fordi det var nødvendigt. Det er nemlig ikke muligt manuelt at måle fase og amplitude med den nøjagtighed, vi ønsker. Som vi skal se udgør imaginærdelen af varmefylden højst 10% af realdelen (inklusive kalorimeter), hvilket giver en fasedrejning på  $6^\circ$ .

I et forudgående pilotforsøg lod vi temperatursignal-  
et fremstå på en xt-skriver. Fasen blev udmålt ved afstan-  
den mellem 0-gennemgang og "mærket" (triggerpulsen) fra  
sinusgeneratoren. Usikkerheden (vurderet på fluktuation-  
erne) var typisk 2mm på 160mm, svarende til  $\frac{2}{160} \cdot 360^\circ = 5^\circ$   
nøjagtighed på fasen. Im {C} kunne derfor kun akkurat  
skimtes i pilotforsøget.

Man udnytter ved denne metode overhovedet ikke den in-  
formation, der ligger i det samlede signal. Det gør man  
til gengæld ved at finde de pågældende Fourierkomponen-  
ter i signalet. Det viser sig at på denne måde bliver vi  
i stand til at kunne måle fasedrejninger på  $0,3^\circ$ .

### 5.3 Den programmelle del

Fourieranalyse. Simpson integration.

Programmet til dataopsamling og behandling er skrevet i Comal 80 [5.3.1-2]. Sproget minder om Basic og Pascal. Der opnås en god struktur ved at opdele programmet i såkaldte funktioner og procedurer. Disse kan udføres direkte som kommando ved at indtaste deres navn og trykke RETURN, eller de kan indgå som del af en kørsel, der effektueres med RUN. En kørsel forløber i den rækkefølge funktioner og procedurer kaldes - uafhængigt af linienumre. Derfor er det enkelt at lave kørslen om ved at lade visse procedurer ude og andre indgå.

Vi vil ikke gennemgå programmet (App 5.3) i detaljer. Det kan forekomme stort, men en lang række procedurer har blot at gøre med opsætning af skærmbilleder, lagring og aflæsning af data fra båndoptager etc..

Den vigtigste procedure er "PROC analyse", der foretager Fourieranalysen.

Vi må først se på den matematiske problemstilling:

Fra termometeret forventes et temperatursignal (incl. subharmoniske)

$$(5.3.1) \quad T(t) = I_{t_0} (z'_0 + z'_\omega \cos(\omega t) + z''_\omega \sin(\omega t) \\ + 4r (z'_{\omega/2} \cos(\omega/2 t) + z''_{\omega/2} \sin(\omega/2 t)) \\ + \Gamma(t)$$

hvor  $\Gamma(t)$  er støj. Støjen er en såkaldt stokastisk proces, d.v.s. en stokastisk variabel  $\Gamma(t_0)$  i ethvert punkt  $t_0$ , den kontinuerte variabel  $t$  antager.

Vi er interesseret i at finde  $z'_\omega$ ,  $z''_\omega$ . Bessels approximationssætning [5.3.3] siger, at den bedste approximation i kvadratisk middel, vi kan gøre til en funktion  $f(t)$  på intervallet  $[0, T]$  med en sum

$$(5.3.2) \quad s_n(t) = a_0 + a_1 \cos\left(\frac{2\pi}{T}t\right) + b_1 \sin\left(\frac{2\pi}{T}t\right) + \dots + a_n \cos\left(n\frac{2\pi}{T}t\right) + b_n \sin\left(n\frac{2\pi}{T}t\right)$$

fremkommer ved at vælge Fourierkoefficienterne

$$(5.3.3) \quad a_0 = \frac{1}{T} \int_0^T f(t) dt$$

$$a_j = \frac{2}{T} \int_0^T f(t) \cos\left(j\frac{2\pi}{T}t\right) dt$$

$$b_j = \frac{2}{T} \int_0^T f(t) \sin\left(j\frac{2\pi}{T}t\right) dt$$

Dette vises meget anskueligt, når man opfatter funktionsrummet som et vektorrum. Betegn vektorerne

$$\frac{1}{\sqrt{2}}, \cos\left(\frac{2\pi}{T}t\right), \sin\left(\frac{2\pi}{T}t\right), \cos\left(2\frac{2\pi}{T}t\right), \dots$$

med  $e_0, e_1, e_2, e_3, \dots$

og indfør det indre produkt

$$\langle f | g \rangle = \frac{2}{T} \int_0^T f^*(t) g(t) dt, \text{ samt normen}$$

$$\| f \| = (\langle f | f \rangle)^{1/2}$$

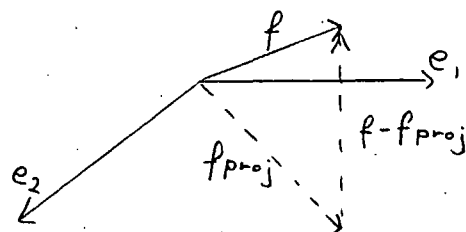
$\{e_j\}$  er ortogonale enhedsvektorer :

$$\langle e_i | e_j \rangle = \delta_{ij}$$

Den bedste approximation med et udvalg

fig.5.3.1

$\{e_k\}$  af serien  
er netop  $f$ 's pro-  
jektion  $f_{proj}$   
ned på underrummet  
udspændt af disse  
(fig.5.3.1)



$$(5.3.4) \quad f_{\text{proj}} = \sum_{\{e_k\}} \langle e_k | f \rangle e_k = \sum_{\{e_k\}} \lambda_k e_k$$

hvilket er Bessels approximationssætning, idet  $\lambda_k = \langle e_k | f \rangle$  netop er Fourierkomponenterne for  $k \neq 0$ . For  $k=0$  bliver  $\lambda_0 = \langle e_0 | f \rangle = \frac{2}{T} \int_0^T \frac{1}{\sqrt{2}} f(t) dt = \sqrt{2} a_0$  og dermed  $\lambda_0 e_0 = a_0$ . Dermed er

$$(5.3.5) \quad \lambda_0 = \sqrt{2} a_0, \quad \lambda_{2j-1} = a_j, \quad \lambda_{2j} = b_j, \quad j=1, 2, \dots$$

Da  $f_{\text{proj}} \perp f - f_{\text{proj}}$  giver Pythagoras endvidere Bessels ligning

$$\begin{aligned} (5.3.6) \quad \|f - f_{\text{proj}}\|^2 &= \|f\|^2 - \|f_{\text{proj}}\|^2 \\ &= \|f\|^2 - \sum_k \lambda_k^2 \\ &= \frac{2}{T} \int_0^T f^2 dt - (2a_0^2 + \sum_k (a_k^2 + b_k^2)) \end{aligned}$$

Sæt nu  $T = \frac{2\pi}{\omega/2}$ , så  $e_0 = \frac{1}{\sqrt{2}}, e_1 = \cos(\frac{\omega}{2}t), \dots$

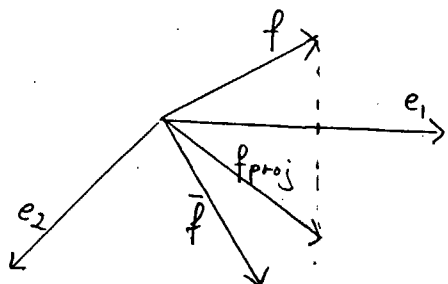
Efter indsvigning ville vi, dersom der ingen støj var ( $\Gamma(t) = 0$ ), kunne udvikle (5.3.1)  $f(t) = \bar{f}(t)$  fuldstændigt på  $e_0, e_1, e_2, e_3, e_4, \dots$ , så Parsevals ligning

$$(5.3.7) \quad \frac{2}{T} \int_0^T f^2(t) dt = 2a_0^2 + a_1^2 + b_1^2 + a_2^2 + b_2^2 = \sum_{k=0}^4 \lambda_k^2$$

var opfyldt ( $\|f - f_{\text{proj}}\| = 0$ )

Afvigelseskvadratet  $\|f - f_{\text{proj}}\|^2$  eller den relative afvigelse  $\|f - f_{\text{proj}}\|/\|f\|$  kan tages som et mål for, hvor godt Fourierkoefficienterne er bestemt.  $\bar{f}$  og dermed  $f_{\text{proj}}$  vil ved gentagne målinger over perioden  $T$  begge fluktuere om middelværdien  $\bar{f} = f_{\text{proj}}$  (fig. 5.3.2). Dersom  $\|f - f_{\text{proj}}\|^2$  er lille må også  $\|\bar{f} - f_{\text{proj}}\|^2 = \sum_{k=0}^4 (\lambda_k - \bar{\lambda}_k)^2$

fig. 5.3.2



være det.

Vi vil derfor tillade os at kalde  $\|f - f_{\text{proj}}\|^2$  variansen, selv om det snarere er  $\|\bar{f} - f_{\text{proj}}\|^2$ , der er det. På figuren er kun to dimensioner i underrummet vist.

### Den numeriske udføring af Fourieranalysen. Simpsonintegration.

Proceduren "analyse" udfører en række integraler (5.3.3) samt integralet  $\alpha = \frac{2}{T} \int_0^T f^2(t) dt$ . Integrationen foregår løbende under målingerne. For at holde øje med overharmoniske findes ialt 9 koefficienter  $a_0, a_1, b_1, a_2, b_2, a_4, b_4$  og  $a_6, b_6$ . Det bliver til 10 integrationer.  $a_0, a_2, b_2$  giver de vigtige koefficienter  $z'_0, z'_\omega, z''_\omega$ .

Integralerne beregnes ved Simpson integration. Det er en numerisk approximation til  $\int_a^b f(t) dt$ . Intervallet  $[a, b]$  opdeles i et lige antal,  $n$  ens delintervaller med  $t_0 = a, \dots, t_n = b$ . Funktionen approximeres nu stykvis i intervallerne  $[t_j, t_{j+2}]$  med den bedste parabel gennem  $(t_j, f(t_j)), (t_{j+1}, f(t_{j+1}))$ ,  $(t_{j+2}, f(t_{j+2}))$  og integralet findes heraf. Med skridtlængden  $h = \frac{b-a}{n}$  fører det til Simpsons formel

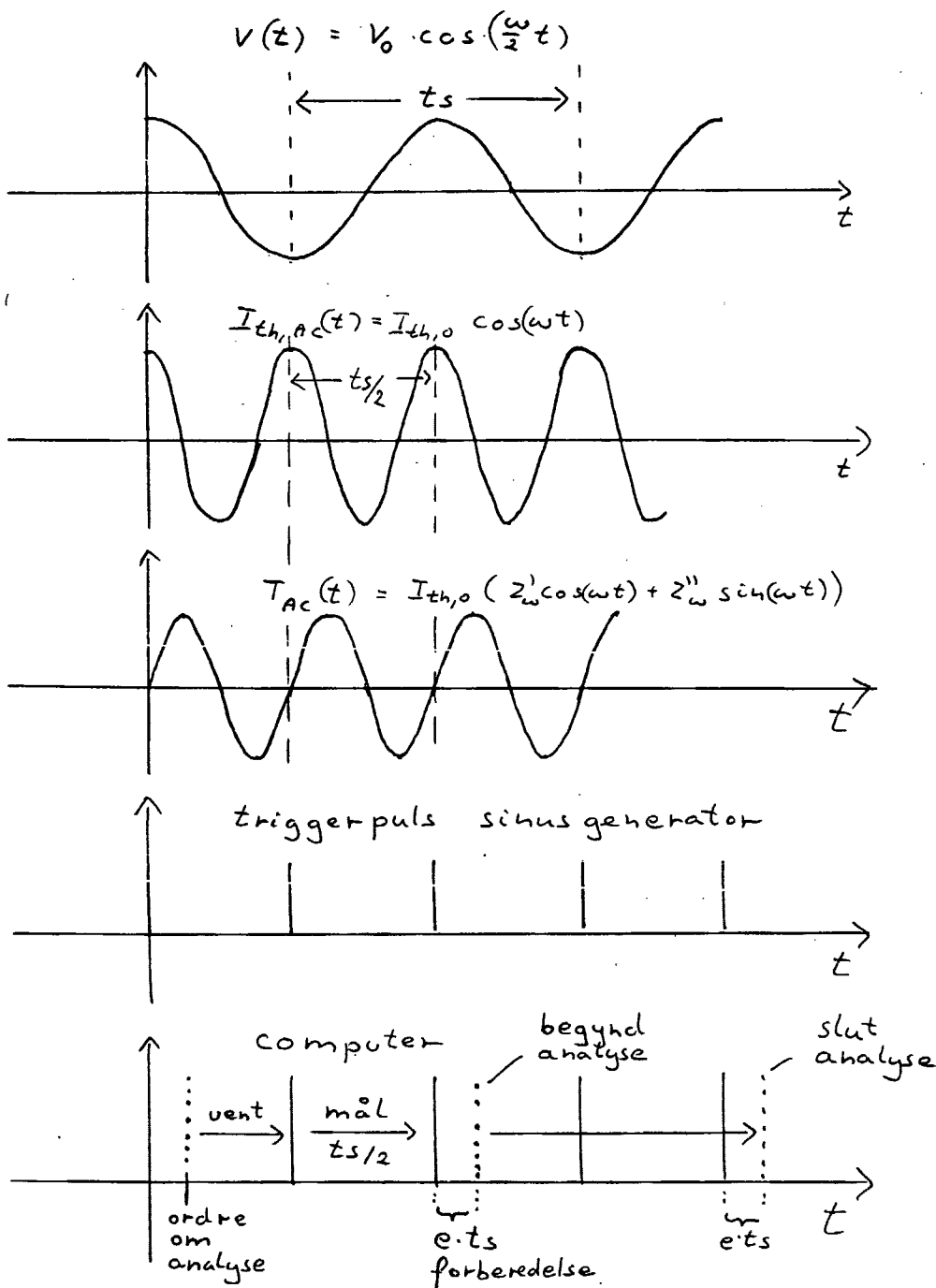
$$(5.3.8) \quad \int_a^b f(t) dt = \frac{h}{3} (f(a) + 4f(a+h) + 2f(a+2h) + 4f(a+3h) + \dots + 4f(b-h) + f(b)) + O(h^4)$$

hvor  $O(h^4)$  angiver, at fejlen går (hurtigt) mod 0 som  $h^4$ , når skridtlængden går mod 0. Simuleringer med  $f(t) = A \cos(\frac{2\pi}{T}t + \varphi)$  viser, at blot 16 punkter inden for en periode bestemmer  $A$  med  $\frac{\Delta A}{A} \approx 1\%$  nøjagtighed og  $\Delta \varphi =$

$0,06^\circ$ , så med mere end 32 delepunkter kan vi se bort fra diskretiseringsfejl på  $\alpha_2, \beta_2$ .

Procedurens opbygning forstårlettes ved at følge de synkrone forløb af de forskellige signaler (fig. 5.3.3) (se også fig 5.2.1)

fig 5.3.3



"analyse" indleder med at kalde proceduren "cyklus". "cyklus" mÅler tidsrummet mellem to på hinanden følgende pulser fra sinusgeneratoren. De kommer to gange i perioden for det elektriske signal (top og bund) og dermed en gang i perioden for den termiske svingning. Den elektriske svingningstid, benævnt "ts" ( $= \frac{2\pi}{\omega_2}$ ) i programmet, er hermed bestemt. Fourieranalysen udskydes et lille tidsrum  $e \cdot ts$ , hvor  $e$  er valgt på forhånd. Herved bliver der tid til at give en række variable deres startværdier. På forhånd er tidsskridtet ( $h$  i (5.3.8)) valgt til omtrent at være "delt" (typisk  $\frac{1}{2} s$ ). Når "ts" er bestemt sættes tids-skridtet "dt" til at være det nærmeste større tal end "delt", der går op i "ts". Dvs. antallet af intervaller bliver  $n = 2 \text{ INT}(ts/delt/2)$ . (INT = "hele del af") og  $dt = ts/n$ . Med f.eks.  $\omega = 25 \text{ mHz}$  bliver  $n \approx 100$ . Målingerne foregår til tidspunkterne  $t_j = j dt + t_0$ . I hvert tidsinterval  $dt$  mellem målingerne gæs et skridt videre i Simpsonintegrationen (5.3.8) for alle de 10 integraler (realtidsprogrammering). Der er ikke tid til at evaluere de mange sinus og cosinus i det korte tidsrum. Istedet itereres med additionsformlerne

$$\begin{pmatrix} \sin((j+1)h) \\ \cos((j+1)h) \end{pmatrix} = \begin{pmatrix} \cos(h) & \sin(h) \\ -\sin(h) & \cos(h) \end{pmatrix} \begin{pmatrix} \sin(jh) \\ \cos(jh) \end{pmatrix}$$

$$\text{Matricen } \begin{pmatrix} \cos(h) & \sin(h) \\ -\sin(h) & \cos(h) \end{pmatrix} \text{ og kim'en } \begin{pmatrix} \sin(2\pi e) \\ \cos(2\pi e) \end{pmatrix}$$

er faste tal, der er beregnet i forberedelsestidsrummet  $e \cdot ts$ .

Variablen "tidsfejl" udskrives. Den må ikke være større end "dt", da integrationerne i så tilfælde ikke har kunnet nås inden for "dt". Efter endt analyse fremtræder koefficienterne på skærmbilledet. De kan gemmes på bånd med PROC gemdata, sammen med de indtastede værdier af  $V_0$ ,  $R_{Att}$ ,  $R_{off}$

6. Forsøgsresultater

6.1 Bestemmelse af baggrunden

6.2 Glycerinens varmefylde

6.3 Lineært/ulineært response?

## 6 Forsøgsresultater

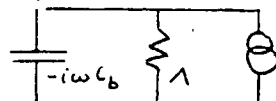
### 6.1 Bestemmelse af baggrunden

Vi ønsker at kende baggrundens temperatur (og eventuelle frekvens-) afhængighed. Med en spændingsamplitude  $V_0 = 0,342 V$  fra sinusgenerator til varmeviklingen (fig. 5.2.1) og dermed varmestrømamplituden  $I_{th,0} = \frac{1}{2} \frac{(0,342 V)^2}{30 \Omega} \approx 2 mW$  blev den termiske impedans udmålt uden væske i kalorimeteret ved en række temperaturer og frekvenser. For frekvenser  $> 3,5$  mHz oversteg temperaturen ikke 1,5 K.

Fourieranalysen giver direkte de to komponenter af temperatursignalet (5.3.1)  $I_{th,0}, I_m(z)$  og  $I_{th,0}, Re(z)$ . Tallene behandles i PROC regn (App. 6.2.2). Der divideres med  $I_{th,0}$  omregnes til enhederne K/W og  $Y = \frac{1}{z}$  beregnes.

Da vi forventer baggrundsadmittansen  $Y_b$  ( $Y$  i (4.3.4))

$$(6.1.1) \quad Y_b = \Lambda - i\omega C_b$$



hvor  $\Lambda$  er den frekvensuafhængige ledningsevne til kryostaten, mens  $C_b$  er det tomme kalorimeters varmefylde præsenteres tallene på formen  $- \frac{I_m Y}{\omega}$ ,  $Re Y$ . Se tabel (6.1.1).  $- \frac{I_m Y}{\omega}$  er kolonnen med betegnelsen  $Re C'$ . Temperaturen er både angivet ved modstandsværdien  $R(T)$  i Ω og direkte i Kelvin. Ved siden af frekvensangivelsen er anbragt det tegn, som benyttes på grafen, hvor frekvensen er parameter.

### Kalorimeterets kapacitet C

Sammenhørende værdier ( $Re C', T$ ) er afbilledet på graf 6.1.1. Man ser at  $Re C' = - \frac{I_m Y}{\omega}$  er frekvensuafhængig som ventet idet målepunkter ved samme temperatur, men forskellig frekvens er sammenfaldende. Ud

Tabel 6.1.1.

nr	temp 0hm	temp K	freqv MHz	Re C mJ/K	Re C-Cb mJ/K	Re Y mW/K	Re Y-L mW/K
1	29. 244	185. 1	5. 993 x	295. 8	0. 3	0. 685	
2	29. 241	185. 1	15. 609 x	254. 8	-0. 6	0. 469	
3	30. 500	191. 6	15. 611 x	305. 1	2. 4	0. 485	
4	30. 505	191. 7	9. 515 t	304. 5	1. 8	0. 648	
5	30. 494	191. 6	6. 015 x	305. 4	2. 7	0. 717	
6	30. 505	191. 7	3. 572 x	325. 1	2. 4	0. 738	
7	30. 514	191. 7	3. 572 x	305. 3	2. 5	0. 740	
8	32. 159	200. 2	15. 395 x	313. 3	1. 1	0. 528	
9	32. 156	200. 2	15. 396 x	313. 6	1. 4	0. 529	
10	32. 155	200. 2	9. 432 t	313. 6	1. 4	0. 707	
11	32. 152	200. 2	6. 005 x	312. 9	0. 7	0. 756	
12	25. 055	163. 5	15. 517 x	273. 8	2. 4	0. 375	
13	25. 037	163. 4	2. 127 x	272. 2	0. 9	0. 622	
14	25. 050	163. 5	9. 247 +	272. 6	1. 2	0. 526	
15	26. 808	172. 6	157. 680	-294. 1	-575. 6	24. 898	
16	25. 801	172. 5	15. 384 x	280. 9	-0. 5	0. 391	
17	26. 800	172. 5	9. 415 t	262. 3	0. 9	0. 566	
18	26. 795	172. 5	5. 981 x	280. 6	-6. 8	0. 508	
19	25. 795	172. 5	2. 144 x	284. 7	0. 3	0. 645	
20	28. 035	178. 6	62. 551	-292. 8	-572. 3	3. 301	
21	28. 036	178. 6	15. 317 x	268. 7	2. 2	0. 433	
22	28. 041	178. 6	9. 285 t	298. 7	0. 2	0. 589	
23	28. 042	178. 6	5. 952 x	287. 5	-4. 0	0. 646	

den tempe betrage v

fra graf 6.1 bestemmes temperaturafhængigheden af baggrundens (kalorimeterets) varmekapacitet  $c_b$  til

$$(6.1.2) \quad c_b(T) = 1,11 \text{ mJ/K}^2 \cdot T + 89,5 \text{ mJ/K}$$

eller med  $T$  udtrykt i  $\Omega$

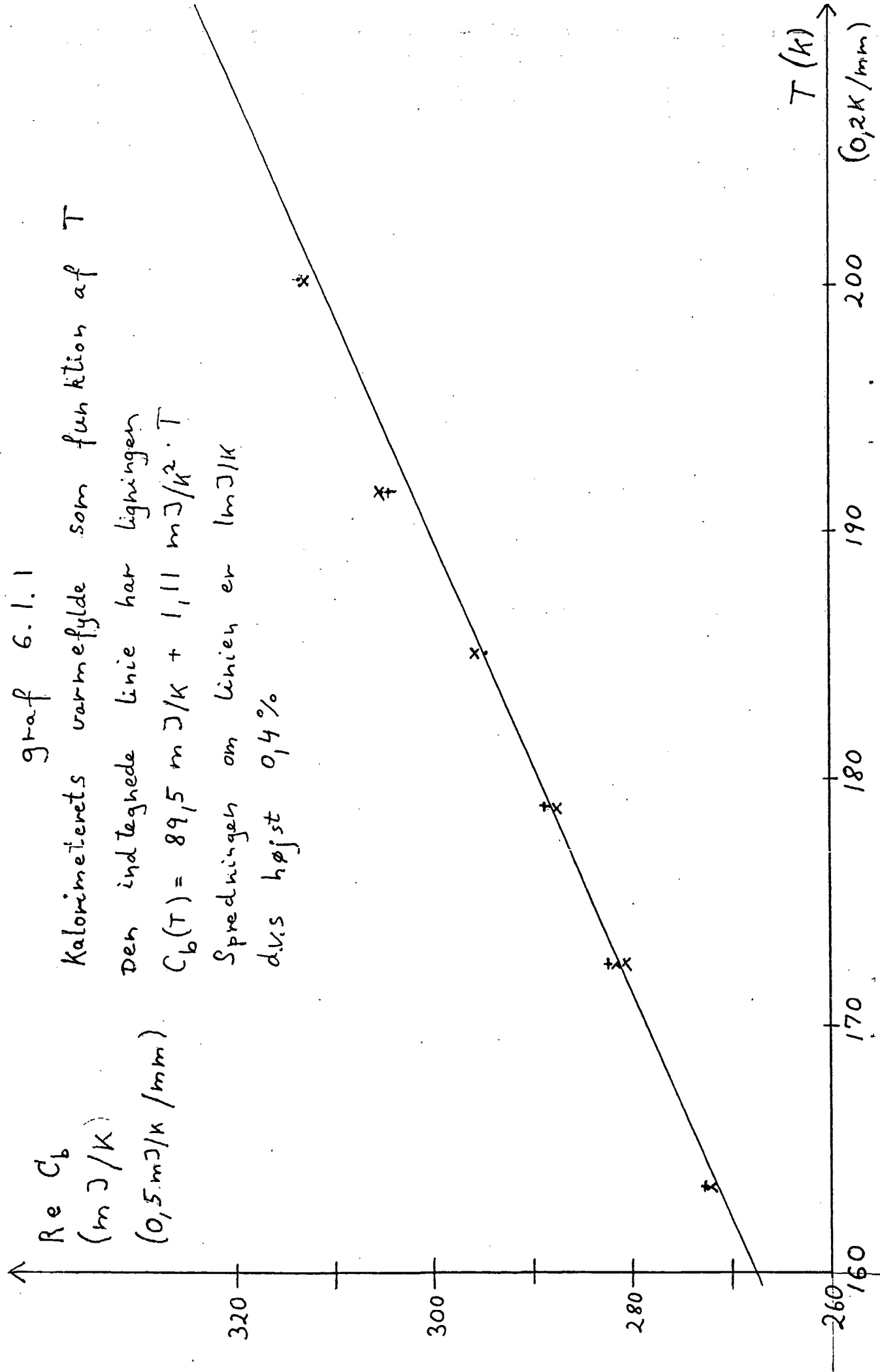
$$(6.1.3) \quad c_b(T(\Omega)) = 5,75 \cdot 10^{-3} \text{ J/K}\Omega \cdot T(\Omega) + 0,1273 \text{ J/K}$$

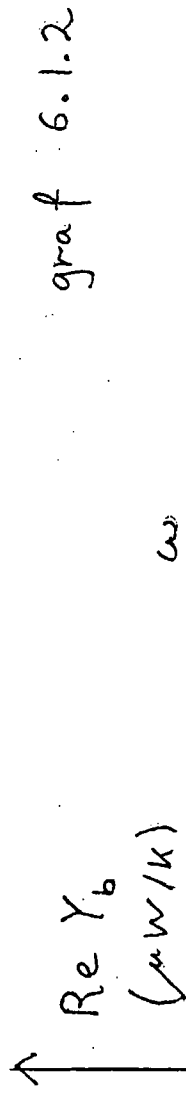
Det er på den sidste form  $c_b(T)$  er angivet som programstumpen FUNC cb(tohm). Spredningen om linjen er mindre end 0,4% (1mJ/K) fra 160K til 200K.

### Ledning til kryostat $\Lambda$

Sammenhørende værdier ( $ReY, T$ ) er afbilledet på graf (6.1.2) med  $\omega$  som parameter. Det ses at  $ReY$  ikke bliver frekvensuafhængig som ventet. Det viser sig, at med væske i kalorimeteret og uden for det temperaturinterval, hvor væsken relaxerer forsvinder denne frekvensafhængighed (se graf 6.2.2, 6.1.3).  $\Lambda(T)$  kan derfor bestemmes med væske i kalorimeteret for temperaturer  $T$  uden for glastransformationsområdet og dernæst ved extrapolation beregnes i glastransformationsområdet. Det er dog ikke betryggende, dersom oprindelsen til frekvensafhængigheden for  $ReY$  uden væske i kalorimeteret ikke afdækkes.

Nøglen til forklaringen ligger netop i, at frekvensafhængigheden forsvinder når væsken kommer i kalorimeteret. Uden væske vil der være en termisk modstand mellem termometer og varmevikling, idet varmen skal passere den tynde bund af epoxylim (fig. 5.1.4). Væskens tilstedeværelse vil kortslutte denne modstand. Vi så (fig. 5.1.4), at glycerinens termiske modstand var 3K/W. Epoxylim har en specifik varmeledningsevne af samme størrelsesorden (tabel 5.1.1), men da bunden er 1/15 af højden af glycerinlaget, bliver  $R_{lim} \approx 50\text{K/W}$ . Dette er ikke uvæsentligt i forhold til de ydre impedanser  $\approx \frac{1}{500 \mu W/K} = 2000\text{K/W}$ .

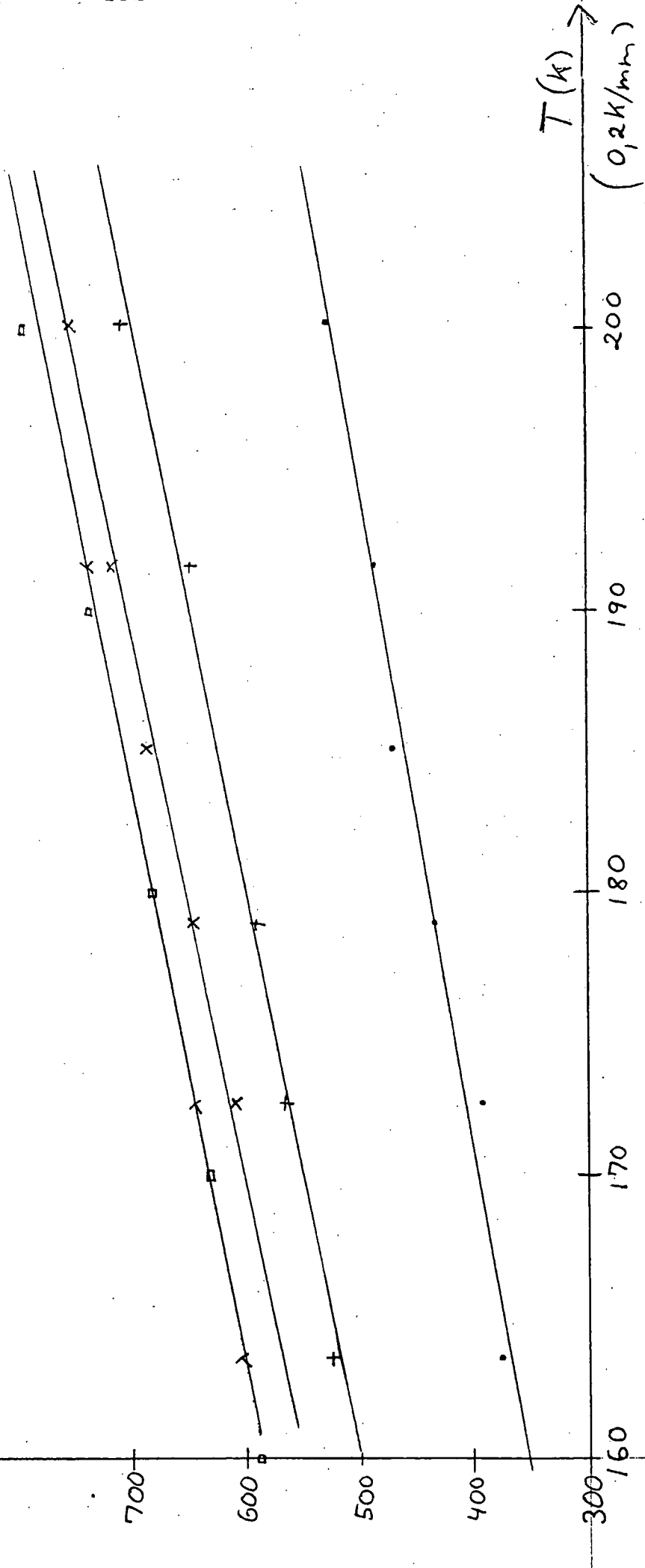




$$(5 \mu\text{W/K/mm})$$

- $15,5 \text{ mHz}$
- +  $9,4 \text{ mHz}$
- $\times$   $6,0 \text{ mHz}$
- $\wedge$   $3,6 \text{ mHz}$
- $\lambda$   $2,1 \text{ mHz}$

□ berechnet fra  $A(T) = 370 \mu\text{W/K} + 319 \mu\text{W/K} \left(\frac{T}{180K}\right)^3$



Ligeledes bliver den indre relaxationstid i kalorimeteret  $R_{\text{kin}} \cdot c_b \approx 50 \text{ K/W} \times 0,3 \text{ J/K} = 15 \text{ s}$  nu ikke uvæsentlig ved frekvenserne 2mHz - 25mHz. Med glycerol i kalorimeteret fandt vi typiske tider på 1 s. I App. 6.1.1 er en model opstillet som også kvantitativt forklarer den observerede frekvensafhængighed. Heraf fremgår også at  $-\frac{\text{Im } Y}{\omega} = (\text{Re } C)$  er frekvensuafhængig som graf 6.1.1 viser, men  $c_b$  er bestemt ca. 1% for stor.

Glastransformationsområdet for de betragtede frekvenser er, som vi skal se, 170 K-200 K. Udenfor dette temperaturinterval giver den relaxerende varmefyldes imaginærdel ingen bidrag til realdelen af  $Y$  (graf 6.2.2). I tabel (6.1.2) (del af tabel 6.2.1) er angivet en række målinger af  $\text{Re } Y$  med glycerin i kalorimeteret, men uden for glastransformationsområdet og ved forskellige frekvenser.

På graf (6.1.3) er  $\text{Re } Y$  afbildet som funktion af  $(T/180 \text{ K})^3$ .

Den rette linie viser strålingsloven (afsnit 5.1, den ydre varmeledning punkt c)) og liniens ligning bliver

$$(6.1.4) \quad \Lambda(\tau) = 370 \mu \text{W}/\text{K} + 310 \mu \text{W}/\text{K} \left( \frac{T}{180 \text{ K}} \right)^3$$

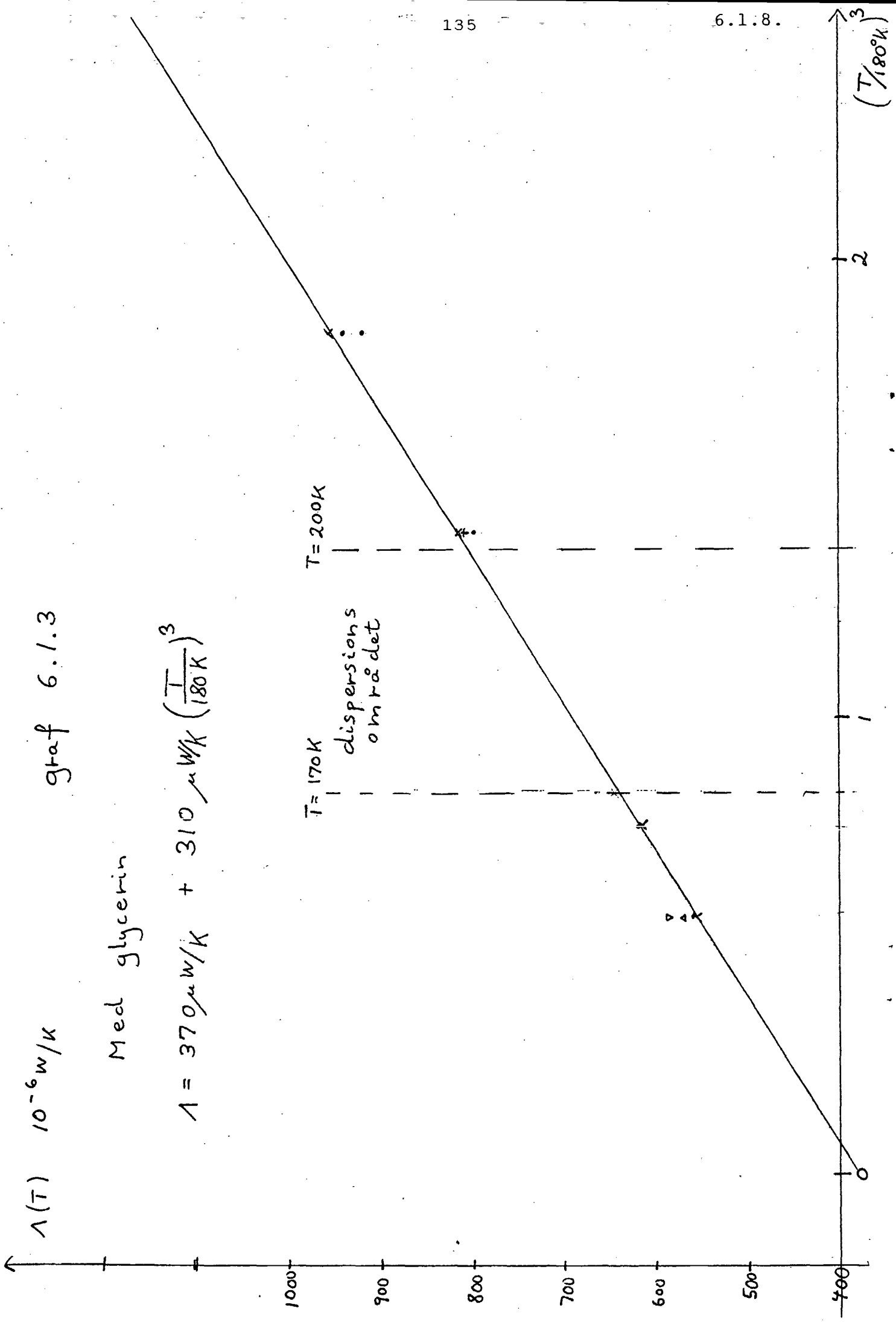
Da  $|Z| = \frac{1}{|\text{Y}|} = \frac{1}{\Lambda^2 + (\omega c)^2}$  giver  $\Lambda$  størst bidrag til den målte impedans ved lave frekvenser. Linien er derfor trukket gennem  $(\Lambda, T)$  punkter målt ved lave frekvenser hvor  $\Lambda$  er bestemt med størst nøjagtighed.

Funktion  $\Lambda(\tau)$  indgår som programstumpen FUNC yb(temp). På graf 6.1.2 er en række punkter beregnet ved (6.1.4) nu indtegnet med symbolet  $\square$ . Man ser at  $\text{Re } Y$  for det tomme kalorimeter konvergerer mod  $\Lambda(\tau)$  for  $\omega \rightarrow 0$  i overensstemmelse med at kalorimeterets indre relaxationstid på 15 s er lille i forhold til  $\frac{1}{\omega_{\text{min}}} = \frac{1}{2,1 \text{ mHz}} \approx 500 \text{ s}$ .

$\omega$ (mHz) →	24	15,5	9,4	6,0	3,6
T(K) (T/180K) <sup>3</sup>					
149,3	0,571	584	561		556
164,3	0,761		622		614
169,4	0,834		664		645
201,6	1,405	780	799	809	816
220,5	1,838		921 941		955

Tabel 6.1.2

ReY ( $\mu$ W/K) ved en række temperaturer og frekvenser med glycerol i kalorimeteret; men uden for glas-transformationsområdet. Måling numre {100-103, 108-110, 117-122, 123-125} fra App. 6.2.1



## 6.2 Glycerinens varmefylde

Efter bestemmelsen af kalorimeterets varmekapacitet blev kalorimeteret vejet, først uden dernæst med glycerin. Resultatet var

### Masse

Kalorimeter	kalorimeter + glycerin	glycerin
481 mg	609 mg	128 mg

med en nøjagtighed på 4 mg eller 3% på glycerinens masse. Dette vurderet på fluktuationerne ved gentagne målinger.

Dernæst blev kalorimeteret med glycerin loddet fast til sædets tilledninger (fig. 5.2.2) og placeret i kryostaten (fig. 5.2.1). Selv om kalorimeteret er åbent og placeret i vacuum fordamper glycerinen ikke, da damptrykket er meget lille ved de lave temperaturer. I App. 6.2.1 er resultaterne af 129 målinger af den termiske impedans med glycerol i kalorimeteret opført i en tabel. Som under afsnit 6.1 var spændingsamplituden til varmeviklingen  $V_0 = 0,342 \text{ V}$  og dermed varmestrømsamplituden ca. 2 mW, medmindre andet er angivet imellem kolonnerne målingnr. og temperatur.

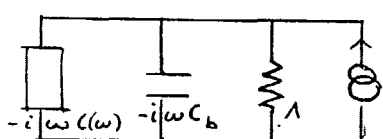
Målingerne forløb på følgende måde. Først valgtes en passende kryostattemperatur  $T_{\text{kryo}}$ . Dernæst varieredes frekvensen  $\omega$  for denne fastholdte temperatur. Der ved bliver middeltemperaturen  $T_{\text{dc}}$  den samme for alle de målte frekvenser, men temperaturamplituden  $T_{\text{Ac}}$ , som stort set er proportional med  $\omega$  ((4.2.3)) med  $\omega \in \omega_0 \dots \omega_1$  bliver forskellig og størst ved de laveste frekvenser. Denne fremgangsmåde er eksperimentelt lettest, men betyder altså, at varmeimpedansen er målt ved forskellige temperaturamplituder. Dette er i orden blot vi sikrer os, at det er et lineært response, vi

måler (se senere). Man kunne naturligvis ændre amplitude  $V_0$  i takt med ændringen af  $\omega$ , således at  $T_{Ac}$  er nogenlunde konstant, men da skal  $T_{Kryo}$  også ændres for at fastholde  $T_{oc}$ . Dette er uhensigtsmæssigt p.g.a de lange indsvingningstider. Ved målingerne med  $V_0 = 0,342V$  var  $T_{Ac} < 1,4 K$  ned til frekvensen  $\omega = 2,4 \text{ mHz}$ . Størrelsen  $\|\mathbf{f} - \mathbf{f}_{proj}\| / \|\mathbf{f}\|$  (afsnit 5.3) (i programmet kaldet "rlspr") krævedes normalt  $< 0,7\%$  for at acceptere resultatet. I de tilfælde den var større, er der angivet en parentes om målingens nummer. For de resultater, hvor kravet er opfyldt, ses ved gentagelsesmålinger f.eks. måling numre  $\{30, 31\}, \{34, 35\}, \{43, 44, 45\}, \{60, 65, 66\}, \{74, 79\}, \{90, 91\}, \{95, 96\}, \{121, 122\}, \{124, 125\}$  at resultaterne reproduceredes med  $0,4\%$ . Dette vil vi da også regne med er den statistiske usikkerhed i de øvrige tilfælde, hvor der ikke er foretaget gentagelsesmålinger. Samtidig kan vi også anse indsvingningsfænomenener ophørt når  $\|\mathbf{f} - \mathbf{f}_{proj}\| / \|\mathbf{f}\|$  er så lille.

Den detaljerede talbehandling fremgår af udskrifterne App. 6.2.2.

Først bestemmes totaladmittansen  $Y = \frac{1}{Z}$ . Nu forventer vi (4.3.5), (6.1.1)

$$(6.2.1) \quad Y = \Lambda - i\omega C_b - i\omega C' =$$



$$(\Lambda + \omega \operatorname{Im}\{C\})$$

$$-i\omega (C_b + \operatorname{Re}\{C'\})$$

hvor  $C' = \operatorname{Re}C' + i\operatorname{Im}C'$  er glycerinens varmefylde, mens  $\Lambda = \Lambda(\tau)$ ,  $C_b = C_b(\tau)$  (reelle) er bestemt ved hhv. (6.1.4) og (6.1.3).

I kolonnen  $\text{Re}C_{\text{tot}}$  i App. 6.2.2 er vist  $-\frac{\text{Im}\{Y\}}{\omega}$ , altså  $c_b + \text{Re}\{c\}$ . I kolonnen  $\text{Re}C$  er  $c_b$  fratrukket. I afbildninger, hvor  $T$  er den uafhængige variabel (abscisse), mens  $\omega$  er parameter, er valgt følgende symboler for måling ved frekvens  $\omega$

$\omega$ (mHz)	53	36	24	15,5	9,4	6,0	3,6	2,1
symbol	o	△	▽	•	+	×	↖	↗

På graf 6.2.1 er realdelen af glycerols varmefylde  $\text{Re}C$  afbilledet som funktion af  $T$  med  $\omega$  som parameter. Man ser, at overgangen fra væske- til glasvarmefylde med aftagende temperatur, som ventet, indtræder ved lavere temperatur desto lavere en frekvens, der måles ved. For ikke at gøre grafen for uoverskuelig er kun en del af de målte punkter medtaget.

Dispersionen er for det benyttede frekvensspektrum tydeligst ved  $T = 187$  K. Det ses, at målespektret ikke er bredt nok til, ved nogen temperatur at nå fra "væskelinien"  $c_o(T)$  (den fra høje til lave temperaturer lineært ekstrapolerede varmefylde) til "glaslinien"  $c_\infty(T)$  (den fra lave til høje temperaturer lineært ekstrapolerede varmefylde).

Væskelinien  $c_o(T)$  betegnes med index o fordi vi ved enhver temperatur  $T$  vil forvente

$$(6.2.1) \quad c(\omega, T) \rightarrow c_o(T) \quad \text{for } \omega \rightarrow 0$$

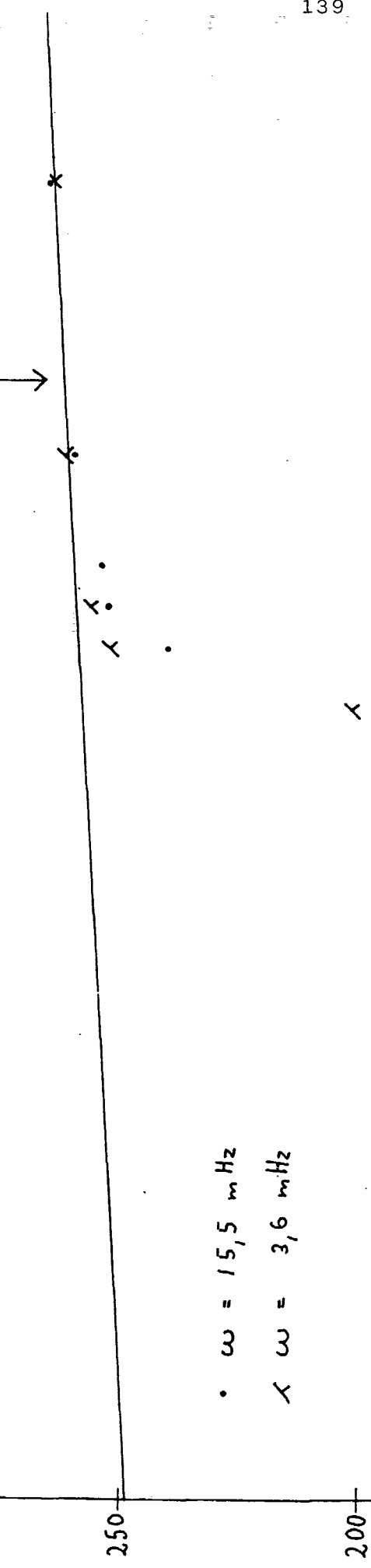
Ligeså betegnes glaslinien  $c_\infty(T)$  fordi vi forventer

$$(6.2.2) \quad c(\omega, T) \rightarrow c_\infty(T) \quad \text{for } \omega \rightarrow \infty$$

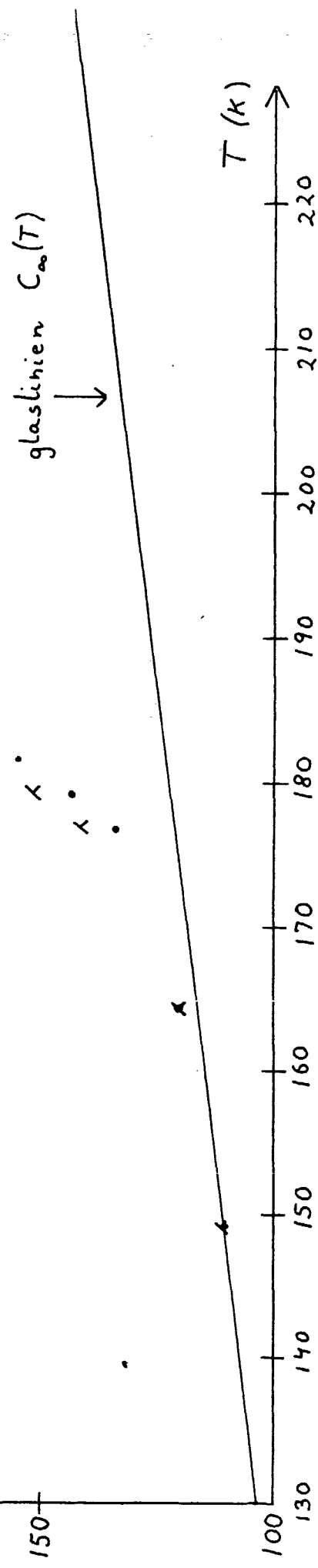
I tabellen App. 6.2.1 er  $\text{Re}Y -$  altså  $\wedge + \omega \text{Im}\{c\}$  ifølge (6.2.1) - opført i en kolonne. Dispersionen vil også vise sig ved  $\text{Im}\{c\} > 0$ . På graf 6.2.2

$\Re C$   
 $(\text{mJ/K})$

graf 6. 2. 1



vræskelinien  $C_o(T)$



er  $\operatorname{Re} \gamma$  afbilledet som funktion af  $T$  med  $\omega$  som parameter. Man ser igen dispersionen i temperaturintervallet 170 K-200 K. Denne træder tydeligere frem for høje end for lave frekvenser i overensstemmelse med  $\operatorname{Re} \gamma = 1 + \omega \operatorname{Im} \{\zeta\}$ . Som omtalt i 6.1 bestemmes baggrunden  $\Lambda(T)$  netop ud fra  $\operatorname{Re} \{\gamma(T)\}$  med glycerol i kalorimeteret, men uden for dispersionsområdet (se tabel 6.1.2, graf 6.1.3). På graf 6.2.2 er  $\Lambda(T)$  indtegnet ved ekstrapolation af formlen (6.1.4) ind i dispersionsområdet.

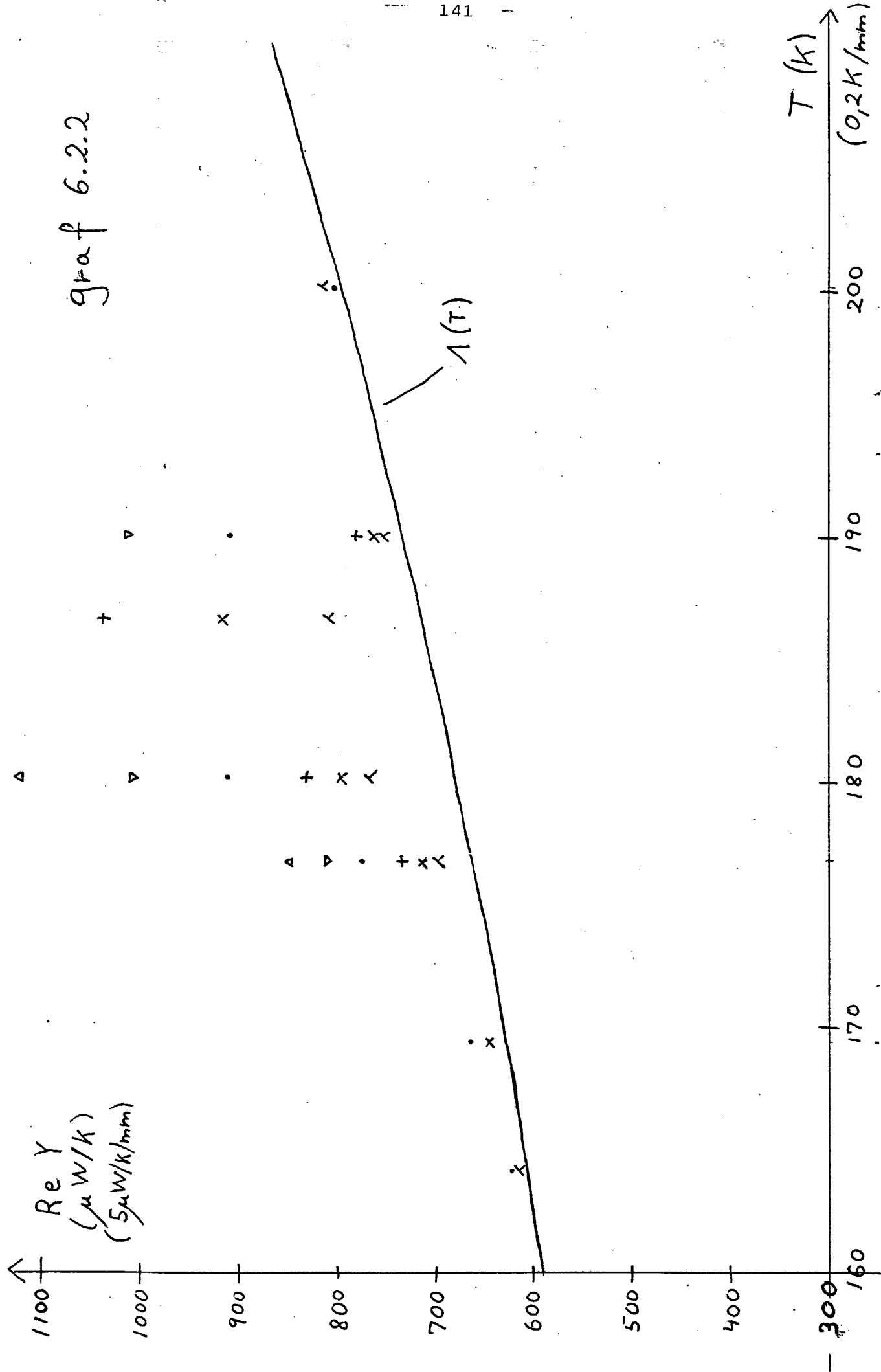
I tabellen App. 6.2.1 er endelig kolonnerne  $\operatorname{Re} \gamma - \Lambda$  og  $\operatorname{Im} \zeta$  beregnet som  $\frac{\operatorname{Re} \{\gamma\} - \Lambda}{\omega}$  opført.

Vi ønsker at bestemme  $C(\omega)$  over hele frekvensdispersionsområdet ved én bestemt temperatur, men da målespektret er for smalt må vi ty til princippet om temperatur/tid ækvivalens, som blev omtalt i kap. 1. Dér så vi, at det var anvendt til bestemmelsen af kompressibiliteten af glycerol. Vi antager altså

$$(6.2.3) \quad C(\omega, T) = c_\infty(T) + (c_0(T) - c_\infty(T)) C_N(\omega \varphi(T))$$

hvor den normaliserede varmefylde  $C_N$  kun afhænger af  $\omega$  og  $T$  gennem  $\tilde{\omega} = \omega \varphi(T)$ , hvor  $\varphi(T)$  er en funktion af  $T$ . Vi kan da, ved også at ændre temperaturen, få udmålt hele funktion  $C_N(\tilde{\omega})$  og dermed  $C(\omega, T)$ .

$c_\infty(T)$  og  $(c_0(T) - c_\infty(T))$  ændres mindre end 5% hen over glasområdet. Ser vi undledningsvis bort fra disse små variationer er  $C(\omega, T)$  altså også på formen  $C(\tilde{\omega}) = C(\omega \varphi(T))$



På graf 6.2.3 ses varmefylden afbildet i et Cole - Cole plot d.v.s. kurven givet ved parameterfremstillingen ( $\text{Re}\{c(\tilde{\omega})\}$ ,  $\text{Im}\{c(\tilde{\omega})\}$ ). Nu angiver et symbol den temperatur ved hvilken frekvensen er scannet. Dette fremgår af skemaet.

temperatur	176,8	179,3	181,6	184,2	188,9	191,2	(K)
symbol	x	△	λ	•	▽	γ	

for enhver fast temperatur  $T_0$  fås et liniesegment ( $\text{Re}\{c(\omega, T_0)\}$ ,  $\text{Im}\{c(\omega, T_0)\}$ ) på graf 6.2.3 når  $\omega$  varieres. Dersom temperatur/tid ækvivalensen gælder, skal disse segmenter for forskellige temperaturer falde på en fælles kurve. Det ses at være tilfældet. Det er dog ikke noget bevis for princippet, idet sammenfaldet af segmenter vil ske blot  $(c', c'') = (c'(f(\omega, \tau)), c''(f(\omega, \tau)))$  altså  $c'$  og  $c''$  er funktion af  $\omega$  og  $\tau$  gennem samme funktion  $f$ . Den højfrekvente del af Cole - Cole kurven ses at være en ret linie. En sådan form ville fremkomme dersom

$$(6.2.4) \quad C(\tilde{\omega}) - c_\infty \rightarrow (-i\tilde{\omega})^{-\beta} \quad \text{for } \tilde{\omega} \rightarrow \infty$$

Da

$$(6.2.5) \quad (-i\tilde{\omega})^{-\beta} = (e^{-i\frac{\pi}{2}\tilde{\omega}})^{-\beta} = \tilde{\omega}^{-\beta} (\cos(\frac{\pi}{2}\beta) + i\sin(\frac{\pi}{2}\beta))$$

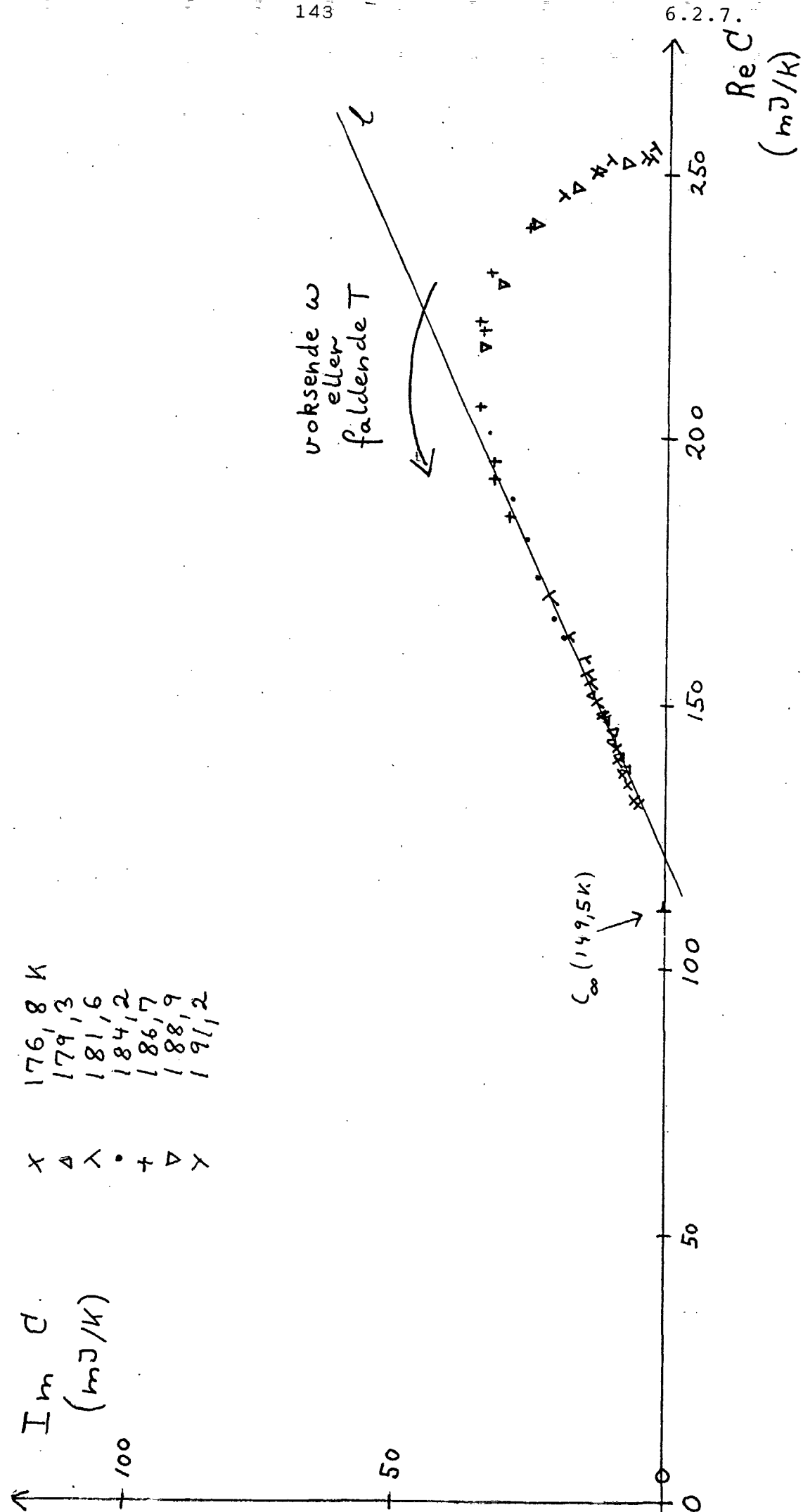
ses at  $(-i\tilde{\omega})^{-\beta}$  i et Cole Cole plot netop fremstiller en ret linie med hældningskoefficient  $\tan(\frac{\pi}{2}\beta)$ .

Liniens hældningskoefficient aflæses til 0,44 hvormed

$$(6.2.6) \quad \underline{\beta} = \frac{2}{\pi} \arctan(0,44) = \underline{0,27}$$

Igen er Cole - Cole plottet kun en ledetråd, idet det ikke beviser (6.2.4). F.eks. ville

graf 6.2.3  
 Cole - Cole plot af 128 mg glycerins varmefylde



$$(sin(-i\tilde{\omega}))^{-\beta} = (-i \sinh \tilde{\omega})^{-\beta} = (\sinh(\tilde{\omega}))^{\beta} (\cos(\frac{\pi}{2}\beta) + i \sin(\frac{\pi}{2}\beta))$$

give samme linie .

Vi må derfor se på  $Re\{c\}$  og  $Im\{c\}$  som funktion af  $\omega$ , eller snarere  $\log(\omega)$  fordi spektret er meget bredt .

Inden vi gør dette vil vi trække temperaturafhængigheden af  $C_\infty(\tau)$  og  $C_0(\tau)$  ud , altså finde den normaliserede funktion  $C_n(\tilde{\omega})$  i (6.2.3) .

Væskelinien  $C_0(\tau)$  findes let ud fra graf 6.2.1 , da dispersion ophører ret brat for lave frekvenser (se også graf 6.2.2) til

$$(6.2.7) \quad C_0(\tau) = 0,174 \text{ mJ/K} \cdot T + 225,9 \text{ mJ/K}$$

i programmet kaldet FUNC cn(tohm) .

$C_\infty(\tau)$  er vanskeligere at bestemme . Den meget lange hale i spektret for  $\omega \rightarrow \infty$  betyder , at vi må bruge temperatur/tid ækvivalensen mange gange i denne ende af spektret . Det fremgår af (6.2.3) at med temperaturafhængigheden af  $C_0(\tau)$  og  $C_\infty(\tau)$  vil Cole - Cole kurverne hørende til forskellige temperaturer ikke være helt sammenfaldende . Da  $Re\{c_n\}$  og  $Im\{c_n\}$  multipliceres med samme faktor ( $C_0(\tau) - C_\infty(\tau)$ ) ændrer det imidlertid ikke på linien  $\epsilon$ 's hældningskoefficient . Blot betyder det ekstra led  $C_\infty(\tau)$  en lille parallelforskydning mod venstre med faldende temperatur (da  $C_\infty$  aftager med aftagende  $T$  ) .

De måleserier , der danner udgangspunkt for linien på graf 6.2.3 er  $x = 176,8 \text{ K}$  ,  $\Delta = 179,3 \text{ K}$  ,  $\lambda = 181,6 \text{ K}$  •  $= 184,2 \text{ K}$  .

Man ser , at selv ved  $x$  er  $Im c > 0$  , så vi er stadig i glastransformationsområdet .

For at komme helt under dette område måltes  $\tau = 149,3 \text{ K}$

Her er dispersionen ophørt. Man ser  $C_\infty(149,3\text{K}) = 111 \text{ mJ/K}$ . Linien l's skæring med abscissen,  $C_\infty = 123 \text{ mJ/K}$  må tages som glasvarmefylden ved middeltemperaturen  $180,5 \text{ K}$  i intervallet  $[176,5 \text{ K}, 184,2 \text{ K}]$  altså  $C_\infty(180,5 \text{ K}) = 123 \text{ mJ/K}$ .

Hermed har vi to punkter på glaslinien, så denne kan beregnes til

$$(6.2.8) \quad C_\infty(\tau) = 0,385 \text{ mJ/K}^2 \cdot \tau + 53,6 \text{ mJ/K}$$

Nu er den normaliserede varmefyld

$$(6.2.9) \quad C_N(\tilde{\omega}) = \frac{C(\omega, \tau) - C_\infty(\tau)}{C_\infty(\tau) - C_\infty(\tau)}$$

beregnet. Tallene er opstillet under kolonnerne ReNC, ImNC i App. 6.2.3. Cole-Cole kurven for  $C_N(\tilde{\omega})$  er vist på graf 6.2.4. Hældningen af græselinien for Cole-Cole kurven for  $\omega \rightarrow \infty$  ændres ikke kendeligt af temperaturkorrektionen. D.v.s  $\beta$  er stadig  $0,27 \pm 0,02$

På graferne 6.2.5 a-g er afbildet  $\text{Re } C_N$  og  $\text{Im } C_N$ , som funktion af  $\log \omega$ , hvor  $\omega$  ligger mellem  $36 \text{ mHz}$  og  $2,4 \text{ mHz}$ . Ved at translatere de enkelte grafer langs  $\log \omega$  aksen, ser man, at de succesivt kan bringes til at dække hinanden over en halv dekade af gangen. Temperatur/tid ækvivalensen er dermed delvist verificeret

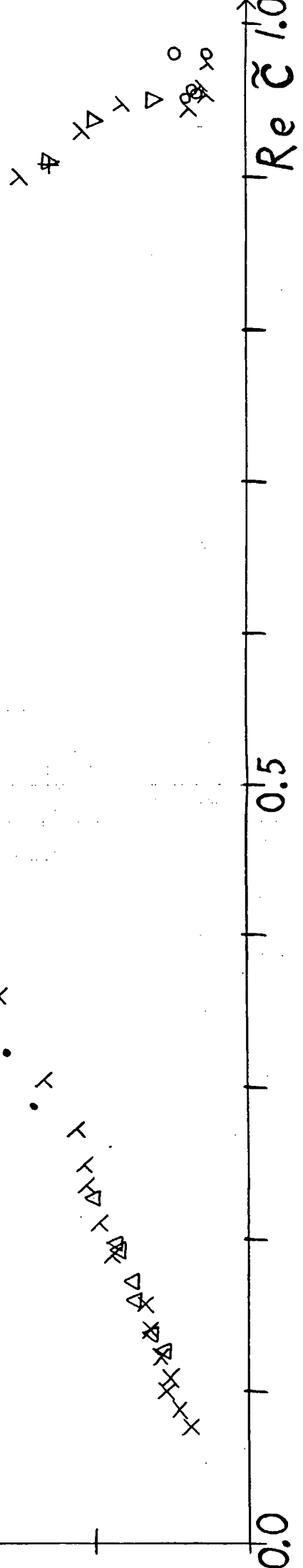
Den samlede masterkurve ses på graf 6.2.5. Vi ønsker at bestemme forskydningsfunktionen  $\gamma(\tau)$ . I tabel 6.2.1 er forskydningerne i mm angivet, samt usikkigheden  $\sigma$  herpå. Dette er omregnet til  $\Delta \log \omega$  og den tilhørende usikkighed, samt den akkumulerede usikkerhed, når vi går ud fra kurven  $\tau = 184,2 \text{ K}$  som nulpunkt. Endelig er angivet  $\frac{\sigma}{\tau}$ . På graf 6.2.6 er  $\Delta \log \omega$  afbildet mod  $\frac{\sigma}{\tau}$  med de akkumulerede usikkigheder indtegnet. Ved forskydningen ændres  $\omega$  og  $\tau$  således samtidigt, at  $\tilde{\omega} = \omega \gamma(\tau) = \text{konstant}$ , d.v.s

$\div \operatorname{Im} \tilde{C}$

graf  
6.24

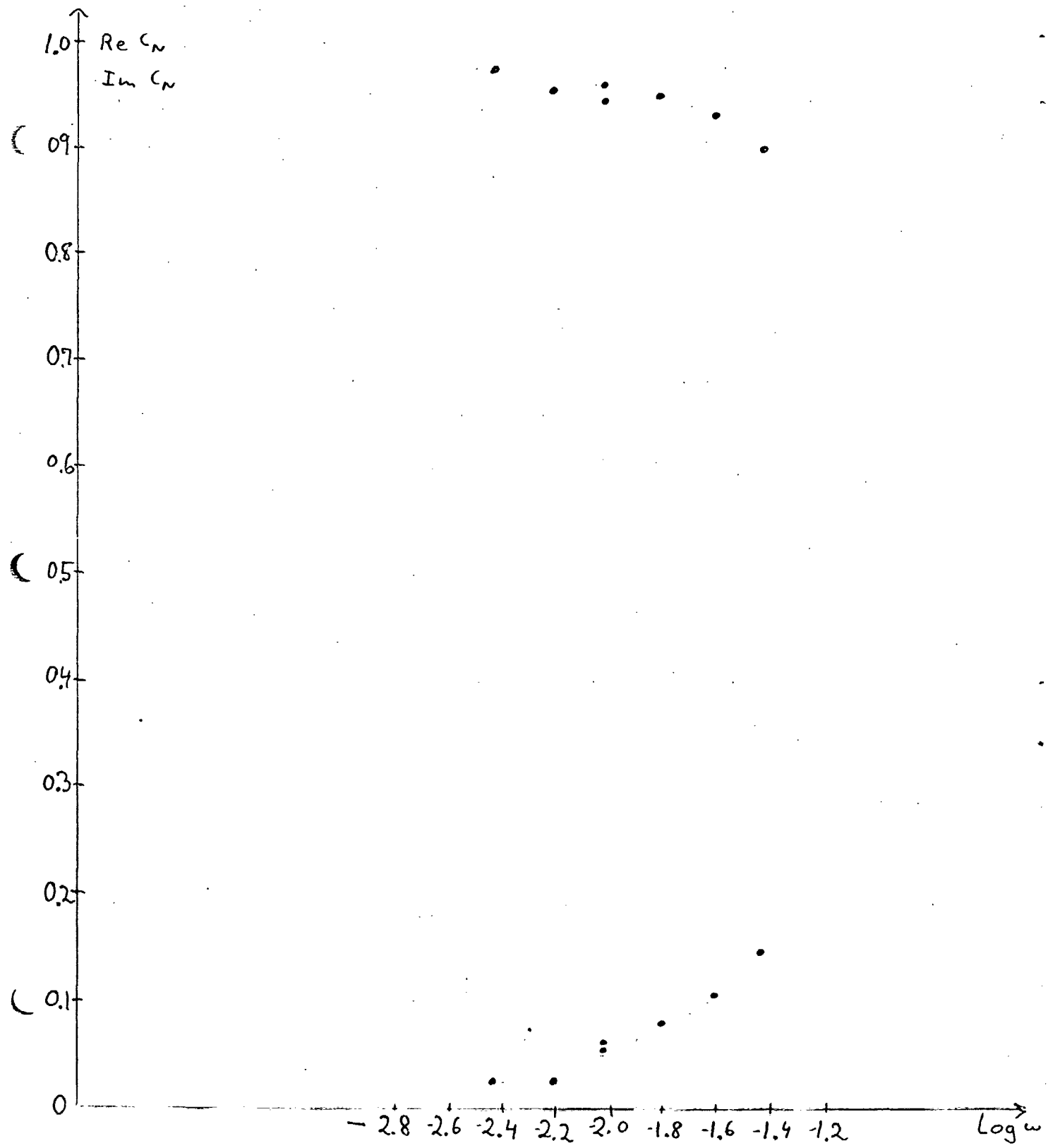
$\times$	191.2	$K$
$\nabla$	188.9	"
+	186.7	"
•	184.2	"
$\times$	181.6	"
$\triangle$	179.3	"
$\times$	176.2	"

-0.2



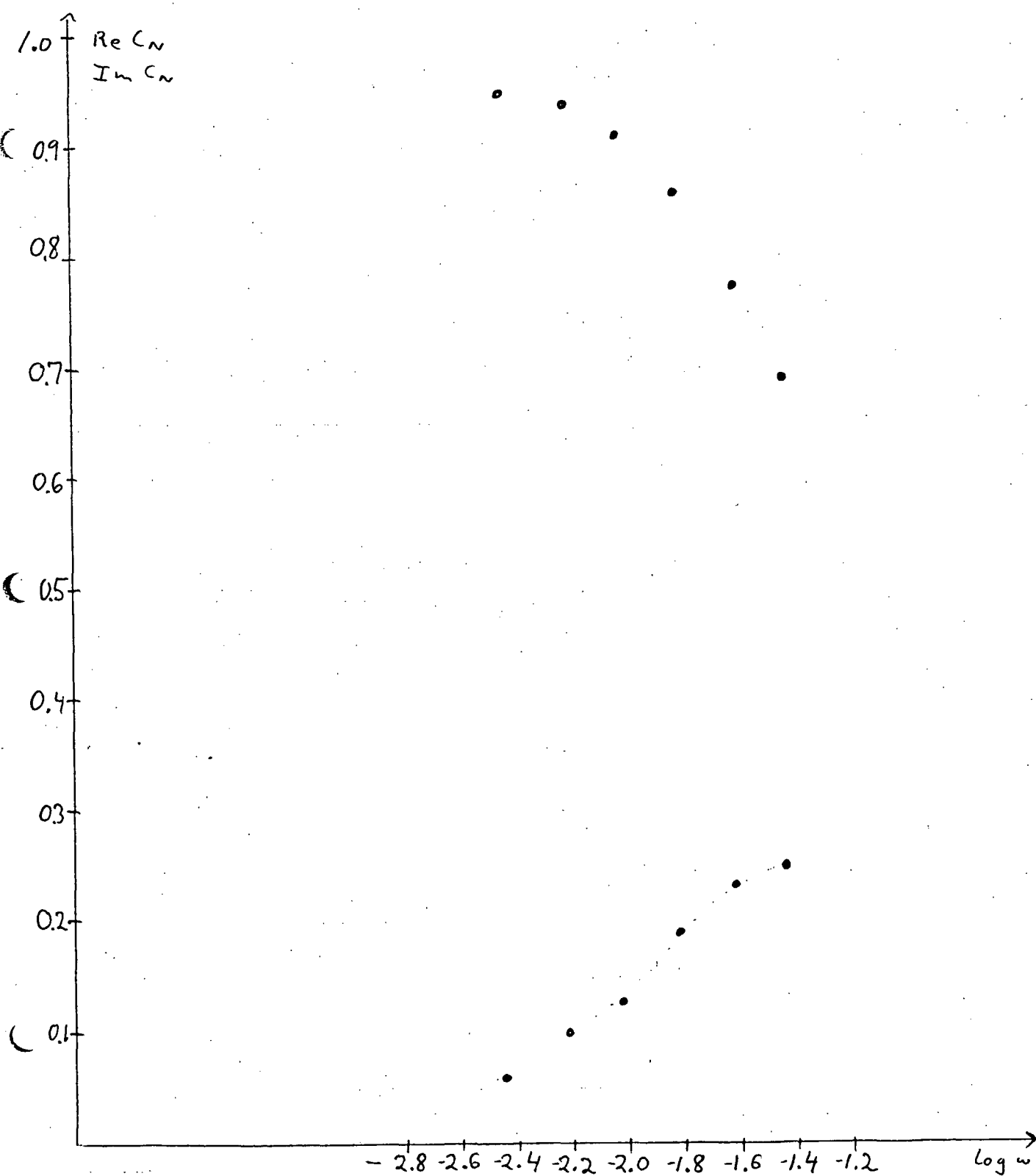
6.2.5 a

Y 191.2 K



6. 2. 5 b

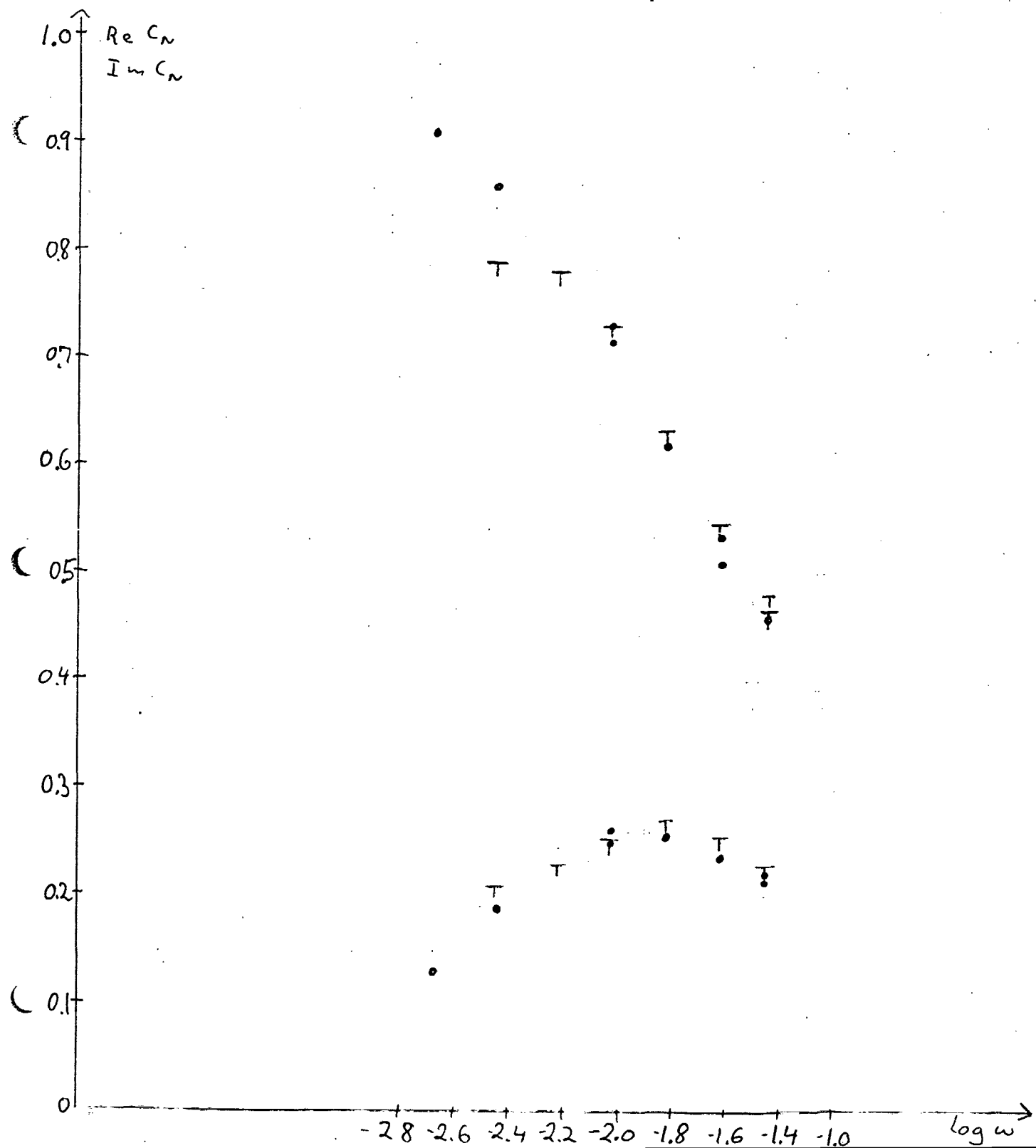
▽ 188,9 K



6.2.5 C

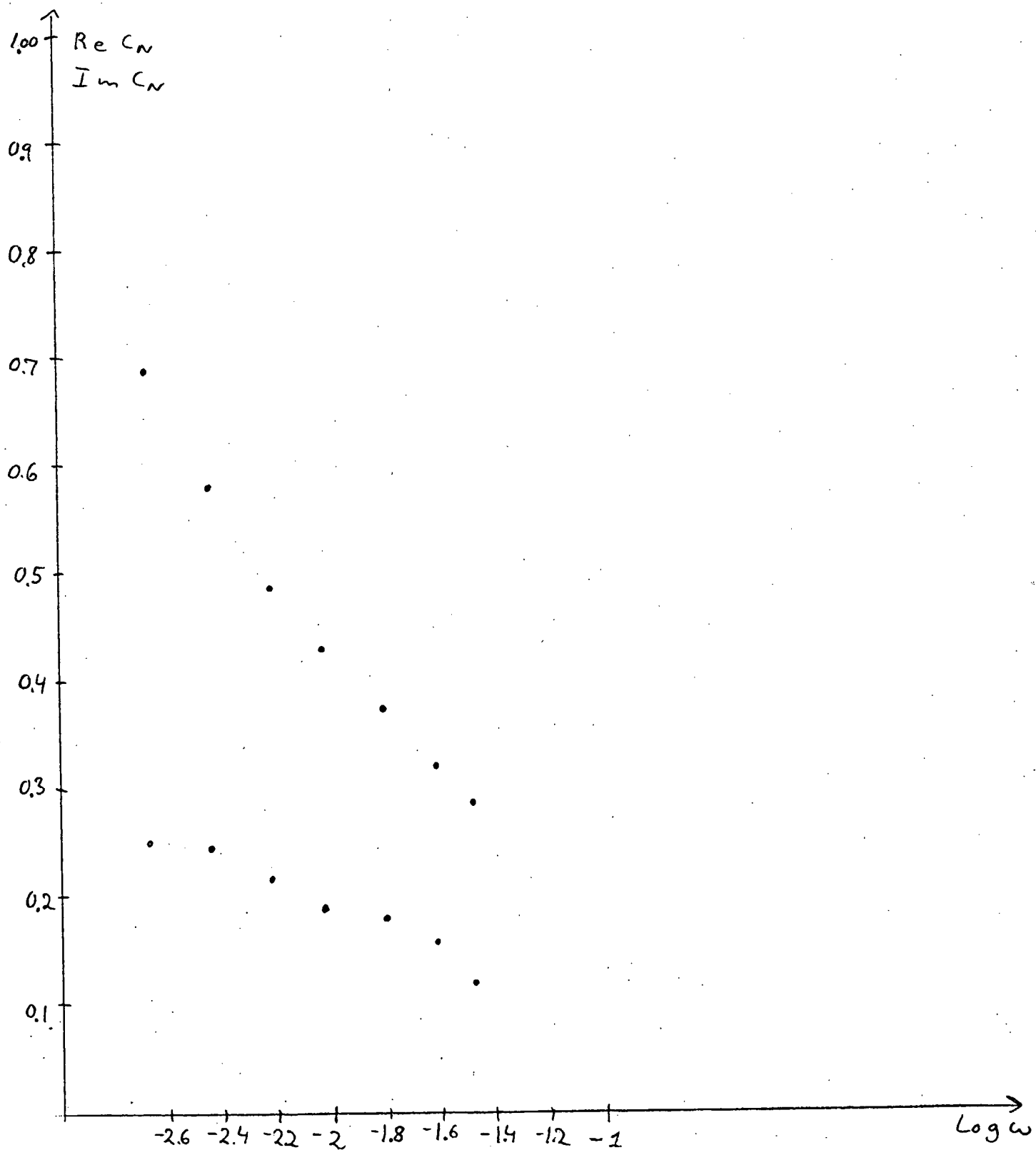
+ 186,7 K

T ulinearitetsundersøgelse. 4 dobbelte temperaturamplituder

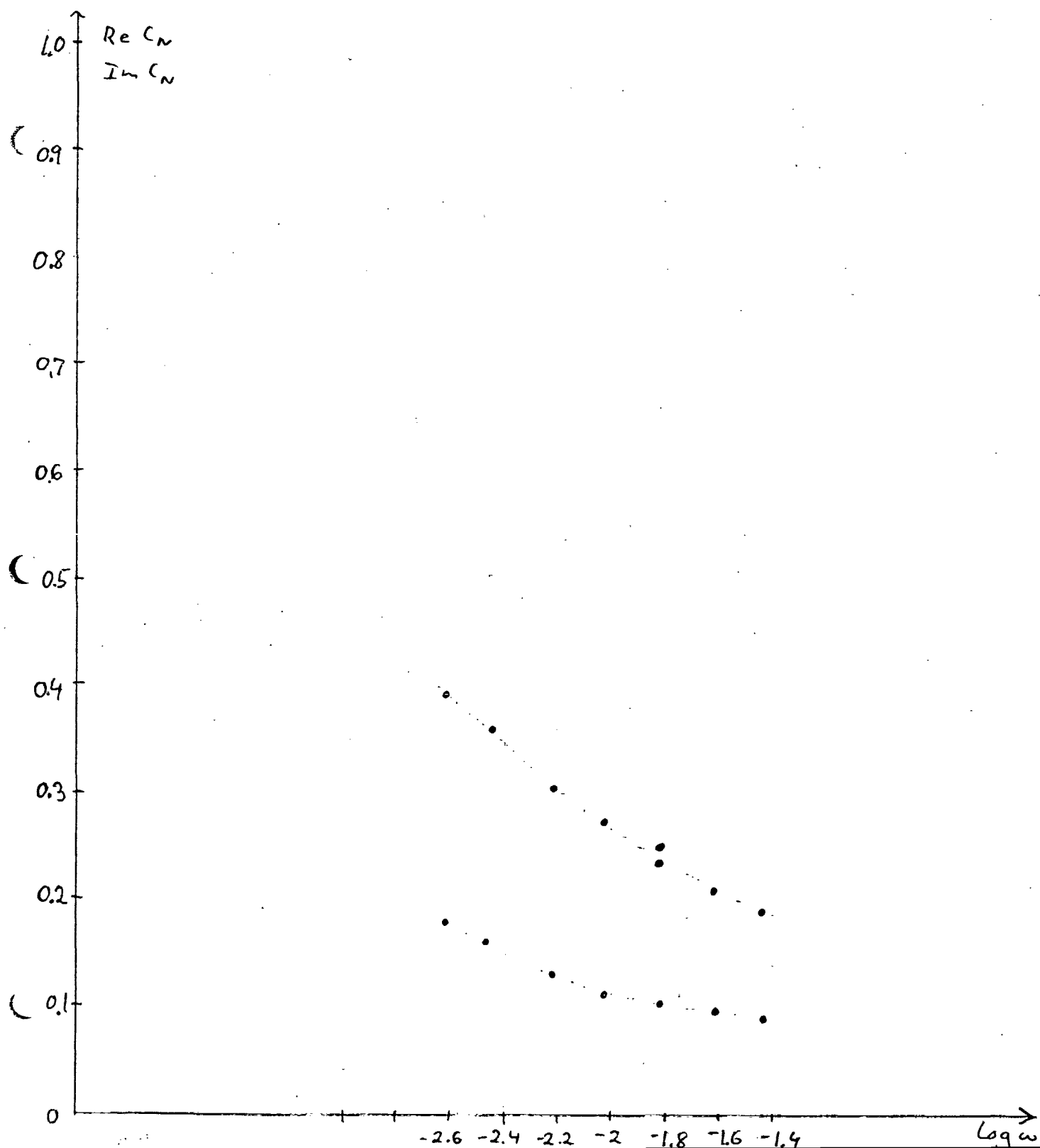


6.2.5 d

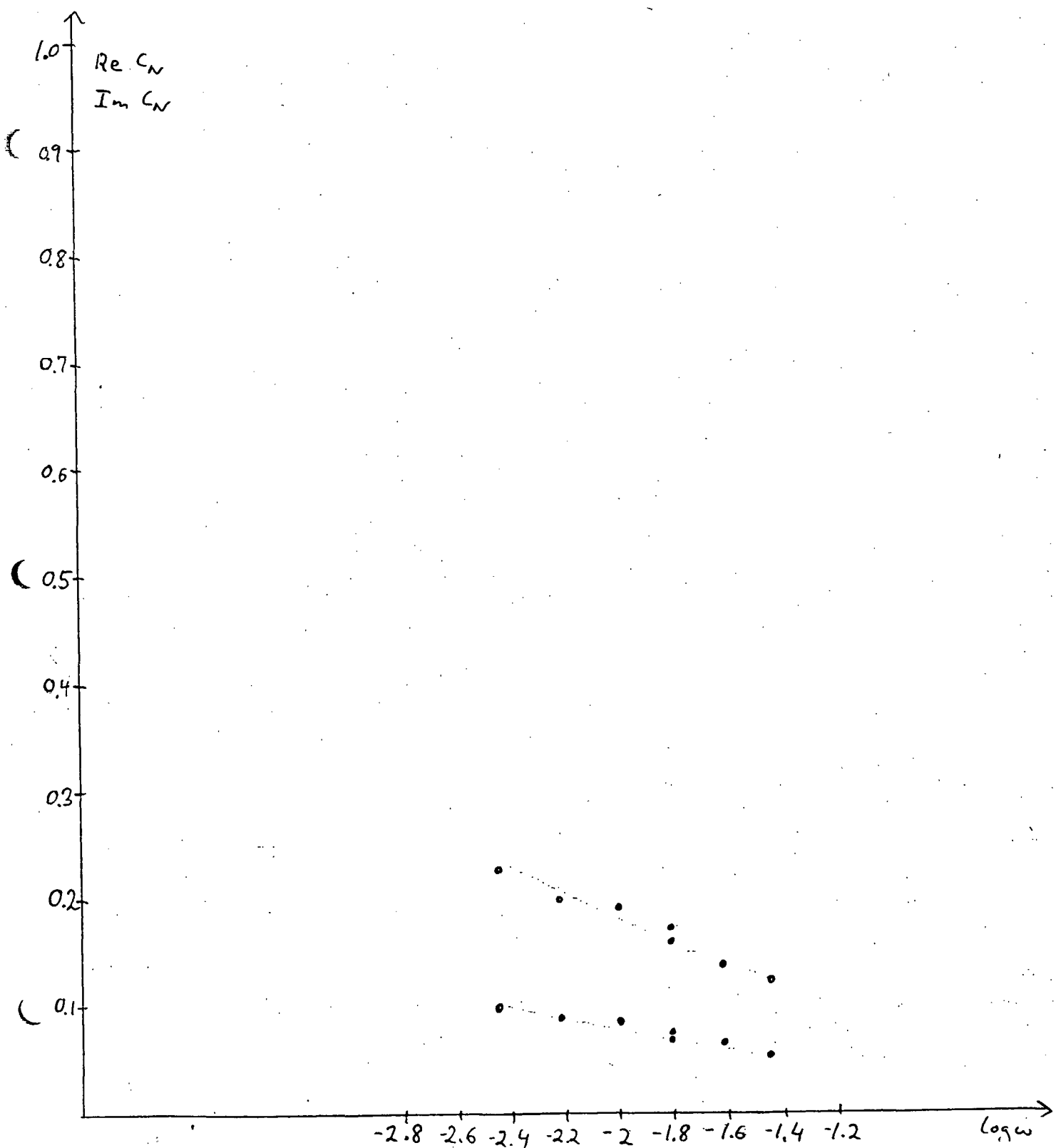
• 184.2 K



G. 2.5 e

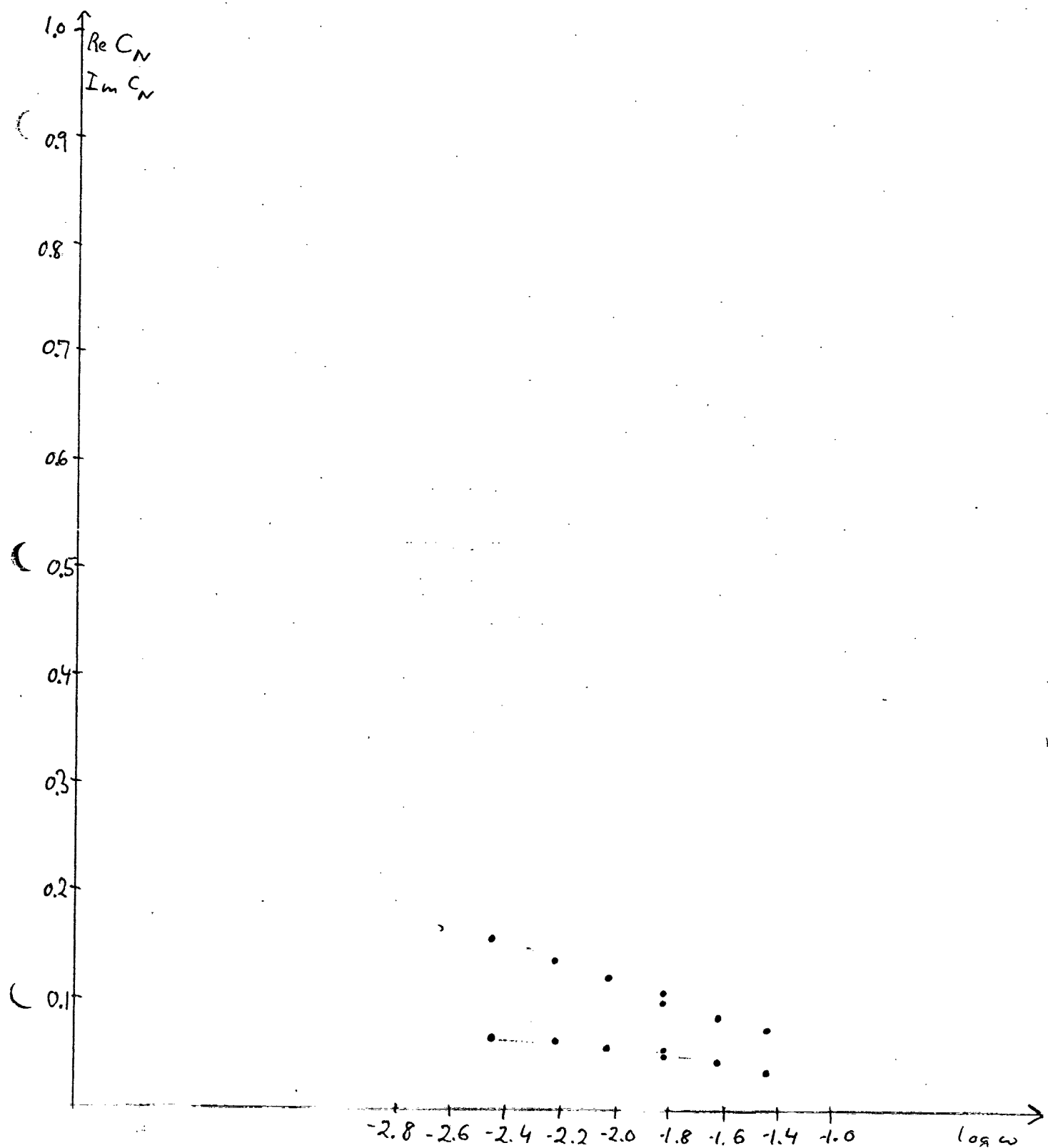
 $\lambda \quad 181.5 - 181.7 \text{ K}$ 

6.25 f

 $\Delta \quad 179.2 - 179.4 \text{ K}$ 

6.2.5 g

X 176.8 °K



graf 6. 2.5



1.0

0.8

0.6

0.4

0.2

-5

 $\operatorname{Re} \tilde{C}$  $\nabla \nabla \nabla \nabla \nabla$  $\nabla \nabla \nabla \nabla \nabla$ 

+

†

 $\operatorname{Im} \tilde{C}$ 

0

-1

-2

-3

-4

-5

 $\log(\omega)$

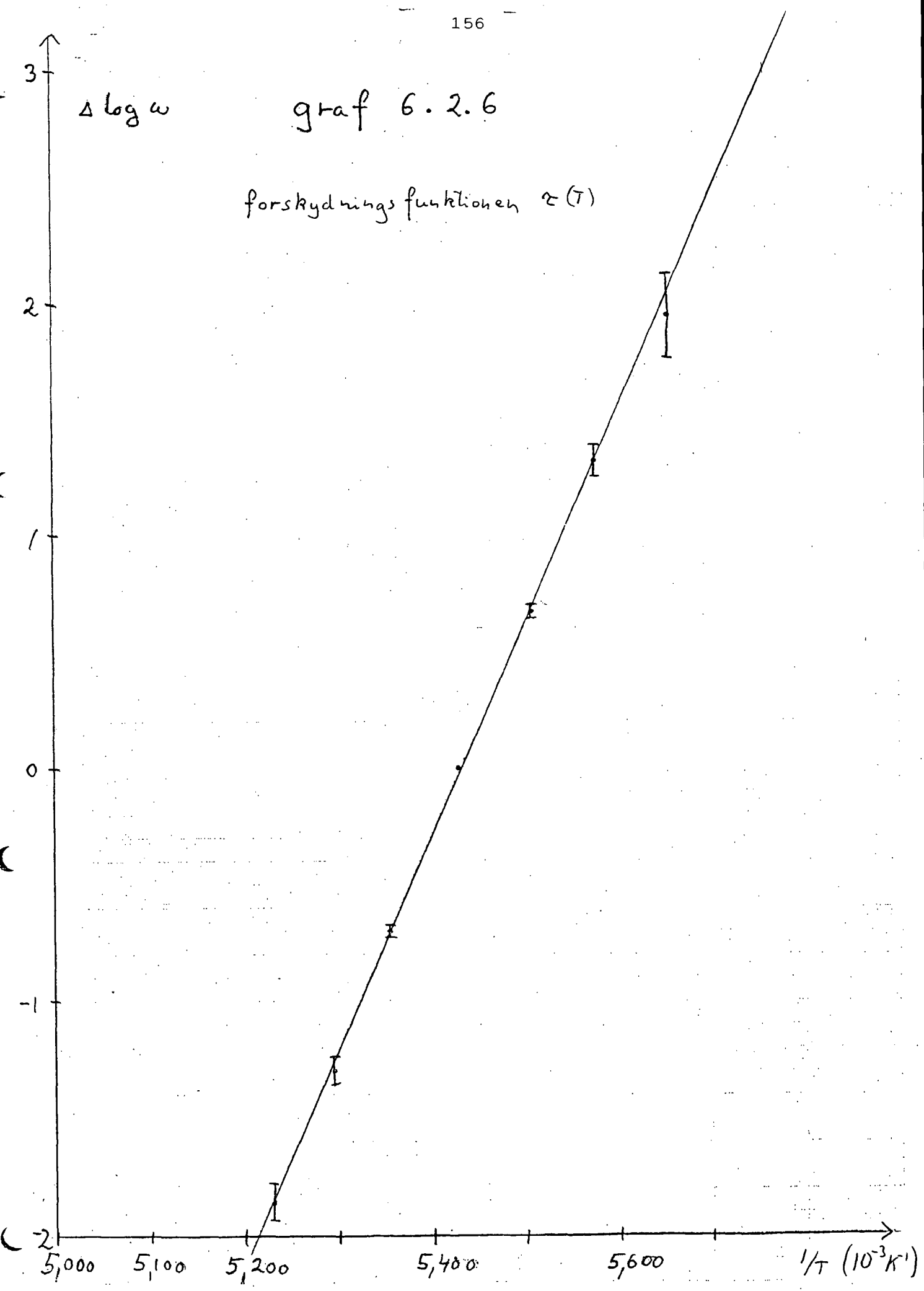
Tabel 6.2.1Til bestemmelse af forskydningsfunktionen  $\alpha(\tau)$ 

$T(k)$	$\Delta_{mm}$	$\pm\sigma$	$\Delta \log(\omega)$	$\sigma$	akk $\sigma$	akkalog $\omega$	$1/T (10^{-3} K^{-1})$
191.2							5.230
28	1	0.56	0.02	0.08	-1.86		
188.9							5.294
30	2	0.60	0.04	0.06	-1.30		
186.7							5.356
35	1	0.70	0.02	0.02	-0.70		
184.2							5.429
33.7	1.5	0.67	0.03	0.03	0.67		
181.6							5.507
32.3	2	0.64	0.04	0.07	1.31		
179.3							5.577
31.5	2.5	0.63	0.05	0.12	1.94		
176.8							5.656

$$\Delta_{mm} = 0.02$$

$\Delta \log \omega$ 

graf 6.2.6

forskydningsfunktionen  $\varepsilon(T)$ 

$\Delta \ln \omega = -\Delta \ln \tau(T)$ . Da ( $\frac{1}{T}$ ,  $\Delta \log \omega$ ) plottet giver en ret linie er

$$(6.2.10) \quad \Delta \ln \omega = \ln(10) \cdot \Delta \log \omega = \frac{A}{T} + B$$

A bestemmes fra hældningskoefficienten til

$$(6.2.11) \quad A = \ln(10) \cdot \frac{5}{(5,760 - 5,213) \cdot 10^3 K^{-1}} = \underline{\underline{2,1 \cdot 10^4 K}} \quad (5\%)$$

Inden for temperaturintervallet [176,5 K, 191,2 K] følger  $\tau(T)$  altså en Arrhenius lov med aktiveringsenergien  $A = 2,1 \cdot 10^4 K$  udtrykt i Kelvin

$$(6.2.12) \quad \tau(T) = \tau_0 \exp\left(-\frac{A}{T}\right)$$

Ved 184,2 K kan masterkurven graf 6.2.5 aflæses i logHz.

#### Bestemmelse af den nedre brugbare frekvens.

Vi kan nu også tage stilling til, hvor høje frekvenser, vi kan gå op til, inden diffusionseffekter spiller ind. Dersom varmeledningsevne er frekvensafhængig, forventer vi, at den i dispersionsområdet ligger mellem sin "glas"-værdi og "væske"-værdi.

Dybt under transformationsområdet ved  $T = 149,3$  K (måling nr. 106 - 111) ses  $Re C$ ,  $Im C$ , at være uafhængig af  $\omega$  fra 3,6 til 53 mHz, idet  $Re C$ ,  $Im C$  ikke varierer mere end spredningen ved gentagelsesmålinger (2 mJ/K).

Der er altså ingen diffusionseffekter i "glasområdet" ved disse frekvenser.

Over transformationsområdet ved  $T = 201,6$  K (måling nr. 116-122) ses ligeledes, at  $Re C$ ,  $Im C$  er konstante indenfor variationen 2 mJ/K for  $\omega \leq 24$  mHz. Ved 53 mHz er  $Re C$  aftaget 6 mJ/K, så ved denne frekvens begynder diffusionseffekter at optræde.

Den mindre varmefylde ved 53 mHz skyldes ikke dispersion hidrørende fra glasovergangen, thi bruger vi temperatur/tid ækvivalensen ned til 191,2 K, d.v.s en ændring på 10 K, skulle den tilsvarende frekvensændring være ca. 400 gange, eller ned til 0,13 mHz. Ved 191,2 K var den lavest benyttede frekvens 2,4 mHz. Dette målepunkt svarer til den laveste frekvens på masterkurven graf 6.2.5, og man ser, at extrapolerer man masterkurven yderligere 1,5 dekade ned i frekvens må vi være ude af dispersionsområdet.

Dermed kan vi for  $\omega \leq 24$  mHz anse dispersionen i den målte responsefunktion udelukkende hidrørende fra den frekvensafhængige varmefylde og ikke fra evt. varmediffusionseffekter.

#### Usikkerheder

Som nævnt udviste gentagelsesmålinger en reproducbarhed på 0,4% på ReCtot som typisk var 450 mJ/K, altså 2 mJ/K. Den relaxerende del af varmefylden ( $(C_0 - C_\infty)$ ) er ca. 100 mJ/K. På den normaliserede kurve er den statiske usikkerhed altså 0,02. Dette fremgår også af de dobbelte målepunkter på nogle af graferne 6.2.4 (0,02 ~ 4 mm).

Der er forskellige systematiske fejl som ikke vil vise sig på den normaliserede kurve. Disse er på

- massen af glycerinen 3% (§ 6.2.1)
- kalibrering af termometer 0,5 % (App. 5.2.3)
- bestemmelse af varmestrømmen 0,6 %, idet  $V = 342$  er bestemt med 1 mV nøjagtighed.

b) og c) kan give en fejl i bestemmelsen af kalorimetervarmefylden på 1%. Hertil kommer en fejl på højst 1% fra effekten omtalt i App. 6.1.1. Med en kalorimetervarmefylde ca. 290 mJ/K bliver fejlen højst 6 mJ/K. Glycerinens varmefylde 111 mJ/K ved 149 K og 265 mJ/K ved 265 K.

ved 220 K kan da have en fejl på hhv 5% og 2,5%. Ved bestemmelsen af den specifikke varmefylde (d.v.s. pr. masse) kan der yderligere komme en fejl på 3% fra mæs- sebestemmelsen. Altså er

$$(T = 149 \text{ K}) = 0,87 \text{ J/K/g} (8\%)$$

$$(T = 220 \text{ K}) = 2,07 \text{ J/K/g} (6\%)$$

Vi understreger, at procenterne angiver mulige sys- tematiske fejl, dersom alle fejl går i samme retning. Relativt, altså for den normaliserede kurve er varmefylden bestemt med en særdeles høj nøjagtighed, nemlig 0,02 (den normaliserede varmefylde er dimensionsløs) på de enkelte punkter.

### 6.3 Lineært/ulineært response ?

For at kontrollere hvorvidt responset, vi har målt, er lineært, blev mælingerne (nr. 38 - 43, App. 6.2.3) ved 186,7 K, hvor temperaturafhængigheden ifølge graf 6.2.1 er størst, gentaget (nr. 26 - 35, App. 6.2.3) med den 4 dobbelte varmestrøm og dermed 4 dobbelte temperaturamplitude.

I tabel 6.3.1 er temperaturamplituderne for de to måleserier opført. Den normaliserede varmefylde for begge serier er indtegnet på graf 6.2.5 c.

Da hele glastransformationsområdet (for en fast frekvens) kun er 15 - 20 K bredt, er det overraskende at man ikke kan spore ulineariteter før amplituder over 2 K.  $\gamma(\tau)$  ændres en faktor  $\gamma(\tau_2)/\gamma(\tau_1) = \exp(-A(\tau_2 - \tau_1)) \approx \exp(A \frac{\Delta T}{\tau_2}) = \exp(2,1 \cdot 10^4 K \frac{2K}{187K^2}) = 3,3$  ved 2 K temperaturændring.

Alle graferne 6.2.5 og masterkurven 6.2.5 er tegnet for mælinger med  $\omega \geq 2,4$  mHz og for disse var  $T_{Ae,0} < 1,4$  K. Vi tror derfor på, at vi er inden for det lineære område. Et andet check på dette er, at masterkurven overhovedet kan konstrueres. Ved forskydningen langs  $\log(\omega)$ -aksen bringes målepunkter målt ved forskellige frekvenser, og dermed forskellige temperaturamplituder sammen på en fælles kurve. Det ville jo ikke kunne gøres, hvis responset var afhængigt af amplituden.

En delvis forståelse af den overraskende linearitet for selv relativt store temperaturamplituder, kan vi få ved at opstille en Volterra teori for det ulineære response [6.3.1]. I en sådan teori rækkeudvikles en ulineær operator i en art Taylorrække :

$$(6.3.1) \quad T(t) = \int_{-\infty}^t Z(t-t') I(t') dt' \\ + \frac{1}{2} \int_{-\infty}^t \int_{-\infty}^t Z_2(t-\zeta, t-\xi) I(\zeta) I(\xi) d\zeta d\xi \\ + \dots$$

Vi kan omskrive 2.ordensleddet til

$$(6.3.2) \quad T_2(t) = \frac{1}{2} \int_0^\infty \int_0^\infty Z_2(u, v) \dot{I}(t-u) \dot{I}(t-v) du dv$$

For et periodiskt signal  $I(t) = I_0 \cos(\omega t)$  med  $\dot{I}(t) = -\frac{1}{\omega} I_0 \sin(\omega t)$  fås

$$(6.3.3) \quad T_2(t) = \frac{1}{2} I_0^2 \frac{1}{\omega^2} \int_0^\infty \int_0^\infty Z_2(u, v) \sin(\omega(t-u)) \sin(\omega(t-v)) du dv$$

Nu er

$$(6.3.4) \quad \sin(\omega(t-u)) \sin(\omega(t-v)) = \\ \frac{1}{2} \{ \cos(\omega(u-v)) - \cos(2\omega t) \cos(\omega(u+v)) - \sin(2\omega t) \sin(\omega(u+v)) \}$$

Heraf aflæses umiddelbart at  $T_2(t)$  for et periodisk input  $I(t) = I_0 \cos(\omega t)$  kan opløses

$$(6.3.5) \quad T_2(t) = A(\omega) + B(\omega) \cos(2\omega t) + C(\omega) \sin(2\omega t)$$

hvor

$$A(\omega) = \frac{I_0^2}{\omega^2} \frac{1}{4} \int_0^\infty \int_0^\infty Z_2(u, v) \cos(\omega(u-v)) du dv$$

$$B(\omega) = -\frac{I_0^2}{\omega^2} \frac{1}{4} \int_0^\infty \int_0^\infty Z_2(u, v) \cos(\omega(u+v)) du dv$$

$$C(\omega) = -\frac{I_0^2}{\omega^2} \frac{1}{4} \int_0^\infty \int_0^\infty Z_2(u, v) \sin(\omega(u+v)) du dv$$

(6.3.5) viser at 2.ordensleddet ikke giver bidrag til de harmoniske  $\cos(\omega t)$ ,  $\sin(\omega t)$  i grundfrekvensen  $\omega$ . Ved vor bestemmelse af Fourierkoefficienterne er 2.ordensleddet derfor skilt ud. Først 3.ordensleddet i (6.3.1) vil give bidrag til grundfrekvensen.

## 7. Diskussion af måleresultater

- 7.1 Sammenligning af den absolutte varmefylde uden for dispersionsområdet med andre målinger.
- 7.2 Den tilsyneladende aktiveringsenergi sammenlignet med den extrapolerede aktiveringsenergi for  $\gamma$ .
- 7.3 Relaxationsdelen af varmefylden sammenlignet med relaxationsdelen for kompressibiliteten ved temperatur/tid transformation over 9 dekader.
- 7.4 Opstilling af analogmodel, der fitter til data.
- 7.5 Sammenligning med alternativt eksperiment til bestemmelse af  $c(\omega)$ .

7.1 Sammenligning af den absolutte varmefylde uden  
for dispersionsområdet med andre målinger

Ved en absolut sammenligning af den målte varmefylde med andre målinger må vi vælge temperaturen langt uden for dispersionsområdet 170-200K.

I tabel 7.1 er angivet vor måling og Gibson og Giaque's [1.3.1] måling aflæst fra kurven fig. 1.3.1.

Temperatur T (K)	Vor måling	Gibson/Giaque	afvigelse
	$c_p$ J/K/g	$c_p$ J/K/g	
220,5	2,07	2,00	3,5%
149,5	0,87	0,85	2,4%

Ved en omregning af Gibson og Giaque værdien er benyttet at  $l_{cal} = 4,186\text{J}$  og molvægten af glycerol  $M = 92,11\text{g}$ . Ved vore egne tal er benyttet en masse af glycerin på 128mg. Afgivelsen er inden for både den usikkerhed Gibson og Giaque kurve kan aflæses med og den usikkerhed, vi har skønnet på egne absolutte målinger. Vi finder forholdet mellem den extrapolerede væskelinie ( $C_o(T)$ ) og glaslinie  $C(T)$  ved 184K til  $\frac{C_o}{C_\infty} = \frac{258\text{ mJ/K}}{122,5\text{ mJ/K}} = 2,1$  noget større end den normalt angives  $\frac{C_o}{C_\infty} = \frac{0,46\text{ cal/kg}}{0,25\text{ cal/kg}} = 1,84$  [7.1.1] (Afvigelse 14%). Dette skyldes, at i [7.1.1] sammenlignes  $C_o(T)$  og  $C_\infty(T)$  for tæt på glasområdet. På grund af den højfrekvente hale i  $C(\omega)$  skal man langt under glastransformationsområdet før alle bidrag til den relaxerede varmefylde er forsvundet. Vi ser jo netop at vore resultater stemmer godt overens med de statiske målinger, når blot vi er langt fra dispersionsområdet.

7.2 Den tilsyneladende aktiveringsenergi sammenlignet med den extrapolerede aktiveringsenergi for  $\eta$ .

Som nævnt i afsnit 1.2 fittes shear viskositeten  $\eta$ 's temperaturafhængighed ofte med en Vogel-Fulcher lov  $\eta = A \exp\left(\frac{B}{T - T_0}\right)$  (1.2.9). Det er en empirisk formel. Man har forventet, at viskositeten fulgte en Arrhenius lov  $\eta = \eta_0 \exp\left(\frac{E_a}{T}\right)$ , men da  $\eta$  vokser hurtigere op med faldende temperatur, har man så tilpasset resultaterne med (1.2.9). Fitteloven indeholder 3 konstanter, hvilket da også fører til ret forskellige angivelser af A, B,  $T_0$  i litteraturen. Litovitz [7.2.1], Slie og Madigosky [7.2.2] angiver istedet at viskositeten kan fittes til

$$(7.2.1) \quad \eta = \eta_0 \exp\left(\frac{a}{T^3}\right)$$

I [7.2.2] er kun målt ned til  $T = 0^\circ\text{C}$ , mens to grader for forskellige temperaturområder ikke hænger kontinuert sammen i [7.2.1]. Schulz [7.2.3] fig. 7.2.1 har angivet de målinger (af Meissner [7.2.4]) jeg har set, som går længst ned i temperatur for glycerol. Viskositeten er her målt over 4 dekader fra  $-40^\circ\text{C} - +60^\circ\text{C}$ . På fig. 7.2.2, [7.2.3] er tillige angivet middelrelaxationstiden  $\tau_d(t)$  for dielektrisk relaxation som funktion af tiden. De to kurver ses at følges meget nøje. På fig. 7.3 er Meissners målinger af  $\eta$  plottet som  $(\log \eta, 1/T^3)$ . De målte punkter ligger på en ret linie med formlen

$$(7.2.2) \quad \ln(\eta(\text{poise})) = -6,32 + \frac{2,26 \cdot 10^8 K^3}{T^3}$$

Man ser, at den extrapolerede kurve giver  $\eta = 10^{13}$  poise ( $= 10^{12} \text{ Pa}\cdot\text{s}$ ) ved  $184\text{K}$  (sammenlign afsnit 1.2). Formlen (7.2.1) har en fitteteknisk fordel idet to konstanter kan bestemmes på en graf mens tre konstanter som i Vogel Fulcher loven kræver en iterativ procedure til bestemmelse.

fig. 7.2.1

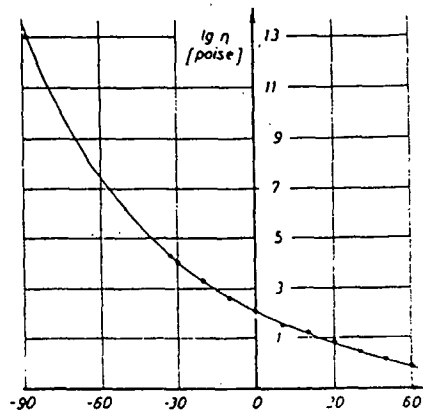


Abb. 5. Die Viskosität von Glycerin in Abhängigkeit von der Temperatur nach W. Moißner. Die Kurve ist auf  $\eta = 10^{12}$  Poise extrapoliert

fig. 7.2.2

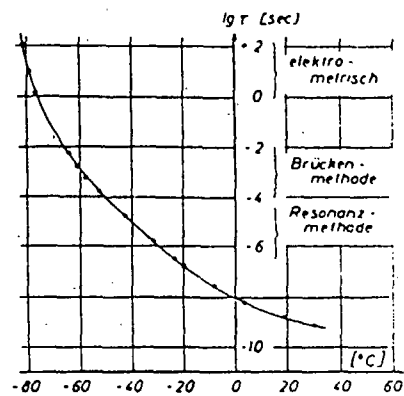


Abb. 6. Der Logarithmus der dielektrisch ermittelten Relaxationszeit (sec) von Glycerin in Abhängigkeit von der Temperatur

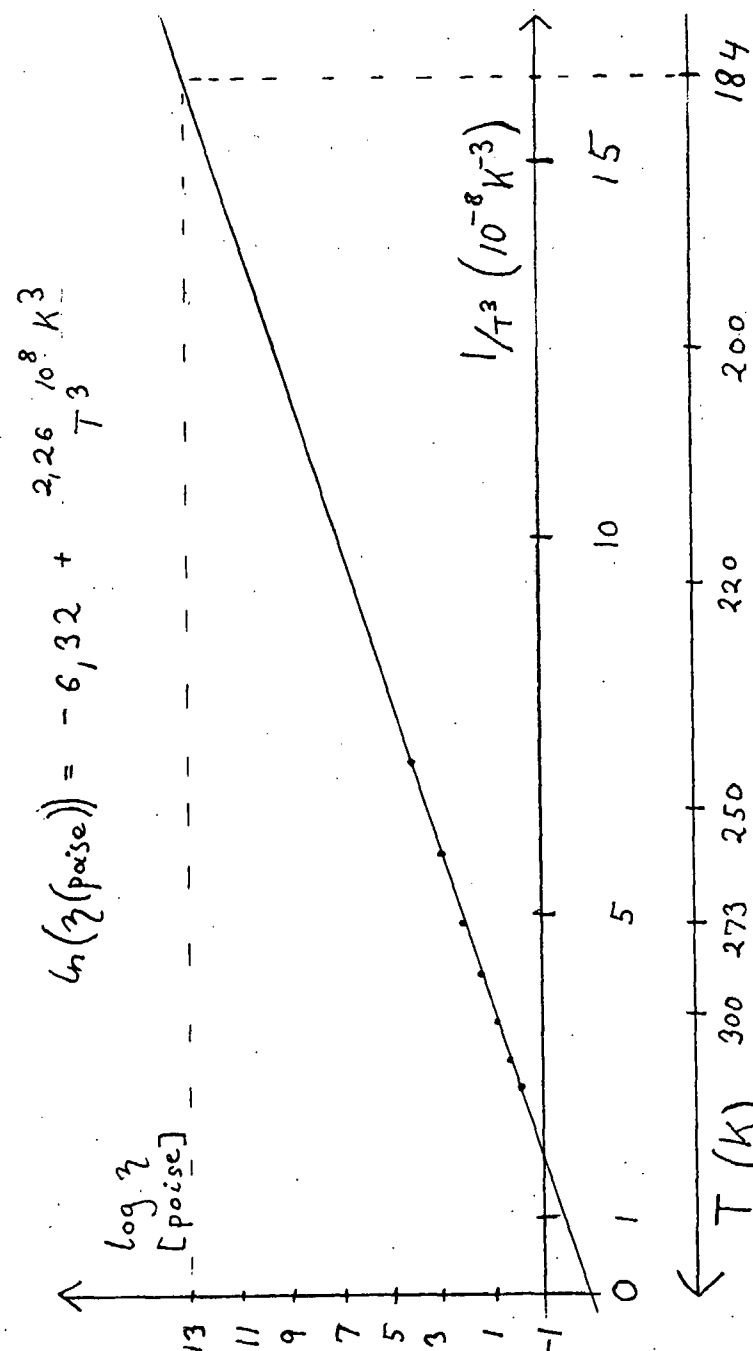


fig. 7.2.3

Den tilsyneladende aktiveringsenergi ved temperaturen  $T_0$  bliver

$$(7.2.3) \quad A = \left( \frac{\partial \ln \gamma}{\partial 1/T} \right)_{T_0} = \left( \frac{\partial}{\partial 1/T} \right)_{T_0} (\ln \gamma_0 + a/T^2)$$

$$= \frac{3a}{T_0^2}$$

Med  $T_0 = 184K$  bliver

$$\underline{\underline{A}} = \frac{3 \cdot 2,26 \cdot 10^8 K^3}{(184K)^2} = \underline{\underline{2,0 \cdot 10^4 K}}$$

hvilket stemmer godt overens med den i (6.2.11) fundne  $A = 2,1 \cdot 10^4 K$ , især eftersom vi har extrapoleret  $\gamma$ -kurven. Der er dog god grund til at tro, at  $\gamma$  er extrapoleret rigtigt, netop fordi den dielektriske relaxationstid  $\tau_d$  følger  $\gamma$  i temperaturintervallet, hvor begge størrelser er målt, og fordi teorier [7.2.5, 7.2.6] knytter den dielektriske relaxations-tid  $\tau_d(T)$  til  $\gamma(T)$ .

7.3 Relaxationsdelen af varmefylden sammenlignet med relaxationsdelen af kompressibiliteten ved temperatur/tids transformation over 9 dekader

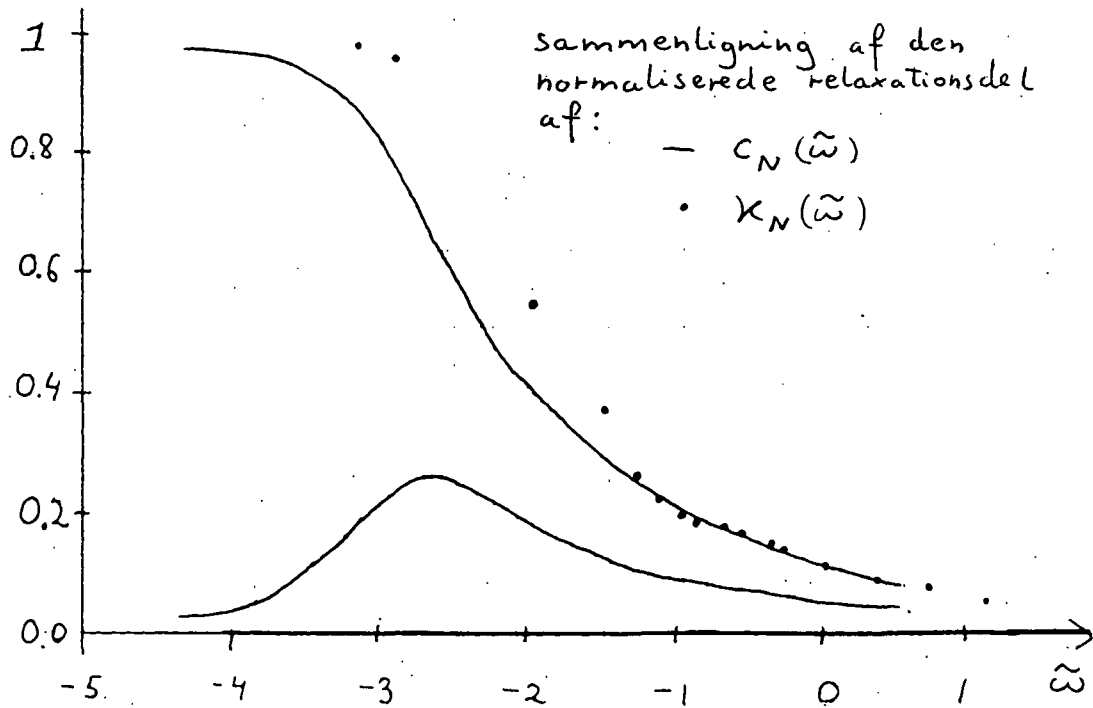
I afsnit 1.3 så vi (fig. 1.2.11), at den normaliserede relaxationsdel af kompressibiliteten i højfrekvensgrænsen var

$$(7.3.1) \quad \chi_N(\omega) \rightarrow (-i\omega)^{-\beta}$$

med  $\beta = 0,27 (\pm 0,02)$ , altså samme eksponent som vi har fundet for  $c_N(\omega)$ . Dette tyder på en nær sammenhæng mellem disse to susceptibiliteter.

På fig. 7.3.1 er vist  $c_N(\omega)$  som en glat kurve trukket gennem masterkurvens punkter graf 6.2.5. På samme fig. er indtegnet punkterne  $\chi_N(\tilde{\omega})$  fra fig. 1.2.10. Der ses en nøje overensstemmelse i det højfrekvente område. Læg mærke til, at  $c_N(\omega)$  er målt ved frekvenser  $10^9$  gange lavere end  $\chi_N(\tilde{\omega})$ .

fig. 7.3.1



Som nævnt side 1.2.12 angiver Piccirelli at  $\chi_N = 0,26$  ved  $\omega = 2\pi \cdot 22\text{MHz} = 138\text{MHz}$  og  $T = -18^\circ\text{C} = 255\text{K}$ . Jeg finder ved  $T = 184,2\text{K}$ , hvor masterkurven kan afleses absolut, at  $c_N = 0,26$  ved  $\omega = 5,2 \cdot 10^{-2}\text{Hz}$ . Forholdet mellem de to frekvenser er

$$\frac{\omega_{\text{termisk}}(T=184,2\text{K})}{\omega_{\text{ydl}}(T=255\text{K})} = \frac{138 \cdot 10^6}{5,2 \cdot 10^{-2}} = \underline{2,6 \cdot 10^9}$$

Temperatur/tids ækvivalensen ville forudsige

$$\frac{\tau(T_2)}{\tau(T_1)} = \exp \left\{ \alpha \left( \left(\frac{1}{T_2}\right)^3 - \left(\frac{1}{T_1}\right)^3 \right) \right\}$$

eller

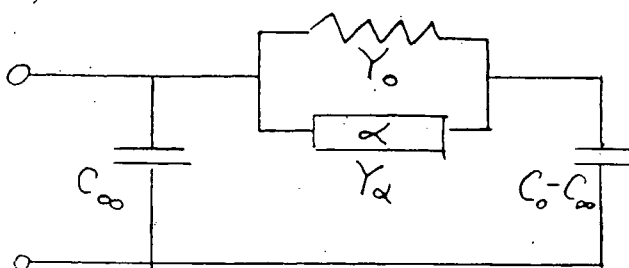
$$\begin{aligned} \frac{\tau(184,2\text{K})}{\tau(255\text{K})} &= \exp \left\{ 2,26 \cdot 10^8 \text{K}^3 \left( \left(\frac{1}{184,2\text{K}}\right)^3 - \left(\frac{1}{255\text{K}}\right)^3 \right) \right\} \\ &= \underline{6,1 \cdot 10^9} \end{aligned}$$

Da temperatur/tid ækvivalensen giver den rigtige transformation over 9 dekader inden for en faktor 2, bestyrkes vi yderligere i, at opførslen af  $c_N(\omega)$  og  $\chi_N(\omega)$  har en fælles fysisk forklaring.

#### 7.4 Opstilling af analogmodel, der fitter til data

I afsnit 1.3 opstillede vi en elektrisk analogmodel fig. 1.3.6 til beskrivelse af glasovergangen. Vi kan nu forbedre modellen i den lineære grænse med modellen fig 7.4.1

fig. 7.4.1



Vi beholder DC-elementer fra modellen fig. 1.3.6, men angiver det blot ved admittansen  $Y_o(T) = 1/R(T)$ .

$$(7.4.1) \quad \gamma(T) = \frac{C_o - C_\infty}{Y_o(T)}$$

er funktionen, der angiver forskydningsloven for temperatur/tid transformationen.

Vi har fundet en varmefylderelaxation, der fulgte en potenslov for høje frekvenser. Dette modelleres nu ved at lade det element, der transporterer energien fra de hurtige til de langsomme frihedsgrader have en frekvensafhængig del  $Y_\alpha$ . For at temperatur/tid ækvivalensen kan være opfyldt må  $Y_\alpha$  kun afhænge af  $T$  gennem  $\gamma(T)$  ligesom  $Y_o$ , dvs.

1  $\frac{1}{Y_o(T)}$  ville være bulkviskositeten, som vi definerede den i (1.2.22), hvis modellen fig. 7.4.1 benyttes for kompressibiliteten: erstat  $C_\infty \sim \chi_\infty$ ,  $C_o \sim \chi_o$ .

$$(7.4.2) \quad Y_q(\omega, \tau) = q Y_0(\tau) (-i\omega\tau)^\alpha$$

hvor  $q$  er et dimensionsløst tal,  $\alpha > 0$ . Nu bliver

$$(7.4.3) \quad Y_0(\tau) + Y_q(\omega, \tau) = Y_0(\tau) (1 + q (-i\omega\tau)^\alpha)$$

Den totale admittansfunktion bliver

$$(7.4.4) \quad Y(\omega) = -i\omega C_\infty + \frac{1}{Y_0(\tau)(1 + q(-i\omega\tau)^\alpha)} + \frac{1}{-i\omega(C_0 - C_\infty)}$$

Den frekvensafhængige varmefylde  $c(\omega)$  er det samme som krybefunktionen  $J(\omega) = \frac{Y(\omega)}{-i\omega}$ . Den normaliserede varmefylde  $c_N(\omega)$  bliver da

$$(7.4.5) \quad c_N(\omega) = \frac{\frac{Y(\omega)}{-i\omega} - C_\infty}{C_0 - C_\infty} = \frac{1 + q(-i\omega\tau)^\alpha}{1 + (-i\omega\tau) + q(-i\omega\tau)^\alpha}$$

For  $\omega\tau \rightarrow \infty$  vil  $-i\omega\tau$  dominere i tælleren (for  $\alpha < 1$ ) så  $c_N(\omega) \rightarrow q(-i\omega\tau)^\beta$ , hvor  $\beta = 1 - \alpha$ .

For  $\omega\tau \rightarrow 0$  vil  $c_N(\omega) \rightarrow 1 + q(-i\omega\tau)^\alpha - ((-i\omega\tau) + q(-i\omega\tau)^\alpha) = 1 - (-i\omega\tau)$ . Altså et cut off som en enkeltrelaxationstidsmodel.

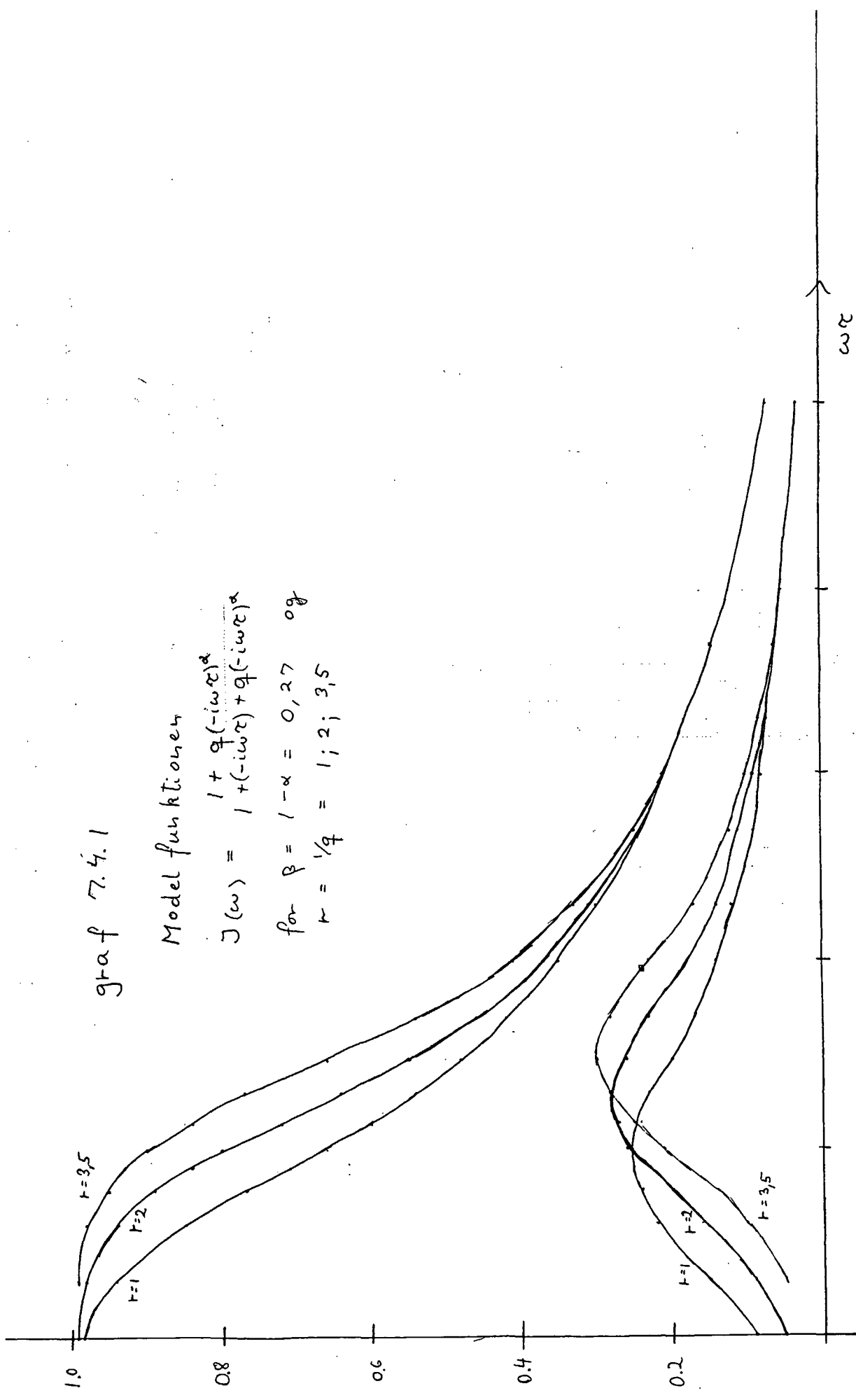
På graf 7.4.1 er denne funktion vist for  $1/q$  hhv. 1; 2; 3,5 og  $\beta = 0,27$ . Funktionen for  $1/q = 2$  er indtegnet på graf 7.4.2 sammen med punkterne, der udgjorde masterkurven graf 6.2.4. Det ses at funktionen fitter godt til data.

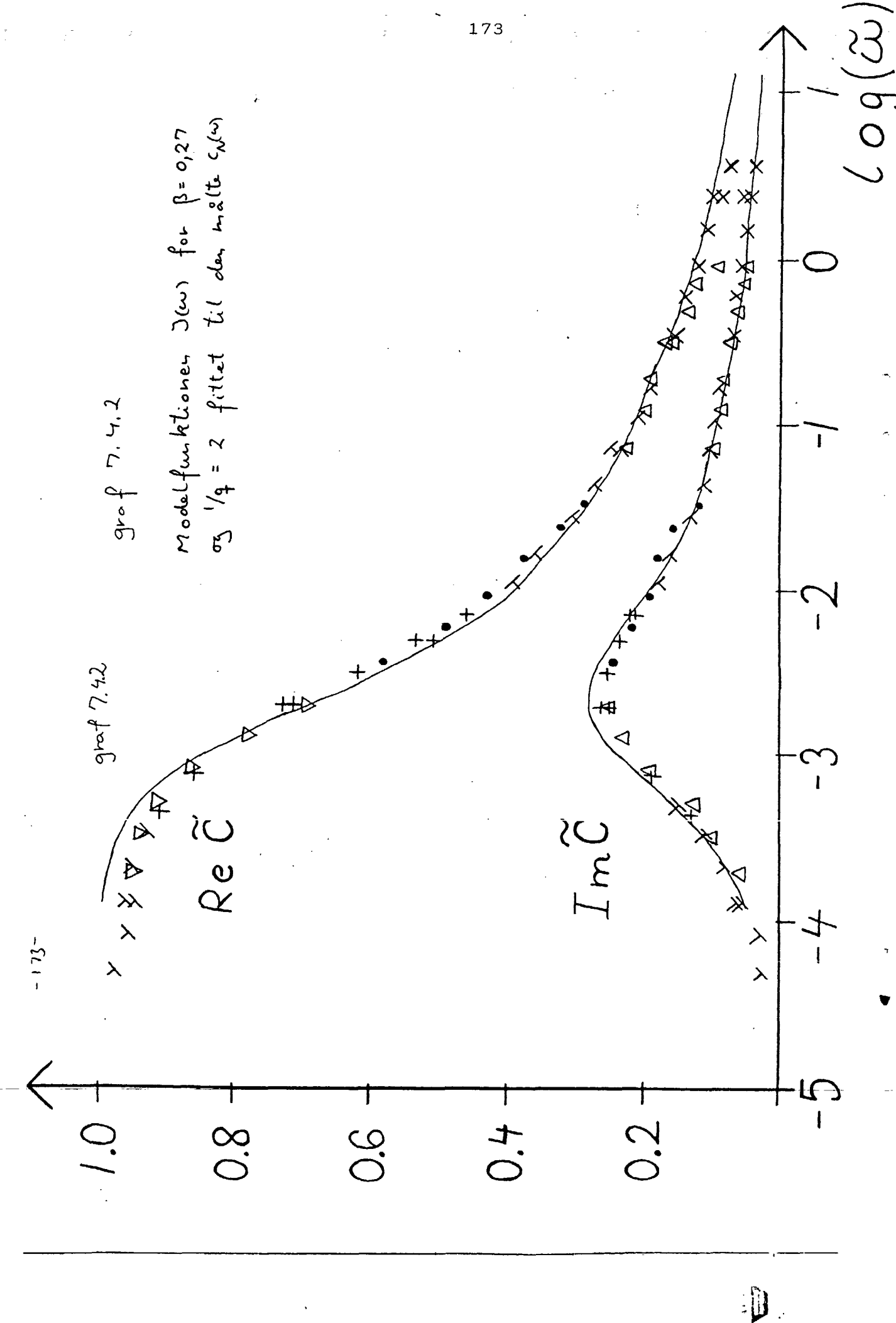
graf 7.4.1

Model funktioner

$$J(\omega) = \frac{1 + q(-i\omega)^{\alpha}}{1 + (-i\omega)^{\alpha} + q(-i\omega)^{\alpha}}$$

för  $\beta = 1 - \alpha = 0, 27$  och  
 $r = \frac{1}{q} = 1; 2; 3,5$





7.5 Sammenligning med et alternativt eksperiment til bestemmelse af  $c(\omega)$ .

N.O. Birge og S.R. Nagel [7.5.1] har målt  $c(\omega)$  ved en anderledes fremgangsmåde.

En metalfilm på en glasplade er nedskænket i glycerinen og metalfilmen varmes periodisk op med en oscillérende strøm sendt gennem filmen. Derved sendes

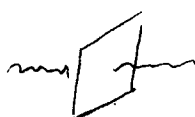


fig. 7.5.1

termiske bølger ud i væsken, fig. 7.5.1. Ved at måle modstanden af metalfilmen kan temperaturen ved denne bestemmes. Da den afsatte varmeeffekt også kendes, kan den termiske admittans  $\gamma(\omega)$  findes. Vi fandt denne responsefunktion i kapitel 3 formel (3.20) :

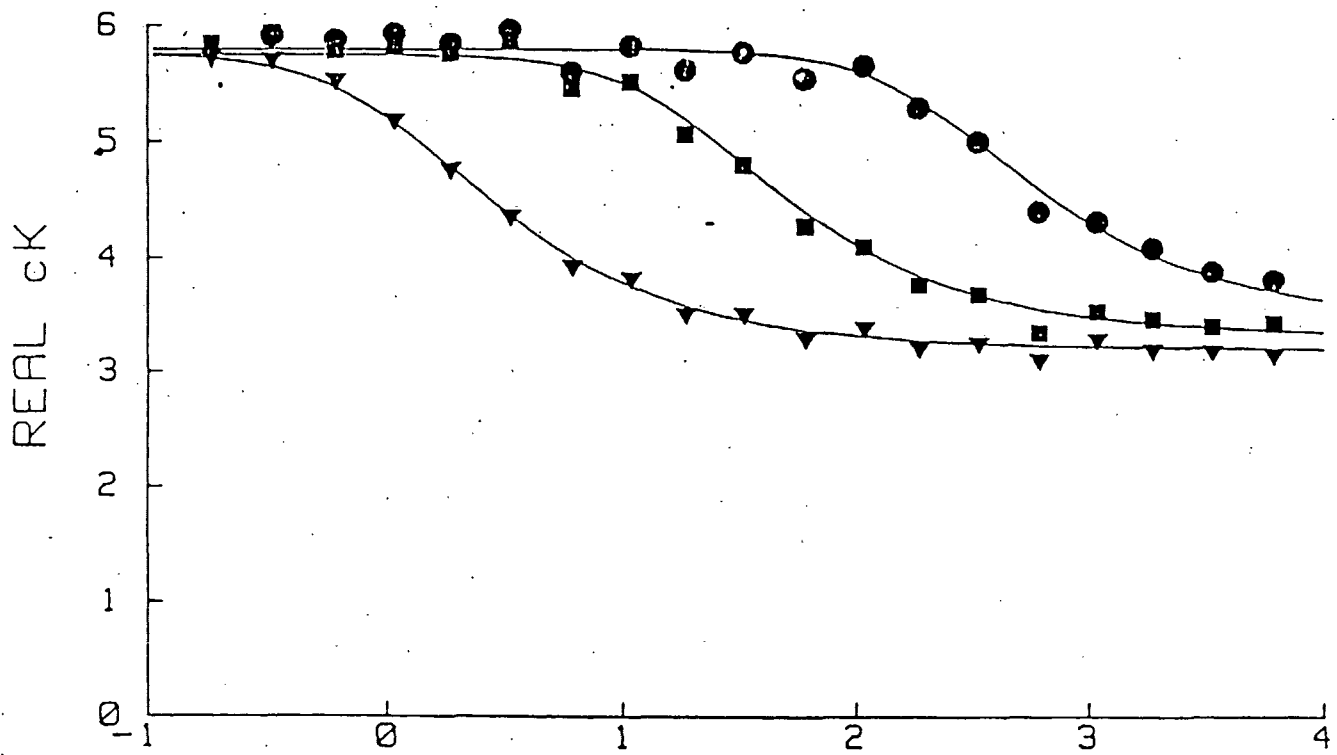
$$(3.20) \quad \gamma(\omega) = \sqrt{(-i\omega) \rho c_p(\omega) \lambda(\omega)}$$

Det fremgår heraf, at det er produktet  $c_p(\omega) \lambda(\omega)$  der kan findes. Birge og Nagel antager  $\lambda(\omega)$  er konstant, således at frekvensafhængigheden alene skyldes den relaxerende varmefylde. I så fald skulle vi få et sammenfald af den normaliserede varmefylde målt i [7.5.1] og vort forsøg.

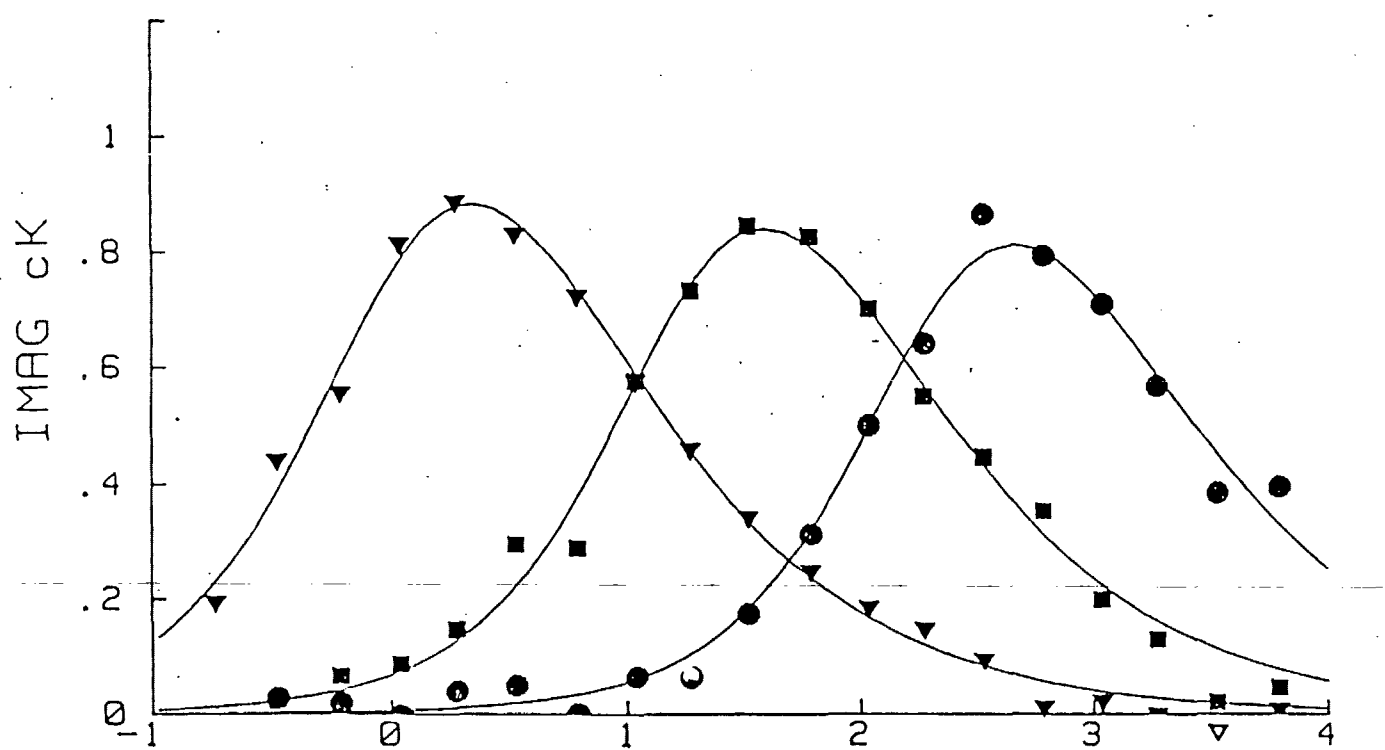
På graf 7.5.1 er kopieret Birge og Nagels resultater. Der måles ved højere frekvenser end ved vort forsøg og temperatur/tidækivalensen ses at gælde, idet Birge og Nagel kan fitte alle normaliserede kurver med samme funktion..

På graf 7.5.2 har jeg sammenlignet de to eksperimenters resultater i et Cole-Cole plot. Der ses

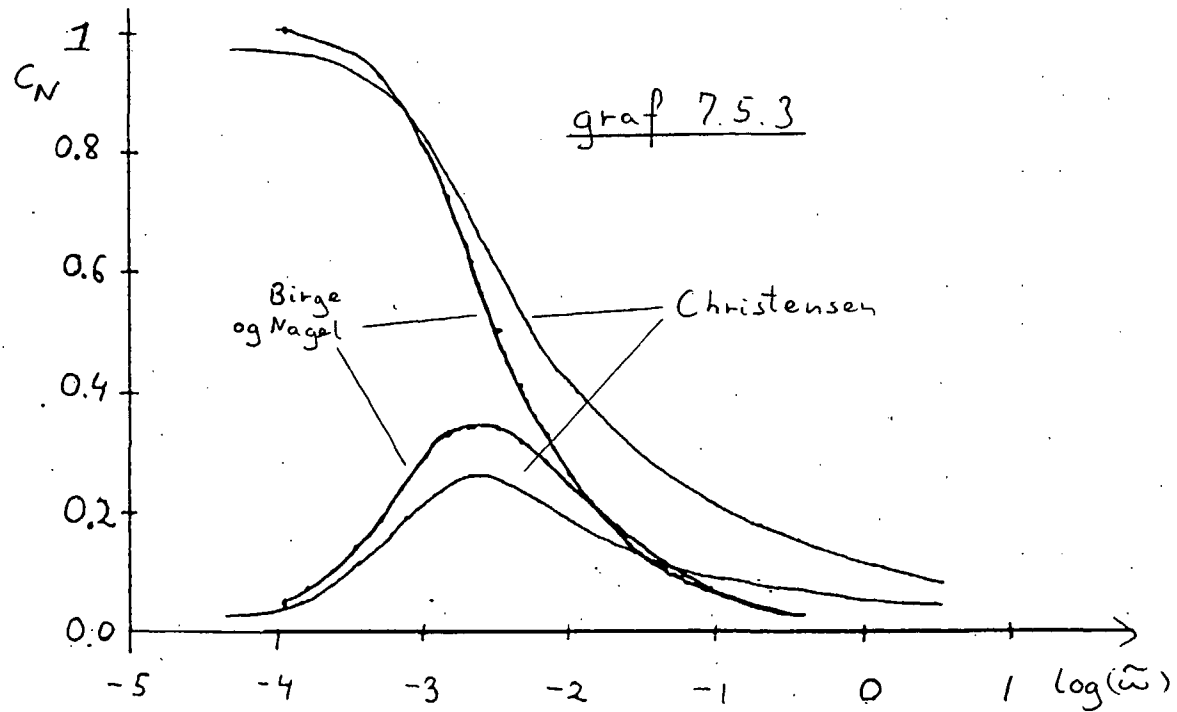
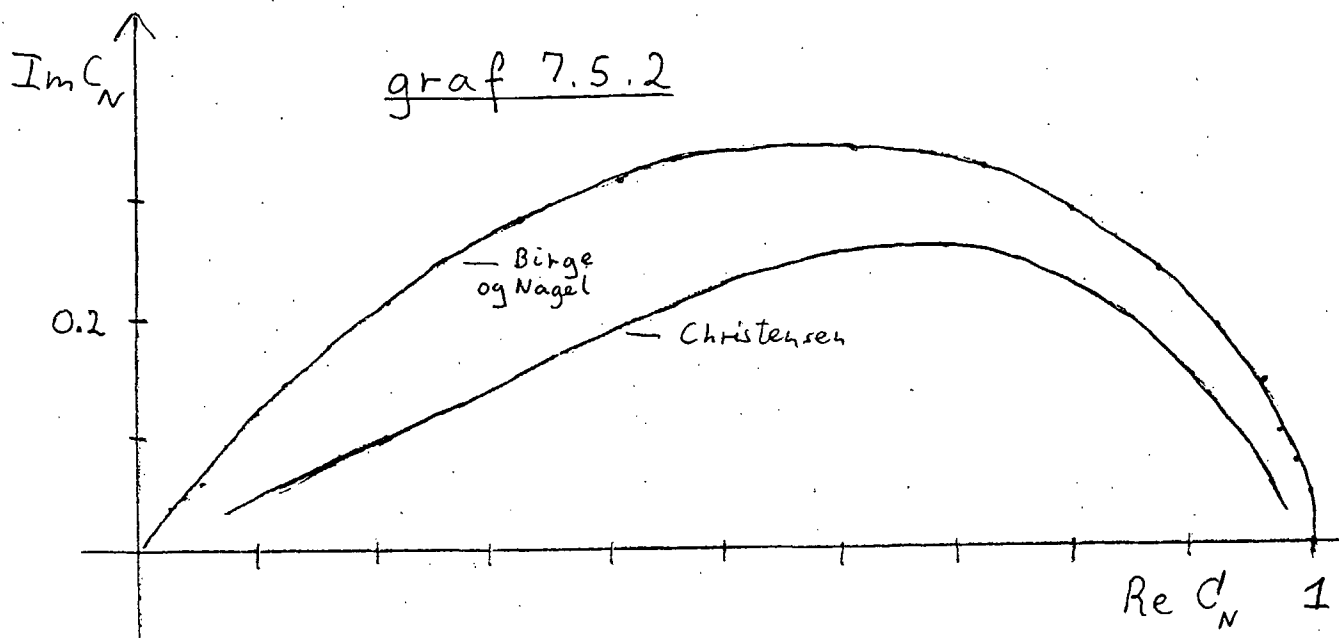
graf 7.5.1



LOG FREQUENCY



LOG FREQUENCY



at være en signifikant uoverensstemmelse. Det samme fremgår af graf 7.5.3, hvor  $Re c$  hhv.  $Im c$  er afbilledet mod  $\log(\omega)$  for de to forsøg.

Det er ikke klart, hvorfra diskrepansen stammer. Birge og Nagel antager, at varmeleddningsevnen ikke udviser dispersion. Dette er ikke udmålt, men der findes målinger, fig 1.3.8 og 1.3.9 af  $\lambda$  i glas og væskefasen. Dersom  $\lambda$  antager forskellige værdier i disse to områder kan vi være sikre på, at der er dispersion i glastransformationsområdet, men som nævnt i afsnit 1.3 har de forskellige eksperimenter givet forskelligt svar på dette. Dersom  $\lambda$  er frekvensafhængig må én af målemetoderne være forkerte. Vi tror naturligvis på vor egen måling uden at det dog er et argument.

Det skal bemærkes, at man skal være påpasselig med dimensioneringen for at det målte response ved forsøget fig. 7.5.1 virkelig skal være givet ved (3.20) Dette kan vi ikke kontrollere, da Birge og Nagel ikke giver detaljerede oplysninger om forsøgsopstillingen.

### 8. Resumé

Indledende er beskrevet hvorledes glasovergangen manifesterer sig i en underafkølet væskes egenskaber, især de viskoelastiske.

I kapitel 2 blev der redegjort for de termodynamiske forhold ved mekanisk og termisk påvirkning af en relaxerende væske og endvidere den lineære responssteori, hvor den generaliserede susceptibilitet (= krybefunktionen) defineredes. Hovedpointen i dette kapitel var tolkningen af imaginærdelen af varmefylden, som værende proportional med entropiproktionen over en periode. Hermed er det etableret, at varmefylden kan betragtes som en generaliseret susceptibilitet fuldstændig på linie med f. eks. kompressibiliteten. Der blev givet en detaljeret beskrivelse af oversættelsen til elektriske netværks analogier (skemaet s. 2.7.3)

I kapitel 3 blev teorien for overføringsmatricen for en éndimensional varmeleder gennemgået. Der var to formål. For det første skulle den benyttes til at opstille en simpel model for det ikke-diabatiske kalorimeter i kap. 4. For det andet kunne vi v.h.a. overføringsmatricen behandle problemet med varmetransport i et medium, hvor både varmefylde og varmeleddningsevne er frekvensafhængige. Heraf udledtes den formel som et alternativt eksperiment [2.6.4] er baseret på.

I kapitel 4 blev den ikke-adiabatiske kalorimetri og AC-teknikken gennemgået. Der blev opstillet en række krav - udtrykt ved diverse tidskonstanter og frekvenser - for at metoden kan anvendes. Et kalorimeter, designet i overensstemmelse med de nævnte krav blev konstrueret.

Dette og den øvrige måleopstilling blev beskrevet

i kapitel 5. Ved at bruge en computer til dataopsamling og foretage en Fourieranalyse kunne varmefylden bestemmes med lille usikkerhed.

I kapitel 6 præsenteredes måledata. Baggrundsadmittansen bestående af  $(-i\omega) \times$  kalorimeterkapaciteten og ydre varmeledning blev bestemt og fratrukket. Pga. det begrænsede eksperimentelle frekvensområde måtte princippet om temperatur-tid ækvivalens benyttes for at konstruere en masterkurve. Principippet er kun eftervist stykvis for  $\frac{1}{2}$  dekade af gangen, men da principippet af eksperimentel erfaring ofte er opfyldt for en lang række egenskaber af underafkølede væsker, antages det også at gælde her. Frekvensafhængigheden havde to karakteristika: et lavfrekvens cut off og en dispersion over mange dekader i det højfrekvente område. Her var  $(C(\omega) - C_\infty) \propto (-i\omega)^{-\beta}$  med  $\beta = 0,27 (\pm 0,02)$ . En elektrisk analogmodel som indeholdt disse karakteristika og som fitter data blev givet.

I kapitel 7 sammenlignedes målingerne med resultaterne fra et alternativt eksperiment [2.6.4]. Som vist i kap. 3 giver dette eksperiment ikke varmefylden direkte, men produktet af varmefylden og varmeledningsevnen. Forfatterne antager imidlertid at varmeledningsevnen ikke udviser dispersion. Dette er dog stadig et åbent spørgsmål. Dersom deres antagelser er korrekte skulle de normaliserede kurver fra de to eksperimenter stemme overens, men de er signifikant forskellige. Der ligger en fremtidig opgave i at afdække denne diskrepans.

Til gengæld giver en sammenligning af måling af den normaliserede varmefylde og kompressibilitet en imponerende overensstemmelse, idet begge har et lavfrekvens cut off og højfrekvens-

afhængigheden  $\frac{(C(\omega) - C_\infty)}{(K(\omega) - K_\infty)} \propto (-i\omega)^{-\beta}$  med samme eksponent

$\beta = 0,27 (\pm 0,02)$ .  $\Upsilon(\omega)$  er bestemt ved frekvenser  $10^9 \times$  højere end de, benyttet til bestemmelse af  $c_p(\omega)$ . Da tidstransformationen, der bringer de to kurver overens, stemmer med viskositetens extrapolede temperaturafhængighed hen over 9 dekader, kan sammenfaldet ikke være nogen tilfældighed. Der findes ingen termodynamiske krav om, at de to susceptibiliteter skal have samme form. Det er en fremtidig opgave dels at undersøge om denne sammenhæng også gælder for andre væsker, dels at opstille en fysisk model til en forklaring.

	Tids respons	$G(t)$
<u>App</u>	Frekvens respons	$\hat{G}(z)$ , $z = i\omega = \omega + i\varepsilon$
<u>2.1</u>	Relaxations tids spektrum	$H(z)$

Lad  $G(t)$  være en dimensionsløs normeret respons funktion med  $G(t=0) = 1$  og  $G(t=\infty) = 0$

Relaksations tids spektret  $H(\tau)$  defineres ved

$$G(t) = \int_0^\infty H(\tau) e^{-t/\tau} d\tau$$

a) Sættes  $s = \frac{1}{\tau}$ ,  $d\tau = -\frac{1}{s^2} ds$ ,  $L(s) = \frac{1}{s^2} H\left(\frac{1}{s}\right)$  bliver

$$G(t) = \int_0^\infty L(s) e^{-st} ds$$

$G(t)$  er altså den Laplace transformerede af  $L(s)$

b) Den omvendte vej: fra frekvensspektrum til relaxations tidsfodeling:

$$\begin{aligned} \text{Pr. definition er } \hat{G}(z) &\equiv \tilde{G}(s) \equiv s \mathcal{L}\{G(t), s\} \\ &= s \int_0^\infty G(t) e^{-st} dt = s \int_0^\infty \left\{ \int_0^\infty H(\tau) e^{-t/\tau} d\tau \right\} e^{-st} dt \\ &= s \int_0^\infty \left\{ \int_0^\infty H(\tau) e^{-t(\frac{1}{\tau}+s)} d\tau \right\} d\tau \\ &= s \int_0^\infty H(\tau) \left[ \frac{-1}{\frac{1}{\tau}+s} e^{-t(\frac{1}{\tau}+s)} \right]_{t=0}^{t=\infty} d\tau \\ &= s \int_0^\infty H(\tau) \frac{1}{\frac{1}{\tau}+s} d\tau = s \int_0^\infty \frac{H(\tau) \cdot \tau}{1+s\tau} d\tau \\ &= -iz \int_0^\infty \frac{H(\tau) \cdot \tau}{1-i\omega\tau} d\tau = -i\omega \int_0^\infty \frac{H(\tau) \cdot \tau}{1-i\omega\tau} d\tau \end{aligned}$$

Normalt tænker vi på  $\hat{G}(z)$  som funktion af en reel Fourier frekvens  $\omega$  ( $z = \omega + i\varepsilon$  hvor  $\varepsilon = 0$ )  
 Kikken vi istedet på den <sup>negative</sup> imaginære aksse dvs.

eller  $s = -iz = -v + i\delta$  finder man

$$\begin{aligned}\hat{G}(z) &= s \int_0^\infty \frac{H(\tau) \tau}{1+s\tau} d\tau = (-v + i\delta) \int_0^\infty \frac{H(\tau) \tau}{1-v\tau + i\delta\tau} d\tau \\ &= (-v + i\delta) \int_0^\infty H(\tau) \tau \frac{1-v\tau - i\delta\tau}{(1-v\tau)^2 + (\delta\tau)^2} d\tau \\ &= (-v + i\delta) \int_0^\infty H(\tau) \frac{\frac{1}{\tau} - v - i\delta}{(\frac{1}{\tau} - v)^2 + \delta^2} d\tau\end{aligned}$$

Imaginær-delen af  $\hat{G}(z)$  på den negative imaginære  
akse ( $\delta \rightarrow 0^+$ ) bliver da

$$\begin{aligned}\text{Im } \hat{G}(z) &= \int_0^\infty H(\tau) \frac{1}{\tau} \frac{\delta}{(\frac{1}{\tau} - v)^2 + \delta^2} d\tau \\ &= \int_0^\infty H(\tau) \frac{1}{\tau} \delta \left(\frac{1}{\tau} - v\right) d\tau\end{aligned}$$

$$\text{idet } \lim_{\delta \rightarrow 0^+} \frac{\delta}{(x-v)^2 + \delta^2} = \pi \delta(x-v)$$

$$\begin{aligned}\text{Endvidere er } \delta(\varphi(x) - a) &= \frac{1}{|\varphi'(a)|} \delta(x-a) \text{ hvis } \varphi(a) = a \\ \text{d.v.s } \delta\left(\frac{1}{\tau} - v\right) &= \frac{1}{|-\frac{1}{\tau^2}|} \delta\left(\tau - \frac{1}{v}\right) = \frac{1}{v^2} \delta\left(\tau - \frac{1}{v}\right)\end{aligned}$$

Så nu bliver

$$\text{Im } \hat{G}(z) = \pi \int_0^\infty H(\tau) \frac{1}{\tau} \frac{1}{v^2} \delta\left(\tau - \frac{1}{v}\right) d\tau = \frac{\pi}{v^2} H\left(\frac{1}{v}\right)$$

Kalder vi nu  $\tau = \frac{1}{v}$  har vi altså

$$H(\tau) = \frac{1}{\pi\tau} \lim_{\delta \rightarrow 0^+} \text{Im } \hat{G}(z = -i\frac{1}{\tau} - \delta)$$

Relaksationsstidspektrum er givet ved  $\frac{1}{\pi\tau}$  gange Imaginær  
delen af frekvensresponsfunktionen på den negative  
imaginære frekvensakse

## App 5.1.1 Bygning af kalorimeteret

1

Det er ikke simpelt, at bygge et kalorimeter, der er så lille (udviklingen af det tog flere uger). For at videre-give erfaringen skal fremgangsmåden kort skitseres.

Først blev der udtænkt et hjælpeinstrument, en viklelærer (fig. 1). Det er en hul cylinder med et skaft, der kan op-sættes i en boremaskines borepatron.

På denne kan en kobbertråd vikles til en spole. Viklelæ-reren blev fremstillet i 3 eksemplarer med ydre diametre 12 mm, 12,6 mm og 13 mm. Der er 4 slidser i cylinderens hule del således, at beviklingen kan tages af cylinderen ved at presse dens 4 flanger sammen. En prop sørger for at disse ikke presses sammen under opviklingen. Endvidere vikles der ikke direkte på messingoverfladen, men på et lag Teflon tape, der er sat uden om viklelæreren. Dette har to formål, dels kan diameteren finjusteres (tapens tyk-kelse 0,1 mm) , dels har Teflon en meget lille friktions-koefficient, så den færdige spole er forholdsvis let at tage af. Lim hæfter heller ikke på det.

For den indre spoles vedkommende blev først kobbertrå-den viklet forsigtigt (0,05 mm Cu-tråd knækker meget let) uden på den Teflonbelagte cylinderoverflade i 8 mm's bredde. Disse blev sammenlimet med en meget tyndtflydende og hurtigtørrende tokomponent lim. Dernæst blev 8mm bredt og 0,06 mm tykt Al-folie limet uden på kobberviklingerne. Al-foliet var forsynet med 8 snipper (fig. 5.1.3). Denne inderste væg i kalorimeteret blev taget af viklelæreren og de 8 snipper foldet 90° ind mod centrum og fastlimet en Al-skive af 0,06 mm folie med 12 mm diameter.

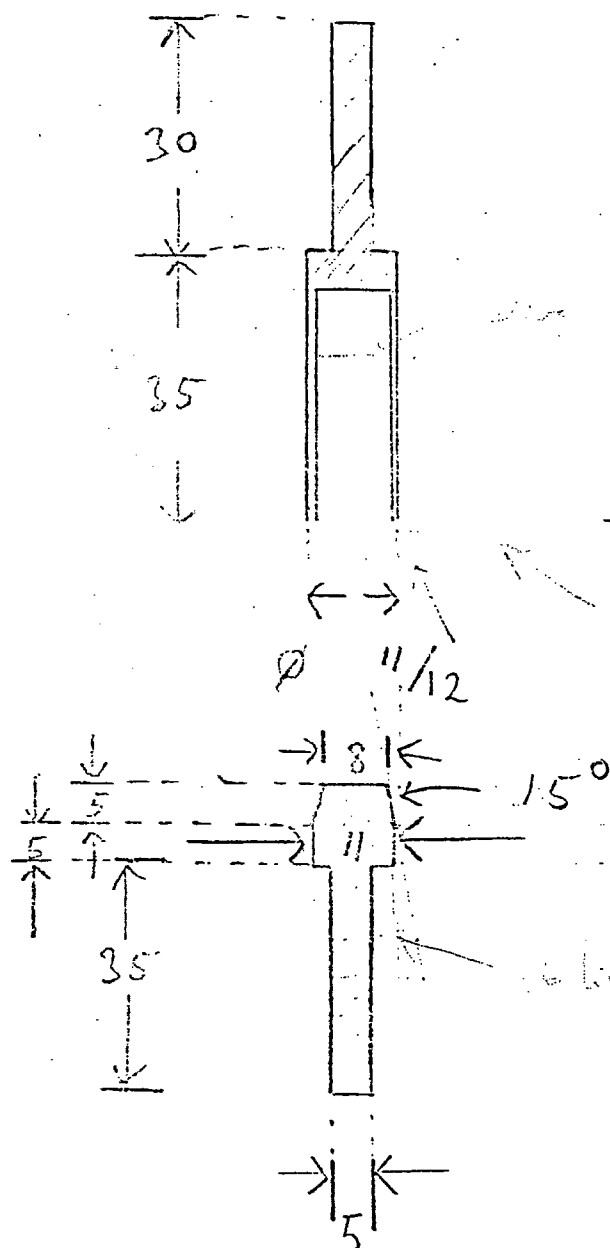
For den yderste vægs vedkommende gik jeg frem i modsat rækkefølge. Først blev der lagt Al-folie uden på den Tef-lonbelagte cylinderoverflade i 8 mm's bredde. Dernæst vikledes 0,05 mm Cu-tråd uden på. Al-folie og Cu-tråde sammenlimedes og den færdige ydre væg blev taget af vikle-læreren.

Efter et par forsøg havde jeg en inder- og ydervæg med 0,3 mm forskel mellem hhv. ydre og indre diameter.

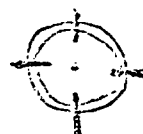
To lag Teflontape med klistersiderne vendt mod hinanden blev formet til en cylinder, der lige præcis kunne smyges imellem de to cylindre. På den nederste  $\frac{1}{2}$  mm var der ingen tape og dette mellemrum fyldtes med tyktflydende epoxylim (Araldit). Teflon-tapens funktion var at holde de to cylindre på plads under styrkningen, samt sørge for at limen ikke trængte længere op i beholderen. Efter styrkningen kunne Teflonlaget fjernes, og kalorimeteret var færdigt efter montering af tilledninger (se fig. 5.1.2).

3 "rikke lører" med forskellig diameter

smit



bund:



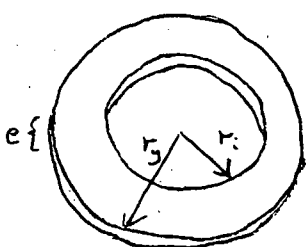
4 slidsen i den hule del

### Appendix 5.1.2

Overføringsmatricen for radiel varmeledning på cirkel i lavfrekvensgrænsen

Lad et materiale med specifik varmeledningsevne  $\lambda$ , specifik varmefylde  $C_p$  og massefylde  $\rho$  være udformet som en cirkelskive med indre radius  $r_i$  og ydre radius  $r_o$  samt tykkelse  $e$ , fig.1.

fig.1



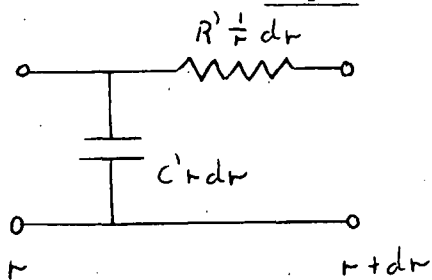
Antag randbetingelserne på  $r_i$  og  $r_o$  uafhængige af azimuthalvinklen, således at varmestrømmene løber radielt. Problemet er da essentielt én-dimensionalt og kan behandles med en overføringsmatrix  $A(r_i, r_o)$ , der angiver  $(\vec{J})_{(r_i)}^T = A(r_i, r_o) (\vec{J})_{(r_o)}$ .

Den differentielle overføringsmatrix bliver  $r$ -afhængig

$$(1) \quad dA(r) = \begin{pmatrix} 1 & -R' \frac{1}{r} dr \\ i\omega C' r dr & 1 \end{pmatrix}$$

idet modstanden af laget  $(r, r+dr)$  bliver  $dR(r) = \frac{1}{\lambda e 2\pi} \frac{1}{r} dr$   
 $= R' \frac{1}{r} dr$  og kapaciteten bliver  $dC(r) = C_p \rho e 2\pi r dr = C' r dr$   
 fig.2. Diffusionskonstanten bliver  $D = \frac{1}{R' C'}$

fig.2



$$R' = \frac{1}{\lambda e 2\pi}$$

$$R' C' = \frac{C_p \rho}{\lambda} = \frac{1}{D}$$

$$C' = C_p \rho e 2\pi$$

Der må gælde funktionalligningen

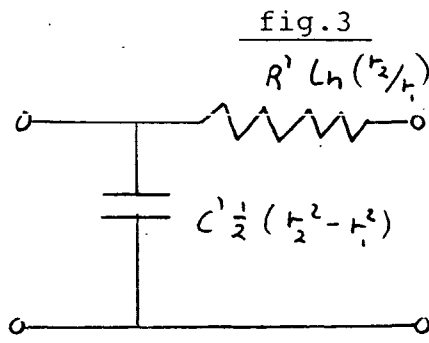
$$(2) \underline{A}(r_3, r_i) = \underline{A}(r_i, r_2) \underline{A}(r_2, r_3)$$

$$\text{for } r_i \leq r_i \leq r_2 \leq r_3 \leq r_y$$

Ved brug af (1) og (2) føres vi ligesom i kap 3 til en differentialligning, der bestemmer  $\underline{A}$ , nu blot en kompleks Besseldifferentialligning. Imidlertid skal vi kun bruge løsningen i lavfrekvensgrænsen. Derfor ønsker vi at finde betingelsen for, at vi blot kan "klumpe" modstandene sammen i én modstand og kapaciteterne sammen i én kapacitet, så

$$(3) A_a(r_2, r_i) = \begin{pmatrix} 1 & -R' \ln\left(\frac{r_2}{r_i}\right) \\ i\omega C' \frac{1}{2}(r_2^2 - r_i^2) & 1 \end{pmatrix}$$

hvør index  $a$  angiver, at  $A_a$  er en approximation, se fig.3.



$A(r_2, r_i)$  i lavfrekvensgrænsen

$$\frac{\omega}{D} \frac{1}{2}(r_y^2 - r_i^2) \ln\left(\frac{r_y}{r_i}\right) \ll 1$$

$$r_i \leq r_i \leq r_2 \leq r_y$$

En udregning giver

$$(4) \quad A_a(r_3, r_2) A_a(r_2, r_1) = \\ \begin{pmatrix} 1 + \ln\left(\frac{r_3}{r_2}\right) \frac{1}{2}(r_2^2 - r_1^2) \frac{i\omega}{D} & -R' \ln\left(\frac{r_3}{r_1}\right) \\ i\omega C' \frac{1}{2}(r_3^2 - r_1^2) & 1 + \ln\left(\frac{r_2}{r_1}\right) \frac{1}{2}(r_3^2 - r_2^2) \frac{i\omega}{D} \end{pmatrix}$$

$\underline{A}_a$  opfylder altså funktionalligningen sålænge  
 $|\ln\left(\frac{r_3}{r_2}\right) \frac{1}{2}(r_2^2 - r_1^2) \frac{i\omega}{D}| \ll 1$ ,  $|\ln\left(\frac{r_2}{r_1}\right) \frac{1}{2}(r_3^2 - r_2^2) \frac{i\omega}{D}| \ll 1$   
 Begge led kan vurderes opad, således at betingelsen  
 opfyldes overalt på skiven :

$$(5) \quad \ln\left(\frac{r_3}{r_1}\right) \frac{1}{2}(r_2^2 - r_1^2) \frac{\omega}{D} \ll 1$$

eller for  $r_3 \gg r_1$  blot

$$(6) \quad \frac{\omega}{D} \frac{1}{2} r_2^2 \ln\left(\frac{r_3}{r_1}\right) \ll 1$$

$\underline{A}_a$  er den korrekte approximation til  $\underline{A}$  i denne  
 grænse, idet  $\underline{A}_a$  opfylder funktionalligningen og  
 stemmer overens med det differentielle udtryk  $d\underline{A}_a(r) = d\underline{A}(r)$

## Appendix 5.1.3

Øvrige fysiske egenskaber af kalorimeteret (overslag)

Massen  $m_{Cu}$  af de to kobberviklinger vurderedes ud fra modstanden af ydre og indre tråd  $38\text{J} + 48\text{J} = 86\text{J}$ .

Med en diameter  $d_{Cu} = 0,05 \text{ mm}$ , specifik elektrisk modstand  $\rho_{el} = 17 \cdot 10^{-9} \Omega \text{ m}$  og længde  $l_{Cu}$  er  $R_{el} = \rho_{el} \frac{4 l_{Cu}}{\pi d_{Cu}^2}$  og dermed  $l_{Cu} = \frac{\pi}{4} d_{Cu}^2 R_{el} \frac{1}{\rho_{el}}$  hvorved massen bliver

$$m_{Cu} = \rho_{Cu} \frac{\pi^2}{16} (d_{Cu})^4 R_{el} \frac{1}{\rho_{el}} = 174 \text{ mg}$$

varmefylden

$$C_{Cu} = C_p m_{Cu} = 67 \text{ mJ/K}$$

Massen  $m_{Al,1}$  af Al-væggene

$$m_{Al,1} = 2\pi d h e g = 2\pi \cdot 12 \cdot 10^{-3} \cdot 8 \cdot 10^{-3} \cdot 6 \cdot 10^{-5} \cdot 2,70 \cdot 10^3 = 98 \text{ mg}$$

Massen  $m_{Al,2}$  af Al-skiven

$$m_{Al,2} = \frac{\pi}{4} d^2 (2e) g = \frac{\pi}{4} (12 \cdot 10^{-3})^2 \cdot 1,2 \cdot 10^{-4} \cdot 2,7 \cdot 10^3 \\ = 37 \text{ mg}$$

Ialt  $m_{Al} = m_{Al,1} + m_{Al,2} = 135 \text{ mg}$

varmefylden  $C_{Al} = C_p m_{Al} = 135 \text{ mg}$

$$m_{Cu} + m_{Al} = 309 \text{ mg}$$

Det tomme kalorimeter vejede  $m_{kal,0} = 481 \text{ mg}$

så lim o.a. har massen  $481 - 309 = 172 \text{ mg}$

med en tilhørende varmekapacitet ca.  $170 \text{ mJ/K}$

Den totale varmefylden forventes da til

$$C_{kal,0} = C_{Cu} + C_{Al} + C_{kal} = 67 + 135 + 170 = 370 \text{ mJ/K}$$

Den forventede masse af glycerinen bliver

$$m_{glyc} = g \pi d h l = 1,26 \cdot 10^3 \pi 12 \cdot 10^{-3} 8 \cdot 10^{-3} \cdot 3 \cdot 10^{-4} = 114 \text{ mg}$$

og dermed varmefylden

$$c_{glyc} = c_p m = 2,43 \cdot 10^3 \cdot 114 \cdot 10^{-6} = 277 \text{ mJ/K}$$

Det fyldte kalorimeter vejede 609 mg, så den rent faktiske mængde glycerin var

$$m_{glyc}^{målt} = 609 \text{ mg} - 481 \text{ mg} = 128 \text{ mg}$$

Den samlede varmekapacitet forventes altså at blive af størrelsen

$$C_{total} = 650 \text{ mJ/K}$$

Endvidere har kalorimeter og sample en varmekapacitet af samme størrelse

### Appendix 5.1.4

#### Bidraget fra restgassen til den totale varmeledningsevne

Simpel kinetisk gasteori giver den specifikke varmeledningsevne

$$(1) \quad \lambda = \frac{1}{3} \langle v \rangle \ell \rho c_v$$

hvor

a)  $\langle v \rangle = \sqrt{\frac{8 \cdot k \cdot T}{\pi \cdot m}}$  er middelhastigheden af molekylerne (Maxwellfordeling). Ved  $20^\circ C$  er  $\langle v \rangle = \sqrt{\frac{8 \cdot R \cdot T}{\pi \cdot M}}$   
 $= \sqrt{\frac{8 \cdot 8,31 \text{ J mol}^{-1} \text{ K}^{-1} \cdot 293 \text{ K}}{\pi \cdot 28,96 \cdot 10^{-3} \text{ kg mol}^{-1}}} = 463 \text{ m/s}$  for atm. luft

b)  $\ell = \frac{1}{h \sigma}$  er den frie middelvejlængde givet ved tværnittet  $\sigma$  og partikkeltætheden  $h = \frac{N}{V}$

c)  $\rho = h m = \frac{M p}{R T}$  er massetætheden (tilstandsalign.)

d)  $c_v = \frac{5}{2} \frac{R}{m} = 7,17 \text{ J kg}^{-1} \text{ K}^{-1}$  den specifikke varmefylde af en to-atomig gas

Formel (1) gælder så længe middelvejlængden er meget mindre end beholderdimensionerne  $d$ . I dette område ( $\ell \ll d$ ) ses  $\lambda$  at være uafhængig af tætheden og dermed trykket (tilstandsaligningen  $\rho = \frac{P \cdot M}{R \cdot T}$ ) idet  $\ell$  er omvendt proportional med  $\rho$ .

Når vi pumper samplerummets lufttomt opnår vi altså til at begynde med kun at fjerne eventuelle konvektive bidrag til varmeledningsevnen. Først når trykket er så lavt, at vi er i Knudsenområdet:  $\ell \gg d$  falder  $\lambda$  proportionalt med  $\rho$  idet  $\ell$  i formel (1) nu skal erstattes af den faste længde  $d$ .

Vi kan skrive (1)

$$(2) \lambda = \frac{5}{6} \langle v \rangle \ell \frac{P}{T} \Rightarrow P = 1,2 \frac{\lambda T}{\langle v \rangle \ell}$$

Ved  $20^\circ C$  er  $\lambda_{luft} = 0,026 \text{ W/m/K}$  (tabel). Trykket  $P_{Kn}$  hvor Knudsenområdet nås er da for  $\ell = d = \text{typisk } 10^{-2} \text{ m}$  d.v.s

$$P_{Kn} = 1,2 \frac{0,026 \cdot 293}{463 \cdot 10^{-2}} = 1,97 \text{ Pa} = 1,5 \cdot 10^{-2} \text{ torr}$$

Med diffusionspumpen kan vi komme ned til  $2 \cdot 10^{-5}$  torr målt ved stuetemperatur. Da  $\frac{P}{T} = \text{konstant i Knudsenområdet og } \langle v \rangle \propto \sqrt{T}$  d.v.s  $\lambda \propto \frac{P}{T}$  i Knudsenområdet, ser vi, at det er ligemeget om vi beregner  $\lambda$  oppe ved manometeret ved stuetemperatur eller ned ved samplet; men vi skal altså i formel (2) benytte stuetemperatur for  $T$ , da  $P$  måles ved denne temperatur. Varmeledningsevnen bliver nu

$$\Lambda = \lambda \frac{A}{d} = \frac{5}{6} \langle v \rangle d \frac{P}{T} \frac{A}{d} = \frac{5}{6} \langle v \rangle \frac{P}{T} A$$

$A$  er et typisk tværnitsareal  $A = 10^{-4} \text{ m}^2$

$$\text{dvs } \Lambda = \frac{5}{6} \cdot 463 \text{ m/s} \frac{2 \cdot 10^{-5} \cdot 133 \text{ Pa}}{293 \text{ K}} 10^{-4} \text{ m}^2 = 3,5 \cdot 10^{-7} \text{ W/K}$$

$$\approx 0,5 \mu \text{W/K}$$

Konklusion: Ved  $2 \cdot 10^{-5}$  torr kan vi se bort fra restgasens varmeledning  $\approx \frac{1}{2} \mu \text{W/K}$  sammenlignet med

$$\Lambda = 1 \text{ mW/K}$$

### Appendix 5.1.5

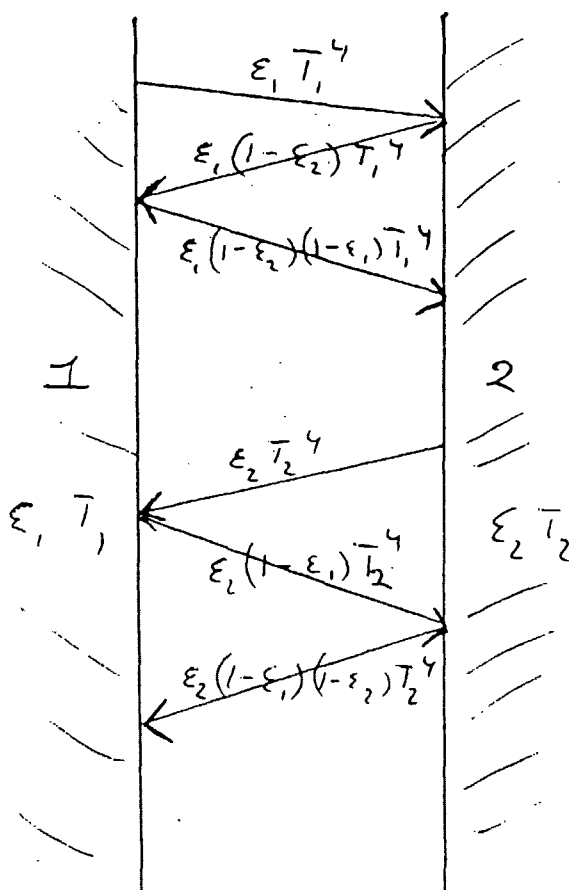
#### Strålingsloven

Stefan-Boltzmanns lov angiver den totale intensitet  $I$  [ $\text{W/m}^2$ ] udsendt fra et sort legeme ved temperaturen  $T$  [ $\text{K}$ ] ved

$$(1) \quad I = \sigma T^4$$

Stefan-Boltzmanns konstant  $\sigma$  bestemmes ud fra Plancks strålingslov [2.5.1, s 162-169]

fig. 1



Den faktisk udsendte stråling fra et stof med emissivitet (udstrålingsevne)  $\epsilon$  bliver  $\epsilon \sigma T^4$ . Ifølge Kirchhoff's lov er emissiviteten  $\epsilon$  lig medabsorptionsevnen  $\alpha$  (den brøkdel af den indfaldende stråling, der absorberes). Da legemerne (metaller) ikke er gennemsinnelige i det frekvensområde, vi taler om bliver reflektiviteten  $\tau = 1 - \alpha$   
 $= 1 - \epsilon$ .

Lad os se på to planparallele flader med samme areal og med temperatur og emissivitet

$$T_1, \epsilon_1 \quad \text{hhv} \quad T_2, \epsilon_2$$

fig.1. De to flader stråler til hinanden og ingen andre steder hen.

Flade 1 udsender  $A\epsilon_1\sigma T_1^4$ , men heraf reflekteres  $A\epsilon_1\sigma T_1^4(1-\epsilon_1)$  fra 2 (genskinnet får jo ikke temperaturen  $T_2$ ). Heraf reflekteres igen  $A\epsilon_2\sigma T_2^4(1-\epsilon_2)(1-\epsilon_1)$  fra 1 o.s.v. Den totale udstråling  $J_{12}(\bar{T})$  med strålingstemperatur  $\bar{T}$  fra 1 bliver da

$$(2) \quad J_{12}(\bar{T}) = A\sigma T_1^4 \epsilon'$$

hvor

$$\begin{aligned} (3) \quad \epsilon' &= \epsilon_1 (1 - (1 - \epsilon_2) + (1 - \epsilon_1)(1 - \epsilon_2) \dots ) \\ &= \epsilon_1 (1 + (1 - \epsilon_1)(1 - \epsilon_2) + \{(1 - \epsilon_1)(1 - \epsilon_2)\}^2 + \dots \\ &\quad - (1 - \epsilon_2)(1 + (1 - \epsilon_1)(1 - \epsilon_2) + \dots)) \\ &= \epsilon_1 \epsilon_2 (1 + (1 - \epsilon_1)(1 - \epsilon_2) + \dots)^2 + \dots \\ &= \epsilon_1 \epsilon_2 \frac{1}{1 - (1 - \epsilon_1)(1 - \epsilon_2)} = \frac{\epsilon_1 \epsilon_2}{\epsilon_1 + \epsilon_2 - \epsilon_1 \epsilon_2} \end{aligned}$$

Fladen 1 modtager et tilsvarende beløb fra flade 2 så den totale varmestrøm fra 1 er

$$(4) \quad J_1 = J_{12}(\bar{T}) - J_{21}(\bar{T}) = A\sigma \frac{\epsilon_1 \epsilon_2}{\epsilon_1 + \epsilon_2 - \epsilon_1 \epsilon_2} (\bar{T}^4 - T_2^4)$$

Dette resultat angives også af White [5.1.1] s. 220.

Vi har ikke helt denne situation i forsøget, idet arealerne ikke er lige store, og det ikke sikkert, at reflektionerne fra kryostatvæggen rammer kalorimeteret direkte, men måske først efter flere reflektioner mod kryostatvæggen

Imidlertid viser eksemplet, hvorledes vi skal argumentere. Strålingen fra kalorimeteret 1 plus minus de multiple genskin af denne stråling vil være proportional med det oprindeligt udsendte  $J_1(T) = k_1 A_1 \epsilon_1 \sigma T_1^4$

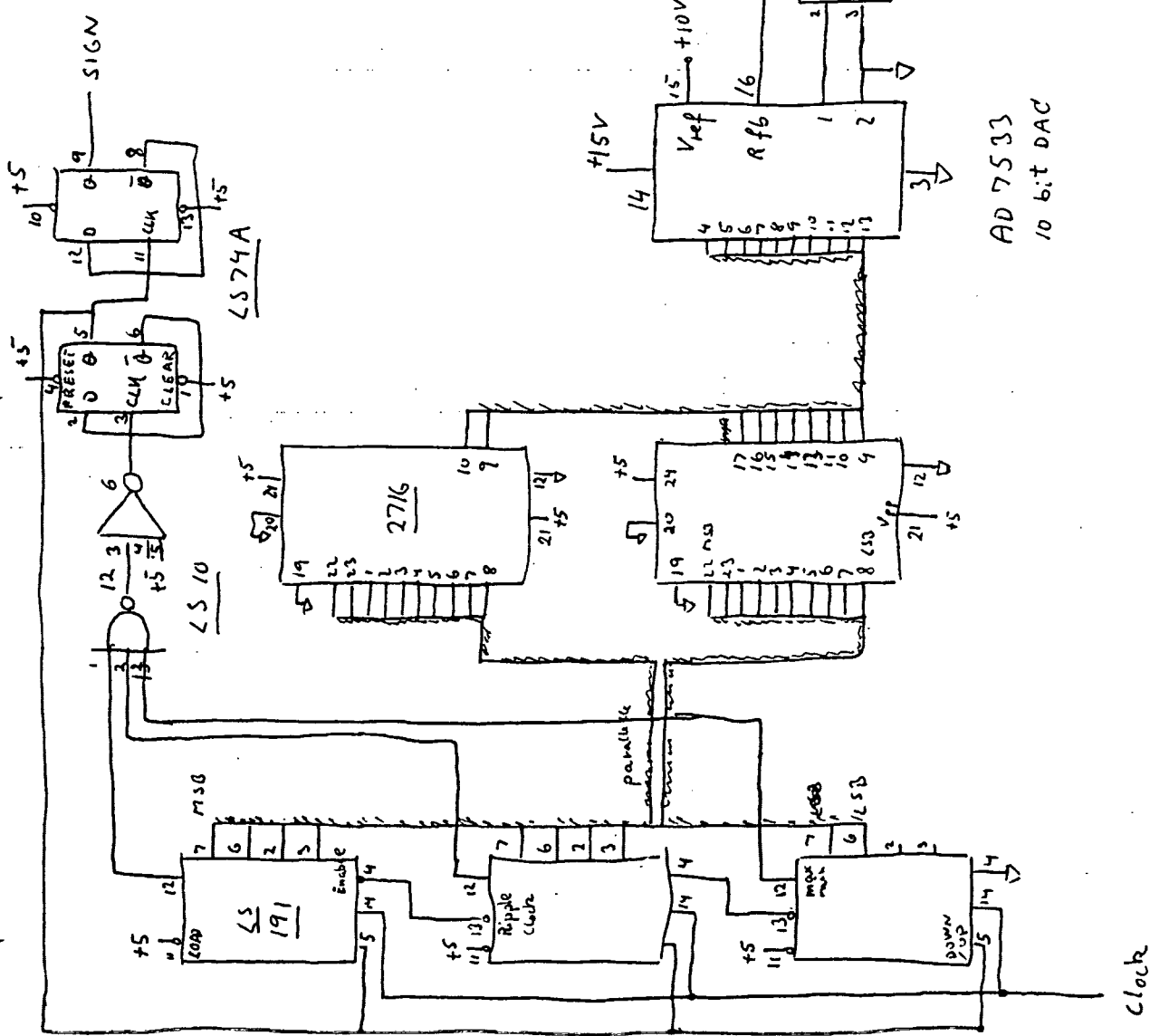
Ligeledes vil den stråling fra kryostatvæggen 2 og dens multiple genskin, der rammer kalorimeteret være

$$J_{21}(\bar{T}) = k_2 A_2 \epsilon_2 \sigma T_2^4$$

Strålingsligevægt for  $\bar{T} = T_2$  giver  $k_1 A_1 \epsilon_1 = k_2 A_2 \epsilon_2$ . Kalder vi denne fælles faktor  $A_{eff} \epsilon_{eff}$  er altså

$$(5) \quad J_1 = J_{12}(\bar{T}) - J_{21}(\bar{T}) = \epsilon_{eff} A_{eff} \sigma (\bar{T}^4 - T_2^4)$$

A<sub>p</sub> 5.2. 1



$$V_{out} = V_{ref} \left\{ \frac{R_1}{R_1 + R_2} - \frac{R_1}{R_1 + R_2} \cdot D \right\}$$

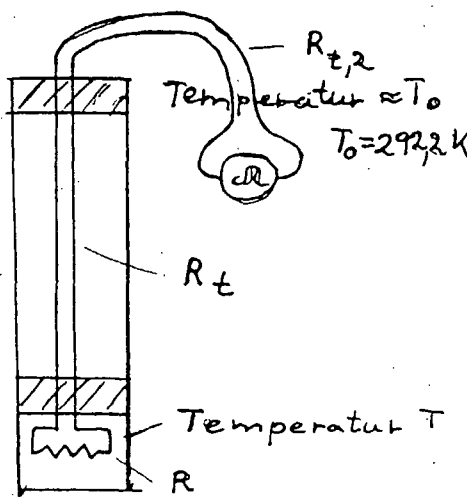
$$= \frac{1}{3} V_{ref} \{ 1 - 2D \}$$

for  $R_1 = 2 R_2$

AD 7533  
10 bit DAC

App 5.2.2

Korrektioner hidrørende fra tilledningernes modstand i bestemmelsen af temperaturkoefficienten  $\alpha$  og den afsatte effekt i varmevikling

fig. 1I. Temperaturkoefficienten  $\alpha$ 

Modstanden  $R$  (enten  $R_s$ , termometer i sædet;  $R_f$ , termometer i kalorimeter eller  $R_v$ , varmevikling i kalorimeter) sidder nede i kryostaten og vi "ser" gennem tilledningerne  $R_t$  og  $R_{t,2}$ .  $R_{t,2}$  kan vi se bort fra, da det er to tykke ledninger.

$R_t$  kan vi ikke se bort fra. Den er lige stor i de tre tilfælde,  $R_t(T_0) = 1,96 \Omega$ . Lad  $\alpha(T_0)$  være temperaturkoefficienten for Cu med udgangspunkt i  $T_0$ . Da er

$$(1) \quad R(\tau) = R(T_0) (1 + \alpha(T_0)(\tau - T_0))$$

Det vi mäter er imidlertid

$$(2) \quad R'(\tau) = R(\tau) + R_t(\tau)$$

hvor et mærke fremover vil angive at tillednings modstanden er medtaget. Med en (lineær) temperaturgradient  $T - T_0$  over  $R_t$  overbeviser man sig let om at temperaturafhængigheden er

$$(3) \quad R_t(\tau) = R_t(T_0) \left( 1 + \frac{\alpha(T_0)}{2} (\tau - T_0) \right)$$

Dermed kan (2) skrives

$$(4) \quad R'(\tau) = R'(\tau_0) (1 + \alpha'(\tau_0)(\tau - \tau_0))$$

med

$$(5) \quad R'(\tau_0) = R(\tau_0) + R_t(\tau_0)$$

og den effektive temperaturkoefficient

$$(6) \quad \alpha'(\tau_0) = \left(1 - \frac{1}{2} \frac{R_t(\tau_0)}{R'(\tau_0)}\right) \alpha(\tau_0)$$

## II. Korrektionsfunktion $p_{Korr}(\tau)$ til beregning af den afsatte effekt i varmevikling

Strømamplituden igennem varmetråden  $R_v$  er  $\frac{V_0}{R_v + R_t}$   
Dermed bliver effekten afsat

$$(7) \quad I_{th,0} = \frac{1}{2} \left( \frac{V_0}{R_v + R_t} \right)^2 R_v$$

Forholdene mellem modstandene og deres tilledningers  
modstande er små (højst 5%) og kaldes hhv

$$(8) \quad r_v(\tau) = \frac{R_t(\tau)}{R_v(\tau)}, \quad r_f(\tau) = \frac{R_t(\tau)}{R_f(\tau)}$$

Der rækkeudvikles i disse størrelser. Nu bliver

$$(9) \quad I_{th,0} = \frac{1}{2} \frac{V_0^2}{R_v(\tau)} (1 - 2r_v(\tau)) = \frac{1}{2} \frac{V_0^2}{R_f(\tau)} (1 - 2r_v(\tau))$$

hvor

$$(10) \quad \mu = \frac{R_v(\tau)}{R_f(\tau)} = \frac{R_v(\tau_0)}{R_f(\tau_0)} \quad \text{er temperaturuafhængig}$$

Der er målt  $R_v(\tau_0) = 39,66 \Omega$  og  $R_f(\tau_0) = 49,96 \Omega$   
ved  $T_0 = 292,2$  K. Definér

$$(11) \quad \mu'(\bar{T}_0) = \frac{R_v(\bar{T}_0)}{R_f(\bar{T}_0)} = \mu (1 + r_v(\bar{T}_0) - r_f(\bar{T}_0))$$

Dermed er  $\mu'(\bar{T}_0) = \frac{39,66 \Omega}{49,96 \Omega} = 0,7938$

Effekten ønskes udtrykt ved  $R'_f(T)$ , da det er denne, der måles. Den bliver nu

$$(12) \quad I_{th,0} = \frac{1}{2} \frac{V_o^2}{\mu'(\bar{T}_0) R_f'(\bar{T})} (1 + r_v(\bar{T}_0) - r_f(\bar{T}_0))(1 + r_f(\bar{T})) (1 - 2r_v(\bar{T})) \\ = \frac{1}{2} \frac{V_o^2}{\mu'(\bar{T}_0) R_f'(\bar{T})} \cdot p_{korrig}(\bar{T})$$

hvor

$$(13) \quad p_{korrig}(\bar{T}) = 1 + r_v(\bar{T}_0) - r_f(\bar{T}_0) + r_f(\bar{T}) - 2r_v(\bar{T})$$

$$\text{Her er } r_f(\bar{T}) = \frac{R_t(\bar{T})}{R_f(\bar{T})} = \frac{R_t(\bar{T}_0)}{R_f(\bar{T}_0)} \frac{1 + \alpha/2 (\bar{T} - \bar{T}_0)}{1 + \alpha (\bar{T} - \bar{T}_0)} \\ = r_f(\bar{T}_0) \frac{1 + \alpha/2 (\bar{T} - \bar{T}_0)}{1 + \alpha (\bar{T} - \bar{T}_0)}$$

hvormed

$$r_f(\bar{T}) - r_f(\bar{T}_0) = r_f(\bar{T}_0) \frac{-\alpha/2 (\bar{T} - \bar{T}_0)}{1 + \alpha (\bar{T} - \bar{T}_0)}$$

Ligeledes findes

$$2r_v(\bar{T}) - r_v(\bar{T}_0) = r_v(\bar{T}_0) \frac{1}{1 + \alpha (\bar{T} - \bar{T}_0)}$$

$$\text{Da } \frac{r_v(\bar{T}_0)}{r_f(\bar{T}_0)} = \frac{R_p(\bar{T}_0)}{R_v(\bar{T}_0)} = \frac{1}{\mu} \quad \text{bliver}$$

$$(14) \quad p_{korrig}(\bar{T}) = 1 - r_v(\bar{T}_0) \left( \frac{1}{1 + \alpha (\bar{T} - \bar{T}_0)} - \mu \frac{-\alpha/2 (\bar{T} - \bar{T}_0)}{1 + \alpha (\bar{T} - \bar{T}_0)} \right)$$

Heri kan  $\mu$  erstattes af  $\mu'(\bar{T}_0)$  (2. ordens korrektion), så

$$(15) \quad p_{korrig}(\bar{T}) = 1 - r_v(\bar{T}_0) \left( \frac{1 + \mu'(\bar{T}_0) \alpha/2 (\bar{T} - \bar{T}_0)}{1 + \alpha (\bar{T} - \bar{T}_0)} \right)$$

Appendix 5.2.3Kalibrering af Cu-tråd-termometer mod termoelement af jern-konstantan.Bestemmelse af Cu's modstandstemperaturkoefficient  $\alpha$ 

Referencetemperaturen for termoelementet var  $N_2$ 's kogepunkt  $T_{N_2}$ . Barometerstanden på kalibreringstidspunktet var 751 mmHg, hvor  $T_{N_2} = 77,25 \text{ K} = \frac{1}{2}195,9^\circ\text{C}$   
 $[5.1.1]$  s.367  $(\frac{dT}{dp} = 1,1 \cdot 10^{-2} \frac{\text{K}}{\text{mmHg}})$

Det er modstanden  $R_s$  af kobbertråden viklet om sædets yderside, der kalibreres. Den blev bestemt med en nøjatighed på 0,1  $\mu\Omega$  incl. tilledningerne fra kryostatstop til bund ved række temperaturer. Tilledningernes modstand  $R_t$  er målt til  $1,96 \mu\Omega$  ved 292,2 K (For sammenhængen mellem temperaturkoefficienten  $\alpha$  og effektiv temperaturkoefficient  $\alpha'$ , se App.5.2.2) Resultaterne er angivet i tabel 1. Termospændingerne er omregnet til temperaturer ved tabel 2. For at bruge denne tabel fratrækkes 8,038 mV svarende til termospændingen fra  $0^\circ\text{C}$  til  $\frac{1}{2}195,9^\circ\text{C}$ .

Tabel 2 angiver de absolutte termospændinger med (højst)  $10 \mu\text{V}$ 's nøjagtighed svarende til 0,3 K ved lave og 0,2 K ved høje temperaturer. så vi kan ikke angive temperaturen bedre end  $\pm 0,5$  K absolut.

Ved den laveste temperatur 77,7 K var termospændingen stadig  $16 \mu\text{V}$  samtidigt med at sædetermometeret var  $7,66 \mu\Omega$ . Dette må skyldes en offset fejl i termostatforstærkeren, thi ved direkte nedsænkning af sædet i  $N_2$  var sædetermometeret stadig  $7,66 \mu\Omega$ , så termospændingen burde have været 0. Derfor er temperaturerne formodentlig systematiskt 0,5 K for høje.

Af andre problemer ved kalibreringen kan nævnes, at luftens  $O_2$  med kogepunkt 90 K kan tænkes at for-

modstand R <sub>s</sub>	termoelement Fe-konstantan	temperatur
Ω	μV	K
51,15	9038	292,2
47,32	8017	272,7
43,80	7109	254,9
40,24	6214	237,3
36,59	5330	219,0
32,76	4440	199,7
29,73	3769	184,5
26,53	3096	168,3
23,13	2422	150,8
19,49	1755	132,4
15,25	1057	111,5
10,38	358	89,1
7,66	16	77,7

Tabel 1

Tabelle 2

Temperatur der Vergleichsstelle (Bezugstemperatur) 0 °C

Fe-CuNi  
(Fe-Konst\*)Kennfarbe blau  
RAL 5009

Med 77 K som reference skal der adderes 8,038 mV

°C	mV	mV/°C	°C	mV	mV/°C	°C	mV	mV/°C
-200	- 8,15	0,029	+200	+ 10,95	0,056	+600	+ 33,67	0,059
190	7,86	0,030	210	11,51	0,056	610	34,26	0,059
180	7,56	0,031	220	12,07	0,056	620	34,85	0,059
170	7,25	0,032	230	12,63	0,056	630	35,44	0,060
160	6,93	0,033	240	13,19	0,056	640	36,04	0,060
150	6,60	0,034	250	13,75	0,056	650	36,64	0,061
140	6,26	0,036	260	14,31	0,057	660	37,25	0,060
130	5,90	0,037	270	14,88	0,056	670	37,85	0,062
120	5,53	0,038	280	15,44	0,056	680	38,47	0,062
110	5,15	0,040	290	16,00	0,056	690	39,09	0,063
-100	- 4,75	0,042	+300	+ 16,56	0,056	+700	+ 39,72	0,063
90	4,33	0,044	310	17,12	0,056	710	40,35	0,063
80	3,89	0,045	320	17,68	0,056	720	40,98	0,064
70	3,44	0,046	330	18,24	0,056	730	41,62	0,065
60	2,98	0,047	340	18,80	0,056	740	42,27	0,065
50	2,51	0,048	350	19,36	0,056	750	42,92	0,065
40	2,03	0,050	360	19,92	0,056	760	43,57	0,066
30	1,53	0,051	370	20,48	0,056	770	44,23	0,066
20	1,02	0,051	380	21,04	0,056	780	44,89	0,066
10	0,51	0,051	390	21,60	0,056	790	45,55	0,067
0	+	0,052	+400	+ 22,16	0,056	+800	+ 46,22	0,067
10	0,52	0,053	410	22,72	0,057	810	46,89	0,068
20	1,05	0,053	420	23,29	0,057	820	47,57	0,068
30	1,58	0,053	430	23,86	0,057	830	48,25	0,069
40	2,11	0,054	440	24,43	0,057	840	48,94	0,069
50	2,65	0,054	450	25,00	0,057	850	49,63	0,069
60	3,19	0,054	460	25,57	0,057	860	50,32	0,070
70	3,73	0,054	470	26,14	0,057	870	51,02	0,070
80	4,27	0,055	480	26,71	0,057	880	51,72	0,071
90	4,82	0,055	490	27,28	0,057	890	52,43	0,071
+100	+ 5,37	0,055	+500	+ 27,85	0,058	+900	+ 53,14	
110	5,92	0,055	510	28,43	0,058			
120	6,47	0,056	520	29,01	0,058			
130	7,03	0,056	530	29,59	0,058			
140	7,59	0,056	540	30,17	0,058			
150	8,15	0,056	550	30,75	0,058			
160	8,71	0,056	560	31,33	0,058			
170	9,27	0,056	570	31,91	0,058			
180	9,83	0,056	580	32,49	0,059			
190	10,39	0,056	590	33,08	0,059			

tættes og give en kogepunktsforhøjelse. (Rose-Innes [5.2.1] s 118 har fundet, at kogepunkt ændres mindre end 0,5 K over 24 timer i åbent Dewar)

$R_s^1(T)$  er afbildet grafisk som funktion af  $T$  (graf 1). Sammenhængen er imponerende lineær og med 0,5% nøjagtighed findes  $\frac{\Delta R_s^1}{\Delta T} = 0,1984 \Omega/K$  ud fra grafen. Det giver temperaturkoefficienten  $\alpha_s^1(292,2K) = \frac{0,198 \Omega/K}{51,15 \Omega} = 3,877 \cdot 10^{-3} K^{-1}$  og dermed den sande temperaturkoefficient  $\alpha$  for Cu korrigeret for tilledning (App.5.2.2)

$$\alpha(292,2K) = \left(1 + \frac{1}{2} \frac{1,96}{51,15}\right) \alpha_s^1 = 3,951 \cdot 10^{-3} K^{-1}$$

Ved temperaturen 292,2 K fandtes de sammenhørende værdier af sædetermineter  $R_s^1$ , kalorimetertermometer  $R_f^1$  og kalorimetervarmevikling  $R_v^1$  alle incl. tilledninger til

$R_s^1$	$R_v^1$	$R_f^1$
$51,15 \Omega$	$39,66 \Omega$	$49,96 \Omega$

Den effektive temperaturkoefficient hørende til termometeret bliver  $\alpha_f^1 = \left(1 - \frac{1}{2} \frac{1,96}{49,96}\right) \alpha(292,2K) = 3,873 \cdot 10^{-3} K^{-1}$

Dermed bliver den vigtige sammenhæng  $R_f^1(T)$  som temperaturmålingen i kalorimeteret baseres på

$$\begin{aligned} R_f^1(T) &= R_f^1(292,2K) \left(1 + \alpha_f^1(292,2K)(T - 292,2K)\right) \\ &= 49,96 \Omega + 0,1935 \Omega/K (T - 292,2K) \end{aligned}$$

og omvendt

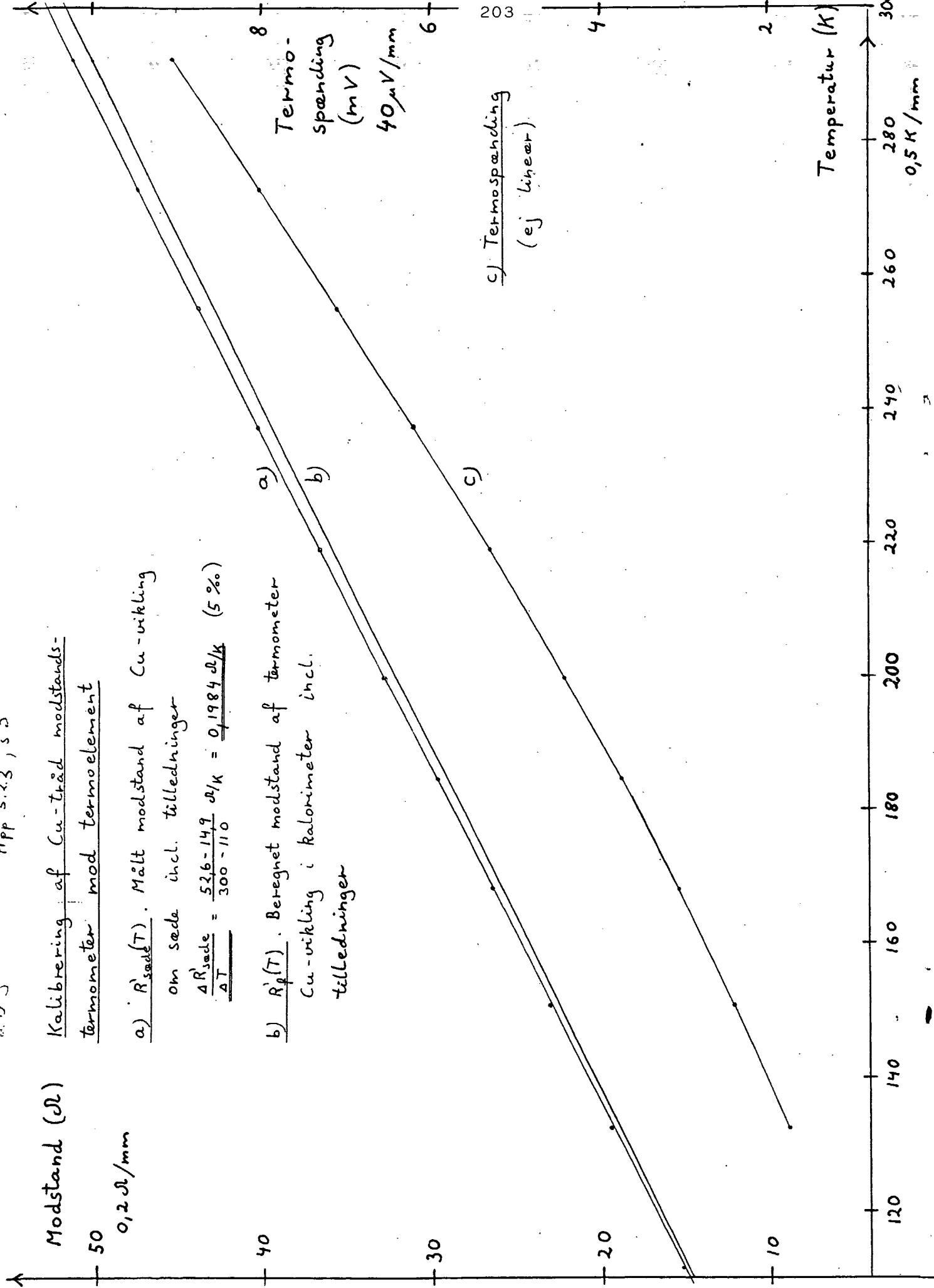
$$T = 5,167 K/\Omega \cdot R_f^1 + 34,04 K$$

Denne funktion hedder FUNC tk(tohm) i programmet.

$R_f^1(T)$  er også afbildet på grafen.

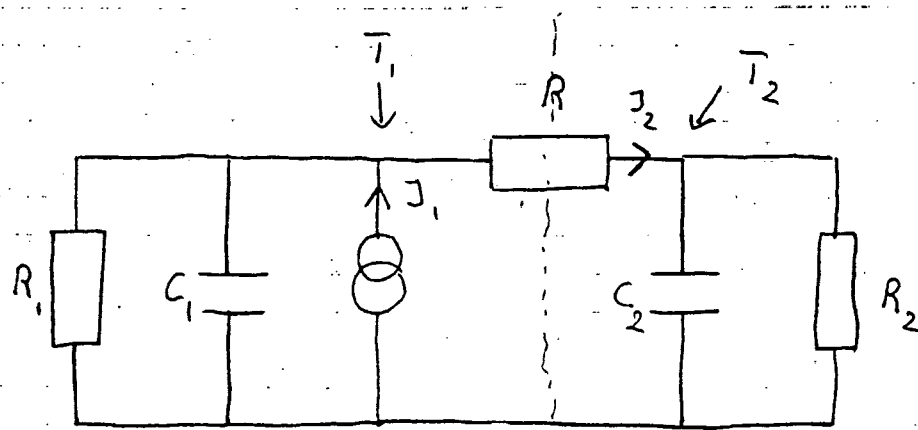
- 2.03 -

App 5.2.3, s 5



App. 5.3  
COMAL 80 programmet.

En udskrift af programmet kan rekvireres hos  
forfatteren.

App 6.1.1.

varmen siden

temperaturføler siden

$'R_1$  højde over dels  $'R_2$  varmeledning udelukkende  
fra stråling dels fra ledning i højde over fra stråling

$J_1$  er varmestrømmen;  $T_2$  er temp, der måles  
den afgives.

$R$  er varmevægtsstanden mellem "varmen" siden og  
"føler" siden.

Vi har  $C_1 \approx C_2 \approx 150 \mu F/K$ .  $R \approx 50 \Omega/W \ll R_1 \approx R_2 \approx 3000 \Omega/W$

Vi ønsker en nækkendudvikling af den målte  
admittans  $\gamma \equiv J_1/T_2$  i  $R$  til 1. orden

Vi kan finde  $\gamma_1 \equiv J_1/T_1$  og  $\gamma_2 \equiv J_2/T_2$  og vi  
har  $J_2 = -\frac{1}{R}(T_1 - T_2)$  så  $\gamma$  kan findes

$$\gamma_2 = J_2/T_2 = \frac{1}{R} \left( \frac{T_1}{T_2} - 1 \right) = \frac{1}{R} \left( \frac{T_1}{J_1} \frac{J_1}{T_2} - 1 \right) = \frac{1}{R} \left( \frac{1}{J_1} \gamma_1 - 1 \right)$$

(1)

$$\gamma = \gamma_1 (1 + R \gamma_2)$$

Man ser (med  $s = -i\omega$ )

$$\gamma_2 = (-i\omega) C_2 + 'R_2 = sC_2 + 'R_2$$

$$\gamma_1 = sC_1 + 'R_1 + \frac{1}{R + \frac{1}{sC_2 + 'R_2}}$$

## App 6.1.1

2

$$Y_1 = sC_1 + \frac{1}{R_1} + \frac{sC_2 + \frac{1}{R_2}}{1 + sRC_2 + R/R_2}$$

↓

$$Y_1 \approx s(C_1 + C_2) + \frac{1}{R_1} + \frac{1}{R_2} - \frac{1}{R_2} \frac{R}{R_2} - sC_2 \left( \frac{R}{R_2} + \frac{R}{R_2} \right) - s^2 RC_2^2$$

Endelig er

$$Y = Y_1 (1 + sRC_2 + R/R_2)$$

$$\approx s(C_1 + C_2) \left( 1 + \frac{R}{R_2} \right) + \left( \frac{1}{R_1} + \frac{1}{R_2} \right) + \frac{R}{R_2} \frac{1}{R_1} + s^2 RC_2 C_1$$

hvormed

$$\text{Re } Y = \left( \frac{1}{R_1} + \frac{1}{R_2} \right) + \frac{R}{R_2} \frac{1}{R_1} - \omega^2 RC_2 C_1$$

bliver frekvensafhængig.

## App 6.2.1

Tablel 6.2.1  
Ad grofperne  
6.2.1 6.2.2

nr	temp	temp	freqv	ReCtot	ReC	Tm C	mJ/K	Re Y-L	mW/K	Re Y	mW/K
(1)	32. 953	194.0	15. 266	561.9	256.6	-4.9	0. 074	0. 632	0. 825		
2	30. 954	194.0	15. 268	558.9	255.6	-4.4	0. 057	0. 614	0. 914		
(3)	32. 956	194.0	23. 982	562.6	257.5	-6.5	0. 156	0. 922	0. 944		
(4)	32. 970	194.1	23. 983	553.5	257.6	-6.8	0. 154	0. 186	1. 157		
5	30. 975	194.1	35. 929	558.6	255.2	-5.2	0. 186	0. 398	0. 791		
(6)	30. 973	194.1	60. 454	558.5	255.1	-6.6	0. 353	0. 035	0. 734		
(7)	30. 958	194.0	9. 354	552.4	257.1	-3.5	0. 035	0. 018	0. 768		
8	30. 957	194.0	9. 353	551.7	256.4	-3.0	0. 036	0. 018	1. 083		
9	30. 971	194.1	2. 124	559.4	254.0	-4.0	0. 380	0. 380	1. 076		
(10)	29. 062	184.0	15. 478	468.3	173.9	-24.6	0. 374	0. 510	1. 212		
11	29. 052	184.0	15. 471	467.9	173.4	-24.2	0. 374	0. 510	1. 381		
12	29. 058	184.0	24. 677	462.7	166.3	-21.4	0. 374	0. 510	1. 560		
13	29. 050	184.0	35. 938	455.9	161.5	-18.6	0. 679	0. 858	0. 942		
(14)	29. 055	184.0	52. 941	455.4	159.1	-15.2	0. 240	0. 240	0. 750		
15	29. 057	184.0	9. 313	475.3	180.9	-25.8	0. 176	0. 048	0. 774		
16	29. 066	184.0	6. 002	483.0	182.6	-20.1	0. 071	0. 116	0. 821		
17	29. 055	184.0	1. 529	516.2	201.8	-31.1	0. 048	0. 333	1. 035		
18	29. 070	184.0	2. 120	510.2	215.7	-33.6	0. 071	0. 166	0. 758		
19	29. 068	184.0	3. 584	495.5	201.6	-33.0	0. 116	0. 055	0. 862		
20	29. 038	184.0	15. 415	462.3	166.0	-21.6	0. 333	0. 404	1. 107		
(21) V <sub>c</sub> = 0.1715	29. 074	184.0	1. 535	515.2	220.7	-36.0	0. 055	0. 166			
22	29. 064	184.0	5. 364	481.2	186.7	-26.8	0. 166	0. 404			
(23)	29. 063	184.0	15. 301	469.5	175.4	-26.4	0. 404				

nr	temp	temp	freqv	ReC	ReC	ImC	ReV-L	ReY/K
	0hm	K	MHz	mJ/K	mJ/K	mJ/K	mW/K	atW/K
24	29. 54.2	186. 7	24. 045	489. 5	192. 4	-31. 7	0. 762	1. 478
(25)	29. 53.4	186. 6	24. 112	543. 6	246. 5	-19. 9	0. 042	0. 758
25	29. 54.8	186. 7	3. 574	536. 8	239. 6	-25. 7	0. 092	0. 608
26	+ 29. 53.5	186. 6	2. 113	543. 2	245. 1	-17. 4	0. 037	0. 754
(27)	29. 54.3	186. 7	5. 978	527. 8	230. 6	-33. 2	0. 199	0. 914
(28)	29. 55.0	186. 7	5. 978	529. 1	231. 9	-32. 3	0. 193	0. 965
(29)	29. 56.0	186. 8	9. 388	519. 3	222. 0	-35. 0	0. 329	1. 045
30	29. 56.9	186. 8	9. 388	517. 5	220. 2	-33. 9	0. 318	1. 035
31	29. 56.9	186. 8	15. 212	504. 5	207. 2	-34. 5	0. 525	1. 242
32	29. 56.9	186. 8	23. 948	493. 2	196. 0	-31. 7	0. 759	1. 475
33	29. 56.6	186. 8	23. 948	492. 4	185. 5	-29. 5	1. 051	1. 777
34	29. 53.6	186. 7	35. 911	482. 4	185. 5	-28. 7	1. 229	1. 745
35	29. 53.7	186. 7	35. 911	482. 4	185. 2	-26. 9	1. 420	2. 135
36	29. 53.5	186. 6	52. 904	476. 1	179. 0	-26. 7	1. 410	2. 127
37	29. 57.1	186. 8	52. 937	475. 6	178. 5	-27. 9	0. 059	0. 815
38	$V_0 = 0. 684$	29. 53.5	3. 568	527. 1	230. 0	-30. 6	0. 183	0. 900
39	29. 56.0	186. 8	5. 986	526. 4	229. 1	-34. 2	0. 319	1. 035
40	29. 56.6	186. 8	6. 336	519. 0	221. 7	-35. 2	0. 555	1. 543
41	29. 57.2	186. 8	15. 331	509. 8	209. 5	-34. 5	0. 626	1. 812
42	29. 57.6	186. 8	23. 942	494. 3	197. 2	-30. 6	1. 096	1. 819
43	29. 56.9	186. 8	35. 902	485. 5	188. 0	-30. 9	1. 105	1. 815
44	29. 57.4	186. 8	35. 798	484. 6	187. 0	-30. 8	1. 102	1. 819
45	29. 57.4	186. 9	35. 795	483. 9	186. 5	-30. 8	1. 412	2. 129
46	29. 57.2	186. 8	52. 763	475. 7	179. 5	-26. 8	1. 795	2. 511
47	29. 56.9	186. 8	94. 936	464. 5	167. 2	-18. 9	-10. 0	2. 275
48	29. 57.4	186. 8	155. 104	455. 0	157. 6	-10. 0	1. 556	2. 509
49	29. 57.4	186. 8	156. 039	455. 6	158. 3	-11. 5	1. 793	2. 509

nr	temp	Dhm	K	freqv	mHz	Re Dtot	mJ/K	Im C	mJ/K	Re Y-L	mW/K	Re Y	mW/K	
50	27. 634	176.	8	53.	180	415.	2	129.	0	-3.	0.	208.	0.	872
51	27. 633	176.	8	53.	180	413.	7	127.	5	-3.	0.	194	0.	857
52	27. 631	176.	8	15.	299	421.	5	135.	3	-7.	0.	107	0.	771
53	27. 629	176.	8	24.	001	418.	4	132.	2	-6.	0.	145	0.	809
54	27. 626	176.	8	35.	938	417.	0	130.	8	-5.	1.	184	0.	847
55	27. 625	176.	8	93.	546	411.	8	125.	6	-0.	1	009	0.	673
56	27. 636	176.	8	3.	561	428.	1	141.	8	-9.	3	035	0.	697
57	27. 632	176.	8	5.	995	425.	7	139.	5	-8.	7	052	0.	716
58	27. 634	176.	8	9.	278	423.	2	137.	0	-7.	8	072	0.	736
59	27. 631	176.	8	15.	364	420.	4	134.	2	-7.	4	014	0.	778
60	28. 118	179.	3	15.	364	431.	8	142.	8	-10.	1	016	0.	832
61	28. 136	179.	4	9.	268	436.	5	147.	4	-11.	4	016	0.	783
62	28. 108	179.	3	5.	975	437.	0	148.	4	-12.	0	072	0.	748
63	28. 105	179.	3	5.	557	441.	0	152.	1	-13.	7	049	0.	725
64	28. 133	179.	4	8.	382	436.	1	147.	0	-11.	1	010	0.	782
65	28. 131	179.	4	15.	329	433.	6	144.	7	-10.	0	157	0.	834
66	28. 094	179.	2	15.	340	432.	4	143.	5	-9.	2	0142	0.	817
67	28. 093	179.	2	24.	110	438.	8	140.	0	-8.	6	026	0.	884
68	28. 093	179.	2	35.	924	437.	0	138.	4	-7.	6	027	0.	949
69	28. 102	179.	2	52.	918	423.	1	134.	2	-5.	5	0348	1.	024
70	28. 122	179.	2	52.	918	424.	0	135.	1	-7.	4	0391	1.	257
71	28. 585	181.	7	52.	937	435.	0	143.	6	-10.	3	0546	1.	235
72	28. 585	181.	7	35.	935	435.	4	147.	7	-12.	0	431	1.	120
73	28. 583	181.	7	23.	936	442.	2	152.	5	-13.	2	0316	1.	005
74	28. 583	181.	7	15.	250	445.	6	153.	8	-14.	3	0218	0.	907
75	28. 577	181.	7	2.	363	466.	9	175.	0	-24.	0	058	0.	747
76	28. 583	181.	7	23.	573	462.	5	170.	0	-21.	9	0278	0.	767
77	28. 582	181.	6	5.	993	454.	8	163.	0	-17.	9	0107	0.	796
78	28. 548	181.	5	9.	345	450.	3	158.	0	-15.	3	0143	0.	831
79	28. 544	181.	5	15.	350	447.	2	155.	0	-22.	7	0225	0.	513

X

A

Y

nr	temp.	temp.	freqv	freqv	ReC	ImC	ReY-i	ReY
	0hm	K	MHz	MHz	mJ/K	mJ/K	mW/K	mW/K
(80)	29. 017	184. 0	53. 064	454. 0	159. 9	-16. 7	0. 886	1. 587
(81)	29. 019	184. 0	53. 064	452. 8	158. 6	-14. 6	0. 775	1. 476
82	29. 020	184. 0	23. 950	461. 2	167. 6	-21. 0	0. 502	1. 204
(83)	29. 074	188. 9	53. 163	508. 6	208. 9	-32. 6	1. 732	2. 450
84	29. 979	188. 9	36. 015	516. 9	217. 2	-33. 6	1. 209	1. 937
85	29. 979	188. 9	24. 014	528. 3	226. 6	-31. 5	0. 752	1. 481
86	25. 981	188. 9	15. 246	539. 5	239. 8	-25. 5	0. 385	1. 114
87	7	29. 378	188. 9	5. 320	546. 5	-17. 0	0. 158	0. 887
88	7	29. 972	188. 9	3. 572	551. 8	-8. 1	0. 023	0. 757
89	29. 971	188. 9	6. 003	550. 2	250. 5	-13. 5	0. 020	0. 808
90	30. 409	191. 2	24. 295	552. 2	250. 1	-14. 4	0. 350	1. 692
91	30. 408	191. 2	24. 295	551. 9	249. 8	-14. 4	0. 350	1. 091
92	30. 407	191. 2	35. 996	548. 6	245. 9	-19. 7	0. 706	1. 449
93	30. 406	191. 1	53. 054	539. 9	237. 7	-23. 1	1. 225	1. 956
94	30. 405	191. 1	15. 320	554. 7	252. 5	-10. 9	0. 167	0. 506
95	30. 426	191. 2	9. 322	553. 9	251. 8	-4. 9	0. 046	0. 787
96	30. 407	191. 2	9. 322	555. 8	253. 7	-3. 9	0. 036	0. 778
97	30. 405	191. 1	5. 589	555. 5	253. 1	-3. 5	0. 021	0. 762
98	30. 389	191. 1	5. 558	557. 9	255. 9	-3. 5	0. 012	0. 753
99	26. 197	169. 4	53. 357	399. 8	121. 8	-4. 5	0. 079	0. 708
100	1	26. 197	169. 4	15. 323	402. 4	-2. 5	0. 036	0. 664
101		26. 198	169. 4	15. 323	402. 6	-2. 7	0. 016	0. 645
102		25. 197	164. 2	3. 569	392. 6	-2. 5	0. 008	0. 614
103		25. 212	164. 3	15. 358	393. 1	-2. 5	0. 016	0. 622
104		25. 219	164. 3	53. 172	399. 5	-1. 1	-0. 047	0. 559
105		25. 222	164. 4	95. 624	386. 9	2. 1	-0. 159	0. 407

nr	temp	temp	freqv	freqv	ReCtot	Re C	Tin C	Re Y-L	Re Y
	0hm	K	MHz	MHz	mJ/K	mJ/K	mJ/K	mW/K	mW/K
106	22.305	149.3	36.002	366.5	110.9	-0.6	0.023	0.570	
107	22.303	149.3	53.232	366.1	110.6	-0.1	0.006	0.553	
108	22.301	149.3	24.015	367.2	111.7	-1.5	0.037	0.584	
109	22.301	149.3	15.344	366.1	110.6	-0.9	0.014	0.561	
110	22.272	149.1	3.576	366.8	111.4	-2.7	0.010	0.556	
111	22.290	149.2	36.057	366.4	110.9	-0.5	0.015	0.565	
112	$\nu_0 = 0.7493$	25.639	56.374	350.4	115.7	-1.3	-0.125	0.490	
113	*	25.641	157.170	-388.6	-663.3	2.2	-0.342	0.274	
114	*	25.637	166.5	53.129	393.3	-1.2	0.064	0.680	
115	*	25.642	165.5	36.022	393.8	119.0	-1.1	0.111	0.726
116	*	32.419	201.6	53.028	567.5	253.7	-2.5	-0.134	0.671
117	*	32.414	201.5	3.571	575.7	262.0	-2.8	0.010	0.815
118	*	32.422	201.6	6.004	574.8	261.0	-1.7	0.010	0.816
119	*	32.426	201.6	9.722	573.5	259.7	-2.3	0.023	0.809
120	*	32.435	201.6	15.372	573.1	259.3	-0.4	-0.007	0.799
121	*	32.435	201.6	24.095	572.5	258.7	0.3	-0.006	0.800
122	*	32.435	201.7	24.091	572.7	258.9	1.6	-0.039	0.767
123	*	36.079	220.9	3.595	598.3	263.6	-4.4	0.016	0.955
124	*	36.086	220.5	15.354	602.4	263.6	-2.2	-0.010	0.921
125	*	35.087	220.5	15.354	599.9	265.4	-0.1	0.001	0.941
126	*	22.455	150.3	82.741	366.7	261.1	5.0	-0.473	0.077
127	*	27.636	176.9	52.607	412.7	265.5	7.5	-0.395	0.269
128	chok	27.637	176.9	24.650	415.9	262.7	2.5	-0.613	0.651
129	*	22.474	152.2	52.774	364.8	265.3	7.1	-0.373	0.177

## App 6.2.2

```

0570 PROC initb
0580   ft:=1
0590   beta:=5.167 // dT/dR for føleter (K/Dhm)
0600   tk0:=34.04 // tk(tohm=0) (K)
0610   fdekk:=10011.1 // formodst. til dek.modst. (Ohm)
0620   kai:=1.17e+09 // kalibreringskonstant
0630   kai2:=1/kai/fdekk
0640   my0:=.7938 // varmer/føleter ved temp0
0650   temp0:=292.2 // stuetemp tref=9.03mV
0660   rvt0:=.0494 // tilledn/varmer ved temp0
0670   alff:=3.332e-03 // rel tempkoeff. for kobber e1.modst (1/K)
0680   acb:=5.75e-03 // temp.koeff. tom beh. (J/K/Dhm)
0690   bcb:=.1273i // cb(tohm=0) (J/K)
0700   yba:=5.316e-11 //temp.koeff. bas.adm. (7e3 lcv) (W/K^4)
0710   ybb:=3.7e-04 //yb(temp=0) (W/K)
0720   cub:=1.667e-03 // (J/K/Dhm)
0730   cua:=.07433 // (J/K)
0740   cna:=9e-24 // (J/K/Dhm)
0750   cnb:=.2318 // (J/K)
0760 ENDPROC initb

0790 FUNC gamma(att, off)
0800   RETURN (fdekk+off)*2*(att+1)*kai2
0810 ENDFUNC gamma
0820 //
0830 //
0840 FUNC pkorr(temp)
0850   alff:=alff*(temp-temp0)
0860   RETURN 1-rvt0*(1+my0*alff/2)/(1+alff)
0870 ENDFUNC pkorr
0880 //
0890 //
0900 FUNC tk(tohm) // temp til Kelvin.
0910   RETURN beta*tohm+tk0
0920 ENDFUNC tk
0930 //
0940 //
0950 FUNC cb(tohm) //bassrundskapacitet
0960   RETURN acb*tohm+bcb
0970 ENDFUNC cb
0980 //

```

```
0990 //  
1000 FUNC yb(temp) //bassrundsadmittans  
1010 RETURN yba+temp*3+ybb  
1020 ENDFUNC yb  
1030 //  
1040 //  
1050 FUNC cu(tohm) // c-uendelis  
1060 RETURN cua+tohm+cub  
1070 ENDFUNC cu  
1080 //  
1090 //  
1100 FUNC cn(tohm) // c-nui  
1110 RETURN cna+tohm+cnb  
1120 ENDFUNC cn  
1130 //  
1140 //  
1150 PROC ns //nulsaetnings, d.v.s. C normeres ej  
1151 cua:=0; cub:=0; cna:=0; cnb:=1  
1172 PRINT "C normeres ikke ,normering i udfoer initb"  
1180 ENDPROC ns
```

```
3430 PROC reen  
3440 sam:=gamma(attb(i,j),offb(i,j))  
3450 foeler:= (offb(i,j)+dcb(i,j)*sam)/10  
3460 t0:=tk(foeler)  
3470 p0:=vacb(i,j)*2/2/my0/foeler+pkorr(t0)  
3480 led:=SQR(reb(2,i,j)*2+imb(2,i,j)*2)  
3490 tac:=led*beta*sam/10  
3500 adm:=p0/tac  
3510 fi:=ATN(imb(2,i,j)/reb(2,i,j))  
3520 rey:=adm*COS(fi)  
3530 imy:=adm*SIN(fi)  
3540 omega:=2*PI/svtb(i,j)  
3550 omega2:=omega+omega  
3560 rec:=imy/omega  
3570 imc:=-rey/omega  
3580 recs:=rec-cb(foeler)  
3590 reyst:=rey-yb(t0)  
3600 imcs:=-reye/omega  
3610 csr:=cn(foeler)-cu(foeler)  
3620 recst:=(recs-cu(foeler))/csr  
3630 imcs:=imcs/csr  
3640 crece:=1-recs  
3650 ENDPROC reen
```

## App 6.2.3

nr	temp	temp	freqv	log f	Re tot	Re NC	I in NC
	0nm	K	mHz	109Hz	mJ/K		
(1)	30. 953	194.0	15. 266	-1. 815	551. 9	0. 977	-0. 036
(2)	30. 954	194.0	15. 268	-1. 816	558. 9	0. 955	-0. 033
(3)	30. 956	194.0	23. 982	-1. 620	562. 6	0. 982	-0. 049
(4)	30. 970	194.1	23. 983	-1. 620	563. 7	0. 987	-0. 051
(5)	30. 975	194.1	35. 829	-1. 445	558. 6	0. 952	-0. 039
(6)	30. 973	194.1	60. 454	-1. 245	558. 5	0. 951	-0. 049
(7)	30. 959	194.0	9. 354	-2. 029	562. 4	0. 981	-0. 025
(8)	30. 957	194.0	9. 355	-2. 028	561. 7	0. 976	-0. 026
(9)	30. 971	194.1	2. 124	-2. 673	555. 4	0. 958	-0. 034
(10)	29. 062	184.0	15. 478	-1. 810	468. 3	0. 378	-0. 182
(11)	29. 052	184.0	15. 471	-1. 810	467. 9	0. 374	-0. 179
(12)	29. 058	184.0	24. 207	-1. 618	460. 7	0. 322	-0. 157
(13)	29. 050	184.0	35. 938	-1. 444	455. 9	0. 287	-0. 146
(14)	29. 055	184.0	52. 941	-1. 276	453. 4	0. 269	-0. 120
(15)	29. 057	184.0	9. 313	-2. 332	472. 5	0. 430	-0. 191
(16)	29. 065	184.0	6. 083	-2. 322	483. 0	0. 487	-0. 217
(17)	29. 055	184.0	1. 529	-2. 815	515. 2	0. 732	-0. 236
(18)	29. 070	184.0	2. 120	-2. 674	510. 2	0. 688	-0. 249
(19)	29. 068	184.0	3. 564	-2. 446	495. 5	0. 576	-0. 244
(20)	29. 038	184.0	15. 415	-1. 812	462. 3	0. 335	-0. 160
(21)	29. 074	184.0	1. 535	-2. 814	515. 2	0. 725	-0. 267
(22)	29. 054	184.0	5. 954	-2. 224	481. 2	0. 473	-0. 198
(23)	29. 063	184.0	15. 361	-1. 815	469. 5	0. 387	-0. 195



nr	temp °K	temp °C	freqv MHz	log f 109Hz	ReCtot mJ/K	Re NC	Im NC
50	27. 634	176. 0	53. 180	-1. 274	415. 2	-0. 029	
51	27. 633	176. 0	53. 180	-1. 274	413. 7	-0. 027	
52	27. 631	176. 0	53. 180	-1. 274	421. 5	-0. 051	
53	27. 629	176. 0	53. 180	-1. 274	418. 4	-0. 044	
54	27. 626	176. 0	53. 180	-1. 274	417. 0	-0. 037	
55	27. 626	176. 0	53. 180	-1. 274	555. 0	-2. 001	
56	27. 635	176. 0	53. 180	-1. 274	411. 0	-0. 050	
57	27. 632	176. 0	53. 180	-1. 274	428. 1	-0. 054	
58	27. 634	176. 0	53. 180	-1. 274	425. 7	-0. 057	
59	27. 631	176. 0	53. 180	-1. 274	423. 2	-0. 054	
60	28. 118	179. 0	53. 184	-1. 814	431. 8	-0. 075	
61	28. 136	179. 4	53. 182	-2. 033	436. 5	-0. 034	
62	28. 108	179. 5	53. 175	-2. 224	437. 0	-0. 028	
63	28. 105	179. 5	53. 157	-2. 445	444. 0	-0. 101	
64	28. 133	179. 4	53. 182	-2. 026	435. 1	-6. 062	
65	28. 131	179. 4	53. 139	-1. 814	433. 9	-0. 275	
66	28. 094	179. 2	53. 140	-1. 814	432. 4	-0. 058	
67	28. 093	179. 2	53. 140	-1. 618	428. 8	-0. 054	
68	28. 093	179. 2	53. 140	-1. 445	427. 0	-0. 055	
69	28. 102	179. 2	53. 140	-1. 276	428. 4	-0. 040	
70	28. 102	179. 2	53. 140	-1. 276	424. 0	-0. 054	
71	28. 585	181. 7	53. 187	-1. 275	435. 5	-0. 076	
72	28. 585	181. 7	53. 188	-1. 275	435. 4	-0. 089	
73	28. 583	181. 7	53. 185	-1. 624	442. 4	-0. 097	
74	28. 583	181. 7	53. 186	-1. 817	445. 5	-0. 105	
75	28. 577	181. 7	53. 185	-2. 623	455. 9	-0. 179	
76	28. 583	181. 7	53. 185	-2. 467	452. 5	-0. 162	
77	28. 562	181. 8	53. 193	-2. 224	454. 8	-0. 132	
78	28. 549	181. 5	53. 145	-2. 025	450. 5	-0. 113	
79	28. 544	181. 5	53. 159	-2. 814	447. 5	-0. 108	

temp	temp	freqV	log f	ReCtot	Re NC	Im NC
0m	K	MHz	109 Hz	mJ/K		
62	29. 017	184. 0	53. 064	-1. 275	454. 0	-0. 123
61	29. 019	184. 0	53. 064	-1. 275	452. 8	-0. 128
62	29. 020	184. 0	53. 064	-1. 221	461. 2	-0. 155
63	29. 024	185. 6	53. 163	-1. 274	503. 6	-0. 242
64	29. 079	188. 6	36. 015	-1. 444	516. 9	-0. 250
65	29. 979	188. 6	24. 014	-1. 620	520. 3	-0. 233
66	29. 981	188. 6	15. 245	-1. 817	539. 5	-0. 188
67	29. 978	188. 6	9. 300	-2. 021	546. 6	-0. 127
68	29. 972	188. 6	3. 572	-2. 447	561. 8	-0. 060
69	29. 971	188. 6	6. 003	-2. 222	550. 2	-0. 039
70	30. 408	191. 2	24. 165	-1. 614	552. 4	-0. 107
71	30. 408	191. 2	24. 295	-1. 614	554. 6	-0. 107
72	30. 407	191. 2	35. 996	-1. 444	548. 8	-0. 147
73	30. 406	191. 1	53. 054	-1. 275	538. 9	-0. 172
74	30. 406	191. 1	15. 320	-1. 815	554. 7	-0. 081
75	30. 408	191. 2	9. 322	-2. 031	552. 9	-0. 037
76	30. 407	191. 2	9. 322	-2. 031	555. 0	-0. 039
77	30. 425	191. 1	5. 889	-2. 223	555. 2	-0. 025
78	30. 389	191. 1	2. 598	-2. 449	557. 6	-0. 026
79	26. 197	169. 4	3. 357	-1. 673	355. 9	-0. 011
80	26. 197	169. 4	15. 323	-1. 815	422. 4	-0. 017
81	26. 198	169. 4	15. 323	-1. 815	422. 4	-0. 017
82	25. 197	164. 0	32. 563	-2. 447	352. 6	-0. 031
83	25. 212	164. 0	15. 358	-1. 814	353. 4	-0. 033
84	25. 219	164. 0	53. 172	-1. 274	369. 0	0. 026
85	25. 222	164. 4	95. 504	-1. 020	386. 9	-0. 013
						0. 015

nr	temp	temp	freqV	log f	logHz	ReCtot	Re NC	Im NC	Im NC
	°K	°K	mHz			mJ/K			
105	22.305	149.3	36.002	-1.444	366.5	-0.004	-0.0005		
107	22.303	149.3	53.232	-1.274	366.1	-0.007	-0.001		
108	22.301	149.3	24.015	-1.626	367.2	0.021	-0.014		
109	22.301	149.3	15.344	-1.814	365.2	-0.005	-0.007		
110	22.272	149.1	3.576	-2.447	365.8	-0.003	-0.019		
111	22.290	149.8	36.057	-1.443	366.4	-0.004	-0.004		
112	25.639	165.5	96.374	-1.216	362.4	-0.012	0.025		
113	25.641	166.5	157.178	-0.824	388.6	-0.653	0.016		
114	25.637	166.5	53.129	-1.275	365.3	0.011	-0.009		
115	25.642	166.5	36.622	-1.443	393.0	0.014	-0.022		
116	32.419	201.6	53.028	-1.275	567.5	0.545	0.219		
117	32.414	201.5	3.571	-2.447	575.7	1.028	-0.021		
118	32.422	201.6	6.004	-2.292	574.9	1.020	-0.013		
119	32.425	201.6	9.522	-2.050	573.5	0.931	-0.002		
120	32.436	201.6	15.372	-1.813	573.1	0.987	0.003		
121	32.435	201.6	24.095	-1.618	572.5	0.983	0.002		
122	32.438	201.7	26.091	-1.518	572.7	0.984	0.012		
123	36.079	226.5	3.596	-2.444	598.3	0.995	-0.034		
124	36.086	226.5	15.354	-1.814	600.4	1.211	0.069		
125	36.087	226.5	15.354	-1.814	595.9	1.226	-0.001		
126	22.495	152.3	52.741	-1.278	365.7	-0.013	0.064		
127	27.636	176.8	52.807	-1.277	412.7	0.045	0.055		
128	27.637	176.8	24.059	-1.619	416.9	0.076	0.004		
129	22.474	150.2	52.776	-1.279	364.9	-0.025	0.050		

Referenceliste:

Referencenumre angivet i kantede paranteser i teksten

- 1.1.1 Tamman, G., Kristallisieren und Schmelzen, Leipzig 1903
- 1.1.2 Jensen, K.A., Almen Kemi, Gjellerup, København 1971
- 1.1.3 Stevels, J.M., Handbuch der Physik Bd. XIII s. 510, Springer Verlag 1962
- 1.1.4 Turnbull, D., Contemp. Phys. 10, 473 (1969)
  
- 1.2.1 Sommerfeld, A., Vorlesungen über Theoretische Physic II, Mechanik der deformierbaren Medien. Verlag Harri Deutsch (1978)
- 1.2.2 Landau, L. og Lifschitz, E.M, Fluid Mechanics
- 1.2.3 Christensen, R.M., Theory og Viscoelasticity, Academic Press 1971
- 1.2.4 Herzfeld, K.F., Litovitz, T.A., Absorption and Dispersion of Ultrasonic Waves, Academic Press 1959
- 1.2.5 Litovitz, T.A., Davies, C.M. s. 281 i Physical Acoustics IIA, ed. Mason W.P., Academic Press 1965
- 1.2.6 Harrison, G., The Dynamic Properties og Super-cooled Liquids, Academid Press 1976
- 1.2.7 Piccirelli, R., Litovitz, T.A., J. Acoust. Soc. Am. 29, 1009 (1957)
  
- 1.3.1 Gibson, Giaque, J. Am. Chem. Soc. 45, 93 (1923)
- 1.3.2 Tool, A.G., Eichlin, C.G., J. Amer. Ceram. Soc. 14, 276 (1931)
- 1.3.3 Davies, R.O., Jones, G.O., Adv. Phys. 2, 370 (1953)
- 1.3.4 Moynihan, C.T., et al, Ann. N.Y. Acad. Sci. 279, 15 (1976)

- 1.3.5 Ubbelohde, A.R., The molten state of matter in melting and crystal structure, Wiley 1978
- 1.3.6. Schulz, Kolloid Zeitschrift 138, 75 (1954)
- 1.3.7 Sandberg, O. et al, J. Phys. E 10, 477 (1977)
- 2.3.1 Meixner, J., Thermodynamik der irreversiblen Prozesse, Handbuch der Physik Bd III/2, s. 413 Springer Verlag 1959
- 2.3.2 Christiansen, P.V., IMFUFA tekst 8, "Dynamik og diagrammer", RUC 1978, IMFUFA tekst 22, "Semiotik og systemegenskaber", RUC 1979
- 2.3.3 Andresen, Bjarne, Gamma 51
- 2.5.1 Landau og Lifschitz V
- 2.5.2 " " VIII
- 2.6.1 Kubo, J. Phys. Soc. Jap. 12, 1203 (1957)
- 2.6.2 Donth, E.-J., Glasübergang, Akademie Verlag Berlin 1981
- 2.6.3 Dyre, J., privat kommunikation
- 2.6.4 Birge, N.O., Nagel, S.R., Phys. Rev. Lett. 54, 2674 (1985)
- 2.8.1 Gundermann, J., Energibåndsmodeller (bond-grafer) i de grundlæggende fysikdiscipliner, Speciale KU 1976
- 2.8.2 De Groot, S.R., Mazur, P., Non equilibrium Thermodynamics, North Holland 1962
- 4.1.1. Gmelin, E., Thermochimica Acta 29, 1 (1979)
- 4.1.2 Lakshmikumar, S.T., Gopal E.S.R., J Indian Inst. Sci. 63A, 277 (1981)
- 4.1.3 Hudson, R.P., Rev. Sci. Instrum. 51, 871 (1980)
- 4.1.4 Sullivan, P.F., Seidel, G., Phys. Rev. 173, 679 (1968)
- 4.1.5 Handler, P. et al, Phys. Rev. Lett. 19, 356 (1967)

- 4.3.1 Reitz, J.R, Milford, F.J., Foundations of electromagnetic Theory, Addison Wesley 1967,  
2. ed.
- 4.4.1 = 2.6.4
- 4.4.2 Christensen, T., J. d. Physique C8, 635 (1985).
- 5.1.1 White, G.K., Experimental techniques in low-temperature physics, Oxford 1968
- 5.2.1 Rose-Innes, A.C., Low Temperature Techniques, London 1964
- 5.3.1 Østergård, Poul, Programmering i Comal 80, Teknisk Forlag 2. udgave 1984
- 5.3.2 Comal manual for Comal-80, kapsel til Commodore 64
- 5.3.3 Madsen, T.G., MAT 212, KU Matematisk Institut 1975
- 6.3.1 Schetzen, M., The Volterra and Wiener Theories of Nonlinear Systems, John Wiley & Sons 1980
- 7.1.1 = 1.3.3
- 7.2.1 Litovitz, T.A., J. Chem. Phys. 20, 1088 (1952)
- 7.2.2 Slie W.M., Madigosky W.M., J. Chem. Phys 48 (1968)
- 7.2.3 = 1.3.6
- 7.2.4 Meissner, W.Z., Z. Angew. Phys. Heft 1-2, 75 (1948)
- 7.2.5 Debye, P., Polar Molecular, Dover 1929
- 7.2.6 Kreinøe, G., Dielektrisk relaxation, IMFUFA tekst 28, RUC 1980
- 7.5.1 = 2.4.6

Liste over tidligere udsendte tekster kan ses på IMFUFA's hjemmeside: <http://mmf.ruc.dk>  
eller rekvireres på sekretariatet, tlf. 46 74 22 63 eller e-mail: [imfufa@ruc.dk](mailto:imfufa@ruc.dk).

- 332/97 ANOMAL SWELLING AF LIPIDE DOBBELTLAG  
Specialrapport af: Stine Kortemann  
Vejleder: Dorthe Posselt
- 333/97 Biodiversity Matters  
an extension of methods found in the literature on monetisation of biodiversity  
by: Bernd Kuemmel
- 334/97 LIFE-CYCLE ANALYSIS OF THE TOTAL DANISH ENERGY SYSTEM  
by: Bernd Kuemmel and Bent Sørensen
- 335/97 Dynamics of Amorphous Solids and Viscous Liquids  
by: Jeppe C. Dyre
- 336/97 Problem-orientated Group Project Work at Roskilde University  
by: Kathrine Legge
- 337/97 Verdensbankens globale befolkningsprognose  
- et projekt om matematisk modellering  
af: Jørn Chr. Bendtsen, Kurt Jensen, Per Pauli Petersen
- 338/97 Kvantisering af nanolederes elektriske ledningsevne  
Første modul fysikprojekt  
af: Søren Dam, Esben Danielsen, Martin Niss,  
Esben Friis Pedersen, Frederik Resen Steenstrup  
Vejleder: Tage Christensen
- 339/97 Defining Discipline  
by: Wolfgang Coy
- 340/97 Prime ends revisited - a geometric point of view -  
by: Carsten Lunde Petersen
- 341/97 Two chapters on the teaching, learning and assessment of geometry  
by: Mogens Niss
- 342/97 A global clean fossil scenario DISCUSSION PAPER prepared by Bernd Kuemmel  
for the project LONG-TERM SCENARIOS FOR GLOBAL ENERGY DEMAND  
AND SUPPLY
- 343/97 IMPORT/EKSPORT-POLITIK SOM REDSKAB TIL OPTIMERET UDNYTTELSE  
AF EL PRODUCERET PÅ VE-ANLÆG  
af: Peter Meibom, Torben Svendsen, Bent Sørensen
- 344/97 Puzzles and Siegel disks  
by: Carsten Lunde-Petersen
- 345/98 Modeling the Arterial System with Reference to an Anesthesia Simulator  
Ph.D. Thesis  
by: Mette Sofie Olufsen
- 346/98 Klyngedannelse i en hulkatode-forstørningsproces  
af: Sebastian Horst  
Vejleder: Jørn Borggren, NBI, Niels Boye Olsen
- 347/98 Verificering af Matematiske Modeler  
- en analyse af Den Danske Euleriske Model  
af: Jonas Blomqvist, Tom Pedersen, Karen Timmermann, Lisbet Øhleenschæger  
Vejleder: Bernhelm Booss-Bavnbek
- 348/98 Case study of the environmental permission procedure and the environmental impact  
assessment for power plants in Denmark  
by: Stefan Krüger Nielsen  
project leader: Bent Sørensen
- 349/98 Tre rapporter fra FAGMAT - et projekt om tal og faglig matematik i  
arbejdsmarkedssuddannelseerne  
af: Lena Lindenskov og Tine Wedege
- 350/98 OPGAVESAMLING - Brede-Kursus i Fysik 1976 - 1998  
Erstatter testerne 3/78, 261/93 og 322/96
- 351/98 Aspects of the Nature and State of Research in Mathematics Education  
by: Mogens Niss
- 352/98 The Herman-Swiatec Theorem with applications  
by: Carsten Lunde Petersen
- 353/98 Problemløsning og modellering i en almændamnde matematikundervisning  
Specialetrapport af: Per Gregersen og Tomas Højgaard Jensen
- 354/98 A Global Renewable Energy Scenario  
by: Bent Sørensen and Peter Meibom
- 355/98 Convergence of rational rays in parameter spaces  
by: Carsten Lunde Petersen and Gustav Ryd

- 356/98 Terrenmodellering  
Analysen af en matematisk model til konstruktion af digitale terrænmodeler  
Modelprojekt af: Thomas Frommelt, Hans Ravnsjær Larsen og Arnold Skimminge  
Vejleder: Johnny Ottesen
- 357/98 Cayleys Problem  
En historisk analyse af arbejdet med Cayleys problem fra 1870 til 1918  
Et matematisk videnskabsprojekt af: Rikke Degen, Bo Jakobsen, Bjarke K.W.  
Hansen, Jesper S. Hansen, Jesper Udesen, Peter C. Wulff  
Vejleder: Jesper Larsen
- 358/98 Modeling of Feedback Mechanisms which Control the Heart Function in a View to an Implementation in Cardiovascular Models  
Ph.D. Thesis by: Michael Danielsen
- 
- 359/99 Long-Term Scenarios for Global Energy Demand and Supply  
Four Global Greenhouse Mitigation Scenarios  
by: Bent Sørensen (with contribution from Bernd Kuemmel and Peter Metbom)
- 360/99 SYMMETRI I FYSIK  
En Meta-projektrapport af: Martin Niss, Bo Jakobsen & Tine Bjarke Bonne  
Vejleder: Peder Voetmann Christiansen
- 361/99 Symplectic Functional Analysis and Spectral Invariants  
by: Bernhelm Booß-Bavnbek, Kenro Furutani
- 362/99 Er matematik en naturvidenskab? - en udspanding af diskussionen  
En videnskabsprojekt-rapport af: Martin Niss  
Vejleder: Mogens Nørgaard Olesen
- 363/99 EMERGENCE AND DOWNWARD CAUSATION  
by: Donald T. Campbell, Mark H. Bickhard, and Peder V. Christiansen
- 364/99 Illustrationens kraft - Visuel formidling af fysik  
Integretet speciale i fysik og kommunikation  
af Sebastian Horst  
Vejledere: Karin Beyer, Søren Kjørup
- 365/99 To know - or not to know - mathematics, that is a question of context  
by: Tine Wedge
- 366/99 LATEX FOR FORFATTERE - En introduktion til LATEX  
og IMFUFA-LATEX  
af: Jørgen Larsen

- 367/99 Boundary Reduction of Spectral Invariants and Unique Continuation Property  
by: Bernhelm Booß-Bavnbek
- 368/99 Kvartvejrapport for projektet SCENARIER FOR SAMLET UDNYTTELSE AF BRINT SOM ENERGIKÆRER I DANMARKS FREMTIDIGE ENERGISYSTEM  
Projektleder: Bent Sørensen
- 369/99 Dynamics of Complex Quadratic Correspondences  
by: Jacob S. Jølving  
Supervisor: Carsten Lunde Petersen
- 370/99 OPGAVESAMLING - Bredde-Kursus i Fysik 1976 - 1999  
Eksamensopgaver fra perioden 1976 - 1999. Denne tekst erstatter  
tekst nr. 350/98
- 371/99 Bevisets stilling - beviser og bevisførelse i en gymnasial matematik undervisning  
Et matematikspeciale af: Maria Hermannsson  
Vejleder: Mogens Niss
- 372/99 En kontekstualiseret matematikhistorisk analyse af ikke-lineær programmering:  
Udviklingshistorie og multipel opdagelse  
Ph.d.-afhandling af Tine Hoff Kjeldsen
- 373/99 Criss-Cross Reduction of the Mastov Index and a Proof of the Yoshida-Nicolaeescu Theorem  
by: Bernhelm Booß-Bavnbek, Kenro Furutani and Nobukazu Otsuki
- 374/99 Det hydrauliske spring - Et eksperimentelt studie af polygoner og hastighedsprofiler  
Specialeafhandling af: Anders Marcussen  
Vejledere: Tomas Bohr, Clive Ellegaard, Bent C. Jørgensen
- 375/99 Begrundelses for Matematikundervisningen i den lærte skole hhv. gymnasiet 1884-1914  
Historiespeciale af Henrik Andreassen, cand.mag. i Historie og Matematik  
by: Jeppe C. Dyre, Thomas B. Schroeder
- 377/99 The Kuhn-Tucker Theorem in Nonlinear Programming: A Multiple Discovery?  
by: Tine Hoff Kjeldsen
- 
- 378/00 Solar energy preprints:  
1. Renewable energy sources and thermal energy storage  
2. Integration of photovoltaic cells into the global energy system  
by: Bent Sørensen

379/00	<b>EULERS DIFFERENTIALREGNING</b> Eulers indførelse af differentialregningen stillet over for den moderne En tredjekandidats projektrapport på den naturvidenskabelige basisuddannelse af: Uffe Thomas Volmer Jankvist, Ric Rose Møller Pedersen, Maja Bagge Pedersen Vejleder: Jørgen Larsen	
380/00	<b>MATEMATISK MODELLERING AF HJERTEFUNKTIONEN</b> Isovolumetrisk ventrikulær kontraktion og udspumning til det cardioaskulære system af: Gitte Andersen (3.modulns-rapport), Jakob Hilmer og Sine Weisbjerg (speciale) Vejleder: Johnny Ottesen	
381/00	<b>Matematikviden og teknologiske kompetencer hos kortuddannede voksne</b> - Rekognosceringer og konstruktioner i grænseområdet mellem matematikkens didaktik og forskning i voksenuddannelse Ph. d.-afhandling af Tine Wedege	
382/00	<b>Den selvundvigende vandring</b> Et matematisk professionsprojekt af: Martin Niss, Arnold Skimminge Vejledere: Viggo Andreasen, John Villumsen	
383/00	<b>Beviser i matematik</b> af: Anne K.S.Jensen, Gitte M. Jensen, Jesper Thrane, Karen L.A.W. Wille, Peter Wulff Vejleder: Mogens Niss	
384/00	<b>Hopping in Disordered Media: A Model Glass Former and A Hopping Model</b> Ph.D. thesis by: Thomas B. Schröder Supervisor: Jesper C. Dyre	
385/00	<b>The Geometry of Cauchy Data Spaces</b> This report is dedicated to the memory of Jean Leray (1906-1998) by: B. Booss-Bavnbek, K. Furutani, K. P. Wojciechowski	
386/00	<b>Neutrale mandatfordelingsmetoder – en illusion?</b> af: Hans Henrik Brok-Kristensen, Knud Dyrberg, Tove Oxager, Jens Svæistrup Vejleder: Bernhelm Booss-Bavnbek	
387/00	<b>A History of the Minimax Theorem: von Neumann's Conception of the Minimax Theorem -- A Journey Through Different Mathematical Contexts</b> by: Tinne Hoff Kjeldsen	
388/00	<b>Behandling af impuls ved kilder og dran i C. S. Peskins 2D-hjertemodell et 2. modulns matematik modelprojekt</b> af: Bo Jakobsen, Kristine Niss Vejleder: Jesper Larsen	

389/00	<b>University mathematics based on problemorientated student projects: 25 years of experience with the Roskilde model</b> By: Mogens Niss Do not ask what mathematics can do for modelling. Ask what modelling can do for mathematics! by: Johnny Ottesen	
390/01	<b>SCENARIER FOR SAMLET UDNYTTELSE AF BRINT SOM ENERGIÆRER I DANMARKS FREMTIDIGE ENERGISYSTEM Slutrapport, april 2001</b> Projektleder: Bent Sørensen Projektdeltagere: DONG: Aksel Hauge Petersen, Celia Juhl, Elkraft System <sup>h</sup> : Thomas Engberg Pedersen <sup>h</sup> , Hans Ravn, Charlotte Sandsgren, Energia 2 <sup>h</sup> : Peter Simonsen, RISØ Systemanalyseafd.: Kaj Jørgensen, Lars Henrik Nielsen, Helge V. Larsen, Poul Erik Mørhorst, Lotte Schleisner, RUC: Finn Sørensen <sup>h</sup> , Bent Sørensen <sup>h</sup> Indtil 1/1-2000 Elkraft, <sup>h</sup> fra 1/5-2000 Cowi Consult Indtil 15/6-1999 DTU Bygninger & Energi, <sup>h</sup> fra 1/1-2001 Polypeptide Labs. Projekt 1763/99-0001 under Energistyrelsens Brintprogram	
391/01	<b>Matematisk modellering kompetence – et undervisningsforløb i gymnasiet</b> 3. semesters Nat.Bas. projekt af: Jess Tolstrup Boye, Morten Bjørn-Mortensen, Sofie Inari Castella, Jan Lauridsen, Maria Gatzsche, Ditte Mandøe Andreasen Vejleder: Johnny Ottesen	
392/01	<b>"PHYSICS REVEALED" THE METHODS AND SUBJECT MATTER OF PHYSICS</b> an introduction to pedestrains (but not excluding cyclists) <b>PART III: PHYSICS IN PHILOSOPHICAL CONTEXT</b> by: Bent Sørensen.	
393/01	<b>Hilberts matematikfilosofi</b> Specialerapport af: Jesper Hasmark Andersen Vejleder: Sigurður Pedersen	
394/01	<b>"PHYSICS REVEALED" THE METHODS AND SUBJECT MATTER OF PHYSICS</b> an introduction to pedestrains (but not excluding cyclists) <b>PART II: PHYSICS PROPER</b> by: Bent Sørensen.	
395/01	<b>Menneskers forhold til matematik. Det har sine årsager!</b> Specialeafhandling af: Anita Stark, Agnete K. Ravnborg Vejleder: Tine Wedege	
396/01	<b>2. bilag til lektør nr. 395: Menneskers forhold til matematik. Det har sine årsager!</b> Specialeafhandling af: Anita Stark, Agnete K. Ravnborg Vejleder: Tine Wedege	

397/01	En undersøgelse af solvents og kæde længdes betydning for anomal swelling i phospholipiddobbelttag 2. modul fysikrapport af: Kristine Niss, Arnold Skimminge, Esben Thommann, Stine Timmermann Vejleder: Dorthe Posselt Af: Mogens Brun Heefelt	408/02	Weak UCP and Perturbed Monopole Equations By: Bernhelm Booss-Bavnbek, Matilde Marcolli, Bai-Ling Wang
398/01	Kursusmateriale til ”Lineære strukturer fra algebra og analyse” (E1)	409/02	Algebraisk ligningsløsning fra Cardano til Cauchy - et studie af kombinationers, permutations samt invariansbegrebs betydning for den algebraiske ligningsløsning for Gaußs, Abel og Galois Videnstabsfagsprojekt af: David Heiberg Backchi, Uffe Thomas Volmer Jankvist, Neslihan Saglamnak Vejleder: Bernhelm Booss-Bavnbek
399/01	Undergraduate Learning Difficulties and Mathematical Reasoning Ph.D Thesis by: Jøhan Lithner Supervisor: Mogens Niss	410/02	2 projekter om modellering af influenzaepidemier Influenzaepidemier- et matematisk modelleringprojekt Af: Claus Jørgensen, Christina Lohfert, Martin Mikkelsen, Anne-Louise H. Nielsen Vejleder: Morten Blomhøj Influenza A: Den tilbagevendende plage – et modelleringprojekt Af: Beth Paludan Carlsen, Christian Dahncke, Lena Petersen, Michael Wagner Vejleder: Morten Blomhøj
400/01	On Holomorphic Critical quasi circle maps By: Carsten Lunde Petersen	411/02	Polygonformede hydrauliske spring Et modelleringprojekt af: Kåre Stokvad Hansen, Ditte Jørgensen, Johan Ronby Pedersen, Bjørn Toldbod Vejleder: Jesper Larsen
401/01	Finite Type Arithmetic Computable Existence Analysed by Modified Realisability and Functional Interpretation Master's Thesis by: Klaus Frovin Jørgensen Supervisors: Ulrich Kohlenbach, Stig Andur Pedersen and Anders Madsen	412/02	Hopfibifikation og topologi i væskestreamning – en generel analyse samt en behandling af strømmingen bag en cylinder Et matematisk modul III professionsprojekt af: Kristine Niss, Bo Jakobsen Vejledere: Morten Brøns, Johnny Ottesen
402/01	Matematisk modellering ved den naturvidenskabelige basisuddannelse - udvikling af et kursus Af: Morten Blomhøj, Tomas Højgaard Jensen, Tinne Hoff Kjeldsen og Johnny Ottesen		
403/01	Generaliseringer i integralteorien - En undersøgelse af Lebesgue-integralet, Radon-integralet og Perron-integralet Et 2. modul matematikprojekt udarbejdet af: Stine Timmermann og Eva Uhre Vejledere: Bernhelm Booss-Bavnbek og Tinne Hoff Kjeldsen		
404/01	”Mere spredt fægtning” Af: Jens Højgaard Jensen		
405/01	Real life routing - en strategi for et virkligt vrp Et matematisk modelprojekt af: David Heiberg Backchi, Rasmus Brauner Godiksen, Uffe Thomas Volmer Jankvist, Jørgen Martin Poulsen og Neslihan Saglamnak Vejleder: Jørgen Larsen		
406/01	Opgavesamling til dybdekursus i fysik Eksamensopgaver stillet i perioden juni 1976 til juni 2001 Denne tekst erstatter tekstdnr. 25/1980 + efterfølgende tillæg		
407/01	Unbounded Fredholm Operators and Spectral Flow By: Bernhelm Booss-Bavnbek, Matthias Lesch, John Phillips		